



รายงานการวิจัย

โครงการ

การศึกษาตัวอักษรไทยลงน้ำผ่านเขียนคอมพิวเตอร์และ SHEET FILE

โดย ศาสตราจารย์ ดร. วิฑูรย์ วัฒนกุล

โดย

นาย ฉัตรชัย วิฑูรย์ 31.1049

นาย สุวิศ เหมือนสุวรรณ 31.1358

อาจารย์ที่ปรึกษา

อาจารย์ สุพจน์ ศรีนิล

รายงานนี้เป็นส่วนหนึ่งของวิชา SPECIAL PROJECT ประจำปีการศึกษา 2534

ภาควิชาวิศวกรรมโยธา

คณะวิศวกรรมศาสตร์

สถาบันเทคโนโลยีพระจอมเกล้าเจ้าคุณทหารลาดกระบัง

หน้าอนุมัติ

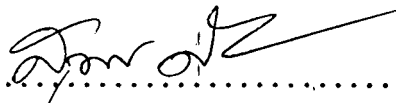
ภาควิชาวิศวกรรมโยธา คณะวิศวกรรมศาสตร์ สถาบันเทคโนโลยีพระจอมเกล้า
เจ้าคุณทหารลาดกระบัง อนุมัติให้ปริญญาในชั้นนี้เป็นส่วนหนึ่งของการศึกษาตามหลักสูตร
ปริญญาตรี วิศวกรรมศาสตรบัณฑิต สาขาวิศวกรรมการก่อสร้าง

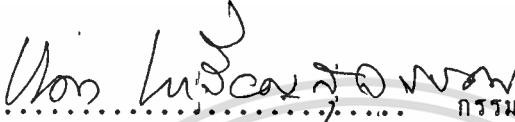


[Handwritten signature]

.....
(อาจารย์ สุวัฒน์ หวังเจริญ)
หัวหน้าภาควิชาวิศวกรรมโยธา

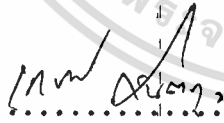
กรรมการวิศพลโครงการ :

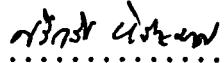

 อาจารย์ที่ปรึกษา
 (อาจารย์ สุนจน์ ศรีวิล)


 กรรมการ
 (ผศ. ดร.แดง เหริยสุวรรณ)


 กรรมการ
 (อาจารย์ สิริรัตน์ หวังเจริญ)


 กรรมการ
 (ผศ. ศิริวัฒน์ ไชยชนะ)


 กรรมการ
 (อาจารย์ เกษม อมันตกุล)


 กรรมการ
 (อาจารย์ ดร.ศรีกรีช หิรัญมาศ)

..... กรรมการ
(อาจารย์ จิตรนงษ์ พงษ์เพ็ง)

..... กรรมการ
(อาจารย์ สักดิ์ชัย สถาปนงส์)

..... กรรมการ
(อาจารย์ ศิลชัย จานสว่าง)

..... กรรมการ
(อาจารย์ วิบูลย์ วิฑูญาณ)

..... กรรมการ
(อาจารย์ อำนาจ พันิชกุลพงษ์)

..... กรรมการ
(อาจารย์ สกุล ห่อวันทยาน)

..... กรรมการ
(อาจารย์ สวัสดิ์ กิรเศรษฐ์)

คำนำ

รายงานนี้เป็นส่วนหนึ่งในรายวิชา Special Project ตามหลักสูตรการศึกษา
ของชั้นปีที่ 4 ปีการศึกษา 2534 ภาควิชาวิศวกรรมโยธา คณะวิศวกรรมศาสตร์ สถาบันเทคโนโลยีพระจอมเกล้า เจ้าคุณทหารลาดกระบัง โดยมีวัตถุประสงค์เพื่อเป็นแนวทางในการศึกษา
ตาข่ายการไหลของน้ำโดยให้ความรู้ทางคณิตศาสตร์มาประยุกต์ให้เป็นโปรแกรมคอมพิวเตอร์
พร้อมทั้งให้แสดงผลทางกราฟิกเพื่อนำไปอ้างอิงเป็นแนวทางในการปรับปรุงแก้ไขต่อไป

ข้าพเจ้าหวังว่ารายงานฉบับนี้คงเป็นประโยชน์แก่ผู้ที่สนใจ ในด้านวิชา SOIL MECHANIC
และจะมีการนำโปรแกรมดังกล่าวมาพัฒนาให้เกิดประโยชน์สูงสุด

ผู้จัดทำโครงการ

นาย ฉัตรชัย วิรัชวาริน

นาย สุนิศ เหมือนสุวรรณ

บทคัดย่อ

ที่มา การศึกษาตราช่างการไหลของน้ำใต้ดินผ่านเขื่อนคอนกรีต และ SHEET PILE ในปัจจุบัน สามารถกระทำได้โดย วิธี FREE HAND SKETCH ซึ่งในหลักเกณฑ์ของการทำ FREE HAND SKETCH นั้นมาจากรากฐานของการประมาณ สมการการไหล 2 มิติของลาปลาซทั้งสิ้น อนึ่งเป็นที่ทราบกันดีอยู่แล้วว่าการประมาณของแต่ละบุคคลนั้นย่อมมีความแตกต่างกันเป็นธรรมดา ทั้งนี้อาจเกิดจากทักษะของแต่ละบุคคลไม่เหมือนกันซึ่งต้องอาศัยประสบการณ์และความจินตนาการในตัวบุคคลเอง

ดังนั้นเราจึงกล่าวได้ว่า เพื่อพัฒนาการศึกษาตราช่างการไหลของน้ำใต้ดินอย่างเป็นระบบยิ่งขึ้นจึงได้มีการนำเอาวิธีตะแกรงผ่อนปรน (MESH RELAXATION) ซึ่งเป็นรูปแบบของวิธีการประมาณสมการการไหล 2 มิติของลาปลาซแบบหนึ่ง มาใช้ในการเขียนโปรแกรมภาษาเทอร์โบปาสคาล ซึ่งผลที่ได้จากไมโครคอมพิวเตอร์โดยโปรแกรมภาษาเทอร์โบปาสคาลนี้ จะสามารถนำไปเป็นแนวทางในการศึกษาเปรียบเทียบกับวิธี FREE HAND SKETCH ต่อไป

วัตถุประสงค์

1. เพื่อศึกษาตราช่างการไหลของน้ำใต้ดินผ่านเขื่อนคอนกรีต ขนาดเล็กถึงขนาดกลางและ SHEET PILE โปรแกรมตราช่างการไหลของน้ำใต้ดินผ่านเขื่อนคอนกรีตและ SHEET PILE นี้ สามารถแสดงตราช่างการไหล (FLOW NET) ทั้งในกรณีเขื่อนคอนกรีต และ SHEET PILE ได้โดยผ่านขั้นตอนของกระบวนการทำตะแกรงผ่อนปรน (MESH RELAXATION)

เอกสารนี้เป็นเอกสารที่สงวนไว้สำหรับการใช้งานเพื่อการศึกษาเท่านั้น ไม่อนุญาตให้นำไปใช้ประโยชน์ด้านการค้า ไม่ว่าจะกรณีใดๆทั้งสิ้น อีกทั้งห้ามมิให้ดัดแปลงเนื้อหา และต้องอ้างอิงถึงเจ้าของเอกสารทุกครั้งที่มีการนำไปใช้

2. เพื่อพัฒนาการศึกษาตาข่ายการไหลของน้ำใต้ดินผ่านเขื่อนคอนกรีต และ SHEET PILE อย่างเป็นระบบ

ดังที่ได้กล่าวมาแล้วว่า รากฐานของโปรแกรมนี้เกิดจากวิธีการประมาณแบบตะแกรงอ่อนปวน (MESH RELAXATION) ดังนั้น ผู้ที่สนใจอาจจะใช้เป็นแนวทางในการศึกษาเพื่อพัฒนาวิธีการประมาณแบบตะแกรงอ่อนปวน ให้สมบูรณ์ยิ่งขึ้น เพื่อที่จะสามารถนำไปประยุกต์ใช้ในการสร้างตาข่ายการไหลได้อย่างกว้างขวาง หรือ เพื่อพัฒนาการสร้างตาข่ายการไหลโดยการประมาณรูปแบบอื่น

3. เพื่อคำนวณปริมาณน้ำที่ซึมผ่านเขื่อนคอนกรีตและ SHEET PILE ในการใช้โปรแกรมนี้ เพื่อคำนวณหาปริมาณน้ำที่ซึมผ่านเขื่อนคอนกรีต และ SHEET PILE ผู้ใช้สามารถกำหนดตัวแปรสถานะต่างๆ ที่มีอิทธิพลต่อการสร้างตาข่ายการไหลเพื่อคำนวณหาปริมาณน้ำที่ซึมผ่านได้อย่างอิสระ ภายใต้ขีดจำกัดความสามารถของโปรแกรมคอมพิวเตอร์

เนื้อหา สำหรับบริเวณนี้ จะแสดงเนื้อหาเป็นลำดับดังต่อไปนี้

บทที่ 1 หลักพื้นฐานของการไหลของน้ำใต้ดิน

กล่าวถึงความสามารถในการซึมได้ สภาวะทั่วไปของการไหลของของดาร์ซี การทดลองเพื่อหาค่าความสามารถในการซึมได้ ค่าสัมประสิทธิ์ความสามารถในการซึมได้ในกรณีต่างๆ

บทที่ 2 สภาวะการไหลสม่ำเสมอใน 2 มิติ

กล่าวถึงสมการลาปลาซ และตาข่ายการไหล การสร้างตาข่าย
การไหลโดยวิธี FREE HAND SKETCH การคำนวณหาปริมาณน้ำที่ซึมผ่าน
เขื่อนคอนกรีต และ SHEET PILE จากตาข่ายการไหล

บทที่ 3 ขั้นตอนการพัฒนาโปรแกรมโดยวิธีตะแกรงอ่อนปรนกล่าวถึงวิธีตะ
แกรงอ่อนปรน FLOW CHART ช่องโปรแกรม SOURCE PROGRAM

บทที่ 4 วิเคราะห์และสรุป
วิเคราะห์ถึงขีดความสามารถของโปรแกรมสรุปผลในแง่
ของความเหมาะสมในการนำไปใช้

ภาคผนวก วิธีการใช้โปรแกรม

สารบัญ

บทที่ 1	หลักการไหลของน้ำใต้ดิน	1
	-ความสามารถในการซึมได้	2
	-สภาวะทั่วไปของการไหล	3
	-กฎของดาร์ซี	6
บทที่ 2	สภาวะการไหลสม่ำเสมอในสองมิติ	35
	-สมการลาปลาซของตาข่ายการไหล	38
	-ขอบเขตการไหล	48
	-การวิเคราะห์แรงภายในสนามการไหล	52
	-การออกแบบเขื่อนและโครงสร้างกั้นน้ำ	54
บทที่ 3	ขั้นตอนในการพัฒนาโปรแกรม	72
	-ความซึมได้ของดิน	72
	-การวัดความซึมได้	74
	-ข่ายการไหล	79
	-ผลลัพธ์ทางตัวเลขของปัญหาซับซ้อน	85
บทที่ 4	การวิเคราะห์และสรุป	92

บรรณานุกรม

ภาคผนวก

บทที่ 1

หลักการไหลของน้ำใต้ดิน

ชั้นดินประกอบด้วยสารตกตะกอนของดินซึ่งมีความแตกต่างกันในคุณสมบัติด้านกายภาพของมัน อนุภาคของดินอาจจะแปรผันจากหินที่ถูกน้ำเซาะสู่สภาพ colloids สภาพการตกตะกอนอาจเป็นรูปแบบที่มากกว่าหรือน้อยกว่าอย่างเดียวกัน อาจเป็นทราย ดินเหนียว โคลนตม ทรายโคลน โคลนทราย ฯลฯ รูปแบบที่เหมือนกันอาจถึงขีดค้นโดยโพรงในดินต่าง ๆ หรือเป็นเส้นชั้นขยายซึ่งเกิดจากการทำงานของชั้นกรวดในที่โล่งแจ้งและโพรงดินเหนียว ดินอาจจะอัดตัวชุ่มอย่างเต็มที่ แท่งเรียวที่หรือชุ่มโรคเป็นบางส่วน มีความแตกต่างระหว่างดินและวัตถุที่คล้ายโลหะในงานวิศวกรรม คือมีช่องว่างอยู่ในชั้นดินและช่องว่างเหล่านี้จะเชื่อมติดต่อกัน ช่องว่างเล็กย้อยมีลักษณะไม่สม่ำเสมออยู่ในรูปแบบที่ไม่แน่นอน คุณสมบัติ

2 ข้อใหญ่ทางวิศวกรรมของของโลหะวัตถุเกิดจากการกระทำดังกล่าวของดิน (การเบียดเหี้ยกของสายสาขา) และความแข็งแรง ในโครงสร้างของดินคุณสมบัติหลัก ๆ เกิดจากการกระทำที่จัดรูปแบบของมัน (ความกดตันของดินและความสัมพันธ์ของการทรุดตัวหรือการรายบุดลงมาของแผ่นดิน) และความแข็งแรง (มีความสัมพันธ์ขึ้นกับแรงดันน้ำหนักของดิน) และเช่นเดียวกับคุณสมบัติหลักที่ 3 คือความซึมซับได้จนเป็นผลจากช่องว่างในดิน ในเพียงเท่านั้นช่องว่างในดินจะดำเนินต่อไปได้ อาจพูดได้ว่าดินให้ของเหลวผ่านไปได้หรือมีการซึมซับเกิดขึ้นได้วัสดุอื่น ๆ ใดจึงมีช่องว่างติดต่อกับอาจจะซึมซับได้ มีพวกคอนกรีต อิฐ ซีเมนต์หลังการโบก หินแกรนิต ดินเหนียวที่แข็งมาก ในทางปฏิบัติวัสดุเหล่านี้ อาจจะถูกเรียกว่าเป็นพวกที่ซึมซับไม่ได้หรือไม่ยอมให้ของเหลวผ่านไปได้ แต่ข้อเท็จจริงคือมันซึมซับได้ แม้ว่าจะอยู่ในระดับที่แทนไม่มีความหมายในทัศนะของการปฏิบัติ

1.1 ความสามารถในการซึมได้

คุณลักษณะ : ความซึมซับได้จำกัดไว้กับน้ำหรือของเหลวอื่น ๆ ซึ่งสามารถซึมผ่านซุมที่เชื่อมติดต่อกัน อันมีรูปแบบเป็นตาข่ายกึ่งกั้นที่ซับซ้อนของท่อเล็ก ๆ ขรุขระ ฉะนั้นความซึมซับได้ขึ้นกับคุณสมบัติของเนื้อดินและของเหลว

ความซึมซับได้สามารถแสดงในคุณสมบัติดังนี้

1. ให้ K เป็นค่าสัมประสิทธิ์ของการซึมได้ ค่าคงที่ของการส่งผ่านหรือค่าแห่งกำลังน้ำ K ขึ้นกับคุณสมบัติของทั้งตัวกลางและของเหลวทางด้านอุทกวิทยาของน้ำบาดาลสมมุติเป็น ความเหนียวนำชลศาสตร์ (hydraulic conductivity) ในอีกทางหนึ่งวิศวกรด้านธรณีวิทยาได้สมมุติให้เป็นสัมประสิทธิ์การซึมซาบ (coefficient of permeability)
2. ให้ K_p เป็นความซึมจำเพาะ, ความซึมที่แท้จริง, ความซึมทางกายภาพหรือความซึมสามัญ (Taylor, 1948) K_p ขึ้นกับคุณสมบัติของดินนั้นและสัมพันธ์กับค่า K คงจะขยี้ความต่อไป ในพจน์ธรรมดาเราใช้เป็นค่าความซึมทางกายภาพ (Physical Permeability)

ในทางปฏิบัติ ปัญหาที่น้ำบาดาลจะศึกษาครอบคลุมถึงความซึมชนิดต่าง ๆ ตัวอย่างที่พบก็ในการปฏิบัติงานชลประทาน การระบายน้ำของพื้นที่เกษตรกรรม การระบายน้ำของ Highways และ Runways หรือการระบายน้ำที่คูดุมของที่ตั้งโครงสร้างฐานรากอย่างชั่วคราว แหล่งจ่ายน้ำและวิศวกรรมสุขาภิบาล แรงกดดันของชั้นดินข้างใต้โครงสร้างทางวิศวกรรม การยุบตัวของแผ่นดินเนื่องจากการสูบน้ำ การซึมผ่านและข้างใต้เขื่อน ทำนบ ฝายและสิ่งก่อสร้างทางน้ำอื่น ๆ

การศึกษาอย่างแน่นอนของคุณสมบัติน้ำ ของดินและชนิดของหินต่าง ๆ
สามารถตีราคาการก่อสร้างชั้นต่ำได้และจำเป็นสำหรับการจัดการที่มีประสิทธิภาพ
การวางแผน ออกแบบและการลงมือกระทำ

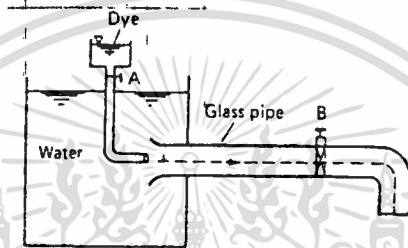
ในปัญหาของน้ำบาดาลส่วนใหญ่เราถือว่า ของเหลวคือน้ำธรรมดา
(จิต, กรวยหรือเค็ม) และในตัวกลางที่ไหลซึมอาจเป็นดินหรือหินหรือทั้งสองอย่าง
ตามกฎการไหลอย่างเป็นทางการแล้วสื่อกลาง คือของแข็งหรือหินที่ไม่
ได้รวมเข้าด้วยกัน (ดิน) อย่างไรก็ตามอัตราการซึมของน้ำผ่านตัวกลางที่ไหลซึม
อยู่กับคุณสมบัติทางกายภาพของตัวกลาง นั่นคือตามน้ำของเขื่อนที่เป็ของแข็งมัก
จะแห้งเพราะอัตราการระเหยจากผิวหน้า จะสูงกว่าอัตราการไหลซึมของน้ำผ่าน
ตัวเขื่อน คุได้จากความชื้นในหินที่ถูกตัดจะแห้งหมดจากการระเหยหิน รูปแบบการ
ไหลที่แน่นอนผ่านตัวกลางทางเรขาคณิตที่แตกต่างกัน 2 อย่างและขอบเขตแห่ง
กระแส น้ำคือหลักทฤษฎีเดียวกัน

1.2 สภาวะทั่วไปของการไหล

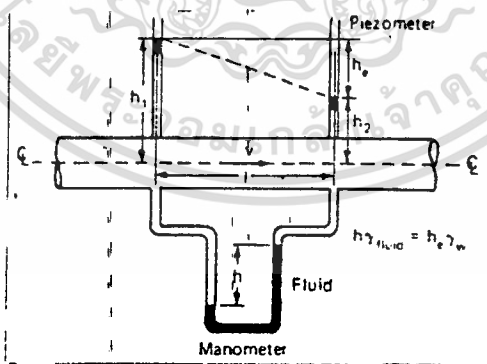
การไหลแบบราบเรียบและการไหลแบบปั่นป่วน (Laminar flow and
Turbulent flow)

การไหลของของเหลวอาจจะเบาบางและไม่เป็นระเบียบ ในการไหล
ที่เบาบาง ของเหลวซึ่งน้อยที่สุดจะไหลผ่านทางที่จำกัดโดยไม่สนใจทางไหลอีก
ทางหนึ่ง (Taylor, 1948) อย่างไรก็ตามการไหลที่ปั่นป่วนจะขรุขระซึ่ง

จะแปรผันตามเวลาและมีรูปแบบที่ไม่จำกัด การสังเกตของ Raynold (Taylor, 1948) ว่าที่ความเร็วต่ำของกระแสในท่อ (glass pipe) การไหลจะเป็นชั้นเบาบาง (รูป 1.1 และ 1.2)



รูป 1.1 การทดลองของ Reynold แสดงให้เห็นระดับความเร็ววิกฤติ
 วาล์ว A คือวาล์วที่ใช้ปรับระดับน้ำ วาล์ว B จะปรับความเร็วของน้ำ



รูป 1.2 Piezometer หรือ manometer ใช้วัด head loss
 ในการทดลองของ Reynold

ถ้าความเร็วของเหลวในท่อ เพิ่มขึ้นตามลำดับ ความสัมพันธ์ระหว่างแรงดันไฮดรอลิก h และความเร็ว v ยังคงเป็นเส้นตรง แต่เมื่อ h เพิ่มขึ้นถึงจุดที่ทำให้เกิดความเร็ววิกฤติ (v_0) การไหลจะเริ่มเป็นแบบปั่นป่วนถ้าทดสอบซ้ำโดยลด h , ความเร็ววิกฤติที่เกิดขึ้น จะลดลงดังรูป 1.3

ในกรณีที่เป็นปั่น ความสัมพันธ์ระหว่างความเร็ว v และความชันทางชลศาสตร์ i (การสูญเสียระดับ h ต่อหนึ่งหน่วยความยาว) ในท่อจะเป็นดังนี้

$$v^n = C' i^n \quad (1.1)$$

โดยที่ $2.0 > n > 1.79$ (Taylor, 1948) ค่าของ n (ไม่มีหน่วย) ขึ้นกับปัจจัยของความปั่นป่วน และ C' เป็นค่าคงที่ในสภาวะการไหลแบบราบเรียบในท่อ, $n=1.0$ และ

$$v = C_i v_c \quad (1.2)$$

โดยที่ค่าคงที่ซึ่งมีหน่วยของความเร็ว ถ้าการไหลเป็นแบบราบ ความเร็วเฉลี่ยจะเป็นสัดส่วนโดยตรงกับความชันทางชลศาสตร์ เป็นความสัมพันธ์เดียวกับที่ใช้ในเรื่องของ soil mechanics จากกฎของ Dracy Law

การไหลคงที่และไม่คงที่ (Steady and Transient flow)

ที่ระดับเฉพาะใด ๆ ที่ปราศจากตัวกลางการไหล ความเร็วของการไหลจะคงที่ตลอดเวลาทั้งหมด (ขนาดและทิศทาง) กล่าวได้ว่าการไหลคงที่หรืออยู่ภายใต้

ได้เงื่อนไขสภาวะคงที่ เมื่อระดับน้ำบาดาลไม่เปลี่ยนการไหลตามธรรมชาติคงที่
อย่างไรก็ดี กรณีที่คล้ายภาพได้เสียคลุเนื่องมาจากปัจจัยทางธรรมชาติและการ
กระทำจากมนุษย์ เช่นความสูญเสียจากปริมาณน้ำฝน การสูญเสียจากน้ำมีมนุษย์
หรือจากน้ำพุและน้ำที่สูญเสียโดยการระเหย เงื่อนไขที่ไม่สมดุลเหล่านี้ถูกเรียกว่า
เงื่อนไขชั่วคราว (หรือสถานะไร้ความคงที่ของการไหล) เร็วกระแสรู้อยู่ที่ระดับ
เปลี่ยนแปลงขนาดและ/หรือทิศทางกับเวลา ตัวอย่างเมื่อกระแสเปลี่ยนทันทีทันใด
จากเงื่อนไข กระแสสภาวะคงที่เช่นเมื่อกระแสน้ำถูกสูบโดยบ่อน้ำกระแสธรรมชาติ
ก็จะปั่นป่วนและกระแสที่ไหลผ่านบ่อน้ำจะเปลี่ยนแปลงเกินเวลา และเปลี่ยนแปลง
เงื่อนไขอันสม่ำเสมอของกระแสถ้าบ่อน้ำได้ถูกสูบอย่างต่อเนื่องไป สถานะของ
คล้ายภาพจะเกิดขึ้นหลังจากเวลาอันยาวนานและกระแสสภาวะคงที่มีมากกว่าในบาง
กรณีสภาวะคงที่จะเป็นตัวแทนเงื่อนไขอันถึงที่สุดตามหลักวิชา ($t = \infty$) อัน
เป็นกรณีพิเศษของสภาวะคงที่ กล่าวตามทฤษฎี กรณีสภาวะคงที่จะไม่เปลี่ยนแปลง
ตั้งแต่มีการสูญเสียน้ำหรือการรั่วซึม ในทัศนะของการปฏิบัติเมื่อใดก็ตามที่มีการ
เปลี่ยนแปลงเล็กน้อยจะนำไปสู่การเปลี่ยนแปลงเวลาที่สำคัญ กระแสอาจจะถูกคิด
ให้ใกล้เคียงคงที่ ระบบกระแสที่ไม่คงที่อาจจะเบาบางหรือชุลมุนวนวาย ขึ้นกับอัตรา
เร็วของน้ำและคุณสมบัติของตัวกลางกระแส

1.3 กฎของ Darcy

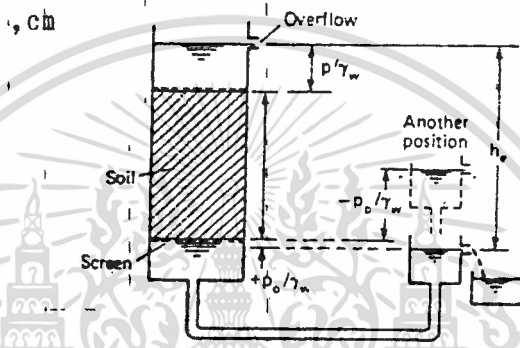
Darcy ได้ทำการทดลองในปี 1856 ผลที่ตามมาจากการสังเกตคือ
สมการของกระแสน้ำที่ผ่านดิน (มีทรายเป็นส่วนมาก) (รูป 1.4)

ณ ที่ Q = อัตราของกระแส, cm^3/s

A = พื้นที่ตัดขวางทั้งหมดของตัวอย่าง ทิศทางของกระแสปกติ cm^2

l = ความหนาของตัวอย่างชั้นดิน cm

= ระดับที่แรงดันน้ำตรงส่วนปลายบนสุดและปลายล่างสุดของตัวอย่าง



ระดับของน้ำที่หน้าตัดเริ่มต้นเป็นที่รู้จักกันว่าคือกระแสขึ้น (upgradient) หรือระดับ
 กระแสขึ้น (upstream level) และที่ปลายระดับน้ำ (รูปที่ 1.4) เป็นที่รู้จักกันว่าคือ
 กระแสลง (downgradient หรือ downstream level) โดยที่ความเร็ว $v = Q/A$
 คำนวณ

$$v = (K/l)(p/\gamma_w + p_o/\gamma_w) = Kh_u/l \tag{1.4}$$

หรือ $v = Ki_u = Kh_u/l \tag{1.5}$

ความเร็วพื้นผิว v เป็นที่รู้จักกันว่าคือ darcian, ความเร็วเฉลี่ย,

หรือความเร็วปลดปล่อยซึ่งสังเกตได้ว่า v ไม่ได้ให้ค่าความเร็วการรั่วซึมเฉลี่ย V
 ที่ซึ่งความเร็วปริมาตรของของเหลวภายในขอบเขตแห่งรูรั่วของตัวอย่าง ในดินที่มี
 ส่วนประกอบเดียวกัน รูที่ถูกกำหนดให้ $\eta = A/A$ ที่ซึ่ง Av คือบริเวณของที่ว่าง
 ภายในพื้นที่ตัดขวางรวมทั้งหมดของ A , แล้วกำหนดให้อัตรากระแส Q เป็น $Q = Av_v = Av$
 และความสัมพันธ์ระหว่างความเร็ว darcian v และความเร็วของการรั่วซึม V
 ถูกกำหนดเป็น

ผลกระทบปัจจัยแห่งกำลังน้ำ

กฎของ Darcy แสดงให้เห็นการสูญเสียในส่วนเบรรวมทั้งหมด เป็น การสรุปของการกระทบกระเทือนในรูปแบบที่แน่นอน พร้อมด้วยเส้นทางกระแสที่แน่นอน ค่าคงที่ k ของคุณสมบัติระหว่างค่าเฉลี่ยความเร็ว macroscopic velocity (v) และค่าความเอียง hydrostatic (ig) นั้นแสดงระดับที่อาจ ซ้ำขมิได้ของดิน กล่าวให้แน่ชัดคือ " K ไม่ใช่ค่าคงที่" เพราะมันขึ้นอยู่กับคุณสมบัติ ของตัวกลางกระแสเช่นเดียวกับของเหลวที่ผ่านตัวกลางเหล่านี้ด้วย น้ำหนักและ ความหนืดของของเหลวใด ๆ จะแปรผันกับอุณหภูมิและความดัน ด้วยเหตุนี้การเปลี่ยนแปลงในน้ำหนัก และ/หรือ ความหนืดของของเหลวเกิดขึ้นพร้อมกับการเปลี่ยนแปลงค่าแห่งกำลังน้ำ K

แม้ว่ากฎของ Darcy จะพัฒนามาจากการทดลอง ได้มีการพยายาม หลายครั้งที่วิเคราะห์ถึงการสมมติฐาน (Taylor, 1948) การสืบค้นแต่ละครั้ง ทำให้เข้าใจถึงปัจจัยที่ขึ้นกับค่า K ที่เป็นไปได้เช่น กฎของ Poiseuille สำหรับกระแสน้ำของเหลวที่ผ่าน capillary tubes ซึ่งเขาได้แสดงในปี 1840 และ 1841 ได้ถูกดัดแปลงสำหรับใช้ในดินโดย ใช้เป็นเครื่องวัดความคล้าสคลิง ของดินที่เหมือนกันให้แน่นอนยิ่งขึ้น ความคลิงที่สืบตั้งขึ้นมาถูกแสดงต่อมาคือ



γ_w = น้ำหนักหน่วยของน้ำ g/cm^3

u = ค่าสัมบูรณ์หรือความหนืดของการเคลื่อนไหว $g-s/cm^2$

c = อัตราช่องว่างของดิน

n = ความโปร่งของดิน = $c/(1+c)$

C_u = ปัจจัยทางรูปทรงซึ่งขึ้นกับรูปแบบของระบบถึงตำแหน่งเสาภายในดินและ
ความเค้นเฉือนของช่องทางกระแส

D_u = เส้นผ่าศูนย์กลางของตัวกลางกระแสในอุดมคติ ซึ่งประกอบด้วย
อนุภาคทรงกลมขนาดเท่า ๆ กัน และแสดงคุณสมบัติ (ด้านการ
นิจารณาคอนสมิตีแห่งกำลังน้ำที่สูญเสียทางส่วนบน) ที่แท้จริงของ
ดินร่วมกับภายใต้ข้อนิจารณา

D_u ถูกสมมติเป็นขนาดเฉลี่ยของดินที่แท้จริง และมีขนาดใกล้เคียง D_{10} ของดิน
ในธรรมชาติสมการ (1.7 a และ b) ไม่สามารถใช้คำนวณค่า k
เพราะความซับซ้อนนำไปสู่การค้นพบค่าที่มีเหตุผลและเป็นที่ยอมรับสำหรับ C_u และ
 D_u อย่างไรก็ตาม ปัจจัยที่เป็นข้อสันนิษฐานกับการเหล่านี้กระทบกระเทือนค่าของ k
เป็นที่ยอมรับจากสมการเหล่านี้ว่าค่า k จะแปรผันตามกำลังสองของขนาดอนุภาค
เฉลี่ยสำหรับเครื่องของทราย, Hazen (1911) ถูกพัฒนาค่าต่อจากสูตร

empirical ของค่า K (cm/วินาที) ในส่วนของผลจากขนาด D_{10} (cm)

$$K = C_n D_{10}^2 \quad (1.8)$$

ตัวประกอบ C_n มีค่าประมาณ 100, และเพราะว่ามันมีหน่วยเป็นคู่ของ K และ D_{10} คือซม.ต่อวินาที และเซ็นติเมตรตามลำดับ นอกจากนั้นสมการของ Hazen ถูกจำกัดเป็นค่าของ D_{10} ระหว่าง 0.1 และ 3 mm และจะไม่ใช่เมื่อใดก็ตามที่สัมพันธ์อยู่ในรูป $C_u = D_{60}/D_{10}$ นั้นเกิน 5 ในการทดสอบของ Hazen & Taylor, 1948) ค่า C_n อยู่ระหว่าง 81 ถึง 117 (เฉลี่ย 100) และเฉพาะบางค่าอาจต่ำได้ถึง 41 และสูงถึง 146 จะสังเกตได้ว่า χ_w , μ และคัตราช่องว่างหรือ ความโปร่งจะไม่ปรากฏในสมการ (1.8) การนี้จะนำไปสู่การไม่ยอมรับข้อสันนิษฐาน ซึ่งดินทรายที่สูญเสียจะมีค่า k พบค่าหลังจาก การแบ่งโดยความหนาแน่น k จะไม่กระทบกระเทือนจากอนุหุมิที่เปลี่ยนแปลง แต่จะกระทบต่อค่าของ χ_w และ μ

ถ้าสมการ (1.7 a) และ (1.8) ถูกเปรียบเทียบกัน มันทำให้ค่า C_n ขึ้นกับคุณสมบัติของของเหลวและโครงสร้างของดิน หรือ

$$C_n = C_u (\chi_w/\mu) (e^3/1+e) \quad (1.9)$$

การเปลี่ยนแปลงของอนุหุมิมีผลกระทบค่า k ในดินตัวกลางเฉพาะอย่าง ถ้า K_1 และ $(\chi_w/\mu)_1$ มีอนุหุมิร่วมกันที่ t_1 และ k_2 กับ $(\chi_w/\mu)_2$ มีอนุหุมิร่วมกันที่ t_2 แล้วโครงสร้างของส่วนที่เหลือของดินตัวกลางจะไม่เปลี่ยนแปลงดังนี้

$$K_2/K_1 = (\gamma_w/\mu)_2 / (\gamma_w/\mu)_1 \quad (1.10)$$

เป็นที่รู้กันว่าค่า γ_w ของน้ำเปลี่ยนกับอุณหภูมิเพียงเล็กน้อย โดย μ เปลี่ยนแปลงตามมากที่สุด ตัวอย่างที่ 4°C μ ประมาณ 5 ครั้ง จะมีค่าที่ 100°C โดย γ_w เปลี่ยนเล็กน้อยประมาณ 1.04 ครั้ง ฉะนั้น สมการ (1.10) อาจถูกเขียนเป็น

$$K_2/K_1 = \mu_1/\mu_2 \quad (1.11)$$

สมการ (1.10) หรือ (1.11) สามารถใช้เป็นหลักตัดสินผลของการเปลี่ยนแปลงคุณสมบัติของของเหลวที่เปลี่ยนภายใต้อุณหภูมิ ความดัน และ/หรือคุณภาพของน้ำ ตัวอย่าง, ค่า k ในกระแสไหลในเขตน้ำลึกและน้ำเค็มจะแตกต่างกัน

สมการ (1.7 a) อาจจะถูกเขียนในรูปดังนี้

$$K = K_p \gamma_w / \mu \quad (1.12)$$

ที่ $K_p = C_u D_c^3 / (1+e)$ รู้กันว่าเป็นความสามารถดูดซึมที่แท้จริงหรือทางกายภาพ มันถูกใช้ในอุตสาหกรรมปิโตรเลียม ที่ซึ่งเป็นแหล่งกำเนิดของชนิดของเหลวต่าง ๆ ภายในดินตัวกลาง k อาจจะถูกแสดงในรูปเซนติเมตรกำลังสองหรือฟุตกำลังสอง หรือใช้หน่วยที่เรียกว่า darcy ซึ่งถูกกำหนดเป็นอัตราของ

กระแสที่ $1.0 \text{ cm}^3/\text{s}$ ไหลซึมผ่านพื้นที่ตัดขวาง 1.0 cm^2 และทางลาดที่มีความชัน
 ที่ 1 atm/cm เมื่อความหนืดของกระแสไหลคือ 1 cP โดยที่

$$1 \text{ darcy} = 0.987 \times 10^{-8} \text{ cm}^2 = 1.062 \times 10^{-11} \text{ ft}^2$$

$$1.0 \text{ atm} = 1.0132 \times 10^6 \text{ dyn/cm}^2$$

$$1.0 \text{ cP} = 0.01 \text{ P} = 10 \text{ mP} = 0.01 \text{ dyn}\cdot\text{s/cm}^2$$

$$i_{sp} = \text{pressure gradient} = \gamma_w \cdot \text{hydraulic gradient}$$

$$= i \cdot \gamma_w$$

$$(\mu \text{ ของน้ำ} = 10^{-5} \text{ g}\cdot\text{s/cm}^2 \text{ ที่อุณหภูมิห้อง})$$

อ้างอิงอีกครั้งถึงสมการ (1.7a) ที่เปลี่ยนแปลงในอัตราช่องว่าง e

(โดยการทำให้แห้ง, การกัดดินหรือการสิ้นสละเทอน) โดยที่ส่วนที่เหลือของของ

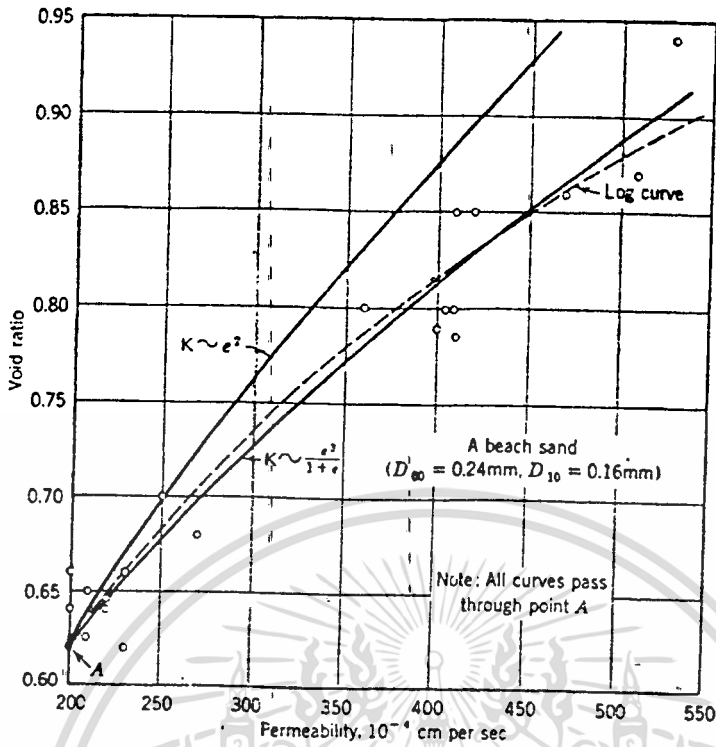
เหลวที่ไม่เปลี่ยนแปลง ถูกครอบคลุมด้วยความสัมพันธ์ระหว่างค่าแห่งกำลังน้ำ

k_1 และ k_2 ที่ที่ตั้งของความหนาแน่นของดินสองชนิดคือ 1 และ 2 ดังนี้

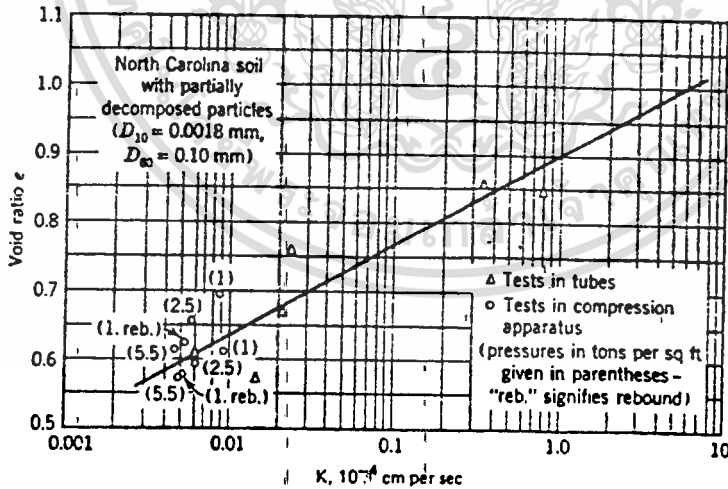
$$K_1/K_2 = [(e^3/1+e)]_1 / [(e^3/1+e)]_2 \quad (1.13)$$

สมมติให้ปัจจัยทางรูปร่างของ c (สมการ 1.7 a) ขึ้นกับความหนาแน่นที่เปลี่ยนแปลงในรูปแบบดินที่แน่นอน จากทัศนะหนึ่งของการปฏิบัติ (Tolroy, 1948) มีนัยพบว่าสมการ (1.11) สามารถทำให้ง่าย (รูป 1.5) สมการ (1.8) (1.13) และ (1.14) จำกัดเรื่องคนต้องเกาะกันเป็นก้อนว่าจะไม่ใช่สำหรับดินที่เกาะกันเป็นก้อน ดังเช่นตะกอนเลนผลาสติกและ/หรือดินเหนียวมันได้ถูกปรับปรุงจากการทดลอง (Taylor, 1948) อย่างไรก็ตามมีความสัมพันธ์เชิงเส้นระหว่าง e และ $\log k$ สำหรับดินที่ติดกัน (รูป 1.6)

น้ำในธรรมชาติเกิดจากน้ำที่ตกลงในตัวในอากาศ โดยรูปแบบที่เหมือนเครื่องจับหรือในรูปแบบการละลาย



Experimental checks on theoretical proportionalities between K and e in a beach sand. (D. W. Taylor, *Fundamentals of Soil Mechanics*, Wiley, New York, 1948.)



Relationship between K and e in a fine-grained soil. (D. W. Taylor, *Fundamentals of Soil Mechanics*, Wiley, New York, 1946.)

การละลายโดยการเพิ่มอุณหภูมิ หรือลดความดัน เป็นผลจากค่า k ในการคำนวณและการทดสอบ นี้สามารถทำปฏิกิริยาเคมีกับวัตถุ

ย่านความเร็ววิกฤตของ Darcy's law

ในการไหลของของเหลวในท่อทรงกลม ของ diameter D V_c จะสูงกว่าการไหลเริ่มเปลี่ยนจาก laminar จนรุนแรงขึ้น ดังสมการ Re

$$R_{uc} = V_c D (\gamma_w / \mu_w) = V_c D (\rho / \mu) = V_c (D / \nu') \quad (1.15)$$

- V_c = ความเร็ววิกฤตต่ำสุด
- μ = absolute viscosity of the fluid
- ν' = kinematic viscosity of the fluid cm^2/S
- γ_w = unit weight of the fluid

Re คือ ค่าขอบเขตน้อยที่สุดในทางปฏิบัติของการเริ่มไหลก่อนที่จะเริ่มเปลี่ยนความรุนแรง ย่านของ Re สำหรับ ขนาดต่าง ๆ และชนิดของ conduit สามารถหาอ่าน เช่น textbook on hydraulics $Re = 2000$ ในหลอดทรงกลม $Re = 1000$ สำหรับการไหลระหว่างแนว 2 แนวขนานกัน คำนึงถึงค่า D ในช่องว่างระหว่าง plates $Re = 500$ สำหรับการไหล trapezoidal conduit คำนึงถึง ค่า D ที่ความลึกของช่องเหลว $Re = 1.0$ สำหรับการไหลรอบ ๆ sphere ทรงกลม ของค่า D ค่าเหล่านี้ conservative สำหรับตัวอย่าง ในท่อวงกลม cross section ความรุนแรงของการไหลอาจจะทำลาย

เอกสารนี้เป็นเอกสารที่สงวนไว้สำหรับการใช้งานเพื่อการศึกษาเท่านั้น ไม่อนุญาตให้นำไปใช้ประโยชน์ด้านการค้า ไม่ว่าจะกรณีใดๆทั้งสิ้น อีกทั้งห้ามมิให้คัดลอกเนื้อหา และต้องอ้างอิงถึงเจ้าของเอกสารทุกครั้งที่มีการนำไปใช้

place เมื่อ $Re > 4000$ ค่า M และ V จะแปรตามอุณหภูมิตามสมการ $V_c D = V Re$ ที่
อุณหภูมิต่างกัน V_c ของช่องไหลใน small-diameter tubes จะสูงกว่า V_c
ใน large-diameter tubes การไหลจะรุนแรงในท่อตรงทั้งหมด

Re อาจจะมีค่าได้ไม่แน่นอน Soil อาจดูเหมือนประกอบไปด้วย infinite No. ของความไม่แน่นอน, ความคดเคี้ยว และความต่อเนื่อง
ของหลอด Capillary

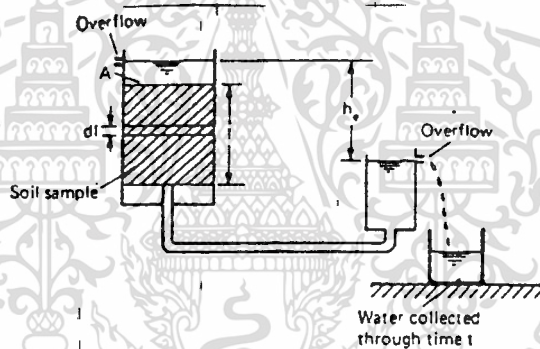
$$Re > V_c D = \frac{\rho_w}{\mu_w} = 1.0 \text{ to } 10 \quad (1.16)$$

สัญลักษณ์ต่าง ๆ ในสมการนี้ เหมือนกับในสมการ 1.15 ยกเว้น D_c

1.4 การทดสอบการซึมผ่าน

Hydraulic conductivity ได้ถูกคำนวณไว้อย่างดีแล้ว มีตัวแปร
หลายชนิดในการทดลองที่มีผลต่อค่า k หลักสำคัญของวิธีการทดลอง จะให้ข้อสรุป
ของการไหล

การทดสอบแบบตัดยั้ง



รูปที่ 1.7 ไดอะแกรมการทดลองแบบตัดยั้ง

จากรูปของนารามิเตอร์ 1.7 ในสภาวะ Steady-state ของการไหล จะต้องคอยวัดระดับที่ลดลงของน้ำ

$$k = \frac{V_w l}{h_c A t}$$

เริ่มต้นการทดสอบ ค่า V_{w1} และ V_{w2} จะเกิดขึ้นที่เวลา t_1 และ t_2 เป็นการตรวจสอบว่าการไหลถึงสภาวะ steady state เมื่อ $\frac{V_{w1}}{t_1} = \frac{V_{w2}}{t_2} = \text{ค่าคงที่}$

$$c_1 = c_2$$

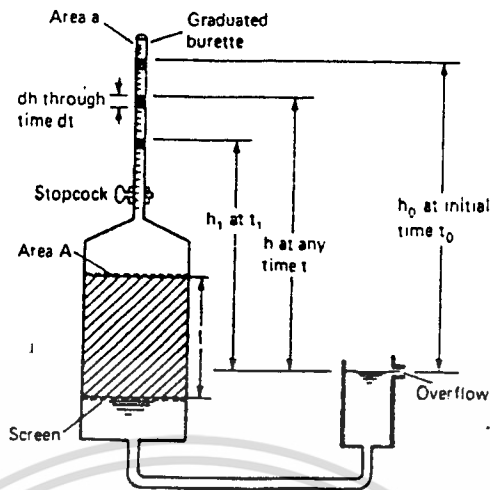
โดยที่จริงแล้วตัวอย่างที่นำเสนอนั้นจะไม่ยุ่งยากเหมือนกับสภาวะจริง ๆ อย่าง
น้อย permeameter ก็ออกแบบโดยเฉพาะที่จะทำให้เหมาะสมกับ Sampling
spoon ที่ใช้ใน field การไหลของตัวอย่างจากช่องและไหล เข้าไปในช่องใน
permeameter บางทีจะยุ่งกว่าโครงสร้างจริงของพื้นดิน ในทางปฏิบัติอาจจะ
เพียงพอในการเตรียมทรายตัวอย่างในบางครั้งการตั้งน้ำหนักของตัวอย่างจะเท่า
กับใน field เพื่อกัน effects ของการรบกวน ในการทดสอบจะเป็นตัวนำใน
ตัวอย่างที่อิ่มตัวและใช้น้ำกลั่น อย่างไรก็ตาม ในฟิลด์ ดินอย่างจะมีบางส่วนที่อิ่ม
ตัว และน้ำอาจจะบรรจุแร่ชนิดต่าง ๆ ขึ้นอยู่กับ location

น้ำอาจจะมีตัวทำละลายที่ละลายได้ดีกว่าอากาศ เพื่อที่จะให้ได้รับ
unique ของค่า k สำหรับดิน การทดสอบจะต้องมีมาตรฐาน ตัวอย่างในตอน
แรกอาจจะเป็นสูญญากาศ และค่อย ๆ อิ่มตัวกับน้ำกลั่นเพราะว่า entrapped
และ dissolved ยังคงอยู่ในน้ำกลั่น การไหลของน้ำจะถูกขวางโดย
entrapped air หรือโดยการ release ของ air bubbles เพื่อที่จะหลีกเลี่ยง
การขวางจากฟองอากาศเหล่านี้ ในการเทียบกับตัวอย่างเล็ก ๆ
Air-free water คือ ละอองของน้ำกลั่นในสูญญากาศ ในตัวอย่างนั้นจะถูก
protected ระหว่าง การไหลซึมจาก contact กับ atmosphere อุปกรณ์ใน
lab ทุก lab อาจจะเพียงพอสำหรับการอุ่นน้ำกลั่น ณ T ที่เหนืออุณหภูมิห้องน้ำ
จะค่อย ๆ เย็นลงระหว่างการทดสอบ

ผลของการทดสอบจะพิจารณาถึงค่าประมาณ เราอาจจะใช้การเทียบ
กับการไหลซึมของตัวอย่างหลาย ๆ ตัวอย่าง แต่ไม่ใช่ค่าที่แท้จริงของการไหลซึม
เหล่านี้ในใ้ปากติจะไม่กลั่น และบรรจุอากาศ อย่างไรก็ตาม lab test ทุก
lab จะมีมาตรฐานที่เหมือนกัน เพื่อที่จะได้ข้อสรุปที่แน่นอน หมายความว่าใน
Situ permeability test จะให้ค่า k สูงกว่า lab test

การทดสอบแบบศักย์แปรเปลี่ยน

The hydraulic conductivity of fine-grained Soil ที่
เป็นโคลน อาจจะคำนวณโดย falling-Head Permeameter รูป 1.8
permeameter นี้ ออกแบบเพื่อจะหลีกเลี่ยง collecting V_w ที่มันเล็กมาก
สำหรับดินและต้องการเวลานาน ๆ ที่จะสะสม measurable. A
small-diameter burette จะต่ออยู่ที่ส่วนบนของตัวอย่าง ส่วนล่างจะต่อกับ
container ในแต่ละระดับต่ำจะถูกรักษา meter จะเป็นแบบ transient



รูปที่ 1.8 ไดอะแกรมการทดลองแบบสัถย์แปรเปลี่ยน

การบันทึกการทดสอบจะวัดจาก ระดับน้ำ h_0 และ h_1 ที่เวลา t_0 และ t_1 ตามรูป 1:8 ที่ $t_1 - t_0$ คือการทดสอบคาบเวลา ถ้า a และ A คือพื้นที่ cross-sectional ของ burette และตัวอย่างดิน ตามลำดับ แล้ว k คือ ค่าที่คำนวณจากสมการการไหล

$$k = \frac{a l}{A(t_1 - t_0)} \ln \frac{h_0}{h_1} \quad (1.18)$$

$Q = Ak (h/l)$ จะไม่ปรากฏ ในสมการ

ข้อเสียของ permeameter จะเหมือนกับ Constant head Permeameter

การทดสอบ CONSOLIDATION

การทดสอบความแข็ง คือการออกแบบเพื่อคำนวณความยืดหยุ่นของ clay layer เพื่อหาค่า anticipated settlements ของโครงสร้างบน clay layer จากตัวอย่างแต่ละอย่าง การคำนวณค่า K จะพิจารณาอย่างถี่ถ้วนเชื่อมั่นได้มากกว่าการคำนวณจาก the falling-head permeameter

table 1.1

Hydraulic Conductivity K of Common Natural Soil	
Formations	
Formation	Value of K , cm/s
River deposits:	
Rhone at Genissiat	Up to 0.40
Small streams, eastern Alps	0.02-0.16
Missouri	0.02-0.20
Mississippi	0.02-0.12
Glacial deposits:	
Outwash plains	0.05-2.00
Esker, Westfield, Mass.	0.01-0.13
Delta, Chicopee, Mass.	0.0001-0.015
Till	Less than 0.0001
Wind deposits:	
Dune sand	0.1-0.3
Loess	0.001 \pm
Loess loam	0.0001 \pm
Lacustrine and marine offshore deposits:	
Very fine uniform sand, $C_u = 5$ to 2	0.0001-0.0064
Bull's liver, Sixth Ave., N.Y., $C_u = 5$ to 2	0.0001-0.0050
Bull's liver, Brooklyn, $C_u = 5$	0.00001-0.0001
Clay	Less than 0.0000001

SOURCE: K. Terzaghi and R. B. Peck, *Soil Mechanics in Engineering Practice*, 2d ed., Wiley, New York, 1967.

แม้ว่าการทดสอบความแข็ง จะยังคงมีใช้กันไม่มากในแง่ของ ground water hydrology ก็ตาม แต่ก็ยังใช้ในการหาค่าทรุดตัวของพื้นดินระหว่างปี

$$K = c_v m_v \gamma_w \quad (1.19)$$

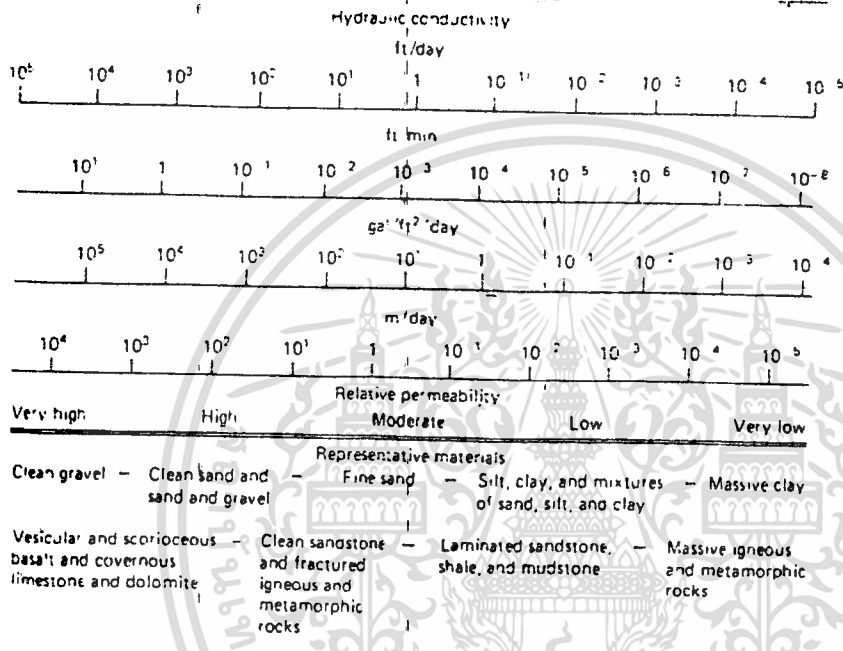
เมื่อ K = hydraulic conductivity, cm/s

C_v = สปส. ของการบดอัด, cm^2/s

M_v = ความสามารถในการรับแรงกดของดิน, cm^2/g

ตัวแปรร่วม C_v และ M_v คำนวณจาก การทดสอบความแข็ง K หา จากสมการ 1.19 M_v เป็นที่รู้จักกันดี คือเป็นค่า ยึดหยุ่น มั่นคล้าย ๆ กับการ ยึดหยุ่นของดิน (S)

K โดยทั่ว ๆ ไป จะให้มาในตาราง 1.1 ของค่า K สำหรับดิน และ หิน จะให้มาในรูป 1.9 ปกติ M_v และ K จะพบจากการทดสอบ ในแต่ละ Case c_v สามารถคำนวณจากสมการ 1.19



รูปที่ 1-9

เอกสารนี้เป็นเอกสารที่สงวนไว้สำหรับการใช้งานเพื่อการศึกษาเท่านั้น ไม่อนุญาตให้นำไปใช้ประโยชน์ด้านการค้า
ไม่ว่ากรณีใดๆทั้งสิ้น อีกทั้งห้ามมิให้ตัดแปลงเนื้อหา และต้องอ้างอิงถึงเจ้าของเอกสารทุกครั้งที่มีการนำไปใช้

Hydraulic Heads

ในทวิภาคสุดท้ายของน้ำ total hydraulic head h

หาจากผลต่างของ h_1 และ h_2 จากสมการของ Bernouilli

$$h_1 = p_1/\gamma_w + y_{o1} + v_1^2/2g \quad (1.20)$$

$$h_2 = p_2/\gamma_w + y_{o2} + v_2^2/2g$$

ในระบบการไหลของน้ำบาดาล ใช้สมการ 1.20 ความเร็วต้น $v^2/2g$ จะกำหนด ความเร็วที่น้ำไหลซึมกันเป็น pointed out ในบท 2 ว่า ความเร็วทั่ว ๆ ไป จะแปรผัน .4 cm/วัน ถึง 2.0m/วัน และอาจจะสูงถึง 30m/วัน ในบางครั้งบางคราว ถ้าค่าสูงสุดของ K และ i เป็นค่าสมมติ, สำหรับตัวอย่าง ๆ 5cm/s และ 1.0, ตามลำดับ แล้ว V จะตรงกับ n ของ 30% คือ 16.7 cm/s, ความเร็วต้น $= V^2/\gamma_w = .14cm$ ใน ground water hydrology มีสมการของ Bernouilli

$$h = (p/\gamma_w) + y_o \quad (1.21)$$

แล้วสมการกำลังงานระหว่าง 2 จุดจะเป็น

$$h_w = h_e - h_p = \Delta h = \Delta \left(\frac{p}{\gamma_w} + y_w \right) \quad (1.22)$$

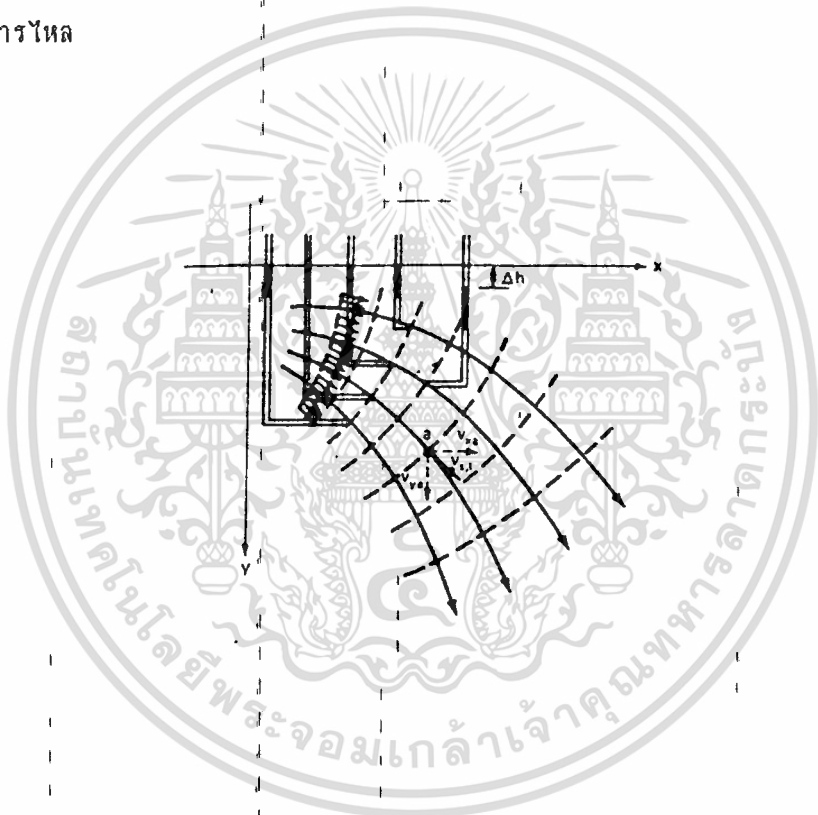
pressure head p/γ_w ที่บางจุดในย่านการไหลคือ มุมยก
เหนือจุดนี้ น้ำที่พุ่งขึ้นในหลอด piezometric จะขึ้นไปถึงจุด ๆ หนึ่ง
pressure head จะเพิ่มขึ้นเล็กน้อย ต่ำกว่า watergruond
table และลดลงใน capillary Zone ตำแหน่ง head ye เป็น + ถ้าจุด
ใต้การพิจารณาอยู่เหนือตัวเลขที่เลือกไว้และเป็นลบถ้ามันต่ำกว่า ตัวเลขแนวนอน
เป็นเลขที่เลือกขึ้นมา และพื้นที่ทำเลไม่มีผลกระทบบต่อ P/γ_w หรือค่าของ $h = h_w$

1.6 Generalization of Darcy's law.

แม้ว่ากฎของ Darcy จะถูกพัฒนาขึ้นมาจากการทดลอง ก็สามารถ
นำไปใช้ประโยชน์ได้มาก โดยเฉพาะในระบบการไหลสองมิติ รูป 3.11 ค่า
 V_x, t ที่จุด a ในตัวกึ่งกลางการไหล จะมีเส้นทางที่เหมือน tangent line
เวกเตอร์อาจจะมีการ analyzed V_x, a และ V_y, a ในระนาบ x กับ y ตาม
ลำดับ จากที่จุด b

$$v_{x,x} = -K(dh/ds_x) \quad v_{x,x} = -K(dh/dx) \quad v_{y,y} = -K(dh/dy) \quad (1.23)$$

ที่ S_x มีลักษณะเส้นทางเป็น tangential ของการไหลในแนว x, y ตามลำดับในแนวนอนและแนวตั้ง (-) ใน Eq 1.23 หมายถึง h อย่างไรก็ตาม s_x , หรือ y (+) ความเป็นไปได้ขึ้นกับ เส้นทางของ axes กับ ทิศทางการไหล



รูปที่ 1.11 แสดงเส้น stream line และ equip. line

การประยุกต์ Darcy's law อาจจะทำเป็น 3 มิติ ด้วย ระบบพิกัด cartesian หรือระบบพิกัดทรงกระบอก อย่างไรก็ตามในปัญหาต่างๆไปทั้งหมดของ Case 3 มิติ เป็นกาขประเมินจาก Case 2 มิติ การ Sol. ปัญหา 3 มิติ กระทำโดยวิธี numerical analysis

1.7 ผลของแบ่งชั้นดินใน Hydraulic Conductivity

ความเหนี่ยวนำ hydraulic ในทิศทางของชั้นมีค่ามาก เมื่อเปรียบเทียบกับค่า K ในทิศทางอื่น ๆ ตามจุดต่าง ๆ ในแต่ละแบบ อัตราส่วน K_{max}/K_{min} ย่านระหว่าง 2 และ 3 เกือบจะอนันต์ในแบบของมุม α ถึง beading ค่า K_α จะอยู่กลางระหว่าง K_{max} - K_{min}

$$K_\alpha = \frac{K_{max} K_{min}}{K_{max} \sin^2 \alpha + K_{min} \cos^2 \alpha} \quad (1.24)$$

ค่าของ K_{max} และ K_{min} ไม่สามารถคำนวณจาก lab หรือฟิลด์ทดสอบได้ เมื่อโครงสร้างดินมีแบบที่แน่นอน จะถูกเรียกว่า homogeneous เมื่อคุณสมบัติของ hydraulic เหมือนกับในจุดตรงกลาง ($K_{max} = K_{min} = K_\alpha = X$), ดินจะถูกเรียกว่า isotropic ถ้าดินเป็นชั้น แต่ค่า K_{max} และ K_{min} เหมือนกันที่ทุก ๆ จุดใน formation. ดินเป็นที่รู้จักในชื่อ anisotropic และ homogeneous ถ้าสภาวะเหล่านี้ไม่เป็นที่น่าพอใจ ดินจะถูกเรียกว่า heterogeneous

ในทางทฤษฎีและทางปฏิบัติ ดินจะถูกสมมติให้เป็นแบบ homogeneous และ anisotropic วิธีสำหรับแบบ groundwater ใน latter case นี้ สามารถขยายสำหรับ homogeneous และ anisotropic ได้ ชุดตามทฤษฎี วิธีที่พบใน heterogeneous จะใช้การวิเคราะห์เชิงตัวเลขอย่างไรก็ตาม วิธีเหล่านี้

นี้คือการที่มวลในการคำนวณค่า K ในทุก ๆ แบบที่ Various point. และการ
ลากเส้นของ layer หรือ existing soil pocket ใน heterogeneous
formation เหล่านี้ไม่เหมาะสมที่จะนำไปคำนวณ



เอกสารนี้เป็นเอกสารที่สงวนไว้สำหรับการใช้งานเพื่อการศึกษาเท่านั้น ไม่อนุญาตให้นำไปใช้ประโยชน์ด้านการค้า
ไม่ว่ากรณีใดๆทั้งสิ้น' อีกทั้งห้ามมิให้ตัดแปลงเนื้อหา และต้องอ้างอิงถึงเจ้าของเอกสารทุกครั้งที่มีการนำไปใช้

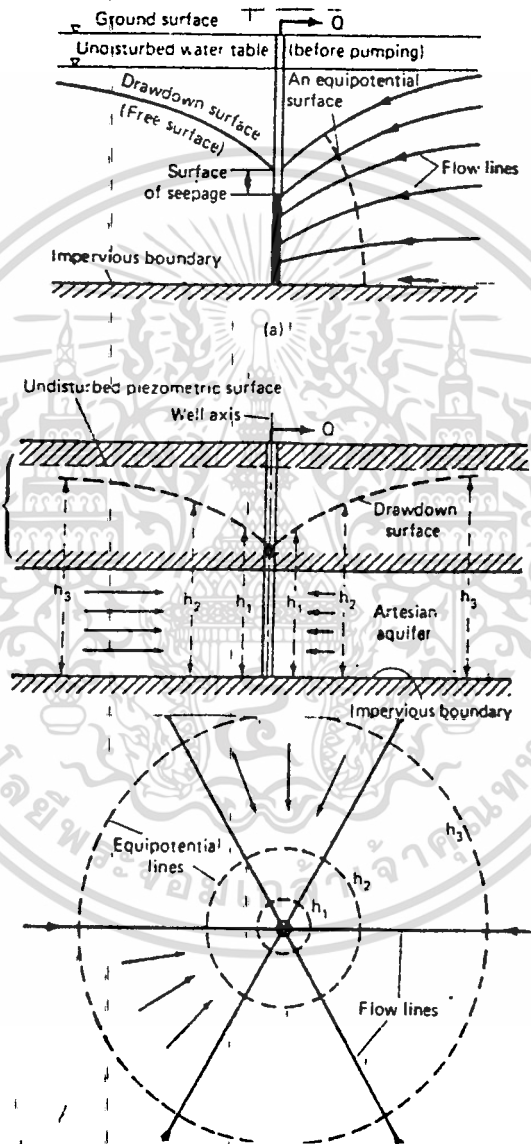
1.8 Flow configuration

เมื่อเส้นทางการไหล มีลักษณะเป็นแบบขนาดและมีทิศทางเดียวกัน (ในแนวระดับ หรือ ในแนวตั้งฉากหรือทั้ง 2 แนว) ชื่อ ของระบบการไหลชนิดนี้ จะมีชื่อว่า ระบบ Unidirectional flow (รูป 1.10) ซึ่งระบบการไหลดังกล่าว จะพบเห็นได้ง่ายในท้องทดลองโดยใช้กับ Permeameters

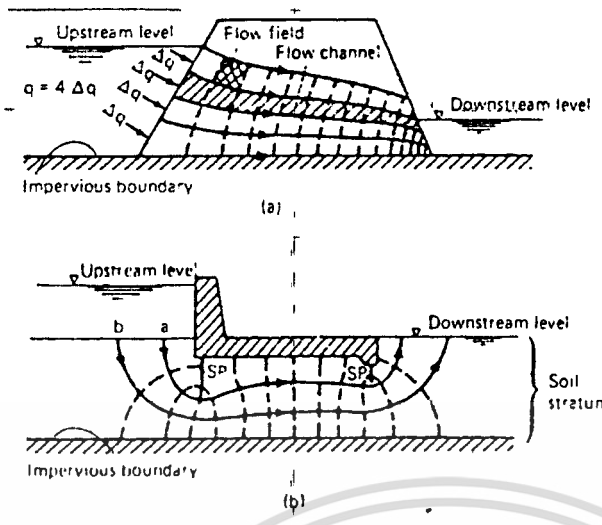
จากรูป 1.12 แสดงให้เห็นถึงระยะจากจุดใด ๆ บนวงกลมไปสู่จุดศูนย์กลาง ซึ่งจะ เป็นตัวอธิบายถึง น้ำในอุดมคติที่ระดับเริ่มแรก หรือ แรงกด ในแนวระดับที่ผิวหน้า หรือตามโค้งของพื้นที่ ปฏิบัติงาน พบว่าในกรณีของการไหล ชนิดนี้ จะมีการไหลเป็นแบบ 2 ทิศทาง โดยตัวอย่างของระบบการไหล แบบ 2 ทิศทางที่จะแสดงโดยรูป 1.13

ถ้าทำการทดลองโดยการหยด สีย้อม ที่จุดดังแสดงในรูป 1.13 b จะพบว่า เกิดรอยของสีย้อมที่หยดนั้นวิ่งไปตาม curve ซึ่งจะสามารถมองเห็นได้ curve ดังกล่าวจะเป็นตัวชี้ให้เห็นเส้นทางการไหลของน้ำ (หรือ เส้นทางการไหลของไอน้ำ) เมื่อการไหลเข้าสู่สมดุลย์ และ ตัวกลางที่ผสมอยู่รวมตัว เป็นเนื้อเดียวกันซึ่ง curve orthogonal นี้จะเป็นเส้นที่สามารถอ้างให้เห็นถึง equipotential line และเป็นที่แน่ใจได้ว่า จุดทุกจุดที่อยู่บน equipotential line จะมีทิศทางมุ่งไปสู่ทวงเดียวกัน ดังนั้น curve ทั้ง 2 ที่กล่าวมานี้ (รูป 1.11, 1.13) จึงมีชื่อเรียกว่า flow net ซึ่งจากทั้งหมด ที่กล่าวมาจะพบว่ามี Curve จำนวนมากมายที่อยู่บน flow medium แต่อย่างไรก็ตาม Curve แต่ละเส้นทาง จะเป็นตัวเลือกทางเดินของ flow net โดยเป็นตัวชี้ถึง flow configuration ได้ส่วนอีกวิธีหนึ่งที่สามารถทำได้ คือ การใช้เส้นทางเดินของ flow net เป็นตัวช่วยในการหา หรือใช้ในการวิเคราะห์

ขอบที่อยู่ระหว่าง เส้นทางการไหลที่อยู่ติดกันมีชื่อเรียกว่า flow channel (รูป 3.13 a) ซึ่งผลรวมของการไหลคือ Q โดยค่า q นี้จะสามารถแบ่งออกเป็นส่วน ๆ ได้โดยให้ q เป็นตัวแทน (q คือ อัตราส่วน การไหลต่อ



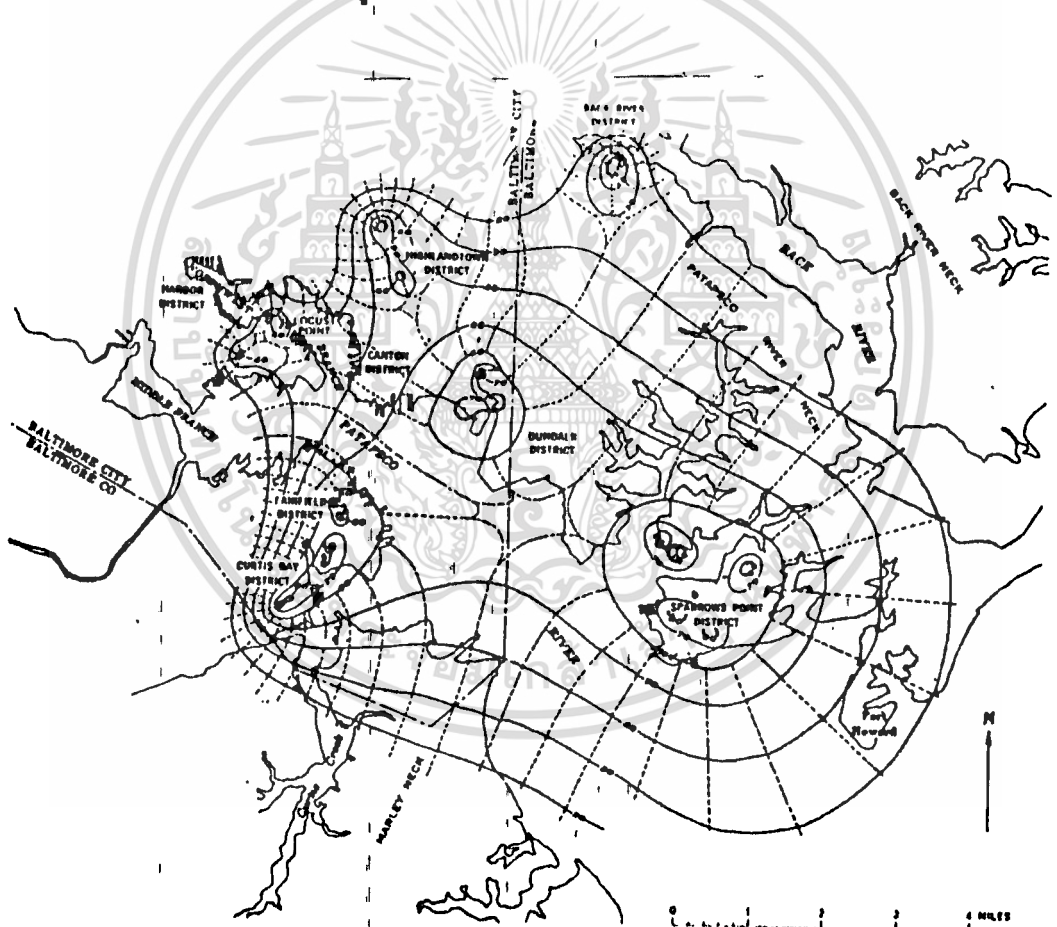
รูปที่ 1.12 ระบบการไหลเป็นวงกลม (a) Gravity well ;(b) artesian well (vert. section); (c) artesian well (horiz. section)



หน่วย ความยาว โดยทั่วไปจะคิดอยู่ในลักษณะภาคตัดขวาง ซึ่งจะมีหน่วยเป็น เมตรกำลัง 2 ต่อวินาที) ผลต่างของความหนาแน่น ที่อยู่ด้านบนของ equipotential line 2 เส้นที่อยู่ติดกันจะใช้ เป็นสัญลักษณ์และมีชื่อว่า equipotential drop (รูป 1.12) ใน บริเวณขอบเขตระหว่างเส้นทางการไหล (flow line) 2 เส้นที่เกิดกันและบริเวณขอบเขตระหว่าง equipotential line 2 เส้นที่อยู่ติดกัน จะมีชื่อเรียกว่า field (รูป 1.13a) ซึ่งในทางธรณีวิทยา ขนาด field จะมีลักษณะเป็นรูปสี่เหลี่ยมที่มีขนาดเล็กมากๆ โดยที่ Δh และ Δq ต่าง มีขนาดเท่ากันหรือในอีกกรณีหนึ่ง field อาจมีลักษณะเป็นรูปสี่เหลี่ยมผืนผ้าก็ได้ และจากสาเหตุที่ด้านข้างของ field จะมีลักษณะเป็น curve ถ้า field มี ลักษณะเป็นแบบสี่เหลี่ยมจัตุรัสจะมีชื่อเรียกว่า curvilinear square มี ลักษณะเป็นแบบสี่เหลี่ยมผืนผ้า จะมีชื่อว่า curvilinear rectangle (Casagrande, 1937; Taylor, 1948; Terzaghi and Peck 1967) flow net ที่ได้ใน field จะมีขนาดใกล้เคียงกัน ซึ่งจะเหมาะสมกับการทำงานของมนุษย์ ลักษณะของ field ที่ดี จะแสดงถึงในรูป 1.14

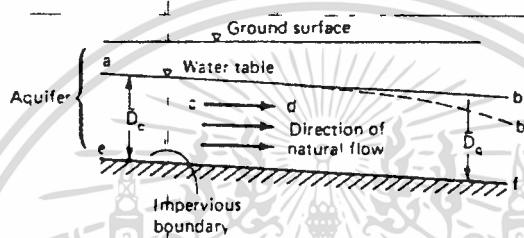
รูปแบบของการไหลเมื่ออยู่ในภาวะ Steady-state เส้นทางการไหลแบบ unidirectional จะมีลักษณะการไหลเป็นเส้นตรงที่ขนานกัน

ด้วยค่าคงที่ของ hydraulic gradient ลักษณะทางภูมิศาสตร์จะมีผลโดยตรง
 กับชนิดของระบบไหล เช่นเดียวกับกรณีของ permeameter กว่าในทางปฏิบัติมัก
 ไม่นิยมนำเอาที่ทั้งมาช่วยในการหารูปแบบลักษณะของกราร์ไหลเท่าใดนัก จากรูป
 1.13c จะเห็นได้ว่า flow zone ที่ ได้จะเป็นการรวมเอาความยาวของ
 Straight line ที่กำหนดโดย gradient ซึ่งค่าของ gradient จะเป็นค่า
 ที่มีการเปลี่ยนแปลงจากรูป ดังกล่าวจะสังเกตได้ว่า Vertical line จะ



รูปที่ 1.14

สมมาตรกันที่ เส้นตรง ab และจะทอดยาวตามไปตามความยาวที่อยู่ในแนวระดับจากที่กล่าวมาจะพบว่าเป็นรูป 1.13 a, b และ c ต่างมีค่าตรงกัน



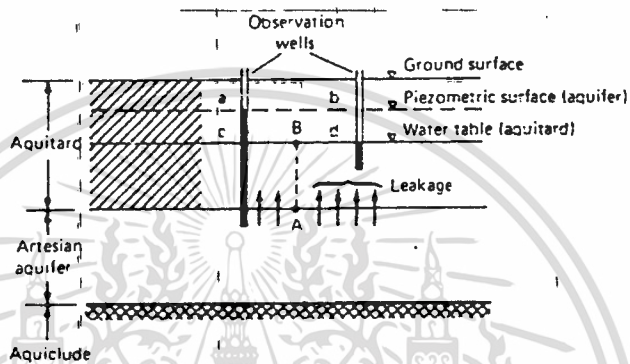
รูปที่ 1.15

จากรูป 1.15 เป็นรูปแบบการไหลของน้ำใต้ดินแบบหนึ่ง จะเห็นได้ว่า มีทิศทางจาก d c ไปยัง d ส่วนเส้นตรง ab เป็นเส้นที่สมมติขึ้นโดยเป็นตัวกำหนด

slope ของการไหลให้มีค่าเท่ากับ slope ของพื้นที่ ef และกำหนดให้ คือ ความลึกของน้ำซึ่งเป็นค่าคงที่จากรูปจะเห็นได้ว่า การไหลของน้ำที่ระดับน้ำสามารถนำเอาขึ้นมาใช้งานได้ แต่ในความเป็นจริงระดับน้ำกำหนดโดย เส้นตรง ab จะมีลักษณะเป็น Curve 'ab' (ดังรูป 1.15) ซึ่งจะเป็นระบบการไหลแบบ 2 มิติ จากรูป 1.16 ในทางอุดมคติของ artesian aquifer จะกำหนดให้เส้นตรง ab เป็น piezometric surface โดยจะอยู่เหนือเส้นระดับน้ำ cd ที่ตำแหน่งของชั้น Aquitard ซึ่งจะวางตัวอยู่เหนือชั้น Aquifer ส่วนเกิดขึ้นที่ชั้น aquitard อาจเกิดมาจากการไหลซึมของน้ำจากชั้น aquifer ขึ้นมาด้านบนนั่นเอง โดยน้ำที่ไหลซึมขึ้นมาจะมีชื่อเรียกว่า leakage และสมมติให้รูปแบบของการไหล จะมีทิศทางในแนวตั้งซึ่งแสดงด้วยเส้นประ AB โดยที่ค่าของ gradient มีค่าคงที่ (รูป 1.16) ส่วนอัตราการไหลของน้ำที่ซึมขึ้นมา จะมีค่าน้อยมากจนไม่มีผลกระทบต่อระดับของน้ำหรือแรงกดดันบริเวณผิวหน้าดิน (piezometric surface) แต่สิ่งที่มีผลโดยตรงต่อระดับของน้ำได้คือน้ำคือ ลักษณะของภูมิประเทศเช่นเป็นหลุม ๆ ตอน ๆ และการนำเอาน้ำขึ้นมาใช้ของมนุษย์

การศึกษาถึงระบบการไหลของน้ำแบบ เดินเส้นทางเดียวนี้จะมีประโยชน์ต่อการศึกษาเกี่ยวกับระบบการไหลของน้ำที่มีความซับซ้อนยิ่งขึ้น เพราะจะทำให้สามารถเข้าใจระบบได้ง่ายและรวดเร็ว ระบบการไหลของน้ำว่าเป็นระบบใดนั้น สภาพภูมิประเทศและค่าตัวชี้ของตัวแปรต่าง เช่น effective

stresses, seepage forces และ quicksand condition จะตามสำคัญ
ต่อการวิเคราะห์ระบบนี้ได้แก่อย่างอื่น



รูปที่ 1.16 Water leakage from artesian aquifers

บทที่ 2

สภาวะการไหลสม่ำเสมอในสองมิติ

ระบอบการไหลของน้ำ 2 มิติ ได้มีการคิดวิธีที่ใช้แก้ปัญหาขึ้นมา ทั้งยังมีผลต่อค่า
ค่าการไหลของน้ำ การถ่ายเทและการระบายน้ำจะเป็นรูปร่างต่างๆ แต่จะมี
เพียง 2 รูปแบบเท่านั้น

โดยทั่วไปการไหลของน้ำจะมี 2 ชนิดคือ การไหลที่มีการจำกัดขอบเขตและ
ไม่จำกัดขอบเขต ในส่วนที่มีการจำกัดขอบเขต เส้นการไหล(flow line)บนสุดจะ
ต่ำกว่าความดันซึ่งสูงกว่าความดันบรรยากาศ เช่นระดับน้ำใต้เขื่อน บ่อบาดาลก็จัด
อยู่ในประเภทนี้

ในส่วนการไหลที่ไม่จำกัดขอบเขต (การไหลเนื่องจากแรงโน้มถ่วง) เส้นการ
ไหลบนสุดจะสมดุลกับความดันบรรยากาศ นั่นคือความดันตามเส้นการไหลนี้จะเท่า
กับความดันบรรยากาศ($p=0$)ที่จุดใดๆ ตัวอย่างการไหลประเภทนี้ จะเป็นระบบการ
ไหลของน้ำในธรรมชาติ การไหลซึมของน้ำใต้เขื่อน การไหลในคลอง

สมการการไหลของน้ำ จะเป็นเช่นเดียวกับกับการไหลสม่ำเสมอทุกระบบ อย่างไรก็ตามการแก้ปัญหา
ก็จะต่างกันออกไป ทั้งนี้เป็นผลเนื่องมาจากความแตกต่างของ
ขอบเขตทางเรขาคณิตและhydraulic

สมการการไหลใน 2 มิติ เป็นที่รู้จักกันในชื่อของสมการลาปลาซ(laplace
equation) ซึ่งอาจเปลี่ยนรูปสมการเป็นในระบบพิกัดทรงกระบอก ซึ่งเหมาะสม
กับการไหลแบบเป็นวง(radial flow) การแก้ปัญหาในระบบการไหลแบบไม่มี
ขอบเขตจะยุ่งยากกว่าระบบที่จำกัดขอบเขต อย่างไรก็ตามเงื่อนไขขอบเขตของพื้นผิว
อิสระสามารถแสดงได้ทั้งในทางนิลคัสและคณิตศาสตร์ เทคนิคทางคณิตศาสตร์ได้รับการ
พัฒนาขึ้นเพื่อแก้ปัญหาคณิตศาสตร์ระบบการไหลเนื่องจากแรงโน้มถ่วง แต่วิธีนี้ไม่นิยมใช้

เอกสารนี้เป็นเอกสารที่สงวนไว้สำหรับการใช้งานเพื่อการศึกษาเท่านั้น ไม่อนุญาตให้นำไปใช้ประโยชน์ด้านการค้า
ไม่ว่ากรณีใดๆทั้งสิ้น อีกทั้งห้ามมิให้ดัดแปลงเนื้อหา และต้องอ้างอิงถึงเจ้าของเอกสารทุกครั้งที่มีการนำไปใช้

ในด้านวิศวกรรม วิธีการประมาณทางคณิตศาสตร์หลายวิธีได้รับการเสนอขึ้นและนำมาเปรียบเทียบกับวิธีวิเคราะห์ซึ่งเข้มงวดกว่า ปรากฏว่าวิธีทางคณิตศาสตร์นั้นเป็นไปได้และไม่ยืดหยุ่น ดังนั้นจึงจำเป็นต้องใช้วิธีคำนวณเชิงตัวเลข (numerical procedures)

นอกจากการประมาณทางคณิตศาสตร์แล้ว, เทคนิคการสร้างแบบจำลองหลายๆแบบได้มีการนำมาใช้ด้วย การใช้ทรายขี้มเพื่อค้ำยันทางกาไหล ได้นำไปใช้ทั้งในกรณีที่มีการไหลถูกจำกัดขอบเขตและไม่จำกัดขอบเขต ในบริเวณที่การไหลไม่ถูกจำกัดขอบเขต จะเห็นเป็นแนวเล็กๆ แต่เราไม่สามารถสร้างแบบจำลองออกมาได้ การแตกตัวของสีเป็นอุปสรรคของการทำงาน การใช้ทรายเพื่อให้เห็นเป็นตัวอย่างประกอบเท่านั้น ถือเป็นวิธีเปรียบเทียบระหว่างกาไหลของน้ำใต้ดินตามสมการลาปลาสกับวิธีอื่น ทำให้เห็นแก่ศทางกาไหลได้ โดยกาใช้ความร้อน กาใช้ท่อ กาใช้ฟิล์มสบู่ กาใช้แสง กาเห็นขนำด้วยไฟฟา กาใช้จู่เล็คโตรไลต์ และกาใช้แบบจำลองแม่เหล็ก แต่ละวิธีได้ผลออกมาแตกต่างกัน กาใช้แบบจำลองไฟฟาอาจช่วยแก้ปัญหาระบบกาไหลในขอบเขตจำกัดได้ และได้มีการพัฒนาระบบขึ้น โดยวิธีลองผิดลองถูก กาใช้ความต้านทานกระแสไฟฟาได้ถูกนำมาใช้อย่างจริงจัง กาที่จะเข้าใจวิธีการนี้ จะต้องมีความรู้ทางด้านกาวิเคราะห์เชิงตัวเลขด้วย

กาวิเคราะห์เชิงตัวเลข (numerical analysis) มีมานานกว่า 4 ทศวรรษแล้ว วิธีนี้นำมาใช้เพื่อแก้ปัญหาทางวิศวกรรมและน้ำใต้ดินโดยใช้หลายวิธีการด้วยกัน (ส่วนใหญ่คือวิธีการผ่อนปรนและการอินทิเกรต (relaxation and integration techniques) กาวิเคราะห์เชิงตัวเลข จะช่วยให้เห็นการเปลี่ยนแปลงสมการทางคณิตศาสตร์ไปอยู่ในรูปของสมการทางเรขาคณิต เมื่อไม่ยาวนานกาคำนวณโดยใช้วิธีวิเคราะห์เชิงตัวเลข (numerical analysis) ด้วยวิธี finite-element

เอกสารนี้เป็นเอกสารที่สงวนไว้สำหรับการใช้งานเพื่อการศึกษาเท่านั้น ไม่อนุญาตให้นำไปใช้ประโยชน์ด้านการค้า ไม่ว่าจะกรณีใดๆทั้งสิ้น อีกทั้งห้ามมิให้คัดแปลงเนื้อหา และต้องอ้างอิงถึงเจ้าของเอกสารทุกครั้งที่มีการนำไปใช้

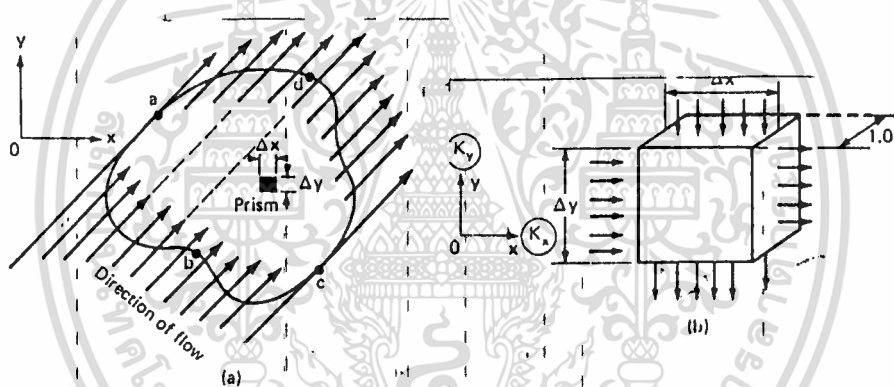
และวิธี finite-element เป็นวิธีที่เป็นไปได้และเหมาะสมมากที่สุดในปัจจุบัน

สมมติฐานเบื้องต้นของสมการหลักทางคณิตศาสตร์ ที่เกี่ยวข้องกับกาไหลจะกล่าวถึงในบทนี้เพื่อเข้าถึงข้อจำกัดของวิธีการแก้ปัญหา รวมทั้งการใช้วิธีวิเคราะห์เชิงตัวเลข วิธีการแก้ปัญหาดังกล่าวนี้ ผู้ปฏิบัติสามารถนำไปใช้ได้หรือนำไปใช้เป็นแนวทางค้นหาวิธีการแก้ปัญหาที่เหมาะสมต่อไป วิธีของตาข่ายการไหลโดยใช้การวาด (frechand sketching) แม้ว่าจะเป็นการประมาณแต่ก็ยังจัดว่าเป็นวิธีที่มีประโยชน์และมีประสิทธิภาพ หลักของวิธีนี้จะไม่สามารรถเข้าใจได้อย่างถ่องแท้ถ้าปราศจากความรู้ทางคณิตศาสตร์ ผลลัพธ์อาจจะเป็นสิ่งจำเป็นสำหรับจุดประสงค์ในการฝึกฝนและสามารถที่จะใช้โปรแกรมคอมพิวเตอร์เพื่อเร่งการคำนวณโดยจัดเงื่อนไขพื้นฐานเหล่านี้เป็นเงื่อนไขเริ่มต้น

อย่างไรก็ตามยังไม่มียุติที่ได้ผลแน่นอนผลที่ออกมาแต่ละครั้งก็ช่วยให้เข้าใจระบบการทำงานมากขึ้น เช่นตัวอย่างการศึกษาสภาวะการไหลของน้ำในบ่อด้วยวิธีต่างๆท้ายที่สุดโดยหลักทางวิศวกรรม ผลลัพธ์ขั้นสุดท้ายที่ไม่ควรจะเกิดขึ้นก็จะเป็นตัวกำหนดมาตรฐานของความปลอดภัย และเหล่านี้เป็นการกำหนดวิธีการแก้ปัญหาสภาวะการไหลแบบสม่ำเสมอ ในเขื่อนกันแม่น้ำ ตัวอย่างคือ กระแสน้ำขึ้นจะพิจารณาที่ระดับน้ำสูงสุดเท่าที่จะเป็นไปได้ของมัน ในขณะที่กระแสน้ำลง จะสมมติว่าแห้ง (dry) แม้ว่าแม่น้ำอาจจะไม่แห้งตลอดก็ตาม ดังนั้นการไหลสภาวะสม่ำเสมอจึงนำมาพิจารณาอีกครั้งหนึ่งในกรณีต่าง ๆ เหล่านี้ เงื่อนไขที่วิกฤติที่สุด อาจคาดว่าเกิดขึ้นเป็นตัวทดสอบเสถียรภาพและความปลอดภัยของโครงสร้าง

2.1 สมการลาปลาซ และตาข่ายการไหล

จากรูป 2.1a เส้น $abcd$ เป็นตัวกลางในการไหล ภายใต้เงื่อนไขสมมาตรสม่ำเสมอ อัตราการไหลผ่านเส้น $abcd$ ขณะที่น้ำเคลื่อนที่จาก abc ถึง adc การสูญเสียในค่าศักย์ของน้ำ จะทำให้ความดันของน้ำลดลง P ที่ทุก ๆ จุดภายใน $abcd$ ดังนั้นความเค้นประสิทธิผล เพิ่มขึ้น โครงสร้างของดินจะถูกกดอัด และปล่อยน้ำที่ถูกกักไว้ภายในขอบ $abcd$ ออกมา การลดลงของความดันน้ำจะทำให้เกิดการกระจายของน้ำ ภายในขอบเดียวกันและปลดปล่อยปริมาณน้ำที่เพิ่มขึ้น ศักย์รวมจะผันแปรตลอดเวลา



2.1 น้ำไหลผ่านตัวกลาง คือดิน

(a) ขอบ $abcd$ (b) ปริซึมเล็ก ๆ ปริมาตร $(\Delta x)(\Delta y)(1.0)$

ภายในขอบ $abcd$ (ขยาย)

เมื่อน้ำและมวลของดินไม่ได้ถูกกดอัด การไหล สภาวะสม่ำเสมอจะนำมาพิจารณา ในแง่การปฏิบัติ การไหลสภาวะสม่ำเสมอ เกิดขึ้นหลังจากดินและน้ำถึงจุดถูกอัดประลัยเท่าที่จะเกิดขึ้นได้ หรือเมื่อการดิสซาร์จเท่ากับการซาร์จ โดยคณิตศาสตร์การวิเคราะห์ โดยใช้ปริซึม $(\Delta x)(\Delta y)(1.0)$ และอัตราการไหล อัตราการไหลเข้าในปริซึมเท่า

กับลัทธิการไหลออกจากปริซึม ดังนี้

$$v_y(\Delta x) + v_x(\Delta y) = v_y'(\Delta x) + v_x'(\Delta y) \quad (2.1)$$

ถ้า v เขียนในเทอมของศักย์รวม h และกฎของคาร์ทีซสำหรับกรณีที่ใช้ตัวกลางที่เป็นเนื้อเดียว เมื่อพิจารณาปริซึมเข้าใกล้จุด จะได้สมการต่อไปนี้

$$K_x(d^2h/dx^2) + K_y(d^2h/dy^2) = 0 \quad (2.2)$$

เมื่อ K_x และ K_y คือ ความเหนียวทางชลศาสตร์ตามแกน x และ แกน y ตามลำดับ ในตัวกลางเนื้อเดียว ดังนั้น $K_x = K_y = K$ ดังนั้น

$$(d^2h/dx^2) + (d^2h/dy^2) = 0 \quad (2.3)$$

สมการ(2.3) เป็นที่รู้จักกันในชื่อของ สมการลาปลาซ (Laplace equation) ความคมการไหลในตัวกลางเนื้อเดียว ภายใต้สภาวะการไหลสม่ำเสมอ การแก้ปัญหาของสมการนี้โดยใช้เงื่อนไขขอบเขตมีเพียงรูปแบบเดียว การแก้ปัญหาก็ให้ทุกข้อมูลสำหรับวาดตาข่ายการไหล ประกอบด้วยชุดของเส้นการไหล ซึ่งจะกำหนดเส้นสมศักย์ ดังแสดงในรูป 2.2(a) และ 2.3 เส้นการไหลหรือ stream line มีความเข้ม w (ในหน่วยตร.ชม. ต่อวินาที) รู้จักกันในนามของ ฟังก์ชันการไหล (stream function) ตัวอย่างเช่น เส้นการไหลบนสุด BB'CDEF ดังรูป 2.2a ได้กำหนดความเข้มเป็น 0 ($w = 0$), ดังนั้น เส้นการไหลเส้นล่างสุด A'G' มีความเข้ม

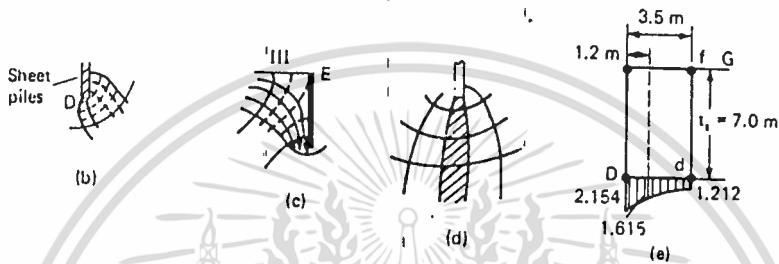
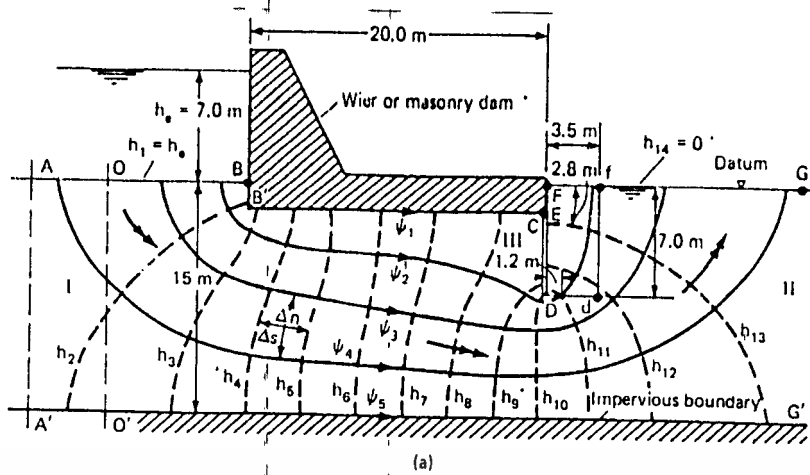
$w = q$ ผลต่างของค่า w ของเส้นการไหล 2 เส้นใด ๆ ซึ่งจัดรูปทศกเบตของช่องทางการไหล เท่ากับ $\Delta w = \Delta q$ ซึ่งเป็นอัตราการไหลผ่านช่องเกิดขึ้น ถ้าค่าต่างการไหล ถูกสร้างโดยที่ Δq เป็นค่าเดียวกันสำหรับทุกช่องทางการไหล ดังนั้น

$$q = n_f(\Delta q) = n_f(\Delta w) \quad (2.4)$$

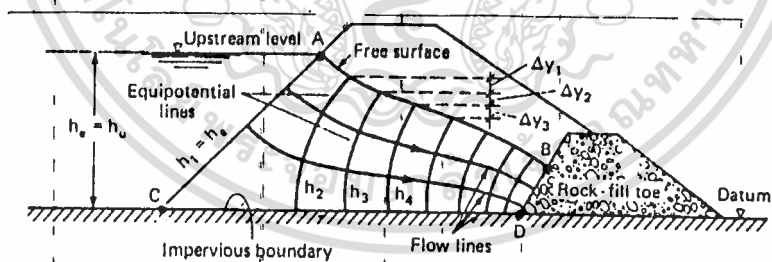
เมื่อ n_f เป็นจำนวนของช่องทางการไหล และ q เป็นอัตราการไหลรวมต่อ 1 หน่วยความยาว (ในหน่วย ตร.ซม. ต่อวินาที) ในรูป 2.2a มีเส้นการไหล 5 เส้น ($n_f = 4$) ค่าความเข้ม w_1, w_2, w_3, w_4 และ w_5 สามารถกำหนดได้ตามลำดับดังนี้ คือ $0, \Delta q, 2\Delta q, 3\Delta q$ และ $4\Delta q$ หรือ เป็น $q, q-\Delta q, q-2\Delta q, q-3\Delta q$ และ $q-4\Delta q$ หรือเป็นชุดใด ๆ ซึ่งกำหนดด้วย $\Delta w = \Delta q = \text{ค่าคงที่}$ ($\Delta q = 1/4q$ ในกรณีแสดงในรูป 2.2a)

เส้นสมศักย์ (equipotential line) ซึ่งมีความเข้ม h คือ ทางเดินของจุดภายในตัวกลาง ซึ่งแต่ละเส้นจะมีค่าศักย์เท่ากัน ความเข้มของเส้นสมศักย์สามารถกำหนดให้เป็น h หรือ กำหนดโดยความเร็วศักย์ ϕ , ดังนั้น

$$\phi = -Kh + \text{constant} = -K(\underline{P} + y) + \text{constant} \quad (2.5)$$



รูปที่ 2.2



รูปที่ 2.3

เอกสารนี้เป็นเอกสารที่สงวนไว้สำหรับการใช้งานเพื่อการศึกษาเท่านั้น ไม่อนุญาตให้นำไปใช้ประโยชน์ด้านการค้า
ไม่ว่ากรณีใดๆทั้งสิ้น อีกทั้งห้ามมิให้ตัดแปลงเนื้อหา, และต้องอ้างอิงถึงเจ้าของเอกสารทุกครั้งที่มีการนำไปใช้

ค่าคงที่อาจเป็นบวก, ลบ หรือศูนย์ก็ได้ ขึ้นอยู่กับตำแหน่งของตัวเลขที่เลือก และเลขอ้างอิง ส่วนค่าลบจะเป็นค่าที่ประมาณได้ (ตำแหน่งของตัวเลขจะตาคตัวในบางกรณี) ตัวเลือกอื่น ๆ อาจจะมีผลกระทบต่อค่า h ทั้งหมด แต่จะไม่มีผลในแกนตั้ง Δh หรือ $\Delta \phi$ ในกรณีที่

$$\Delta \phi = K(\Delta h) \quad (2.6)$$

การใช้ฟังก์ชัน ϕ และ w มีประโยชน์ในการแก้ปัญหา (สมการ 2.3) ในด้านเฟลิคส์เช่นเดียวกับในน้ำใต้ดิน ความสัมพันธ์ระหว่าง w , ϕ และ h จะแสดงโดย

$$v_x = -d\phi/dx = -dw/dy = -K(dh/dx) \quad (2.7a)$$

$$\text{และ} \quad v_y = -d\phi/dy = -dw/dx = -K(dh/dy) \quad (2.7b)$$

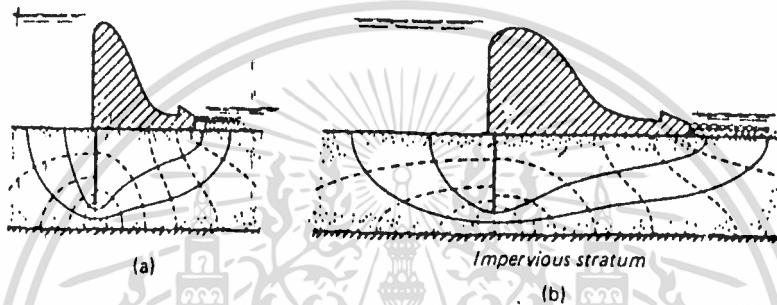
สมการ Laplace อาจใช้แก้ปัญหาต่างๆ เรามาดูสมการต่อไปนี้

$$d^2h/[d(x/(K_y/K_x))]^2] + d^2h/dy^2 = 0 \quad (2.8)$$

$$\text{หรือ} \quad d^2h/dx^2 + d^2h/dy^2 = 0 \quad (2.9)$$

$$\text{กรณีที่} \quad X = x/(K_y/K_x) \quad (2.10)$$

แทน x แต่เดิมสั้นกว่าแทน X ในส่วนการ 2.10 ส่วนที่เปลี่ยนแปลงจะทำการกำหนดส่วนการ 2.9 ระบบการไหลของน้ำ จะเปลี่ยนทิศทางไปในแนวเดียวกัน จะบอกไว้ว่าจะกลับไหลสู่ระบบเดิม (รูป 2.1) โดยการคูณ x แต่ละตัว โดย (K_x/K_y) และที่ y มีจงเก่าเดิม (Taylor 1948)



รูปที่ 2.2

ถ้ารูป 2.2a เมื่อแทนกลางมีลักษณะเป็นแก้วที่เง้กันเดียวกัน จะมีแกนตั้ง 14 ให้, 13 จุด เมื่อ "ขอบเขต" ที่ถูกกำหนดด้วย w_0 , w_A ; h_A และ h_B ตามกฎของ Darcy อัตราการไหล Δq ที่ผ่านช่องการไหลระหว่าง w_0 และ w_A จะให้

$$\Delta q = \Delta w = w_A - w_0 = K(h_A - h_B) / \Delta s * \Delta n * 1.0$$

จะปรากฏขนาดที่วไปของแต่ละชนิด Δn และ Δs ตามลำดับ ค่าเฉลี่ยของความกว้าง, ความยาว (Δs เป็นทางเดินของน้ำ)

กำหนดให้ Δh เท่ากับ $h_A - h_B$, เราจะได้

$$\Delta q = K(\Delta h) (\Delta n / \Delta s) \quad (2.11)$$

ถ้า h เป็นค่าคงที่ระหว่างแกนแนวตั้ง 2 เส้น (อาจจะหาได้ด้วยวิธีทางทฤษฎีหรือปฏิบัติ) และ q เทียบกับช่องทางเดินของน้ำ อัตราส่วน $\Delta h/\Delta s$ ในขนาดต่าง ๆ กัน จะได้เท่ากัน ถ้า Δs เป็น 2 เท่ามากกว่า Δn อัตราส่วนที่ได้จะเท่ากับ 1/2 ของพท.ทั้งหมด ตามสมการ 2.4 และ 2.11

$$q = Kh \cdot n_F / n_E \cdot (\Delta n / \Delta s) \tag{2.12}$$

เมื่อ h มีค่ามากขึ้น จะเกิดความแตกต่างระหว่าง ความหนาแน่นของแกนตั้งแกนแรกและแกนขนาน หรืออาจกล่าวได้ว่า มีความแตกต่างระดับเหนือน้ำและใต้น้ำและ n_E เป็นจำนวนจุดในแกนตั้ง ถ้าอัตราส่วน n_F / n_E เป็น 1.0 ($n = s$)

$$q = Kh \cdot (n_F / n_E) \tag{2.13}$$

เราอาจจะร่างภาพคร่าว ๆ เองเองก็ได้ (Richardson, 1905; Casagrande, 1937; Cedergren, 1977) เมื่อดูเงื่อนไขทางคณิตศาสตร์ที่แสดงโดยสมการ 5.7 วิธีดังกล่าว เป็นที่นิยมใช้กันมากในหมู่วิศวกร โดยเฉพาะในกรณีที่ยุ่งยากมาก ๆ การวิเคราะห์ที่ค่อนข้างจะซับซ้อน วิธีการสร้างได้ถูกอ้างถึงกับ Lehenan ปี 1909 (Kashef, 1951), Prasil 1913 (Harr, 1962) และ Fachheirver . 1917 (Terzaghi Qud Peck 1967) อย่างไรก็ตาม ตามคำกล่าว

ของ Kashef (1951) Richardson (1908) ทำให้วิธีการ Alretch ไว้
ก่อนเป็นที่นิยมในหมู่วิศวกรแล้ว แต่วิธีการใช้นี้ Casagrande (1937) และ
Cedergren (1977) ได้อธิบายไว้เป็นอย่างดีแล้ว

รูปแบบการไหลของน้ำ ถูกใช้โดยวิธี ลองผิดลองถูก จนกว่าจะพอใจการ
แก้ปัญหาก็จะรวมกันเป็นหนึ่งเดียว ตามสมการ Laplace 2.3 การวาดรูป สี่เหลี่ยม
จตุรัสจะง่ายกว่าใช้รูปผืนผ้า ตามรูป 2.2 จะได้วิธีสังเกตดังนี้

1. แนวนอนตัดกับแนวตั้ง (จุดตัดต้องตั้งฉาก) เราต้องครอบเขตด้วย
กระแสน้ำต้องตั้งฉากกับเส้น AB และ FG และแกนตั้งต้องตั้งฉากกับขอบเขตของเส้น
BBCDEF และ AG CD จะเป็นเส้นทับ สัมพันธ์กับความหนาแน่น น้ำจะไหลซึมลงไปจาก
ซ้ายของ CD แล้วไหลย้อนขึ้นไปทางขวาของ DEF

2. เส้นตัดของแกนนอนและแกนตั้ง จะเป็นเส้นโค้ง เราอาจจะพิสูจน์ได้
โดยใช้สูตร $\Delta n = \Delta s$

3. เส้นกระแสน้ำจะไปไหลตัดกัน และแกนนอนก็จะไม่ตัดกันเช่นกัน ยก
เว้น ตำแหน่งที่มีความเร็วสูงสุด เช่นจุด D ในรูป 2.2 เนื้อที่ที่เล็กลงและเปลี่ยนไป
จาก จ อย่างไรก็ตาม เมื่อขยายให้ใหญ่ขึ้น (2.2b) เนื้อที่ที่ได้จะประกอบด้วย เล็ก
ๆ มากมาย ทางคณิตศาสตร์ จุด D จะเป็นจุดเดียว ที่ $i_x = \alpha$ (ไม่จำกัดความ
เร็ว) รูป 2.2 เนื้อที่ของ I, II, III จะไม่เป็นรูป แต่เนื้อที่ III อาจประ
กอบด้วย เล็ก ๆ มากมาย ดังรูป 2.2c

4. เนื้อที่ I, II อาจจะไม่มีการไหล เมื่อความเร็วของน้ำเป็นศูนย์ในทางกราฟฟิค เราไม่สามารถจะตรวจสอบการไหลท่วมของน้ำได้ ดังนั้นอย่างน้อยที่สุดเส้นตั้ง 2 เส้น (w_1 และ h_2 ในเนื้อที่ I, และ w_4 และ h_5 ในเนื้อที่ II) จะต้องได้รับการตรวจสอบจากเนื้อที่ที่เหลือภายใน เพื่อหารูป ตามต้องการ เมื่อเนื้อที่อื่นนอกจาก I, II, เป็น รูปของการไหลของน้ำ ก็จะถูกตัด ดังนั้นจึงไม่มีการร่างภาพขึ้นมาเพื่อสังเกต เส้นต่าง ๆ ที่อยู่ภายใน ให้สัมพันธ์กับอาณาเขตเส้นทางซ้ายของกระดานเป็น OO' ไม่ใช่ AA' (รูป 2.2) แสดงว่าเกิดข้อผิดพลาด และทำให้ยากต่อการตรวจหาความถูกต้อง

ข้อเสนอแนะในการ sketch ภาพจึงมีความจำเป็น (Taylor 1948; Casegrande 1937) อย่างไรก็ตาม การ sketch ภาพได้อย่างดีนั้น เราต้องมีความสามารถทางศิลปะในตัวเองด้วย จากประสบการณ์ของผู้เล่าในชั้นเรียนร่วมกับศิลปินอื่น ๆ พบว่า เราควรจะเริ่มหาควาดภาพ ให้มีเพียง 3 ช่องก่อน แนวตั้งควรจะได้มาจากการสังเกตเงื่อนไขที่ใต้อีกก่อนหน้านั้น สิ่งที่ถูกคือ ควรมีการเพิ่มทั้ง 2 ด้าน หรือให้ใกล้เคียง เงื่อนไขหลัก คือเนื้อที่ การเริ่มจากการลากเส้น 4 เส้น (3 ช่อง) ย่อมจะยุ่งยาก ในการสรุป ที่ได้รับผลกระทบและใช้เวลานานกว่าจะทำให้ถูกต้อง อย่างไรก็ตาม ถ้าเริ่มด้วย 2 ช่อง ก็คงจะยุ่งยากในการที่จะได้โครงสร้าง ที่เหมาะสมที่สุด เมื่อรูปแรกถูกต้อง แต่ละช่องก็จะประกอบด้วยช่องเล็ก ๆ 2 ช่องหรือมากกว่านั้น แกนตั้งแกนใหม่ก็จะตามกันมาก ช่องย่อย ๆ จะมีเนื้อที่น้อย ๆ ซึ่งช่วยป้องกันข้อผิดพลาดที่เราสังเกตไม่พบในการทำครั้งแรกได้

คำแนะนำในการ sketch ภาพนั้นควรให้ n_f เป็นค่าทั้งหมด เพราะ ผลของ n_f ไม่สามารถจะรับประกันได้ว่าจะเกินค่าทั้งหมดจริง หรือถึงขั้นที่นี้เราจะเห็นรูป 2.2 ที่ใช้วิธีการคณิตศาสตร์ในการแก้ปัญหา $q = 0.3Kh_u$ เมื่อเรา sketch ภาพของทิศทางการไหลของน้ำตามรูป 2.2 จะได้ $n_e = 13$ และ $n_f = 4$ ตามสมการ 2.13 q คือ

$$q = Kh_u^{1/3}(4/13) = 0.3077Kh_u$$

เมื่อนิยามแล้ววิธีการคณิตศาสตร์ มีความถูกต้อง อัตราส่วนของ n_f/n_e จะเท่ากับ 0.30 (ไม่ใช่ 0.3077 ตามที่ sketch ไว้) เราให้ค่าของ n_f เท่ากับ 4 จำนวนจุดแนวตั้ง n_e จะได้ 13 1/3 ถ้าการ sketch ภาพมาใกล้ เคียงที่สุด เราสามารถจะสังเกตได้ด้วยตาเปล่าเนื้อหาของฟิลด์ ช่อง q ($\Delta s = 1/3\Delta n$) จะต้องถูกวาดลง

ภายในตารางดัง (รูป 2.2d) ส่วนเปลือกย่อย มักจะไม่ค่อยพบในการ sketch ภาพ วิศวกรมีความเห็นว่า ส่วนเปลือกย่อยเหล่านี้ ไม่มีผลใด ๆ ถ้าเราได้ วาดทิศทางออกมาอย่างละเอียดถี่ถ้วน

ในรูปของการไหลของน้ำที่กว้างไม่จำกัดขอบเขต (รูป 1.13a, c และ d และรูป 2.3) ยิ่งยากต่อการ sketch ภาพ รูป 2.3 หรือผิวที่กว้างเปล่า ตามเส้น AB เป็นจำนวน ของตอนกลางสาขาน้ำในเขื่อน ซึ่งไม่เป็นที่รู้จักมาก่อนที่จะหาข้อสรุปใน การแก้ปัญหา ในระบบการ sketch จะยุ่งยากในทางที่จะเพิ่มส่วนของขอบเขต ด้านบน AB ไปยังส่วนที่เหลือ เราจึงจำต้องสังเกต ในจุดนี้ด้วย

ในระบบนี้ ค่าเฉลี่ยในการกำหนดนั้นผิวแนวจะใช้ค่าที่น้อยที่สุดก็ได้ซึ่งจะ ช่วยประหยัดเวลาในการที่จะมาทำการ sketch ภาพ

ทิศทางการไหลของน้ำ อาจจะปรากฏในส่วนของการเปลี่ยนแปลง หรือใน ส่วนที่ความเป็นอันหนึ่งอันเดียวกัน แต่ค่า q จะได้ตามนี้ (Taylor 1948)

$$q = \sqrt{(K_x K_y)} h_w (n_p / n_c) \tag{2.14}$$

5.2 เงื่อนไทรขอบเขต

ขอบเขตที่น้ำซึมผ่านไม่ได้

ส่วนที่บตามรูป 2.2a คือ เส้น BBCDEF ของโครงสร้าง (รวมทั้งส่วน ของ CD) ส่วนที่เป็นพื้นผิวตามธรรมชาติ คือ HG ส่วนพื้นผิวนี้จะช่วยป้องกันไม่ให้ น้ำ ไหลผ่าน เพราะเป็นองค์ประกอบของกระแสน้ำ ในระดับความหนาแน่นคงที่ เงื่อนไทร นี้จะแสดงได้

$$dw = 0 \quad (\text{i.e } w \text{ เป็นค่าคงที่})$$

และ $dw/ds = 0$

เมื่อ S คือ ทิศทางที่ไปในทางเดียวกันกับเส้นกึ่งขอบเขต และ

$$d\phi/dn = 0$$

เมื่อ n เป็นทิศทางที่วิ่งไปส่วนใดก็ได้ที่อยู่ตามแนวเส้นกึ่งอาณาเขต (ความเร็วในการไหลของน้ำ = 0)

พื้นผิวอิสระ

ในระบบที่น้ำไหลไปโดยไม่จำกัดขอบเขตตามรูป 2.3 เช่นผิว AB เป็นกระแสน้ำ และมีเงื่อนไขของการสถิตกันเหมือนกับส่วนที่บดแต่เงื่อนไข คือ ความกดดันตาม AB เป็นคลื่นอากาศ

$$h = (p/\rho_w) + y + \text{const.} = 0 + y + \text{const} \quad (2.15a)$$

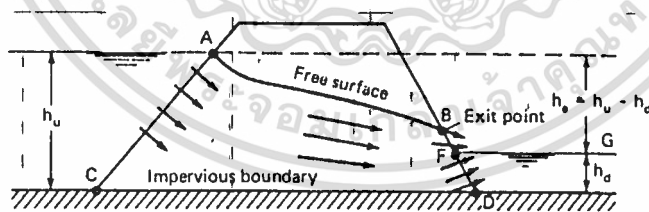
$$\phi + Ky = \text{const. (or zero)} \quad (2.15b)$$

การเข้าไปในเฟ้นผิว

ส่วนบน AB ตามรูป 2.2a และ AC ตามรูป 2.3 และ 2.5 เป็นประตูที่จะเข้าไปด้านในซึ่งมีการไหลซึมของน้ำ เข้าไปในจุดกึ่งกลางบริเวณนี้คือเส้นในแนวตั้ง เราจะได้ $y = \sqrt{Kxh}$ ปรอดสังเกต รูป 2.2a , y คือ ค่าคงที่ตาม AB , คือค่าคงที่ ในขณะที่รูป 2.3 และ 2.5 y เปลี่ยนไปตาม AC ดังนั้น ค่า p จะลดลงตามสมการ 2.15 เมื่อค่า y เพิ่มขึ้น

การออกจากเฟ้นผิว

เมื่อน้ำไหลออกจากตอนกลาง ส่วนเฟ้นผิวส่วนใดส่วนหนึ่งตามรูป 2.2a , BD (รูป 2.3) หรือ BFD (รูป 2.5) การออกมาในลักษณะนี้อาจจะเป็นรูปในแนวตั้ง (FG รูป 2.2a) หรือการรวมกันของ BFD



รูป 2.5 การไหลผ่านเขื่อนดิน

เมื่อต้องการจะออกจากพื้นผิว คือ เส้นแนวตั้งซึ่งมีเงื่อนไขว่า $\phi = \text{ค่าคงที่} = -khd$ ถ้าไม่มีหลายกระแสไฟฟ้า จะได้ $hd = 0$ (ตามแนว FG ในรูป 2.2a) การออกจากพื้นผิว ที่มีความกดอากาศ และมีการระบายน้ำ ในความเป็นแล้ว คำอธิบายเหล่านี้ ใช้กับการระบายน้ำได้ตั้งนั้น ซึ่งอาจรวมถึงบางส่วนของเส้นแนวตั้ง ในลักษณะนี้จึงใช้ได้ในการแสดงสัดส่วนการไหลซึมของน้ำในช่องตอนปลายของกระแสไฟฟ้า ในส่วนที่น้ำไหลแรงก็จะเป็นเรื่องของสัดส่วนเหนือระดับน้ำในข้อ สมการที่ได้คือ

$$\phi + K = 0 \quad \text{หรือ} \quad h = y \quad (2.16)$$

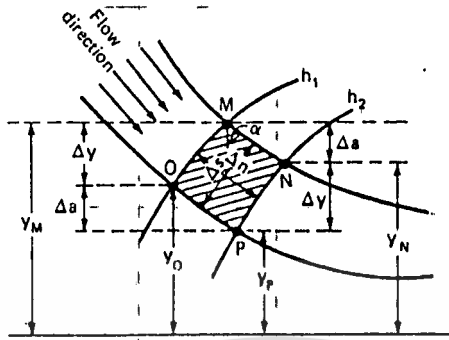
ตอนล่างของน้ำ จะเป็นส่วนของความกดอากาศ ซึ่งจะไม่ทั้งแกนตั้งและแกนขนาน ตอนกลางกระแสไฟฟ้า สัดส่วนของแนวตั้ง กับระดับล่างจะไม่แตกต่างกัน เส้นที่ตัดผ่าน พื้นผิวช่วงล่างทำให้เกิดมุม ค่าบริเวณพื้นผิวจะเปลี่ยนไปจากศูนย์ในบริเวณสูงสุด (จุด B รูป 2.5) และ ทำมุม 90 ที่จุดล่างสุด (จุด F รูป 2.5) ปลายจุด B (รูป 2.3 และ 2.5) จะมาบรรจบกับจุดที่อยู่สูงสุด ของบริเวณพื้นผิวตอนล่าง เรียกว่า เป็นทางระบายออกของน้ำ

2.3 การวิเคราะห์แรงภายในส่วนการไหล

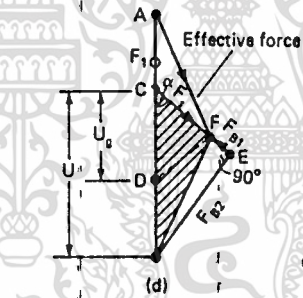
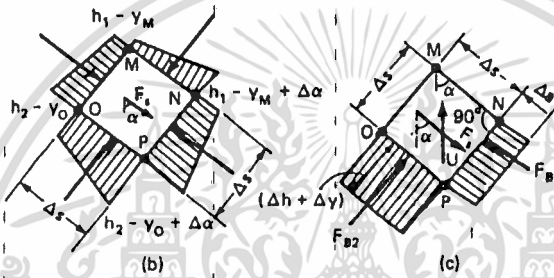
เมื่อพิจารณาเนื้อที่ในตาราง (รูป 2.6a) ระหว่างแนวนอน 2 เส้น MN และ OP กับแนวตั้ง 2 เส้น คือ OM และ PN ความกดดันจะกระจายออกไปมากที่สุด ถ้ามีเนื้อที่เพียงพอ คูได้จากรูป As จะมีค่าความกดดันเพียงค่าเดียว ตรงบริเวณมุมของปริซึม (รูป 2.6b) ภายในปริซึมแรงที่เบ่งออกมา คือ $U = \gamma_w (s)^2$ เป็นพลังงานที่ออกมาจากจุดไว้ตำแหน่งพลังงานของน้ำที่ไหลซึมออกมา คือ ค่า F_u เท่ากับ $F_u = \int \gamma_w (s)^2$ แผนผังของความกดดันที่มีผลกระทบจะปรากฏในรูป 2.6c เหมือนกับ แผนผังของรูป 2 ภาพ เหมือนกับการวิเคราะห์พลังงานของกระแสที่ไหลอย่างไม่มีทิศทาง จะมีความสัมพันธ์ระหว่างแรงต้านทานแรงพุ่ง และพลังงานของน้ำที่ไหลซึมออกมา ในระบบน้ำ 2 ชนิด พลังงาน F_{oe} , F_{oe} , F_{oe} (รูป 2.6c) จะเป็นแนวโค้งมากกว่าตั้งตรง แผนผังของพลังงานที่ออกมา (รูป 2.6d) รวมทั้งพลังงานอื่นที่อาจเกิดขึ้นได้ (Taylor 1948 และ Kashef (1965a) แผนผังที่ได้ จะเป็น

AB	น้ำหนักของปริซึม	$= \gamma_{\text{น้ำ}} (\Delta S)^2$
AD	น้ำหนักของของแข็ง	$= \gamma_{\text{ทราย}} (\Delta S)^2$
DB	น้ำหนักของน้ำในเบ้า	$(\gamma_{\text{น้ำ}} - \gamma_{\text{ทราย}}) (\Delta S)^2$
CB	แรงที่พุ่งออกมาทั้งหมด	$U = -\gamma_w (\Delta S)^2$
AC	น้ำหนักในส่วนที่จมเ็น	$= \gamma' (\Delta S)^2 = (\Delta S)^2 (\gamma_{\text{น้ำ}} - \gamma_w)$
CD	แรงที่เกิดบนของแข็ง	$U_s = -(\Delta S)^2 (\gamma_w - \gamma_{\text{น้ำ}} + \gamma_{\text{ทราย}})$
CF	แรงดันการไหลซึม	$F_s = i_s \gamma_w (\Delta S)^2$ ไปตามกระแส
BE	แรงต้านทาน (ผลจากความกดดินของน้ำ) ด้าน OP และ MN =	$F_{Be} = \gamma_w (\Delta h + \Delta y)$
EF	ผลของแรงต้านทาน ด้าน NP และ OM =	$F_{Ee} = \gamma_w (\Delta S \Delta a)$
BF	ผลของ BE และ EF องค์ประกอบของแรงดันของน้ำ	
DF	ผลของ F_s และ U_s (CB และ CD)	
AF	พลังงานในโครงสร้าง AC, CF, AD, DF,	AB, BF, หรือ AB, BE, EF

ในกรณีของน้ำที่ไหลอย่างไม่มีทิศทาง จุด F (รูป 2.6d) ทอดแนวไป
ตามจุด F_1 เหนือจุด c ไป cA (พลังงาน BE = BF_1 ; EF = 0 และ F_s
= cF_1) เมื่อค่า $F_s = cA$ เท่ากับน้ำหนักของ A_c จะทำให้เกิดทรายดูด
สามเหลี่ยม BFC เรียกว่า สามเหลี่ยมของฤาการกรอง (Polubarinova
Kochina, 1962) แสดงให้เห็นว่า ส่วนประกอบของพลังงานน้ำในแนวนอน มีค่าเป็น
ตัวเลข = ส่วนประกอบของพลังงาน BF ในแนวนอน ซึ่งแสดงให้เห็นผลกระทบของ



(a)



Analysis of hydraulic forces within a field in a flow net. (a) Field $OMNP$: $y_M - y_O = \Delta y$, $y_N - y_P = \Delta y$, $h_1 - h_2 = \Delta h$, $\Delta s \approx \Delta n$. (b) Pressure diagrams on each side of the field. (c) Resultant pressure diagrams. $F_{B1} = \Delta a \Delta s \gamma_w$, $F_{B2} = (\Delta h + \Delta y) \gamma_w$, $F_s = t \gamma_w (\Delta s)^2$, $U = \gamma_w (\Delta s)^2$. (d) Triangle of filtration: F_1 corresponds to vertical flow.

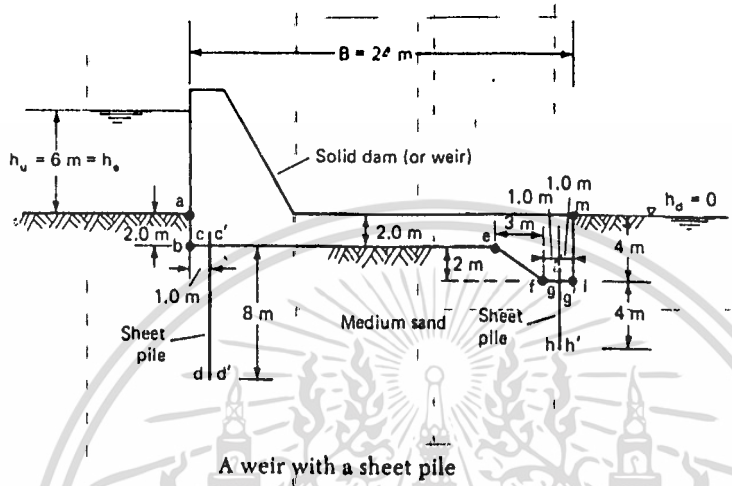
แรงดันน้ำ ทั้งยังแสดงให้เห็นอีกว่าผลรวมในแนวตั้งของ BF และแรงดันน้ำมีค่าเป็นตัวเลข
เลข แรงดันทั้งหมด U การวิเคราะห์ ถูกนำมาใช้เพื่อหาที่มาของสูตรการสร้างบ่อน้ำ

ในกรณี ของสภาพความกดดันของน้ำ ซึ่งจุดใหญ่ทั้งหมดอยู่ที่จุดเดียวกับจุด M, N, Q และ P (รูป 2.6a) เราจะเห็นได้ว่า BE ตามรูป 5.6d ยังคงไม่เปลี่ยนแปลง ขณะที่จุด F เลื่อนไปจุด c ($F_u = 0$) แรงกดดันทั้งหมดจะมีค่าเป็นตัวเลขเท่ากับผลของแรงดันน้ำ ผลของพลังงานทั้งหมด เท่ากับ AC จะมีค่าเป็นตัวเลขเท่ากับผลของแรงดันน้ำ ผลของพลังงานทั้งหมด เท่ากับ AC

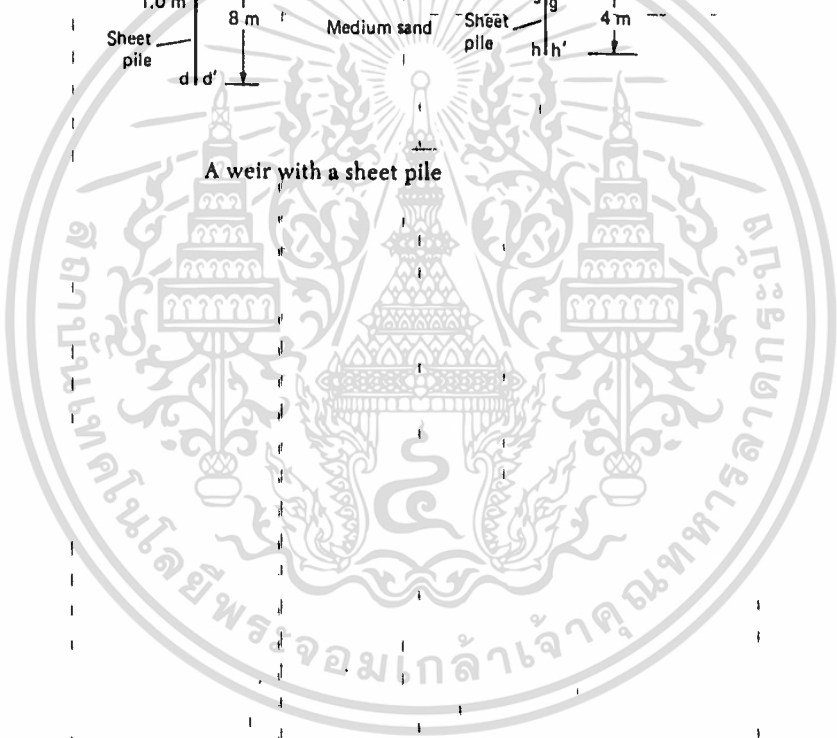
2.4 การออกแบบเขื่อนและโครงสร้างกั้นน้ำโดยวิธีทางชลศาสตร์

เขื่อน (รูป 1.13b, 1.19a 2.2a และ 2.7) ถูกสร้างขึ้นโดยมีจุดมุ่งหมายหลายประการ เช่น ควบคุมน้ำ, กักเก็บน้ำ, เป็นสถานที่พักผ่อน น้ำซึมได้เขื่อนดูจะเป็นผลเสียหลายมาก ถ้าเป็นเขื่อนที่สร้างเพื่อกักเก็บน้ำและเป็นสถานที่พักผ่อนหย่อนใจอย่างไรก็ตาม การสร้างเขื่อนเพื่อการควบคุมน้ำ ยังไม่ควรให้เกิดการรั่วซึมเพื่อความปลอดภัยและความมั่นคงของตัวเขื่อน การออกแบบโครงสร้างต้องพิจารณา

1. อัตราการสูญเสียของน้ำที่ซึมออกมา
2. เพื่อป้องกันการทำลายของน้ำ) ควรมีเสา, ตาข่าย หรือเครื่องปูพื้นเขื่อน
3. แรงกดบนพื้นเขื่อนอยู่กับการตรวจสอบความมั่นคงแข็งแรง ซึ่งอาจจะเพิ่มอันตรายของการรับน้ำหนักมากเกินไป



A weir with a sheet pile



เอกสารนี้เป็นเอกสารที่สงวนไว้สำหรับการใช้งานเพื่อการศึกษาเท่านั้น ไม่อนุญาตให้นำไปใช้ประโยชน์ด้านการค้า
ไม่ว่ากรณีใดๆทั้งสิ้น อีกทั้งห้ามมิให้ตัดแปลงเนื้อหา และต้องอ้างอิงถึงเจ้าของเอกสารทุกครั้งที่มีการนำไปใช้

4. ความปลอดภัย และแรงต้านทานทางโครงสร้างมีผลต่อการรับน้ำหนัก
ของเงินค้ำ และการทำงานลื่นไถล ในกรณีหลังนี้อยู่นอกเหนือเนื้อหาของ
หนังสือเล่มนี้ เพราะเป็นโครงสร้างทางวิศวกรรม

ขนาดของเงินค้ำในเชิงดิน

เมื่อสังเกตลักษณะของเทื่อนตามหลักธาราศาสตร์ โดยลงใช้การสู่มตัว
อย่าง สัตว์ทางธาราศาสตร์ เช่น ความลึก ของน้ำในเขื่อน
การเลือกวิธีสู่มตัวอย่างไม่มีความปลอดภัยและเก่าเกินไป ควรจะมีการ
เปลี่ยนแปลงใหม่ ดังนั้น จึงควรมีกำรออกแบบทดลองค้ำก่อนซึ่งเหมือนกับการออกแบบ
โครงสร้างทางวิศวกรรมอื่น ๆ ถ้าขนาดที่ออกมาใกล้เคียงกับผลสุดท้าย ขั้นตอน
การทดลองก็จะถูกตัดทอนลงไป การเลือกทดลองทำในครั้งแรกนั้นต้องอาศัยประสบ
การณ์ ควรพิจารณา หรือ ค่าแนะนำต่าง ๆ ดังที่กล่าวต่อไปนี้

การศึกษาเนื้อที่ที่กว้างขวางโดย Bligh (1910) ในการสร้างเขื่อนใน
อียิปต์ และอินเดีย เพื่อป้องกันการระบายน้ำในส่วนตอนปลายของน้ำ ความยาว L กำหนดจาก
การสังเกตอัตราส่วน L/h_e ซึ่งมีค่าคงที่ของดินแต่ละชนิดความยาว L เป็น
ความยาวของกระแสน้ำตอนบน เมื่อได้ค่าของ h_e ระดับความยาวที่ปลอดภัย $L =$
 $abcd'd'c'efghh'g'lm$ ได้จากการเพิ่ม h_e ซึ่งตรงกันข้ามกับแบบที่ปลอดภัย
ความยาว L ถูกสมมติให้มีค่าต่ำสุด ในระดับความยาวที่ปลอดภัย ความหนาของนั้น
(รูป 2.7 มีผลต่อ L น้อยมากและมีการตั้งสมมติฐานก่อนจะตรวจสอบ โครงสร้างที่จะ
มีผลกับแรงกดดัน h_e เป็นค่ามากที่สุด $h_e = h_u - h_d$ สัมพันธ์กับ $h_d = 0$ วิธี
การของ Bligh เป็นลักษณะของแนวอนุรักษ์นิยมมากเกินไป ต่อมา Lane ได้มา
ขยายความต่อ (1935) โดยอาศัยพื้นฐานของการศึกษาเขื่อน 280 แห่ง ซึ่ง 24 แห่ง

Material	Safe weighted creep-head ratios L/h_c
Very fine sand or silt	8.5
Fine sand	7.0
Medium sand	6.0
Coarse sand	5.0
Fine gravel	4.0
Medium gravel	3.5
Coarse gravel, including cobbles	3.0
Boulders with some cobbles and gravel	2.5
Soft clay	3.0
Medium clay	2.0
Hard clay	1.8
Very hard clay or hardpan	1.6

ตาราง 2.1

ได้ลดลงมา น้ำหนักที่ปลอดภัยตาม L/h_c ตามวิธีของ Lane ตามตาราง 2.1 ค่า L

คำนวณได้ดังนี้ กำหนดให้ $K_{max}/K_{min} = 3$

$$L = \text{ผลรวมของความยาวในแนวดิ่ง} \\ + 1/3 (\text{ผลรวมของความยาวในแนวนอน})$$

สมการข้างต้น จะไม่นำเอาความกว้างของแนว K_{max}/K_{min}

บริเวณที่ลากเอียงจะกำหนดเป็นแนวตั้งถ้าความเอียง สูงกว่า 45 และเป็นแนวนอน ถ้าต่ำกว่า 45

ตัวอย่าง 2.1 ในรูป 2.7 เขื่อนคอนกรีตถูกสร้างบนพื้นที่ราบขนาดกลาง ส่วนปลายน้ำจะสร้างบริเวณพื้นดินตลิ่งล่าง เส้าเหล็ก 2 แท่งจะกั้นที่จุด c และ g จงหา L ณ ตำแหน่งที่ปลอดภัย

$$\begin{aligned}
 \text{วิธีทำ } L &= (ab + cd + dc + gh + hg + lm) \\
 &+ 1/3 (bc + ce + ef + fg + ge) \\
 &= (2 + 8 + 8 + 4 + 4 + 4) \\
 &+ 1/3 (1+21+1+1) = 38 \text{ ม.}
 \end{aligned}$$

$L/h_e = 38/6 = 6.3$ ซึ่งใหญ่กว่าทรายขนาดกลาง 6 เท่า (ตาราง 5.1) ซึ่ง
เป็นตำแหน่งที่ปลอดภัย ถ้าไม่มีเสาเข็มปลิวด้วย ดังนั้น $L = 4 + 4 + 24/3 = 12$ ม.
และ $L/h_e = 2$ (ไม่ปลอดภัย) ในกรณีนี้ความปลอดภัยต่ำสุด L จะเป็น $L = 6$
 $h_e = 36 = 4 + (1/3)B$ หรือ $B = 96$ ม.

ความชันทางชลศาสตร์ h_e/L เป็นรูปแบบตามวิธีของ Lane ซึ่งกำหนดความ
ยาว L เราจะไม่ใช่วิธีนี้ ถ้ามีการวาดภาพผังของกระแสน้ำ (รูป 2.8) วิธีของ
Lane ความปลอดภัยขึ้นอยู่กับชนิดของดิน วิธีการไหลของน้ำในสภาวะคงที่ ขึ้นอยู่
กับสมการ Laplace แต่จะไม่มีค่า K ในสมการแสดงว่า
โครงสร้างของกระแสน้ำ จะไม่ได้รับผลกระทบจากดินแต่ละชนิด ภายใต้สภาวะที่คงที่
องค์ประกอบจะมีผลจากขนาดของ h_e , และความกดดินตอนบน

การสูญเสียในการไหลซึม, ความชันและแรงยก

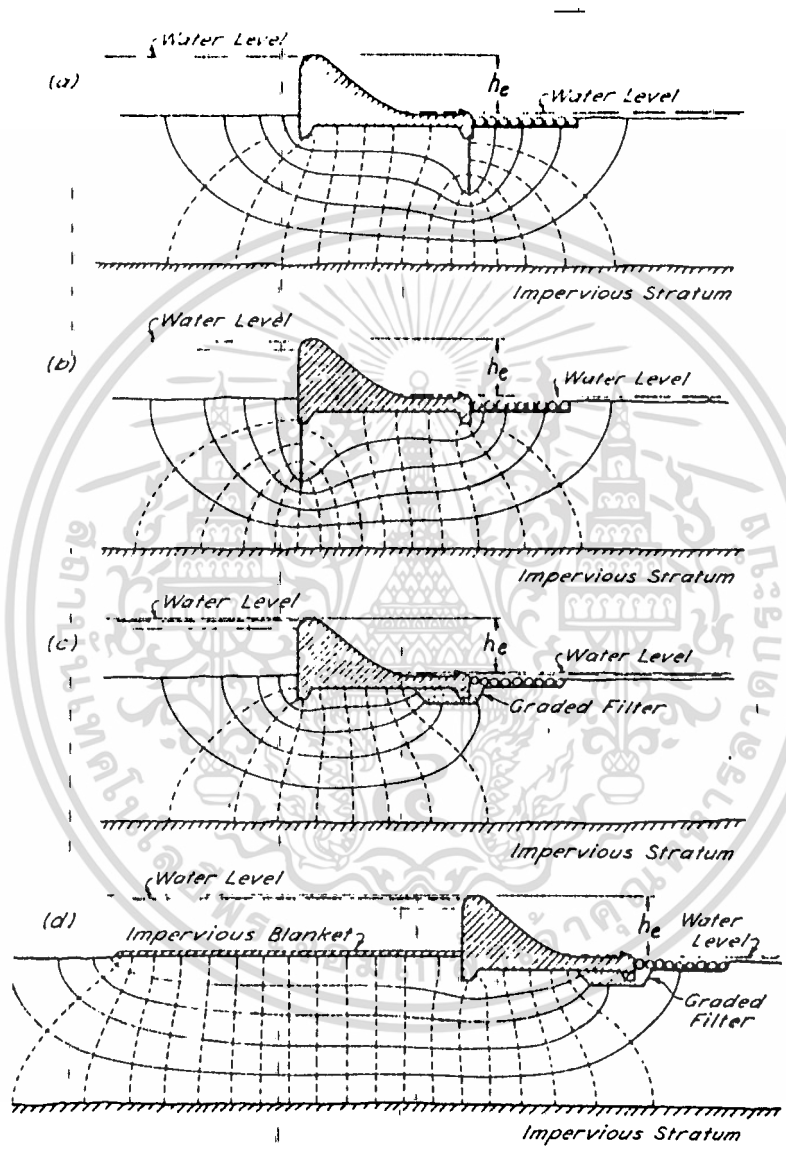
การคำนวณขนาดเบื้องต้น เป็นวิธีการของ Lane ที่ทิศทางของกระแสน้ำจะ
มีการวาดภาพออกมาโดยใช้สถิติทางคณิตศาสตร์บวกกับประสบการณ์ที่มี เมื่อนับจำนวน
 n_x และ n_y แล้ว อัตราส่วนของ q (การสูญเสียของน้ำ) อาจจะถูกกำหนดเป็น
ความยาวของโครงสร้างปกติ หรือใช้วิธีสัมพัทธ์อย่าง โดยใช้สมการ 2.13 หรือ 2.14
ภายในเนื้อหาของตารางที่แสดงการไหลของน้ำ จะกำหนดจาก h/s เมื่อ s เป็น

ความยาวเฉลี่ยตามทิศทางกระแส

ในแพท. จตุรัสเมื่อ Δh เป็นค่าคงที่ จะสังเกตเห็นว่าองค์ประกอบจะใหญ่ขึ้น
 เนื้อที่ที่เล็กลง ซึ่งมักจะเกิดบริเวณตอนปลายของกระดานที่ปูแผ่น และบริเวณที่มีการ
 ระบายน้ำ ส่วนใหญ่เราจำเป็นต้องตรวจสอบความกว้างและความหนาและความปลอดภัย
 ของตัวเทื่อน เราสามารถจะเลือกการปูแผ่นเชื่อมหรือการทาก้ำแวง เราจะดูทิศทาง
 ของกระแส น้ำ จากรูปทรงของเส้นทางถ้าไหลลงก็ไม่มีอันตราย ในขณะที่ค่าทิศทางทาง
 กระแสที่ค่อนข้างแบน เราต้องตรวจสอบผัดส่วนการเปลี่ยนแปลงของดิน

ความกดดันของน้ำบนพื้นจะมีผลในด้านแรงขึ้น ซึ่งเรียกว่าแรงยก ซึ่ง
 น้อยกว่าน้ำหนักทั้งหมดของโครงสร้าง อัตราส่วนของพลังงาน จากส่วนล่างไปส่วนบน
 จะมากกว่า 1.0 โดยคำนวณค่าจากความปลอดภัย อัตราส่วนนี้จะอยู่ระหว่าง 4 - 5
 องค์ประกอบของความปลอดภัยทางโครงสร้างทางฮาราศาสตร์โดยทั่วไปจะไม่น้อยกว่า
 4 คย. ตามรูป 2.2a ผลรวมของช่องว่างตามแนวตั้งจะได้จากค่าความหนาแน่น n
 แต่ละจุดจะมีความกดดันอยู่ด้วย เช่นที่จุด B และ C เมื่อมีการลากเส้นผ่าน ก็จะมีเกิด
 การแบ่งแยกของพื้นที่แผ่นพื้นตอนบน จะมีภาพแสดงความกดดัน p/γ ที่ฐานตึกและ
 มาบรรจบกับเส้นตรง ความกดดันจะมีมากขึ้นถ้าเราใช้ ภาพของตารางที่มีความละ
 เอียดอ่อนมากในพื้นที่ของปฏิกิริยาที่เพิ่มจาก y_u จะให้พลังงานตอนบนมีมากขึ้น

การที่ไม่มีก้ำแวงหรือไม้ปูพื้น (รูป 2.7) ทำให้ความยาวของกระแส น้ำ
 ลดลงและ gh ใต้ดินจะช่วยลดการเปลี่ยนแปลงของพื้นดิน ซึ่งคล้ายกับก้ำแวงแต่จะประ
 หยัดและสะอาดต่อการกระทำมากขึ้นถ้ามีทั้งเสาและก้ำแวง แนวเสาตอนบน (cd ใน
 รูป 2.7) มีเพื่อขยายทางเดินของน้ำ ลดองค์ประกอบอื่น ๆ และความกดดันตอนบนก็
 ลดความรุนแรงลง การเพิ่มความดันของน้ำ เราทำได้โดยการสร้างตาข่ายเหนือน้ำ
 (รูป 2.8d) การที่จะเลือกจะใช้เพียง 1 หรือมากกว่านั้น ขึ้นอยู่กับประสบการณ์และ



รูปที่ 2.8 flow net ภายใต้เขื่อนคอนกรีต

เอกสารนี้เป็นเอกสารที่สงวนไว้สำหรับการใช้งานเพื่อการศึกษาเท่านั้น ไม่อนุญาตให้นำไปใช้ประโยชน์ด้านการค้า
ไม่ว่ากรณีใดๆทั้งสิ้น อีกทั้งห้ามมิให้คัดลอกเนื้อหา และต้องอ้างอิงถึงเจ้าของเอกสารทุกครั้งที่มีการนำไปใช้

การได้รู้จักกับปัญหาในลักษณะต่าง ๆ ตาข่ายตอนบนนี้จะมีผลต่อดินเพียงเล็กน้อยเท่านั้น

ผลของตำแหน่งการจัดวางเสากระดานกรี๊วที่มีพลังงานตกบนมาก ๆ

อาจจะดูได้จากรูปแบบของค้ำประกอบของทิศทางการไหลของน้ำตอนบนไปยังพื้นผิวเขื่อน

(รูป 2.9) การเลือกตัวเลขในส่วน abm แรงกดดันทั้งหมดของจุดใหญ่ได้แสดงไว้

แล้วในตาราง 2.2 สำหรับจุดแต่ละจุดของตำแหน่งเสา 2 ตำแหน่ง รูปแบบที่ได้ใน

แต่ละกรณี จะเป็น $\bar{\gamma}_x = 6 / (2 + 19 + 8 + 8 + 1 + 2) = 6 / 40 = 0.15$

แผนผังตอนบนจะเกี่ยวข้องกับแผนผังแรงกดดันของน้ำ ตาม $bcgm$ แผนผัง $bdefolgcb$

เกี่ยวกับตำแหน่งของเสาที่จุด c ขณะที่ $bdefolgcb$ เกี่ยวกับตำแหน่งของเสาที่จุด

g (รูป 2.9 b) พลังงานที่เพิ่มจะได้ $2.4 \times 18 \times y_u = 2.4 \times 18 \times$

$1000 = 43,200$ กิโล ($= 43.2$ เมตตริกตัน) ถ้าเสาแต่ละแถวถูกขยอกจากจุด c ไป

จุด g หลักการวิเคราะห์นี้จะช่วยในการหาค่าเฉลี่ยของพลังงานตอนบนและเป็นแนว

ทาง ในการหาความลึก และที่ตั้งของเสาเพื่อความมั่นคงแข็งแรง ตำแหน่งของพลัง

งานที่จะมีผลกระทบได้นั้น ต้องถูกกำหนดขึ้นมาด้วย ทิศทางของพลังงานจะมาบรรจบ

กับช่วงกลางของแผนภูมิของแรงกดดัน

กระแสน้ำใต้เขื่อนในชั้นดิน เมื่อ K'_x ไม่เท่า K'_y จะดูได้จากรูป 2.4

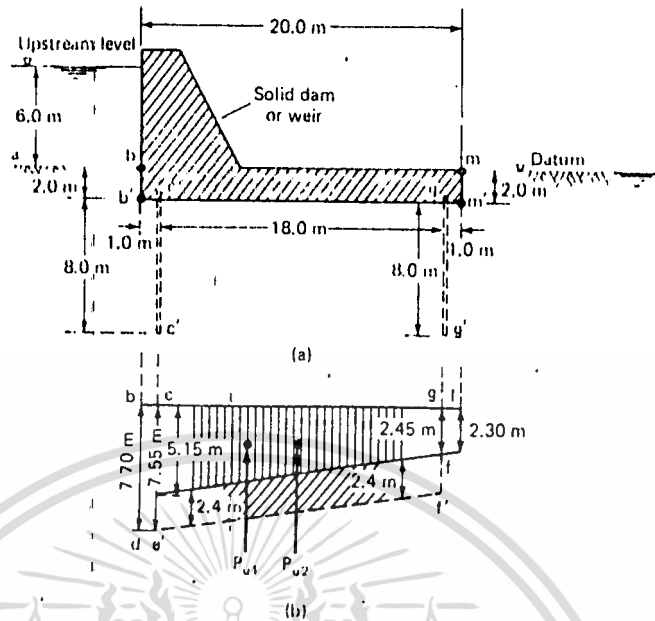
($K'_x = 4K'_y$) กระแสน้ำจะอยู่ในขบวนการเปลี่ยนแปลงแม้ว่าจะมีความเป็น

เนื้อเดียวกันกับดิน อย่างไรก็ตาม อัตราส่วนของ g จะดูจากสมการ 2.14 แผนภูมิ

ขององค์ประกอบกับความกดดันตอนบน จะถูกกำหนดจากขบวนการทางธรรมชาติ (รูป

2.4b) หลังจากกำหนดทิศทั้งของกระแสที่ผ่านชั้นตอนของการแปรสภาพ ถ้าอยากรู้

ค่า q , สมการ 2.14 ก็ใช้วิธีนับจำนวน n_F และ n_U ที่ออกมาจากขั้นตอนการแปรสภาพ



รูปที่ 2.9 ผลของ sheet pile ในแง่ขนาดของแรงยก

Total head h and pressure head p/γ_w at designated points, m				
Points	Sheet pile at c		Sheet pile at g	
	h	$\frac{p}{\gamma_w}$	h	$\frac{p}{\gamma_w}$
b	6.00	6.00	6.00	6.00
b'	5.70	7.70	5.70	7.70
Left of c	5.55	7.55	5.55	7.55
c'	4.35	—	—	—
Right of c	3.15	5.15	5.55	7.55
Left of g	0.45	2.45	2.85	4.85
g'	—	—	1.65	—
Right of g	0.45	2.45	0.45	2.45
m'	0.30	2.30	0.30	2.30
m	0.00	0.00	0.00	0.00

ตาราง 2.2 แผนภาพแรงยก (uplift forces)

เอกสารนี้เป็นเอกสารที่สงวนไว้สำหรับการใช้งานเพื่อการศึกษาเท่านั้น ไม่อนุญาตให้นำไปใช้ประโยชน์ด้านการค้า
ไม่ว่ากรณีใดๆทั้งสิ้น อีกทั้งห้ามมิให้ตัดแปลงเนื้อหา และต้องอ้างอิงถึงเจ้าของเอกสารทุกครั้งที่มีการนำไปใช้

ความปลอดภัยและปัญหาน้ำท่วม

เมื่ออ้างถึง 5.2a แล้ว มีความเป็นไปได้ที่พลังงานของน้ำที่ไหลซึมออกมา จะเคลื่อนตัวอย่างรวดเร็ว ไปทางขวาของเสา CD ซึ่งจะทำให้พื้นดิน เกิดการเคลื่อนตัวไปถึงจุด F Terzaghi (Terzaoyei and Peck, 1967) ได้สังเกตถึงปัญหา น้ำท่วมที่เกิดจากการสกิดกันของน้ำ จากอีกด้านหนึ่ง พื้นดินจะยุบตัวลงไปที่ความลึก $t_u = ED$ และความกว้าง $= 1/2 FD$ (รูป 5.2a) เราอาจตั้งสมมติฐานได้ว่า จะมีค่าตามแนว FG และค่าเฉลี่ยบริเวณฐานปริซึม D_u คือ h_{uv} องค์ประกอบที่ก่อให้เกิดความปลอดภัยคือ

$$FS = t_u \chi' / h_{uv} \chi_w = (\chi' / \chi_w) / i_{s,uv} = i_{sc} / i_{s,uv} \quad (2.18)$$

เมื่อ $i_{sc} = 1$ ตั้งใน

$$FS = 1 / i_{s,uv} \quad (2.19)$$

องค์ประกอบของความปลอดภัยอาจจะศึกษาได้ จากอัตราส่วนของพลังงาน ในปริซึม $FDDf$ (รูป 2.2e) ตามการวิเคราะห์ด้านพลังงาน แรงดึงดูด $= W = V \chi_{sat} = (1/2) t_u^2 \chi_{sat}$ แรงผลักดันจะเท่ากับผล ของความดันน้ำที่เกิดบริเวณฐานของปริซึม $Dd = (h_{uv} + t_u) (t_u / 2) \chi_w$ ดังนั้น

$$FS = (1/2)t_{\text{sub}}^2 \gamma_{\text{sub}} / [(h_{\text{sub}} + t_{\text{sub}})(t_{\text{sub}}/2)]$$

$$\text{หรือ } FS = t_{\text{sub}} \gamma_{\text{sub}}' / [(h_{\text{sub}} \gamma_{\text{sub}} + t_{\text{sub}} \gamma_{\text{sub}})]$$

$$= (t_{\text{sub}} \gamma_{\text{sub}}' + t_{\text{sub}} \gamma_{\text{sub}}) / [(h_{\text{sub}} \gamma_{\text{sub}} + t_{\text{sub}} \gamma_{\text{sub}})] = W/F_B \quad (2.20)$$

สมการ 2.20 จะมีความเป็นจริงมากกว่าสมการ 2.18 ถ้อยคำประกอบ
ของความปลอดภัยน้อยกว่า 4 ถึง 5 เครื่องตอต้องมีโครงสร้างดังนี้

$$FS = (W + W_{e1}) / F_B$$

(2.21)

เมื่อ W_{e1} เป็นน้ำหนักแห้งของวัสดุรอง ถ้าค่าของ FS ถูกระบุความหนา
ของเครื่องกรอง จะกำหนดได้จาก $W_{e1} = t_{e1} \gamma_{e1}$ เมื่อ γ_{e1} เป็นน้ำหนัก
ของอุปกรณ์เครื่องกรอง 1 หน่วย

ในสมการ 2.18 ถึง 2.21 แรงต้านทานบริเวณด้านข้างปริซึม $FDdf$
(รูป 5.2e) จะถูกตัดทิ้ง เพื่อความปลอดภัย แรงต้านทานเกิดจากบริเวณ DF รวมตัว
กันและลดความแข็งแกร่งบริเวณ df (รูป 2.2a และ e)

Equipotential h_n	Intensity, m
---------------------	--------------

h_1	7.000
h_2	6.462
h_3	5.923
h_4	5.385
h_5	4.846
h_6	4.308
h_7	3.769
h_8	3.231
h_9	2.692
h_{10}	2.154
h_{11}	1.615
h_{12}	1.077
h_{13}	0.538
h_{14}	0.000

ψ_n	m^2/s
----------	---------

ψ_1	0
ψ_2	0.54K
ψ_3	1.08K
ψ_4	1.62K
ψ_5	2.15K

* Datum at tailwater level.

ตาราง 2.3 ค่าของ h^* และ w ในรูป 2.2a

เอกสารนี้เป็นเอกสารที่สงวนไว้สำหรับการใช้งานเพื่อการศึกษาเท่านั้น ไม่อนุญาตให้นำไปใช้ประโยชน์ด้านการค้า
ไม่ว่ากรณีใดๆทั้งสิ้น อีกทั้งห้ามมิให้ตัดแปลงเนื้อหา และต้องอ้างอิงถึงเจ้าของเอกสารทุกครั้งที่มีการนำไปใช้

การเลือกการแก้ปัญหาด้วยคณิตศาสตร์

การเลือกใช้วิธีทางคณิตศาสตร์จะมีความยุ่งยาก เพราะได้นำวิธีของ
การปฏิบัติมาใช้ ซึ่งมีข้อผิดพลาดน้อยลง

คืนไม่จำกัดความลึกโดยปราศจากการยึดและไม่มี sheet pile

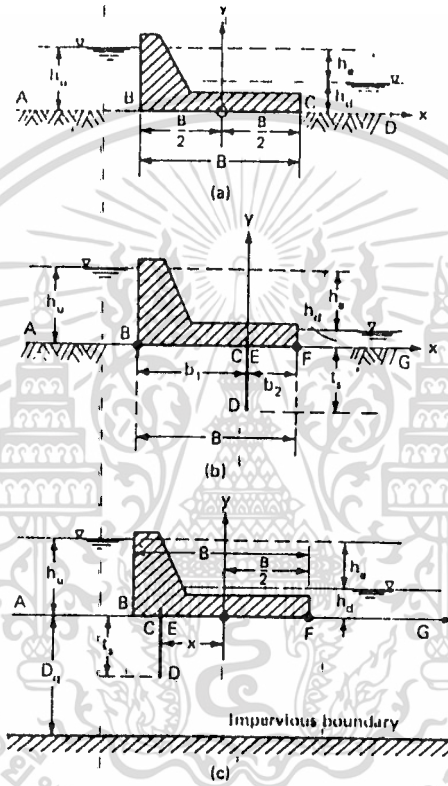
รูปแบบการไหลของน้ำมีสัดส่วนรับกับแกน y ผ่านจุดกลางของฐานเขื่อน q
จะมีค่าอนันต์ และ w จะมีค่าตามทิศทางของกระแส น้ำ ตามรูป

$$4x^2/[CB^2 \cosh^2(\pi w_0/Kh_u)] + 4y^2/[CB^2 \sinh^2(\pi w_0/Kh_u)] = 1 \quad (2.22)$$

เมื่อ h_u = ค่าตอนบน = $h_u - h_d$, เมื่อ h_u เป็นบริเวณเหนือน้ำและ
 h_d เป็นบริเวณใต้น้ำ

B = ความกว้างของฐานเขื่อน

w_0 = ฝั่งกั้นการไหล



รูปที่ 2.10 การวิเคราะห์การไหลซึมภายใต้เขื่อน

เอกสารนี้เป็นเอกสารที่สงวนไว้สำหรับการใช้งานเพื่อการศึกษาเท่านั้น ไม่อนุญาตให้นำไปใช้ประโยชน์ด้านการค้า
ไม่ว่ากรณีใดๆทั้งสิ้น อีกทั้งห้ามมิให้ดัดแปลงเนื้อหา และต้องอ้างอิงถึงเจ้าของเอกสารทุกครั้งที่มีการนำไปใช้

ที่ฐานเขื่อน , $n = 0$ และ w คือ w_0

รูปทรงของกระแสน้ำเป็นรูปร่างรี ที่ $x = B$ สมการ 2.22

$$4x^2/[B^2 \cos^2(\pi\phi_n/Kh_n)] + 4y^2/[B^2 \sin^2(\pi\phi_n/Kh_n)] = 1 \quad (2.23)$$

เมื่อ $\phi_n =$ สัดส่วนความเร็ว ($n = 0, 1, 2, \dots, n$)

$h_n =$ บริเวณต้น, ที่สัมผัสกับ น้ำของน้ำบริเวณปลายเขื่อน

แนวเส้น AB, สัดส่วนความเร็ว จะมีค่ามากที่สุด, แนว CD จะมีค่าน้อยที่สุด

การใช้สมการ 2.22 และ 2.23, เพื่อกำหนดรูปทรงการไหลของน้ำค่า

N_E ระหว่างค่ามากที่สุด $\phi_n = -Khe$ ตามแนว AB และค่าน้อยที่สุด $\phi_n = 0$ แนว

CD สรุปได้ว่า

$$\Delta h = (Kh_n - 0)/n_e K = h_n/n_e$$

ในตาข่ายการไหลนั้น จะประกอบด้วยรูปจตุรัสโดยประมาณ

$$\Delta q = K\Delta h$$

ถ้า w_1 สัมพันธ์กระแสน้ำให้ฐานเขื่อน $w_1 = \Delta q$, $w_2 = 2\Delta q$
 สำหรับค่าเฉพาะของ w เส้นกระแสที่ได้อาจได้จากสมการ 2.22 และ
 ค่า y สัมพันธ์กับค่า x

การใช้สมการ 2.23 สำหรับค่า ϕ , $\phi = \phi_0$ ตามแนว CD, $\phi_1 =$
 $K\Delta h$, $\phi_2 = 2 K\Delta h$, $\phi_3 = 3 K\Delta h, \dots, \phi_n = K\Delta h$ แกนตั้งอาจจะถูกกำ
 หนด จากการคำนวณค่า y ให้สัมพันธ์กับค่า x

ความเร็ว v_x ตามฐาน BC จะเป็น

$$v_x = (2Kh_u / \eta) / (B^2 - 4x^2)^{1/2} \tag{2.24}$$

ที่จุด B และ C, $v_x = \alpha$
 แรงยก P_u บนฐาน BC จะมากกว่าบริเวณท้ายเขื่อน

$$P_u = (1/2)h_u \alpha B \tag{2.25}$$

สมการ 2.25 เป็นการกำหนดทางคณิตศาสตร์ การใช้ค่าประมาณค่าทั้ง
 หมดจะเป็น $\alpha_w [(h_u + h_d)/2]B$ ผลของน้ำท้ายเขื่อนจะเป็น $\alpha_w h_u B$ ดังนั้น

$$P_u = (1/2)\alpha_w [(h_u + h_d)/2]B - B h_u \alpha_w = (1/2)h_u \alpha_w B$$

ผลที่ได้จะเหมือนกับที่ให้ไว้ในสมการ 2.25

ดินในระดับที่ไม่จำกัดความลึก เพราะไม่มีการปูพื้นฐานแต่มี sheet pile Powlou'sky (Han, 1962) ได้หาทางแก้ไขแกน x มาบรรจบที่ฐานรากและลงเสาที่ตำแหน่ง c (รูป 5.10b) แกน y ลากไปยังจุด c (หรือ E) ค่าของ x จะเปลี่ยนไปตามตำแหน่งของเสา

แรงกดด้วย p_u บริเวณฐานราก จะได้

$$P_u = \sigma_w [(h/\pi) \cos^{-1} (B_1 t_u / (t_u^2 - x^2)) / B_2 t_u + h_d] \quad (2.26)$$

และ p_u ตามแนว sheet pile ($x = 0$)

$$P_u = \sigma_w [(h/\pi) \cos^{-1} (B_1 t_u + \sqrt{(t_u^2 - y^2)}) / B_2 t_u - y + h_d] \quad (2.27)$$

เมื่อ t เป็นความลึก sheet pile

$$B_1 = (1/2t_u) [\sqrt{(t_u^2 + b_1^2)} - \sqrt{(t_u^2 + b_2^2)}] \quad (2.28a)$$

$$\text{และ } B_2 = (1/2t_u) [\sqrt{(t_u^2 + b_1^2)} + \sqrt{(t_u^2 + b_2^2)}] \quad (2.28b)$$

เมื่อลงเสาใกล้บริเวณตอนกลางของฐาน แรงกดตันขึ้นอยู่กับความลึกของ t กรณีนี้ เป็นหลักทางทฤษฎี ที่ไม่สามารถจะนำมาปฏิบัติได้

ดินในระดับที่จำกัดความลึกแต่ไม่มีการปูพื้นและมีsheet pile 1 แถว Merskat (1936) และ Powlousky (1922) (Han, 1962) ได้ค้นพบวิธีการแก้ไข โดยใช้เทคนิคในการวาดแผนผัง โดยค่า q/khe จะเปลี่ยนไปตามสัดส่วนของ $B/2D_u$ และ t_u/D_u ซึ่งเกือบจะไม่มีผลกับตำแหน่งของเสาเลย เมื่อลงเสาที่จุดใดก็ตาม q/khe จะมีค่าเกือบ 95% ของค่าทั้งหมด เมื่อลงเสาใกล้บริเวณจุดศูนย์กลางของฐาน

จากหลักการวิเคราะห์ทางคณิตศาสตร์ หากว่าบริเวณท้ายเขื่อนการลงเสาจะไม่คล้อยได้ผลเท่าใด มันจะได้ผลโดยเพิ่มความลึก t_u ของเสา ในขณะที่ $2 Dq / B < 1/2$ และ จะสังเกตได้อีกว่า $(2t_u / B / \max 0.5)$

น้ำจะระบายออกมาก เมื่อตำแหน่งของเสาอยู่ที่ $t_u / Dg < 0.75$ ดังนี้

$$(i_{s.e})_{max} = h_u / \pi t_u \tag{2.29}$$

ความสัมพันธ์ระหว่าง q/Khe และ t_u/Dq จะแตกต่างกันไปตามค่าของ $B/2 Dq$ ที่ Musket ได้ให้ไว้ ซึ่งมีพื้นฐานมาจากการวิเคราะห์ทางคณิตศาสตร์ ในการปฏิบัติสูตรที่ได้คือ

$$q/Kh_u = (D_u/t_u)(0.15 - 0.06B/D_u) + 0.23 \tag{2.30a}$$

หรือ

$$t_u/D_u = (0.15 - 0.06B/D_u) / [(q/Kh_u) - 0.23] \tag{2.30b}$$

สูตรดังกล่าวไปได้ด้วยค้กับวิธีของ Musket (1937) โดยจัด t_u/Dq ระหว่าง 0.4 และ 0.6 ข้อผิดพลาดมากที่สุดใน q/Khe ประมาณ ± 0.02 ถ้ามากกว่า ± 0.04 ก็อาจจะพอรับได้ สมการ 5.30 จะใช้กับค่า t_u/Dq ระหว่าง 0.3 และ 0.7

สรุปการออกแบบเขื่อนและโครงสร้างกันน้ำ

1. ใช้วิธีของ Lane (ตาราง 2.1) ในการหาความยาวของพื้นที่เขื่อน
2. หาความลึกของดิน
3. เลือกระดับความลึก สำหรับ t_u ระหว่าง $0.3 Dq$ และ $0.5 Dq$
4. ลง sheet pile ใกล้เคียงบริเวณเหนือน้ำ
5. sketch ตาข่ายการไหล และหาค่า q/Khe
6. ใช้สมการ 2.30b หรือตรวจสอบค่า t_u
7. sketch ตาข่ายการไหลอื่นถ้าเกิดความแตกต่างอย่างมากของค่า t_u
8. กำหนดทางระบายน้ำ และองค์ประกอบของความปลอดภัยต่อการท่วมของน้ำ
9. เริ่มทำข้อ 5-ข้อ 8 อีกครั้ง ถ้าต้องการแนวเสาบริเวณท้ายเขื่อน
10. หาแผนภูมิของแรงกดค้ำของน้ำที่บริเวณฐาน ค่าแรงค้ำทั้งหมด และหาทิศทาง
11. วิเคราะห์ความมั่นคงแข็งแรง

การเคลื่อนไหว

แบบที่ทดลองออกมา จะเปลี่ยนแปลงได้ ถ้าเห็นว่ามีความปลอดภัยไม่

เพียงพอ

บทที่ 3 ขั้นตอนในการพัฒนาโปรแกรม

ทฤษฎีที่สำคัญ

3.1 กล่าวนำ

การซึม (seepage) คือ การไหลซึ่งเกิดขึ้นผ่านรูเล็กที่อยู่ระหว่างอนุภาคที่ประกอบขึ้นเป็นดิน การไหลดังกล่าวนี้ทำให้เกิดแรงอย่างมหาศาล ซึ่งเพียงพอจะทำให้เขาทะลายลงไปได้ และจะทำลายงานทางด้านวิศวกรรม ดังนั้นวิศวกรจะต้องตระหนักถึงปัญหาดังกล่าวนี้ เนื่องจากมีขอบเขตกว้างขวางในงานทางด้านวิศวกรรม โดยวิศวกรจะต้องรู้ซึ่งถึงธรรมชาติของการไหล และควบคุมเพื่อจัดการทำลายอย่างรุนแรงจากการไหลดังกล่าว การไหลซึมจะเข้ามาเกี่ยวข้องกับงานในสนามตั้ง เช่น การออกแบบเขื่อน และการก่อสร้างร่องน้ำ (trenches) ดังนั้นวิศวกรจึงต้องวางแผนการระบาย และขจัดน้ำที่ไหลซึมดังกล่าวในบทนี้สามารถการไหลเบื้องต้นจะแสดงให้เห็นและแสดงถึงหนทางที่จะแก้ปัญหาดังกล่าวมาแล้ว

3.2 ความซึมได้ของดิน (Soli permeability)

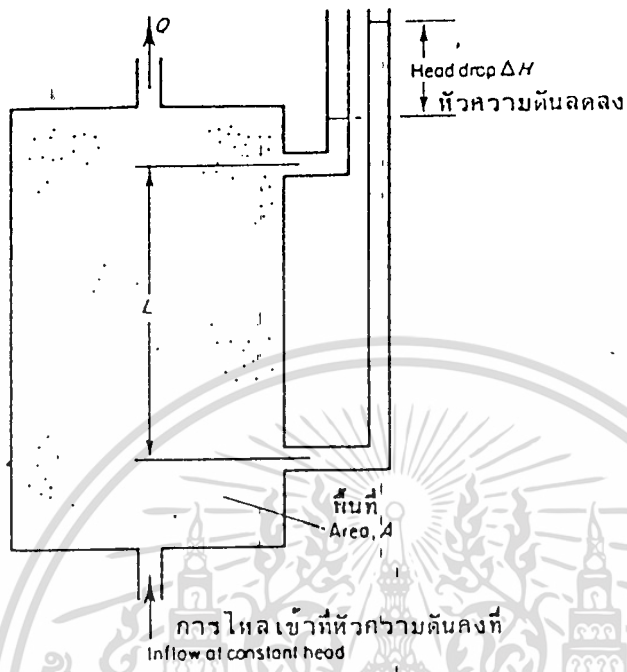
อัตราที่น้ำไหลผ่านดินขึ้นอยู่กับหัวความดัน และธรรมชาติของดิน คุณสมบัติของวัสดุต้องใช้ใช้สัมประสิทธิ์ของการซึมได้ (coefficient of permeability k ค้นพบโดย Darcy ในปี ค.ศ. 1856 โดยสร้างความสัมพันธ์ระหว่างความเร็วการไหล v และความลาดเอียงของหัวความดัน (head gradient) dn/dx โดยสมการ (ใช้มิติเดียว)

$$v = -k (dh/dx) \tag{3.1}$$

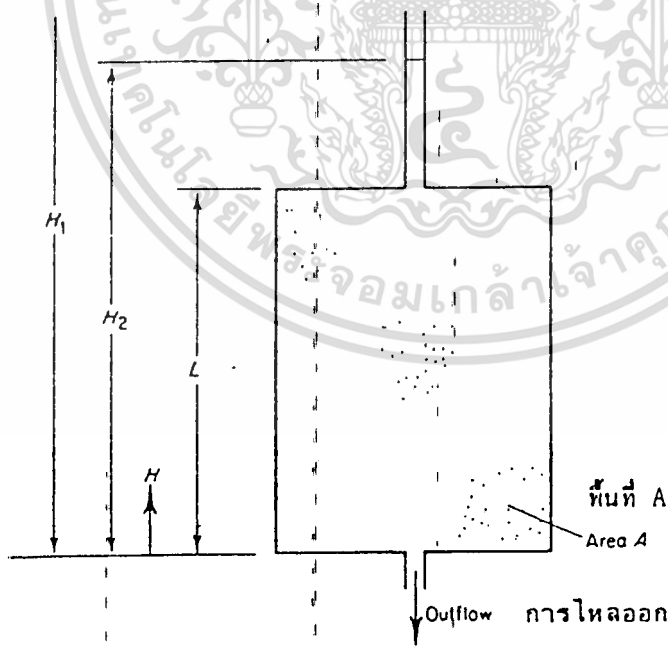
สัมประสิทธิ์ของการซึมได้จะรวมถึงการแตกต่างของช่องว่าง (Porosity) ของดิน รูปร่าง และการจัดการของอนุภาคดิน และองศาความอิ่มตัวของดิน ความสัมพันธ์เชิงประสพการณ์ในการประมาณค่าของการซึมได้หลายแบบด้วยกัน แต่ค่าที่ดีที่สุดคือของ Hazen โดยนำมาประยุกต์ใช้กับตัวกลางเมล็ดกลมชนิดเดียวกัน (homogeneous rounded grain media) แต่ขนาดไม่ละเอียดเกินไป ดังแสดงเป็นรูปสมการได้ดังนี้

$$k = C d_{10}^2 \text{ m/s} \tag{3.2}$$

โดย d_{10} คือขนาดของเมล็ด (grain) เป็นมิลลิเมตร โดยวัสดุมีขนาดละเอียดกว่าประมาณ 10% และ C คือตัวคงที่ที่อยู่ในช่วง 0.010 ถึง 0.015 ช่วงมาตรฐานของการซึมได้ของวัสดุที่แตกต่างกันมีดังนี้



รูป 3.1 มิเตอร์วัดความซึมได้ที่หัวความดันคงที่



รูป 3.2 มิเตอร์วัดความซึมได้แบบหัวความดันแตก

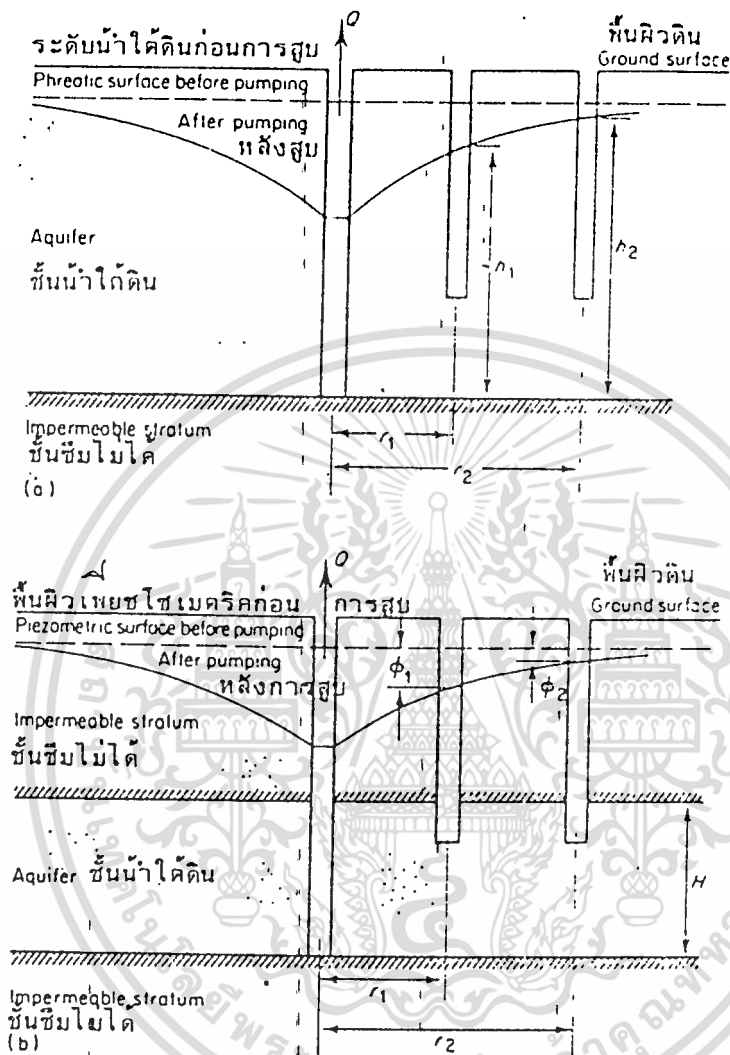
เอกสารนี้เป็นเอกสารที่สงวนไว้สำหรับการใช้งานเพื่อการศึกษาเท่านั้น ไม่อนุญาตให้นำไปใช้ประโยชน์ด้านการค้า
ไม่ว่ากรณีใดๆทั้งสิ้น คู่กัทั้งห้ามมิให้ดัดแปลงเนื้อหา และต้องอ้างอิงถึงเจ้าของเอกสารทุกครั้งที่มีการนำไปใช้

ในขณะที่การไหลคงที่ของน้ำ Q ผ่านเข้าสู่ตัวอย่างวัสดุของความยาว L และมีพื้นที่หน้าตัด A ซึ่งมีห้วงความดันตกคือ H ในระบบที่สองการซึมได้ที่กำหนดให้คือ

$$k = (al/At) \ln (H_1/H_2) \quad (3.4)$$

ห้วงความดันของน้ำที่บรรจุอยู่ในหลอดน้ำมีพื้นที่หน้าตัด a ตกจาก H_1 ถึง H_2 ในเวลา t น้ำจะผ่านเข้าสู่ตัวอย่างวัสดุของความยาว L และเนื้อที่หน้าตัด A

เพราะว่าปัญหาดังกล่าวจะเกี่ยวข้องกับการใช้ประโยชน์สองตัวอย่างของดินที่ไม่ได้เกิดขึ้นจริงหรือดินที่ไม่ถูกรบกวนในห้องปฏิบัติการ ในสถานการณ์จริง การตรวจสอบการซึมได้เราจะใช้วิธีตรวจสอบคือ อัตราการไหลในบ่อน้ำ (well-discharge technique) ซึ่งใช้ได้ทั้งชั้นรับน้ำที่ถูกขวางกั้น และไม่ถูกขวางกั้น ดังแสดงในรูป 3.3 (a) และ b



รูป 3.3 (a) การตรวจสอบการสูบน้ำในชั้นน้ำที่ไม่ถูกขังกัน

(Pumping test in unconfined aquifer)

(b) การตรวจสอบการสูบน้ำในชั้นที่ถูกขังกัน

(Pumping test in confined aquifer)

โดยวิธีนี้จะจมอยู่ในชั้นน้ำและน้ำจะสูบโดยมีอัตราการสูบคงที่ในแนว

เพียโซเมตริก (piezometric surface) (หิวความดันของน้ำในชั้นน้ำ) จะ

ต่ำ ความลาดเอียงทางชลศาสตร์มีผลและน้ำไหลไปสู่บ่อ โดยการเข้าสู่ระดับพื้น

ผิวเพียโซเมตริกของบ่อที่ใช้สังเกตการทั้งสองที่มีระยะทางแตกต่างจากบ่อสูบน้ำ

(ดูรูป 3.3b) การประมาณการซึมได้จะหาค่าออกมาได้ ด้วยการอ้างอิงถึงสัญลักษณ์

ของรูป 3.3 (b) สูตร Dupuit ใช้หากการซึมได้ คือ

$$k = \frac{Q \ln(r_2/r_1)}{\pi(h_2^2 - h_1^2)} \quad (3.5)$$

ในชั้นน้ำที่ถูกขวางกั้น และอ้างอิงรูป 6.2 (b) สูตรของ Thiem

สำหรับการซึมได้คือ

$$k = \frac{Q \ln(r_2/r_1)}{2\pi H(\phi_1 - \phi_2)} \quad (3.6)$$

เทคนิคของการวัดการซึมได้ในสนามอื่น ๆ ดังตัวอย่างซึ่งใช้บ่อเจาะ

อื่น หรือบ่อซึ่งใช้การวัดความเร็วโดยใช้สารเคมีย้อมสี วัดระหว่างบ่อสังเกตการ

เอกสารนี้เป็นเอกสารที่สงวนไว้สำหรับการใช้งานเพื่อการศึกษาเท่านั้น ไม่อนุญาตให้นำไปใช้ประโยชน์ด้านการค้า

ไม่ว่ากรณีใดๆทั้งสิ้น อีกทั้งห้ามมิให้ตัดแปลงเนื้อหา และต้องอ้างอิงถึงเจ้าของเอกสารทุกครั้งที่มีการนำไปใช้

(Observation wells) นอกเหนือเกินกว่าความรู้ในเอกสารเล่มนี้

3.4 ข่ายการไหล (Flow nets)

ในดินซึ่งรู้การซึมได้จะสามารถประเมินค่า ปริมาณการไหลและการแผ่กระจายของหัวความดันในวัสดุใช้สมการพื้นฐานของการไหลหาค่าการผันแปรของการไหลที่แตกต่างทางรูปเรขาคณิตออกมาได้

$$(d^2w/dx^2) + (d^2w/dy^2) = 0 \tag{3.7}$$

เราเรียกว่าสมการLaplace สมการที่คล้ายคลึงกันนี้จะหาจากปริมาณ ที่เราเรียกว่า ฟังก์ชันความเร็วศักย์ (Velocity potential function) ϕ เมื่อเราหาผลลัพธ์ของสมการเหล่านี้และฟังก์ชัน ψ และ ϕ นำมาพลอตบนระนาบ x-y จะมีกลุ่มของเส้นเชิงตั้งฉาก ซึ่งจะอธิบายการไหล เส้นของค่าคงที่ ψ คือเส้นลำนน้ำและแสดงถึงเส้นทาง(path)ของอนุภาคของไหล เส้นค่าคงที่ ϕ คือ เส้นเชิงอำนาจ (equipotential lines) และชี้ให้เห็นการแผ่กระจายของหัวความดันตลอดระบบ ในเนื้อหาของการไหลเข้าซึม ฟังก์ชันศักย์จะสัมพันธ์กับหัวความดันโดยสมการ

$$\phi = -kh \tag{3.8}$$

เอกสารนี้เป็นเอกสารที่สงวนไว้สำหรับการใช้งานเพื่อการศึกษาเท่านั้น ไม่อนุญาตให้นำไปใช้ประโยชน์ด้านการค้า ไม่ว่าจะกรณีใดๆทั้งสิ้น อีกทั้งห้ามมิให้ตัดแปลงเนื้อหา และต้องอ้างอิงถึงเจ้าของเอกสารทุกครั้งที่มีการนำไปใช้

ขณะที่ปริมาณของอัตราการไหลอนุมาณได้จากความแตกต่างระหว่างค่าตัวเลขที่ติดกับเส้นลำนน้ำ (stream lines)

ผลรวมของตระกูลของเส้นลำนน้ำ และเส้นหัวความดัน เราเรียกว่า ข่ายการไหล เมื่อนำมาเชื่อมโยงกับกฎของ Darcy สามารถนำมาใช้ประมาณหาค่าอัตราการไหลซึม (seepage flow rates) การแผ่กระจายหัวความดัน และแรงต่าง ๆ บนอาคารเหล่านี้เป็นดังตัวอย่างง่าย ๆ ของข่ายการไหลคือ เทคนิคอัตราการไหล-จากบ่อ (well-discharge technique) ของรูป 3.2 สืบเนื่องจากโครงข่ายการไหลที่แสดงในรูป 3.4 ซึ่งเส้นหัวความดัน เป็นเส้นรอบวงของวงกลม และเส้นลำนน้ำคือเส้นรัศมี

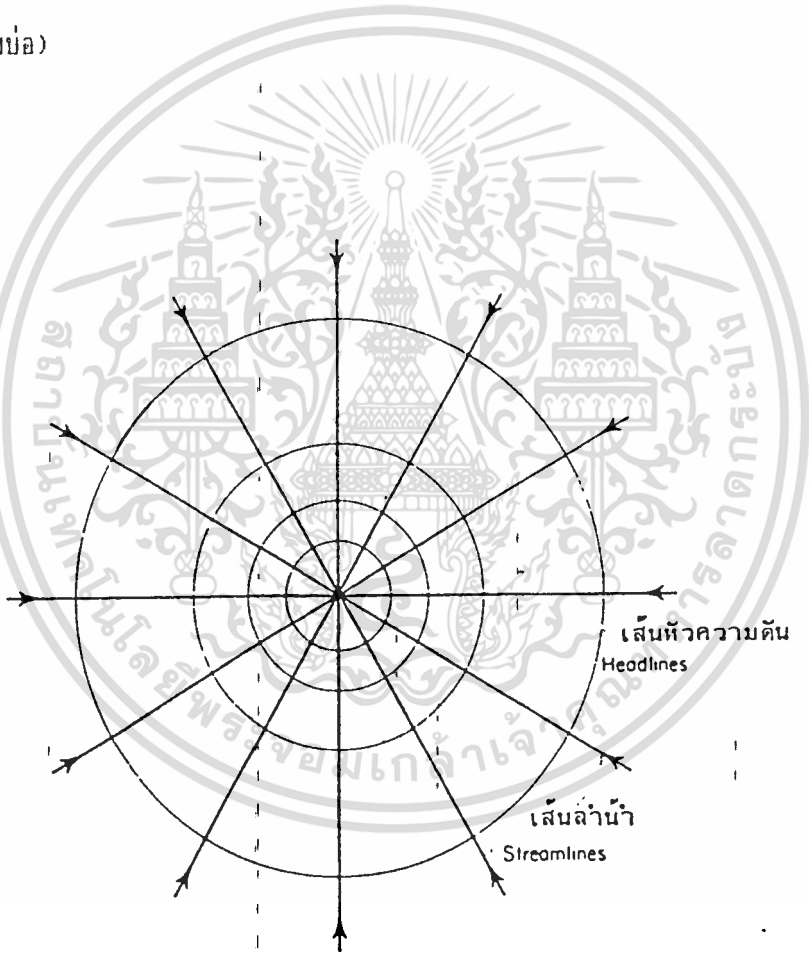
เพื่อที่จะใช้ประโยชน์ของการคำนวณโครงข่ายการไหล จะต้องรักษาความแตกต่างระหว่างหัวความดัน และเส้นลำนน้ำให้คงที่ใช้ ดังนั้นส่วนของตารางที่แสดงในรูป 3.5 สำหรับหน่วยความหนาของการไหล กฎของ Darcy จะออกมาในรูป

$$\Delta q = -bkah/L \quad (3.9)$$

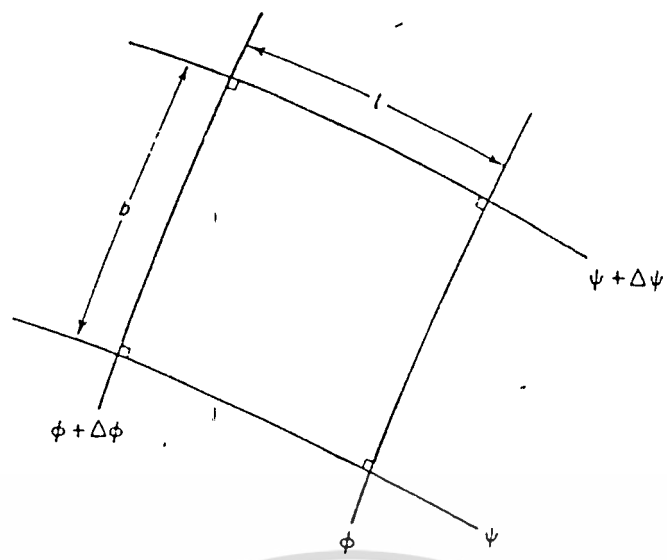
และจาก Δu Δw และ $\Delta \phi = -k\Delta h$ จะกลายมาเป็น

$$\Delta w = (b/L)\phi' \tag{3.10}$$

ดังนั้น ถ้า Δw และ $\Delta \phi$ คงที่ ดังนั้น b/L คงที่ และควรมีค่าหนึ่งหน่วย
เพื่อว่าโครงข่ายการไหลจะเป็นตารางสี่เหลี่ยมจัตุรัส ซึ่งจะลดเนื้อที่ในย่านของ
ความลาดเอียงหัวความดันสูง (high head gradient) ในรูป 3.4 ซึ่งใกล้เคียง
กับย่อ)



รูป 3.4 โครงข่ายการไหลจากการตรวจสอบการสูบน้ำ

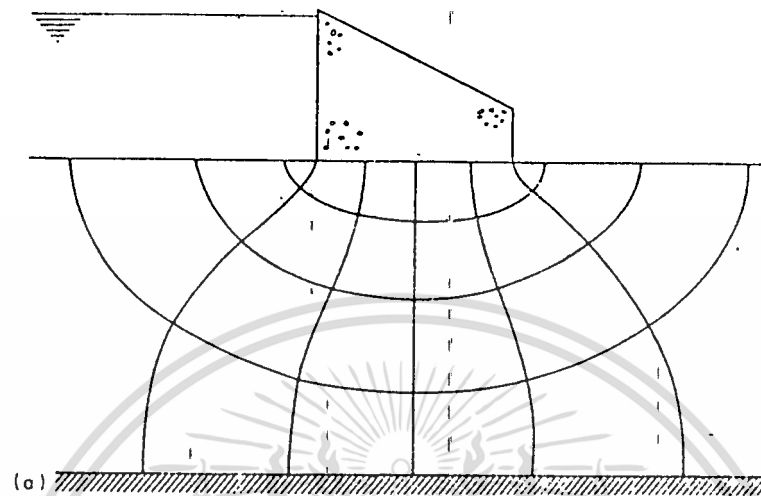


รูป 3.5 ส่วนของโครงสร้างเขื่อน

ผลลัพธ์ของโครงสร้างเขื่อน โดยทั่วไปหาได้จากการเขียนไดอะแกรมของระบบเข้าสเกลอัตราส่วน เส้นขอบเขตลำนํ้าคงที่ และเส้นหัวความดันสเกตซ์เส้นลำนํ้า และหัวความดัน โดยทดลองและปรับตำแหน่งไปมาจนกระทั่งภาวะภายในและภายนอกเป็นที่พอใจ ความยุ่งยากที่เกิดขึ้นในขอบเขตเส้นลำนํ้าคือ กรณีที่การซ้บซึมไม่มีขอบเขต (unconfined seepage) ในกรณีนี้ตำแหน่งของเส้นเหล่านี้จะประมาณ และปรับเป็นเส้นภายในของโครงสร้าง

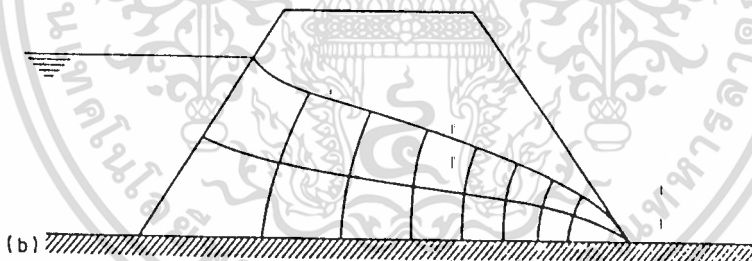
เส้นกราฟแสดงผลลัพธ์ ของโครงสร้างเขื่อนของการไหลที่ซ้บซึมภายใต้เงื่อนไขที่ซึมไม่ได้ (an impermeable dam) และผ่านเขื่อนดินหรือทำนบดินดังแสดงในรูป 3.6 (a) และ (b) จากกฎของดาร์ซี การไหลคือความกว้างเป็นเมตร คือ

$$Q = kH(N_p/N_c) \quad (3.11)$$



รูป 3.6 (a) โครงสร้างการไหลเข้าที่ขุดเจาะในชั้นหินกักน้ำ

(b) โครงสร้างการไหลเข้าที่ขุดเจาะในชั้นหินหรือทำนบกั้น



โดยที่ N_p คือ จำนวนของท่อการไหล N_c คือ จำนวนของหัวความดันตกที่เท่ากันในตาราง และ H คือหัวความดันแตกต่างทั้งหมดตลอดระบบ ตารางนี้จะดีต่อการประมาณค่าของอัตราส่วนของ N_p/N_c

ในเขตความลาดเอียงหัวความดันสูง (high head gradient) และสืบเนื่องจากความเร็วการไหลสูง (ที่ปลายเส้น และหัวของฐานเขื่อนในรูป 3.6 (a)) พัดน้ำวัสดุออกจากได้ฐานเขื่อน อาจจะเป็นปัญหาทำให้เกิดความไม่เสถียรภาพ และทำให้อาคารพังลงได้ ความลาดเอียงชลศาสตร์วิกฤต (the critical hydraulic gradient) i_c เป็นสาเหตุให้เกิดภาวะทรายเคือด

เอกสารนี้เป็นเอกสารที่สงวนไว้สำหรับการใช้งานเพื่อการศึกษาเท่านั้น ไม่อนุญาตให้นำไปใช้ประโยชน์ด้านการค้า ไม่ว่ากรณีใดๆทั้งสิ้น อีกทั้งห้ามมิให้ตัดแปลงเนื้อหา และต้องอ้างอิงถึงเจ้าของเอกสารทุกครั้งที่มีการนำไปใช้

(quick sand) คือ

1

$$i_c = (S-1)/(1+n) \tag{3.12}$$

โดย S เป็นความโน้มถ่วงจำเพาะของดิน (the soil specific gravity)

และ n คือช่องว่างของดิน



เอกสารนี้เป็นเอกสารที่สงวนไว้สำหรับการใช้งานเพื่อการศึกษาเท่านั้น ไม่อนุญาตให้นำไปใช้ประโยชน์ด้านการค้า
ไม่ว่ากรณีใดๆทั้งสิ้น อีกทั้งห้ามมิให้ดัดแปลงเนื้อหา และต้องอ้างอิงถึงเจ้าของเอกสารทุกครั้งที่มีการนำไปใช้

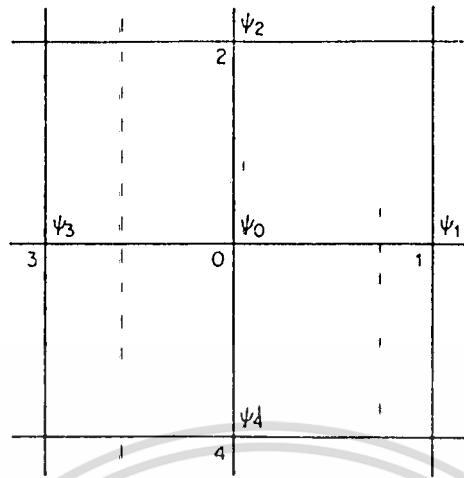
3.5 ผลลัพธ์ทางตัวเลขของปัญหาการซึมซาบ

(Numerical Solution of seepage problems)

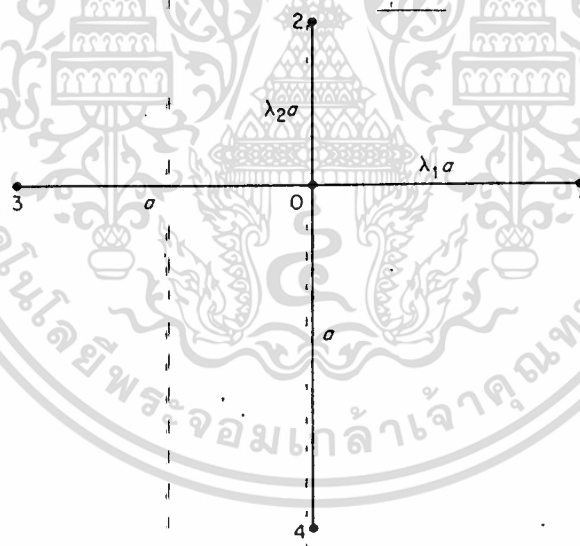
ในการที่จะประเมินรายละเอียดการไหลซึมซาบไม่มากนัก วิธีตัวเลขของผลลัพธ์สมการ Laplace จะใช้วิธี Calculus of finite differences เป็นพื้นฐานการใช้

การทำผลลัพธ์ที่ได้ผลคือ การสมมติโครงข่ายของเส้น ϕ หรือ ψ และปรับค่าเพื่อให้สมการ Laplace's และภาวะขอบเขตที่เหมาะสม (the appropriate boundary condition) เข้ากันได้ถ้าตารางสี่เหลี่ยมมาซ้อนทับบนพื้นที่การไหลและค่าของ ϕ ใช้กับจุดตัดบัพ (nodes) ของรูป 3.7 ค่าเหล่านี้สามารถแก้ไขอย่างต่อเนื่อง โดยสมมติว่าค่าของ ϕ ที่ศูนย์กลางบัพ (Central node) O คือค่าเฉลี่ยของค่า รอบ ๆ สี่บัพ

$$w = (1/4)(w_1 + w_2 + w_3 + w_4) \quad (3.13)$$



รูป 3.7 ตารางสี่เหลี่ยมกับการคำนวณโดยระเบียบวิธีผ่อนปรน (relaxation method)

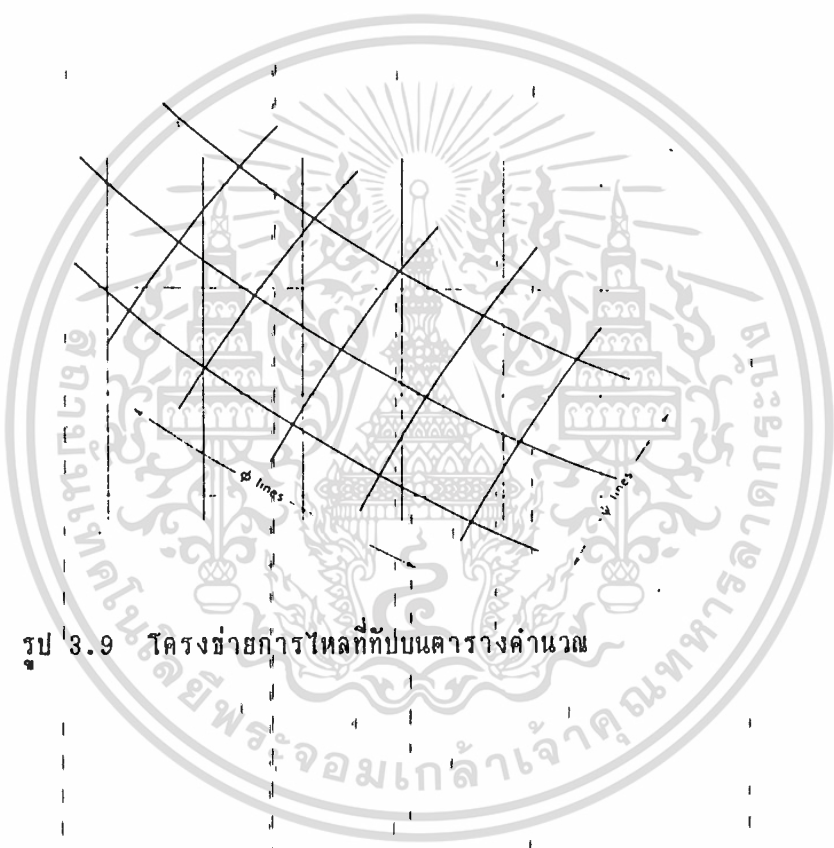


รูป 3.8 ตารางสี่เหลี่ยมกับแกนไม่เท่ากัน (Mesh with unequal arms)

บัพมีระยะทางไกลกับจุดบัพศูนย์กลาง 0 จะมีอิทธิพลต่อค่าที่มีระยะทางไกลกว่า ดังตัวอย่างของรูป 3.8 โดยมีแกนสองอันไม่เท่ากัน

$$w = (w_1/x_1 + w_2/x_2 + w_3 + w_4) / (1/x_1 + 1/x_2 + 2) \quad (3.14)$$

เมื่อทบทวนการผ่อนปรนให้เสร็จสมบูรณ์ w เส้นโค้งที่ จะสเก็ตซ์ เป็นกริดบนกริดในผลิตภัณฑ์โครงข่ายการไหลจะทำให้สมบูรณ์ โดยบวกเส้นหัวความดีตั้งจากตั้งในรูป 3.9 การประเมินค่า ลัตราการไหลแรง และความลาดเอียงหัวความดีสามารถทำได้ต่อเนื่องถึงได้อธิบายมาในตอนก่อน ๆ



รูป 3.9 โครงข่ายการไหลที่ทับบนตารางคำนวณ

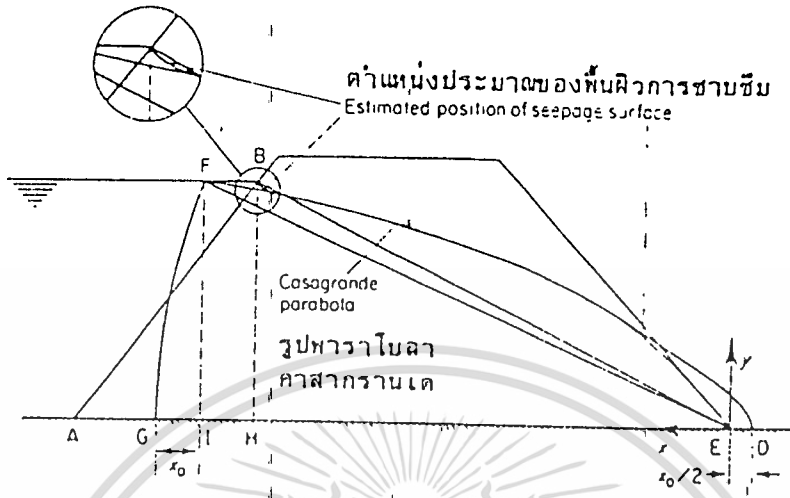
CASAGRANDE: พื้นผิวการซึบซึมในเขื่อนดิน

การก่อสร้างของท้ายการไหลเพื่อประมาณ การไหลซึมซาบผ่านเขื่อนดินที่ซึบได้ค่อนข้างจะยุ่งยาก โดยความจริงที่ว่า ขอบเขตเส้นการไหลจากพื้นผิวน้ำอิสระไปสู่ด้านท้ายน้ำของเขื่อน (เส้นของการอิ่มตัว the 'line of saturation or phreatic line') ไม่สามารถหาตำแหน่งที่แน่นอนได้ก่อนการก่อสร้างท้ายการไหล เพื่อที่จะทำปัญหาดังกล่าวนี้ให้ง่ายขึ้น Casagrande ได้เสนอวิธีที่หาตำแหน่งตรงกลางของเส้นการไหลให้สามารถมีตำแหน่งที่เชื่อถือได้ โดยทั้งจุดสูงสุดเพื่อประมาณออกมา

วิธีที่เกี่ยวข้อง ในการสร้างพลาโบลากับโดยเจาะจงที่ปลายเขื่อน E ในรูป 3.11 ของสมการ

$$x = (y^2 - x_0^2) / 2x_0 \quad (3.15)$$

โดย x_0 พบโดยแกว่งศูนย์กลางของอาร์ค E ผ่าน F เพื่อหา AE ที่ G และวัด AE ถึง I แนวตั้งต่ำกว่า F พลาโบล่าผ่านจุด D ที่ระยะ $x_0/2$ จาก E และผ่าน F ซึ่งเป็น 0.3 เท่าของระยะ AH จาก B โปรแกรมข้างล่างวิเคราะห์จุดวิกฤตในพลาโบล่า (โดยขึ้นอยู่กับแกนที่แสดงในรูป) ดังนั้นจะสามารถสเก็ตซ์เส้นขอบเขตการไหลดังที่เห็น

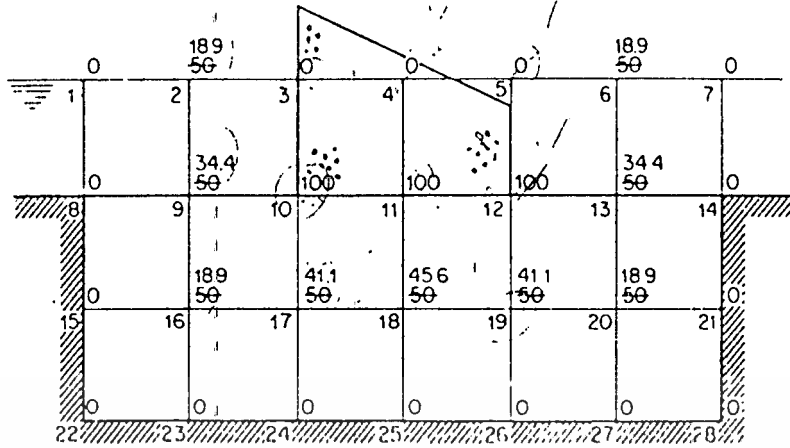


รูปที่ 3.10 พลาโบลาคาสากรานเดของพื้นผิวการซึมซาบ

MESHRELA : การผ่อนปรนของตารางสี่เหลี่ยม (relaxation of square mesh)

ในเขื่อนคอนกรีต เราต้องการหาการไหลซึมซาบได้ โดยใช้อาศัยการไหลจากวิธีการผ่อนปรนของตารางและสมมติค่าฟังก์ชันน้ำ (stream-function) เขื่อนจะสร้างบนดินที่ซึมได้ ซึ่งบรรจุอยู่ภายในหินที่ซึมไม่ได้ ดังแสดงในรูป 3.11 มีหัวความดันของข้างหลังเขื่อน 10 ม. โดยเขื่อนมีความกว้าง 20 ม. ที่ฐาน ทรายตรงนี้มีขนาดด้านสี่เหลี่ยมจัตุรัส 10 ม. ขั้นตอนแรกในการสร้างข่ายการไหลคือ กำหนดว่าเฉพาะของจุดบัพของทรายตรง ค่าเหล่านี้จะคงที่ที่หิน/ดิน เจริญกัน (และกำหนดให้เท่ากับ 0) และกำหนดให้เท่ากับ 100 ที่จุดเขื่อน เจริญกับดิน ค่าขอบเขตคงที่แทนขอบเขตเส้นการไหลของการไหลบัพที่ไหลจะกำหนดค่าแต่ละค่า เพื่อความสะดวกให้ตั้งที่ 50 เพื่อที่หินและน้ำที่เจอค่าบัพ (9 และ 13) สามารถผ่อนปรนให้เป็นประโยชน์เพื่อ "ค่าหุน" บัพ 2 และ 6

เอกสารนี้เป็นเอกสารที่สงวนไว้สำหรับการใช้งานเพื่อการศึกษาเท่านั้น ไม่อนุญาตให้นำไปใช้ประโยชน์ด้านการค้าไม่ว่ากรณีใดๆทั้งสิ้น อีกทั้งห้ามมิให้คัดลอกเนื้อหา และต้องอ้างอิงถึงเจ้าของเอกสารทุกครั้งที่มีการนำไปใช้



รูปที่ 3.11 การผ่อนปรนและแรงเพื่อหาการซึมซาบภายใต้เขื่อนคอนกรีต

ซึ่งมีค่าบัพเหมือนกับบัพ 16 และ 20 โดยตรง จะต่ำกว่า 9 และ 13

วิธีการต่อไปนี้จะ เป็นระบบโดยปรับค่าบัพภายในโดยใช้สมการ 3.13 โดยแกน
 ตารางทั้งหมดจะเท่ากัน โปรแกรมในบทนี้ใช้ในการปรับค่าบัพจนกระทั่งสมการ 3.13
 ได้ค่าที่พอใจ

INTERPOLN: การประมาณตำแหน่งเส้นทางการไหล

(estimation of streamline positions)

ในตัวอย่างที่แล้วมาของวิธีผ่อนปรนตระแกรง (mesh relaxation)

ให้ค่าบีพของฟังก์ชันลำน้ำ (stream function) จนเป็นที่พอใจของสมการ

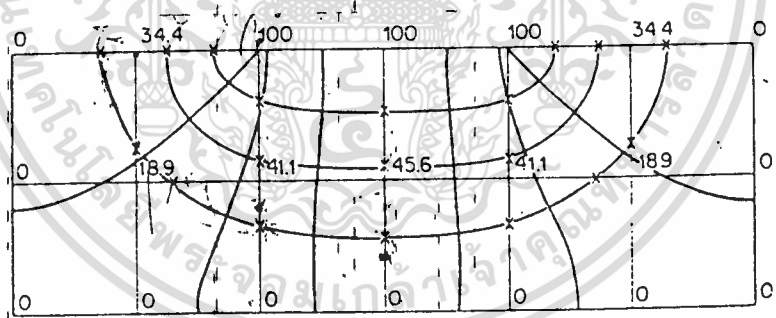
(3.13) ค่าผ่อนผันตระแกรงจะแสดงอยู่ในรูป 6.13 เพื่อที่จะทำการสร้างซ้ำ

การไหลในการหาค่า (ดังตัวอย่าง) ปริมาณของการไหลซึมเข้า ดังนั้นจึงจำเป็น

ที่จะเริ่มตีเพลดคိုင်เส้นทางการไหลบนตระแกรงผ่อนปรน โปรแกรมต่อไปจะรับจุด

ตัดของเส้นการไหลของค่าที่เลือกด้วยเส้นตระแกรงจากซ้ำการไหล โดยจะ

สร้างตั้งท่ออธิบายในบันทึกโปรแกรม



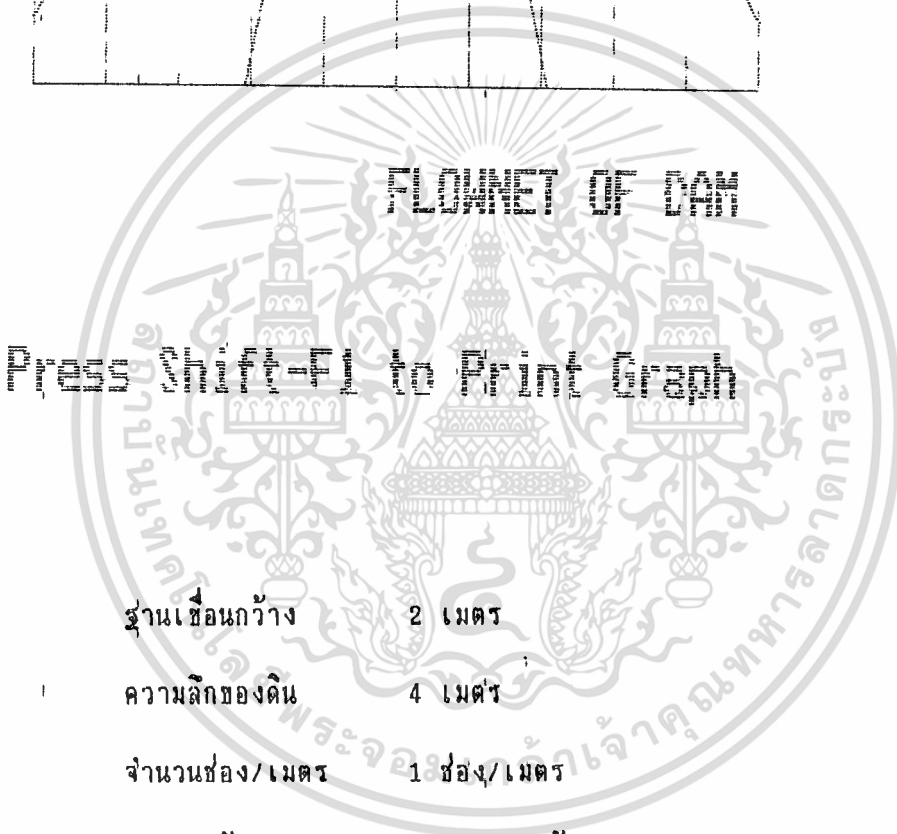
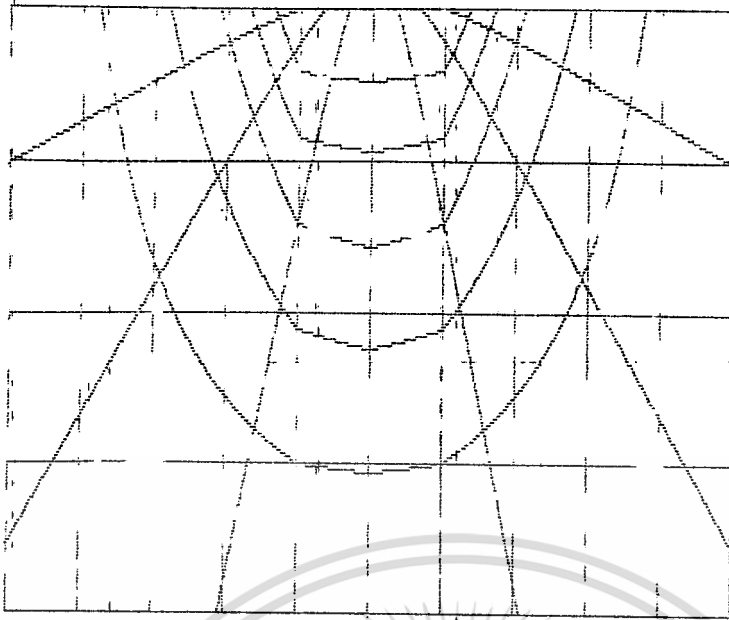
รูป 3.13 ซ้ำการไหลที่สมบูรณ์สำหรับการข้ามซึมภายใต้เงื่อนไขคอนกรีต

บทที่ 4

วิเคราะห์และสรุป

ในบทนี้เราจะวิเคราะห์จากตัวอย่าง โดยให้แสดงผลเป็นกราฟ ตัวอย่างที่เรานำมาใช้ได้แก่

1. ฐานเขื่อนกว้าง 2 เมตร ความลึกของดิน 4 เมตร
2. ฐานเขื่อนกว้าง 2 เมตร ความลึกของดิน 6 เมตร
3. ฐานเขื่อนกว้าง 2 เมตร ความลึกของดิน 8 เมตร
4. ฐานเขื่อนกว้าง 3 เมตร ความลึกของดิน 5 เมตร
5. ฐานเขื่อนกว้าง 3 เมตร ความลึกของดิน 7 เมตร
6. ฐานเขื่อนกว้าง 3 เมตร ความลึกของดิน 9 เมตร
7. เข็มจมลงดิน 2 เมตร ความลึกของดิน 5 เมตร
8. เข็มจมลงดิน 2 เมตร ความลึกของดิน 7 เมตร
9. เข็มจมลงดิน 2 เมตร ความลึกของดิน 9 เมตร



ฐานเขื่อนกว้าง 2 เมตร

ความลึกของดิน 4 เมตร

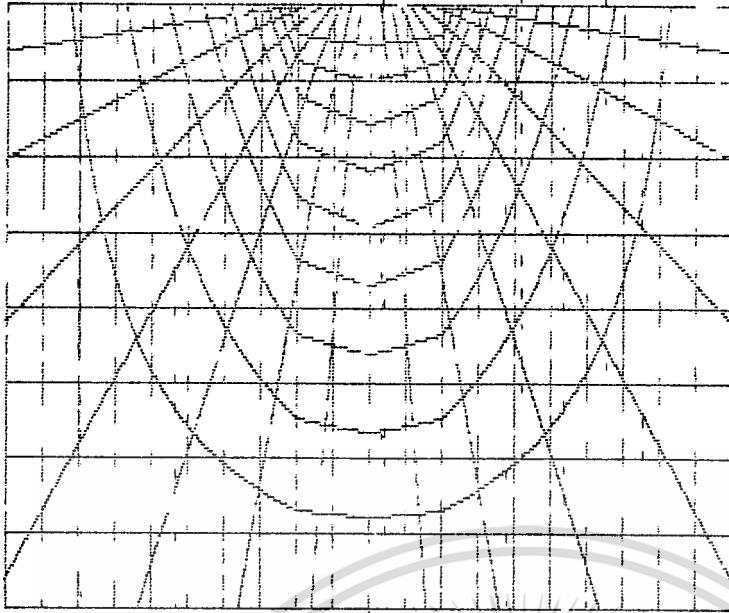
จำนวนช่อง/เมตร 1 ช่อง/เมตร

จำนวนเส้น FLOW-LINE(N_f) 6 เส้น

จำนวนเส้น EQUIPOTENTIAL-LINE(N_d) 8 เส้น

อัตราส่วน $N_f/N_d = 0.75$

เอกสารนี้เป็นเอกสารที่สงวนไว้สำหรับการใช้งานเพื่อการศึกษาเท่านั้น ไม่อนุญาตให้นำไปใช้ประโยชน์ด้านการค้า
ไม่ว่ากรณีใดๆทั้งสิ้น อีกทั้งห้ามมิให้ดัดแปลงเนื้อหา และต้องอ้างอิงถึงเจ้าของเอกสารทุกครั้งที่มีการนำไปใช้



พิกัด

ฐานเขื่อนกว้าง 2 เมตร

ความลึกของดิน 4 เมตร

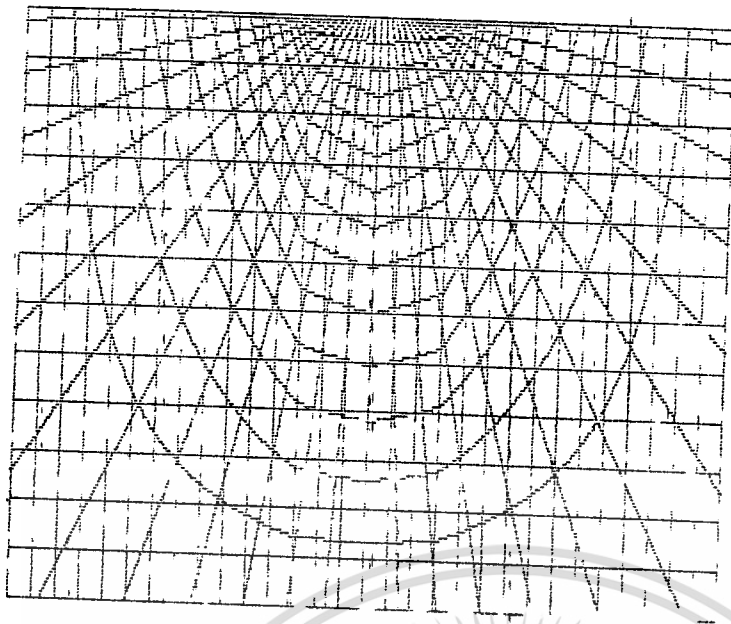
จำนวนช่อง/เมตร 2 ช่อง/เมตร

จำนวนเส้น FLOW-LINE (N_f) 10 เส้น

จำนวนเส้น EQUIPOTENTIAL-LINE (N_e) 16 เส้น

อัตราส่วน $N_f/N_e = 0.625$

เอกสารนี้เป็นเอกสารที่สงวนไว้สำหรับการใช้งานเพื่อการศึกษาเท่านั้น ไม่อนุญาตให้นำไปใช้ประโยชน์ด้านการค้า
ไม่ว่ากรณีใดๆทั้งสิ้น อีกทั้งห้ามมิให้ตัดแปลงเนื้อหา และต้องอ้างอิงถึงเจ้าของเอกสารทุกครั้งที่มีการนำไปใช้



ขนาด

ขนาด

ขนาดช่องกว้าง 2 เมตร

ความลึกของดิน 4 เมตร

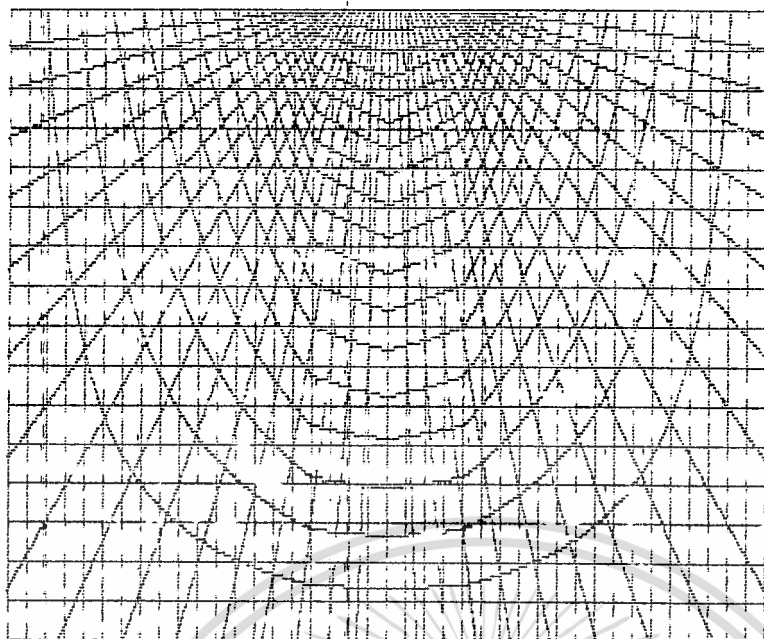
จำนวนช่อง/เมตร 3 ช่อง/เมตร

จำนวนเส้น FLOW-LINE (N_f) 14 เส้น

จำนวนเส้น EQUIPOTENTIAL-LINE (N_d) 26 เส้น

อัตราส่วน $N_f/N_d = 0.54$

เอกสารนี้เป็นเอกสารที่สงวนไว้สำหรับการใช้งานเพื่อการศึกษาเท่านั้น ไม่อนุญาตให้นำไปใช้ประโยชน์ด้านการค้า
ไม่ว่ากรณีใดๆทั้งสิ้น อีกทั้งห้ามมิให้ตัดแปลงเนื้อหา และต้องอ้างอิงถึงเจ้าของเอกสารทุกครั้งที่มีการนำไปใช้



รูปที่ ๒๒

ฐานเขื่อนกว้าง 2 เมตร

ความลึกของดิน 4 เมตร

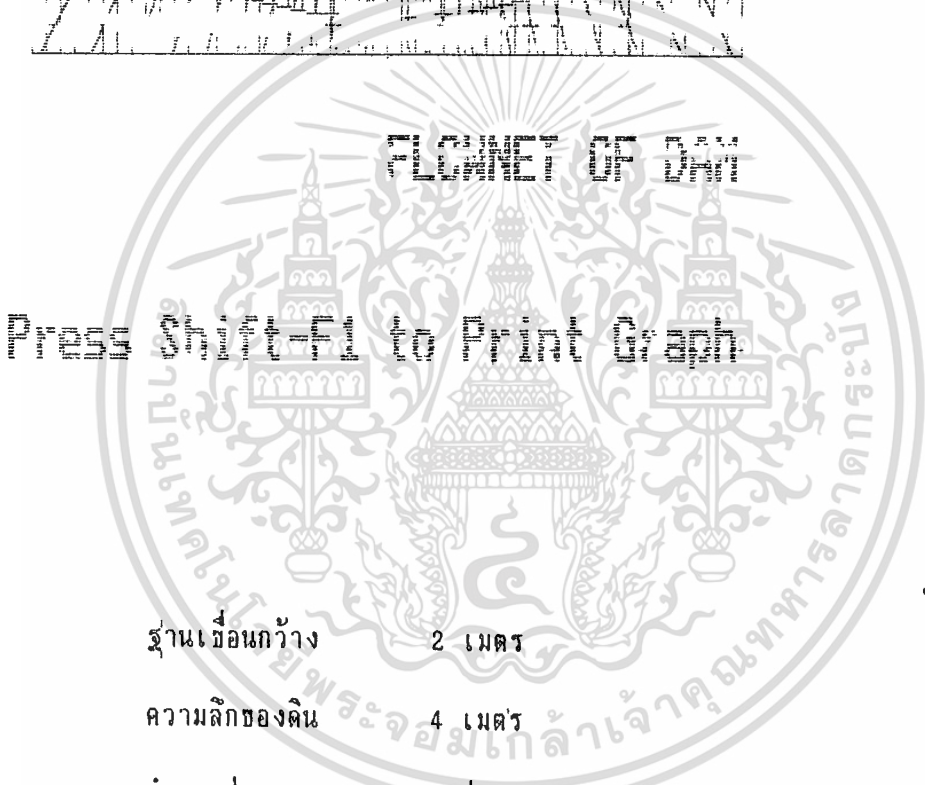
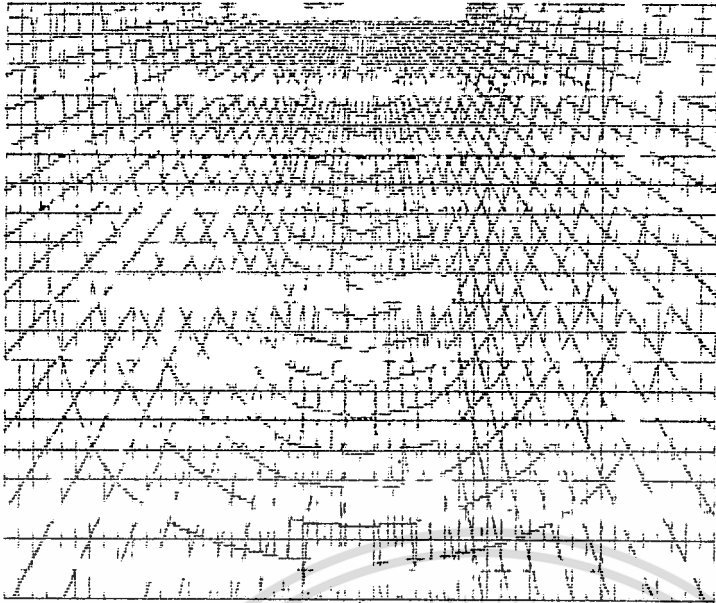
จำนวนช่อง/เมตร 4 ช่อง/เมตร

จำนวนเส้น FLOW-LINE (N_f) 18 เส้น

จำนวนเส้น EQUIPOTENTIAL-LINE (N_e) 34 เส้น

อัตราส่วน $N_f/N_e = 0.529$

เอกสารนี้เป็นเอกสารที่สงวนไว้สำหรับการใช้งานเพื่อการศึกษาเท่านั้น ไม่อนุญาตให้นำไปใช้ประโยชน์ด้านการค้า
ไม่ว่ากรณีใดๆทั้งสิ้น อีกทั้งห้ามมิให้ตัดแปลงเนื้อหา และต้องอ้างอิงถึงเจ้าของเอกสารทุกครั้งที่มีการนำไปใช้



ฐานเขื่อนกว้าง 2 เมตร

ความลึกของดิน 4 เมตร

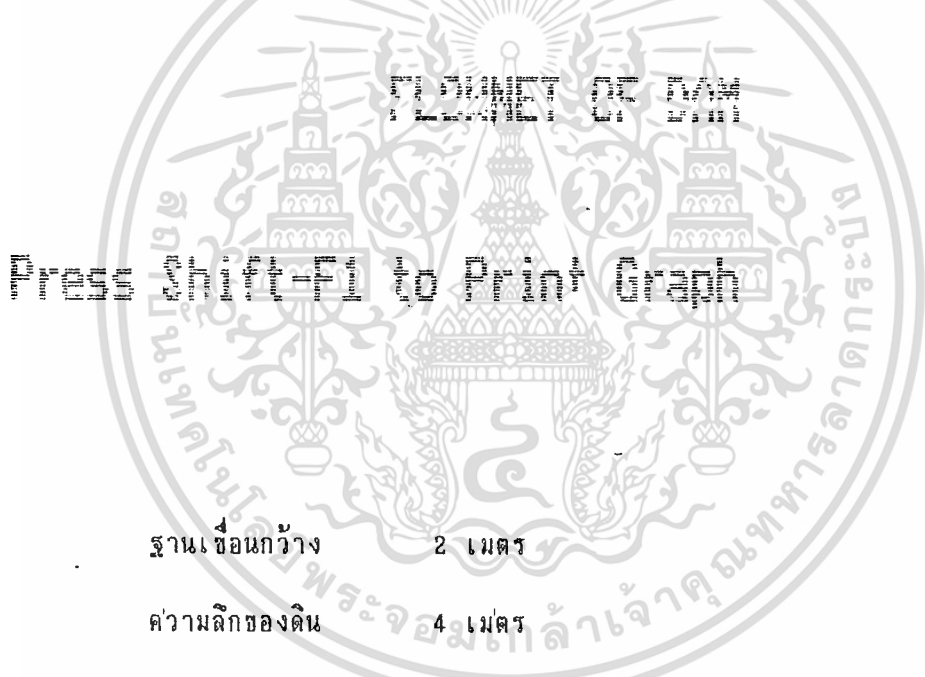
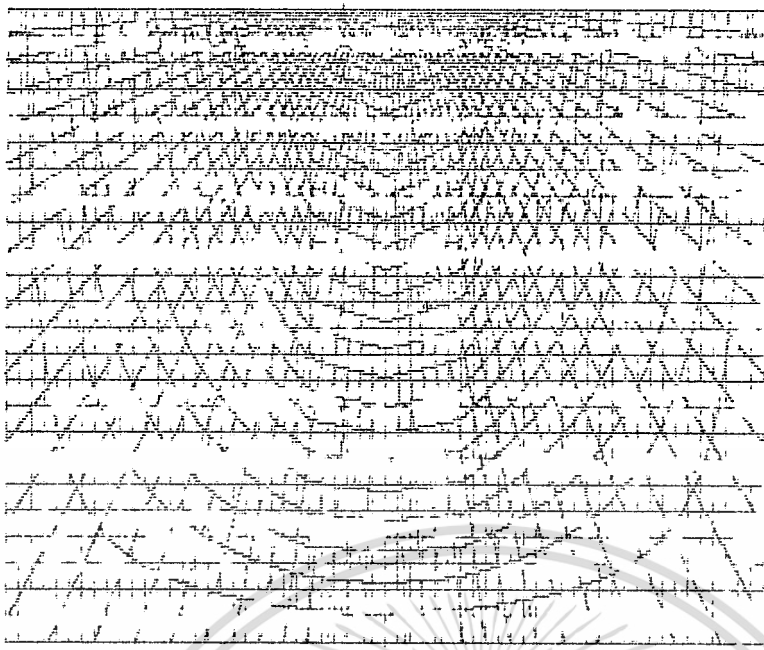
จำนวนช่อง/เมตร 5 ช่อง/เมตร

จำนวนเส้น FLOW-LINE(N_f) 22 เส้น

จำนวนเส้น EQUIPOTENTIAL-LINE(N_d) 48 เส้น

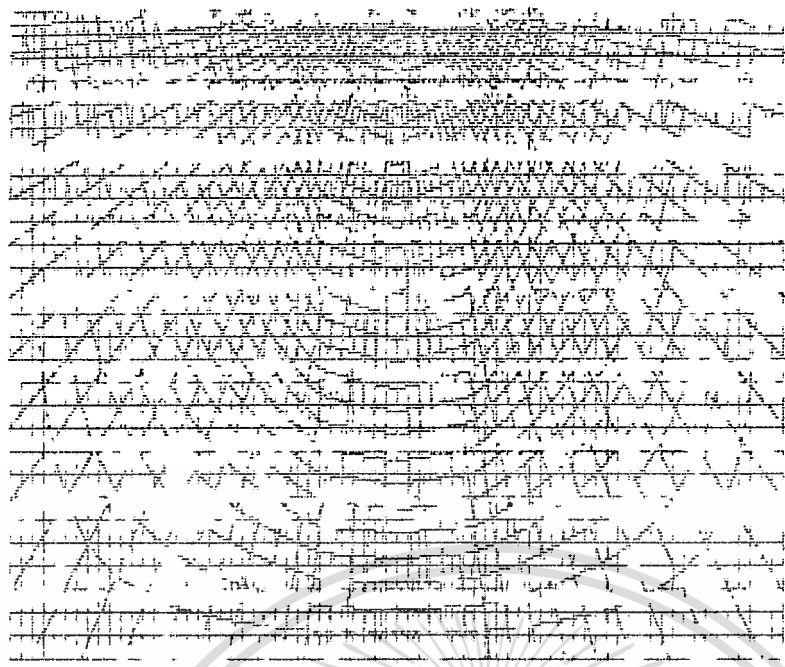
$$\text{อัตราส่วน } N_f/N_d = 0.46$$

เอกสารนี้เป็นเอกสารที่สงวนไว้สำหรับการใช้งานเพื่อการศึกษาเท่านั้น ไม่อนุญาตให้นำไปใช้ประโยชน์ด้านการค้า
 ไม่ว่ากรณีใดๆทั้งสิ้น อีกทั้งห้ามมิให้ตัดแปลงเนื้อหา และต้องอ้างอิงถึงเจ้าของเอกสารทุกครั้งที่มีการนำไปใช้



- ฐานเขื่อนกว้าง 2 เมตร
- ความลึกของดิน 4 เมตร
- จำนวนช่อง/เมตร 6 ช่อง/เมตร
- จำนวนเส้น FLOW-LINE(N_f) 26 เส้น
- จำนวนเส้น EQUIPOTENTIAL-LINE(N_d) 50 เส้น
- อัตราส่วน $N_f/N_d = 0.52$

เอกสารนี้เป็นเอกสารที่สงวนไว้สำหรับการใช้งานเพื่อการศึกษาเท่านั้น ไม่อนุญาตให้นำไปใช้ประโยชน์ด้านการค้า
ไม่ว่ากรณีใดๆทั้งสิ้น อีกทั้งห้ามมิให้ดัดแปลงเนื้อหา และต้องอ้างอิงถึงเจ้าของเอกสารทุกครั้งที่มีการนำไปใช้



รูปที่ ๒๒

ฐานเขื่อนกว้าง 2 เมตร

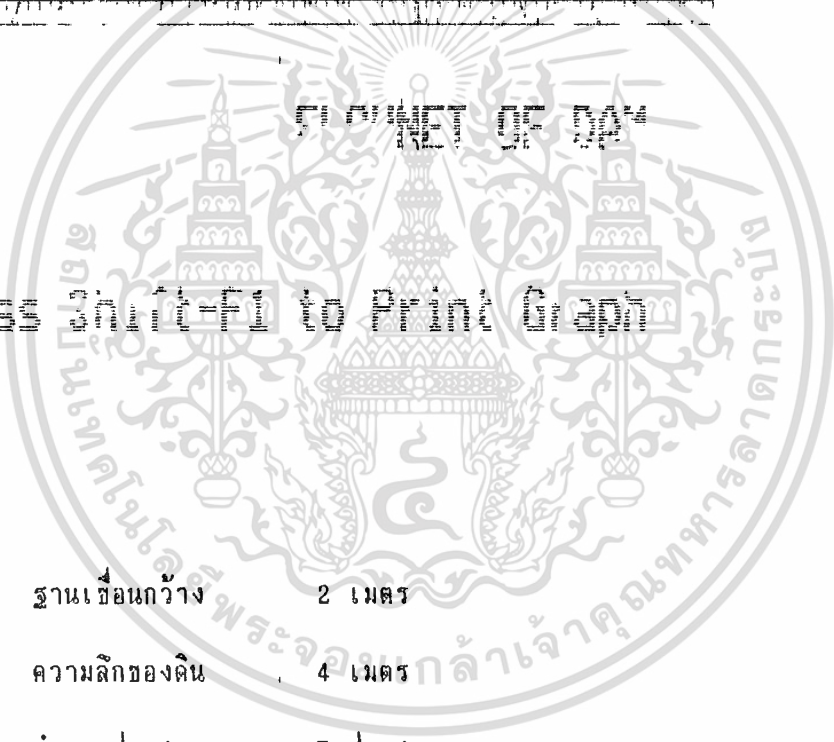
ความลึกของดิน 4 เมตร

จำนวนช่อง/เมตร 7 ช่อง/เมตร

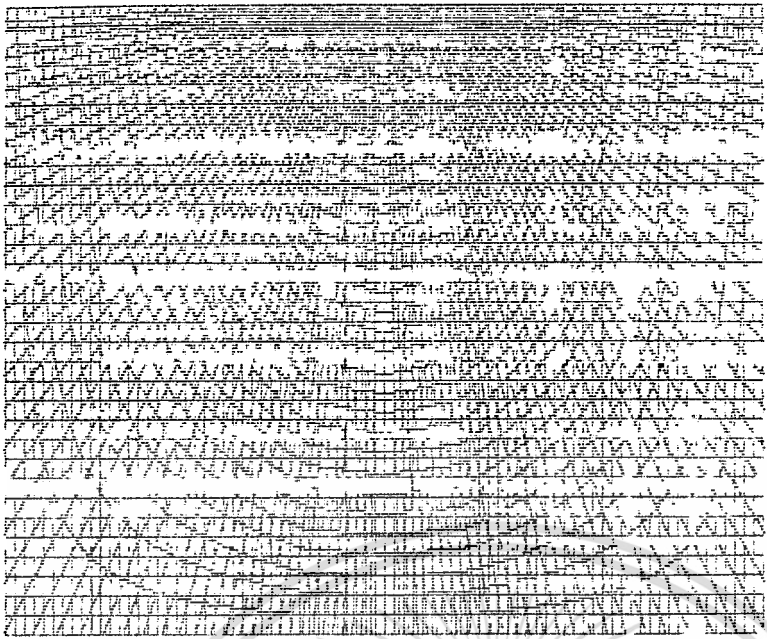
จำนวนเส้น FLOW-LINE(N_f) 30 เส้น

จำนวนเส้น EQUIPOTENTIAL-LINE(N_p) 52 เส้น

อัตราส่วน $N_f/N_p = 0.58$



เอกสารนี้เป็นเอกสารที่สงวนไว้สำหรับการใช้งานเพื่อการศึกษาเท่านั้น ไม่อนุญาตให้นำไปใช้ประโยชน์ด้านการค้า
ไม่ว่ากรณีใดๆทั้งสิ้น อีกทั้งห้ามมิให้ตัดแปลงเนื้อหา และต้องอ้างอิงถึงเจ้าของเอกสารทุกครั้งที่มีการนำไปใช้



ฐานเขื่อนกว้าง 2 เมตร

ความลึกของดิน 4 เมตร

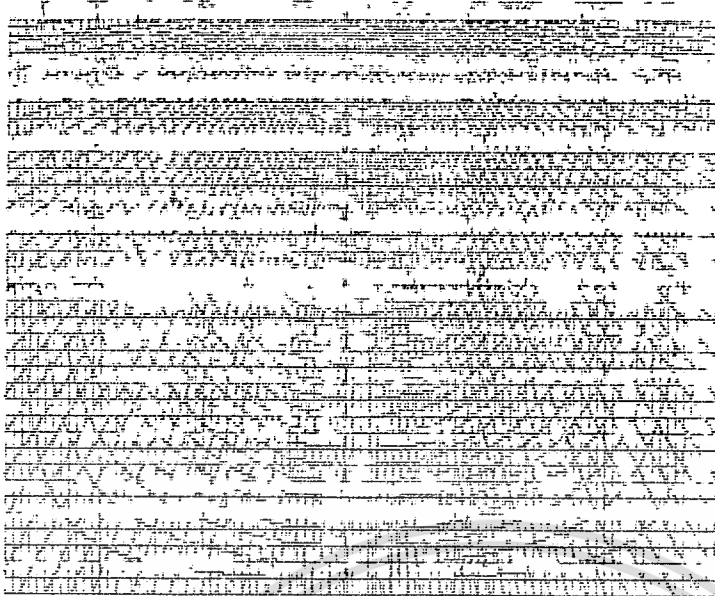
จำนวนช่อง/เมตร 8 ช่อง/เมตร

จำนวนเส้น FLOW-LINE(N_f) 34 เส้น

จำนวนเส้น EQUIPOTENTIAL-LINE(N_d) 98 เส้น

อัตราส่วน $N_f/N_d = 0.35$

เอกสารนี้เป็นเอกสารที่สงวนไว้สำหรับการใช้งานเพื่อการศึกษาเท่านั้น ไม่อนุญาตให้นำไปใช้ประโยชน์ด้านการค้า
ไม่ว่ากรณีใดๆทั้งสิ้น อีกทั้งห้ามมิให้ตัดแปลงเนื้อหา และต้องอ้างอิงถึงเจ้าของเอกสารทุกครั้งที่มีการนำไปใช้



๓๖๖

ฐานเขื่อนกว้าง 2 เมตร

ความลึกของดิน 4 เมตร

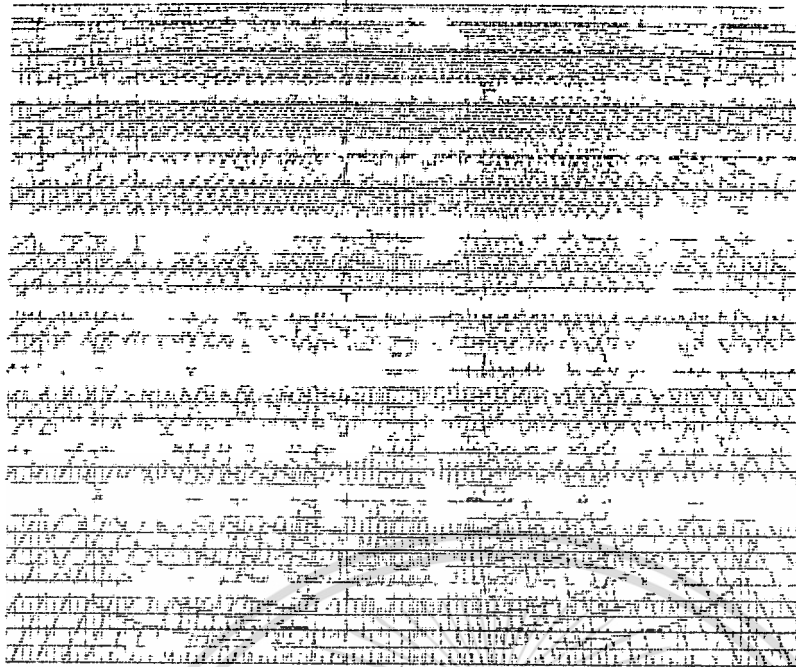
จำนวนช่อง/เมตร 9 ช่อง/เมตร

จำนวนเส้น FLOW-LINE(N_f) 38 เส้น

จำนวนเส้น EQUIPOTENTIAL-LINE(N_e) 92 เส้น

อัตราส่วน $N_f/N_e = 0.41$

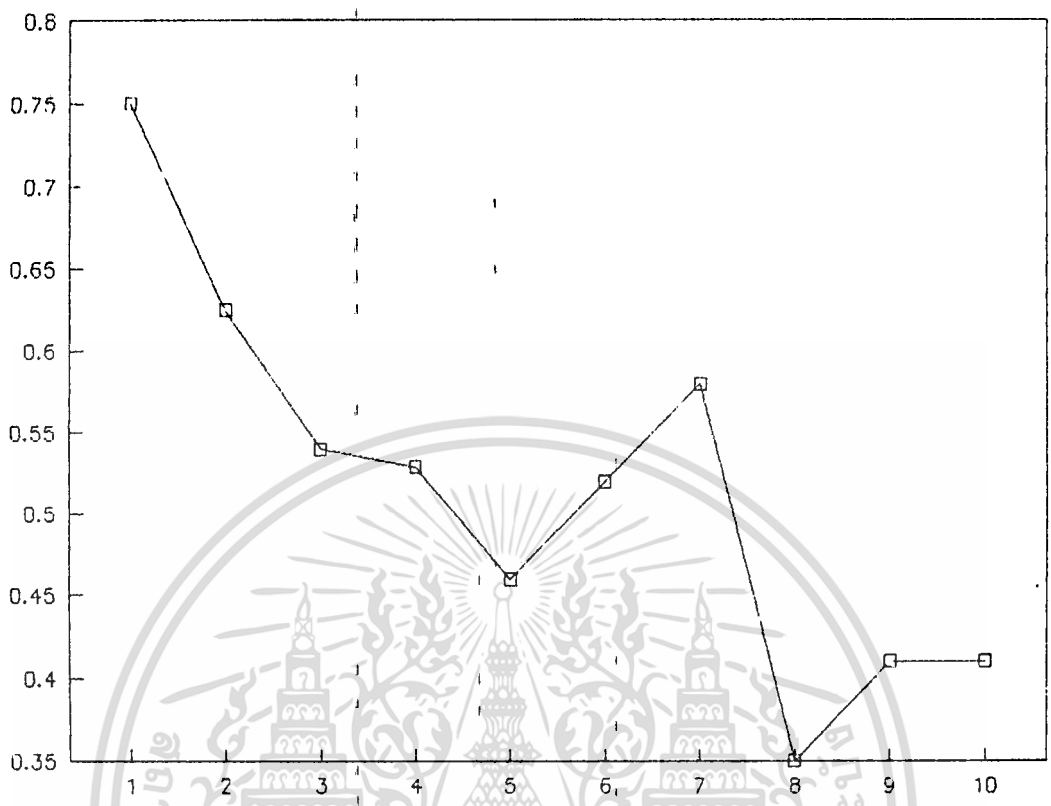
เอกสารนี้เป็นเอกสารที่สงวนไว้สำหรับการใช้งานเพื่อการศึกษาเท่านั้น ไม่อนุญาตให้นำไปใช้ประโยชน์ด้านการค้า
ไม่ว่ากรณีใดๆทั้งสิ้น อีกทั้งห้ามมิให้ตัดแปลงเนื้อหา และต้องอ้างอิงถึงเจ้าของเอกสารทุกครั้งที่มีการนำไปใช้



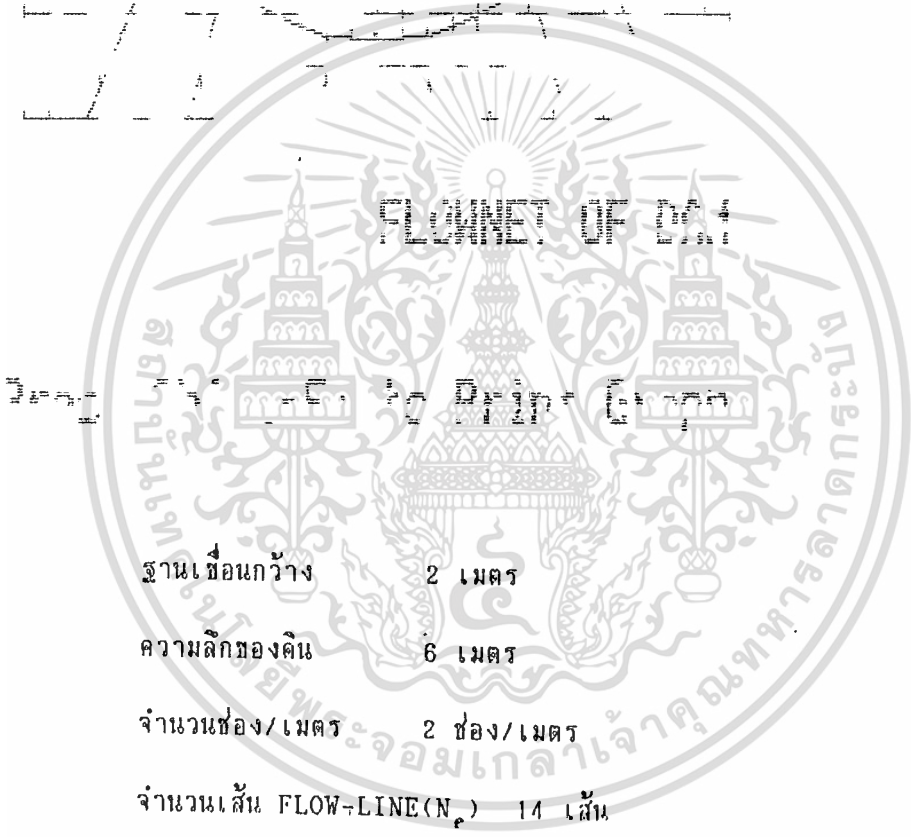
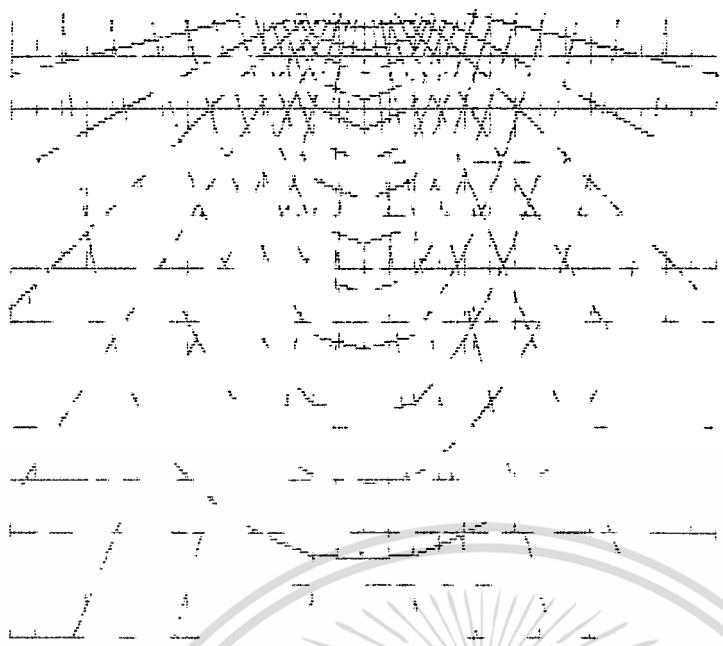
๗๗๗

ฐานเขื่อนกว้าง 2 เมตร
ความลึกของดิน 4 เมตร
จำนวนช่อง/เมตร 10 ช่อง/เมตร
จำนวนเส้น FLOW-LINE(N_f) 42 เส้น
จำนวนเส้น EQUIPOTENTIAL-LINE(N_d) 102 เส้น
อัตราส่วน $N_f/N_d = 0.41$

เอกสารนี้เป็นเอกสารที่สงวนไว้สำหรับการใช้งานเพื่อการศึกษาเท่านั้น ไม่อนุญาตให้นำไปใช้ประโยชน์ด้านการค้า
ไม่ว่ากรณีใดๆทั้งสิ้น อีกทั้งห้ามมิให้ตัดแปลงเนื้อหา และต้องอ้างอิงถึงเจ้าของเอกสารทุกครั้งที่มีการนำไปใช้



กราฟรูปความสัมพันธ์ของจำนวนช่อง/เมตร กับ อัตราส่วนของ FLOW-LINE (N_f) กับ EQUIPOTENTIAL LINE (N_e) กรณีฐานเขื่อนกว้าง 2 เมตร ความลึกของดิน 4 เมตร



ฐานเขื่อนกว้าง 2 เมตร

ความลึกของคัน 6 เมตร

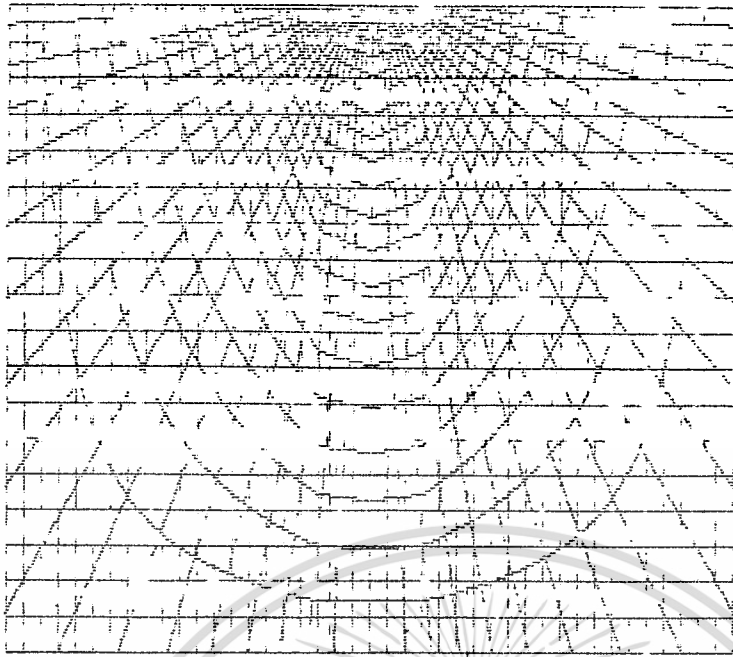
จำนวนช่อง/เมตร 2 ช่อง/เมตร

จำนวนเส้น FLOW-LINE(N_f) 14 เส้น

จำนวนเส้น EQUIPOTENTIAL-LINE(N_d) 18 เส้น

อัตราส่วน $N_f/N_d = 0.77$

เอกสารนี้เป็นเอกสารที่สงวนไว้สำหรับการใช้งานเพื่อการศึกษาเท่านั้น ไม่อนุญาตให้นำไปใช้ประโยชน์ด้านการค้า
ไม่ว่ากรณีใดๆทั้งสิ้น อีกทั้งห้ามมิให้ตัดแปลงเนื้อหา และต้องอ้างอิงถึงเจ้าของเอกสารทุกครั้งที่มีการนำไปใช้



รูปที่ 4

ฐานเขื่อนกว้าง 2 เมตร

ความลึกก่อกองดิน 6 เมตร

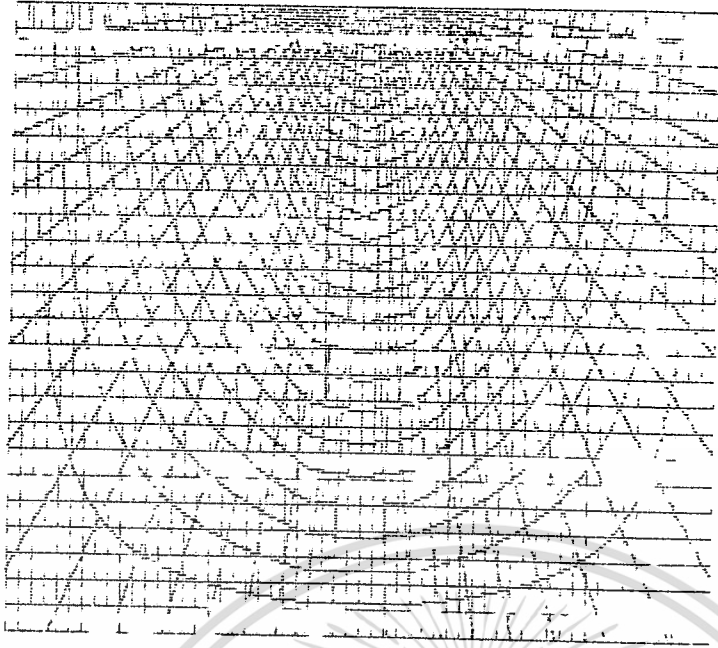
จำนวนช่อง/เมตร 3 ช่อง/เมตร

จำนวนเส้น FLOW-LINE(N_f) 20 เส้น

จำนวนเส้น EQUIPOTENTIAL-LINE(N_d) 36 เส้น

อัตราส่วน $N_f/N_d = 0.56$

เอกสารนี้เป็นเอกสารที่สงวนไว้สำหรับการใช้งานเพื่อการศึกษาเท่านั้น ไม่อนุญาตให้นำไปใช้ประโยชน์ด้านการค้า
ไม่ว่ากรณีใดๆทั้งสิ้น อีกทั้งห้ามมิให้ดัดแปลงเนื้อหา และต้องอ้างอิงถึงเจ้าของเอกสารทุกครั้งที่มีการนำไปใช้



รูปที่ ๒

ฐานเขื่อนกว้าง 2 เมตร

ความลึกของดิน 6 เมตร

จำนวนช่อง/เมตร 4 ช่อง/เมตร

จำนวนเส้น FLOW-LINE(N_f) 26 เส้น

จำนวนเส้น EQUIPOTENTIAL-LINE(N_e) 34 เส้น

อัตราส่วน $N_f/N_e = 0.76$

เอกสารนี้เป็นเอกสารที่สงวนไว้สำหรับการใช้งานเพื่อการศึกษาเท่านั้น ไม่อนุญาตให้นำไปใช้ประโยชน์ด้านการค้า
ไม่ว่ากรณีใดๆทั้งสิ้น อีกทั้งห้ามมิให้ดัดแปลงเนื้อหา และต้องอ้างอิงถึงเจ้าของเอกสารทุกครั้งที่มีการนำไปใช้

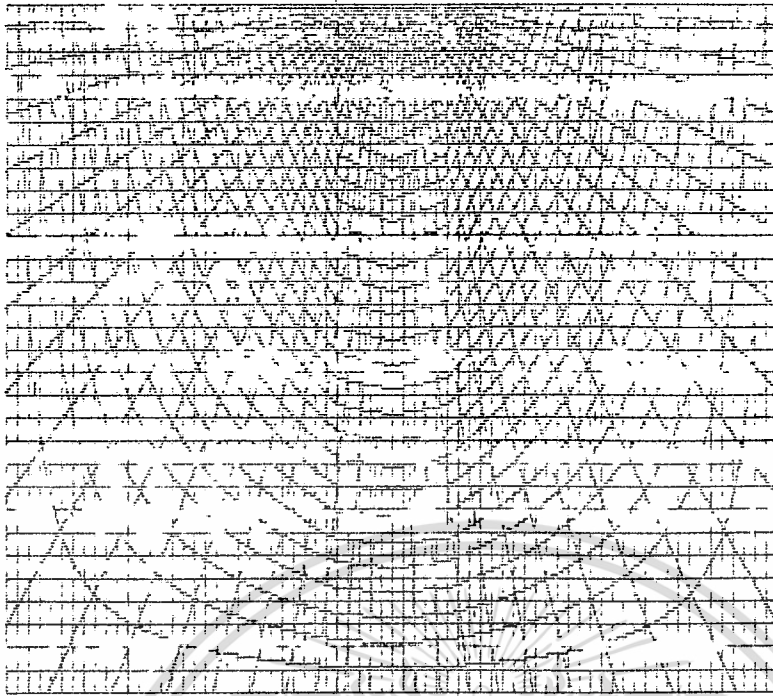
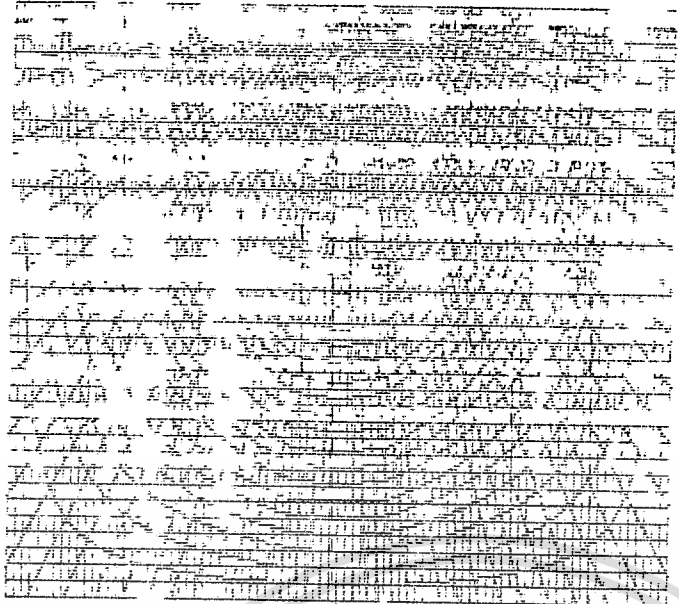


Table 1

ฐานเขื่อนกว้าง	2 เมตร
ความลึกของดิน	6 เมตร
จำนวนช่อง/เมตร	5 ช่อง/เมตร
จำนวนเส้น FLOW-LINE (N_f)	32 เส้น
จำนวนเส้น EQUIPOTENTIAL-LINE (N_d)	38 เส้น
อัตราส่วน N_f/N_d	= 0.84

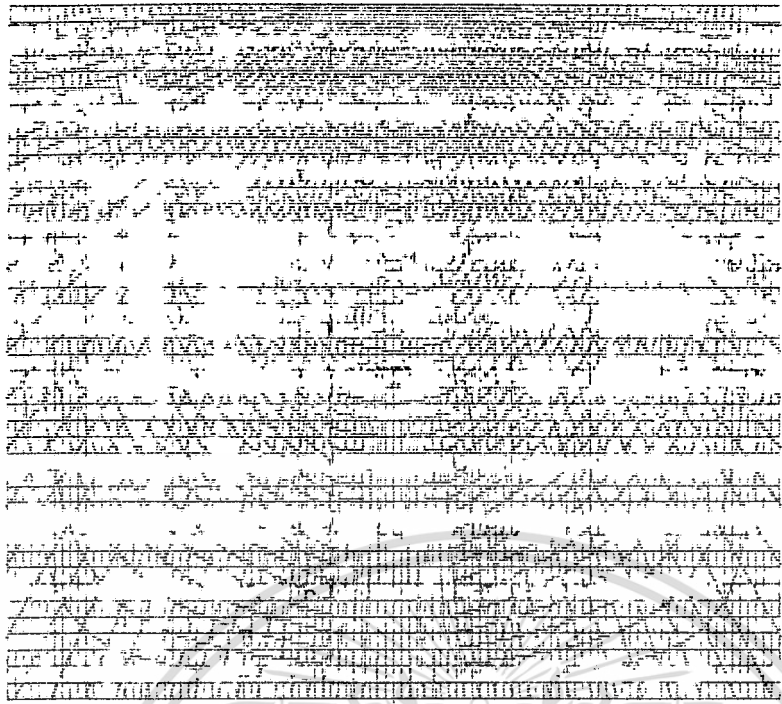
เอกสารนี้เป็นเอกสารที่สงวนไว้สำหรับการใช้งานเพื่อการศึกษาเท่านั้น ไม่อนุญาตให้นำไปใช้ประโยชน์ด้านการค้า
ไม่ว่ากรณีใดๆทั้งสิ้น อีกทั้งห้ามมิให้ดัดแปลงเนื้อหา และต้องอ้างอิงถึงเจ้าของเอกสารทุกครั้งที่มีการนำไปใช้



๓๓

- ฐานเขื่อนกว้าง 2 เมตร
- ความลึกของดิน 6 เมตร
- จำนวนช่อง/เมตร 6 ช่อง/เมตร
- จำนวนเส้น FLOW-LINE(N_f) 38 เส้น
- จำนวนเส้น EQUIPOTENTIAL-LINE(N_e) 62 เส้น
- อัตราส่วน $N_f/N_e = 0.62$

เอกสารนี้เป็นเอกสารที่สงวนไว้สำหรับการใช้งานเพื่อการศึกษาเท่านั้น ไม่อนุญาตให้นำไปใช้ประโยชน์ด้านการค้า
ไม่ว่ากรณีใดๆทั้งสิ้น อีกทั้งห้ามมิให้ตัดแปลงเนื้อหา และต้องอ้างอิงถึงเจ้าของเอกสารทุกครั้งที่มีการนำไปใช้



**PROPOSED
SPLITTING PLAN**

ฐานเขื่อนกว้าง 2 เมตร

ความลึกของดิน 6 เมตร

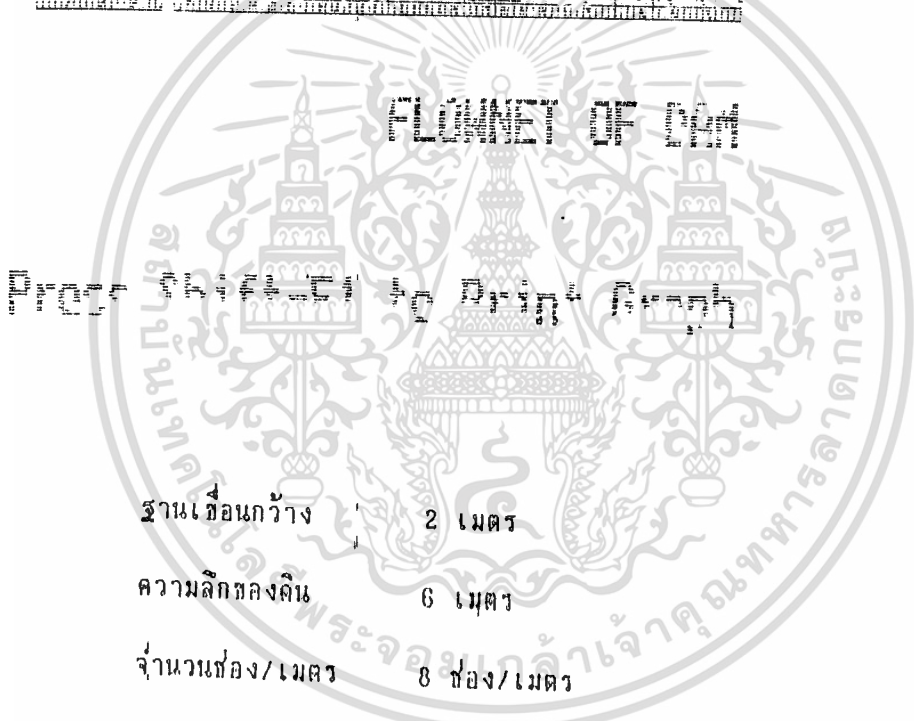
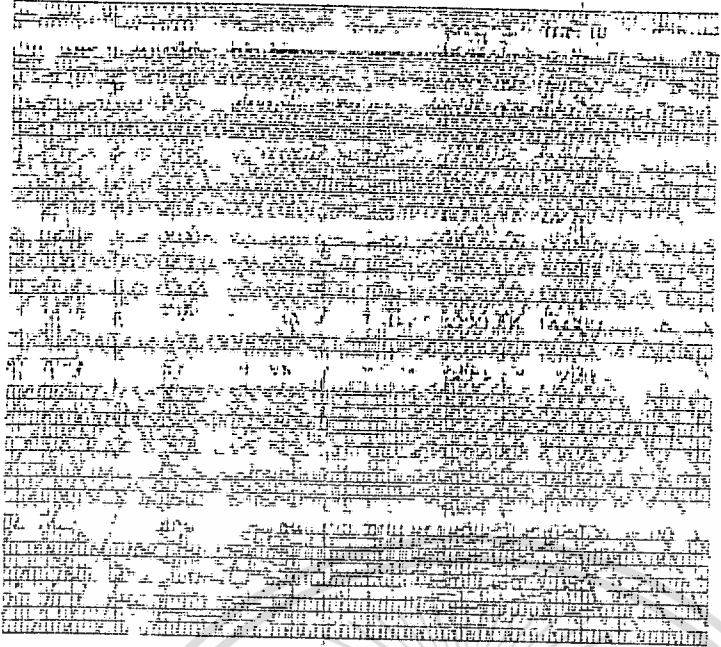
จำนวนช่อง/เมตร 7 ช่อง/เมตร

จำนวนเส้น FLOW-LINE(N_f) 44 เส้น

จำนวนเส้น EQUIPOTENTIAL-LINE(N_d) 72 เส้น

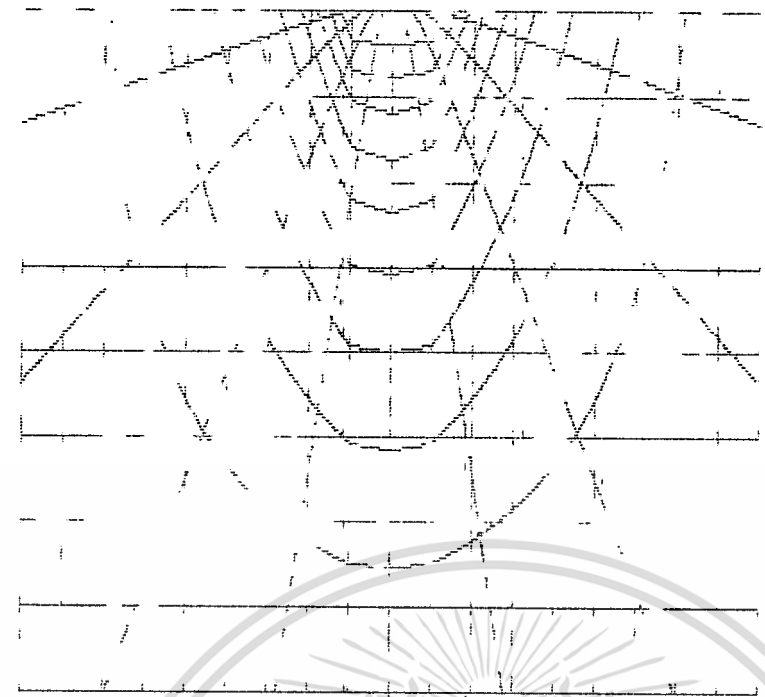
อัตราส่วน $N_f/N_d = 0.61$

เอกสารนี้เป็นเอกสารที่สงวนไว้สำหรับการใช้งานเพื่อการศึกษาเท่านั้น ไม่อนุญาตให้นำไปใช้ประโยชน์ด้านการค้า
ไม่ว่ากรณีใดๆทั้งสิ้น อีกทั้งห้ามมิให้ดัดแปลงเนื้อหา และต้องอ้างอิงถึงเจ้าของเอกสารทุกครั้งที่มีการนำไปใช้



จำนวนช่อง/เมตร 8 ช่อง/เมตร
 ความลึกของคาน 6 เมตร
 จำนวนเส้น FLOW-LINE(N_f) 50 เส้น
 จำนวนเส้น EQUIPOTENTIAL-LINE(N_d) 66 เส้น
 อัตราส่วน $N_f/N_d = 0.76$

เอกสารนี้เป็นเอกสารที่สงวนไว้สำหรับการใช้งานเพื่อการศึกษาเท่านั้น ไม่อนุญาตให้นำไปใช้ประโยชน์ด้านการค้า
 ไม่ว่ากรณีใดๆทั้งสิ้น อีกทั้งห้ามมิให้ตัดแปลงเนื้อหา และต้องอ้างอิงถึงเจ้าของเอกสารทุกครั้งที่มีการนำไปใช้



รูปที่ ๒

ฐานเขื่อนกว้าง 2 เมตร

ความลึกของดิน 8 เมตร

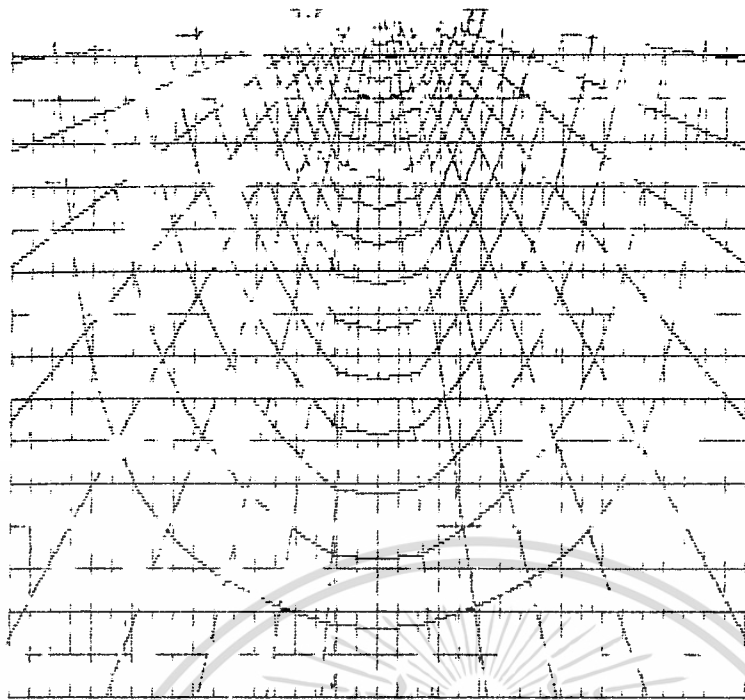
จำนวนช่อง/เมตร 1 ช่อง/เมตร

จำนวนเส้น FLOW-LINE(N_f) 10 เส้น

จำนวนเส้น EQUIPOTENTIAL-LINE(N_e) 10 เส้น

$$\text{อัตราส่วน } N_f/N_e = 1$$

เอกสารนี้เป็นเอกสารที่สงวนไว้สำหรับการใช้งานเพื่อการศึกษาเท่านั้น ไม่อนุญาตให้นำไปใช้ประโยชน์ด้านการค้า
ไม่ว่ากรณีใดๆทั้งสิ้น อีกทั้งห้ามมิให้ตัดแปลงเนื้อหา และต้องอ้างอิงถึงเจ้าของเอกสารทุกครั้งที่มีการนำไปใช้



รูปที่ ๕

ฐานเขื่อนกว้าง 2 เมตร

ความลึกของดิน 8 เมตร

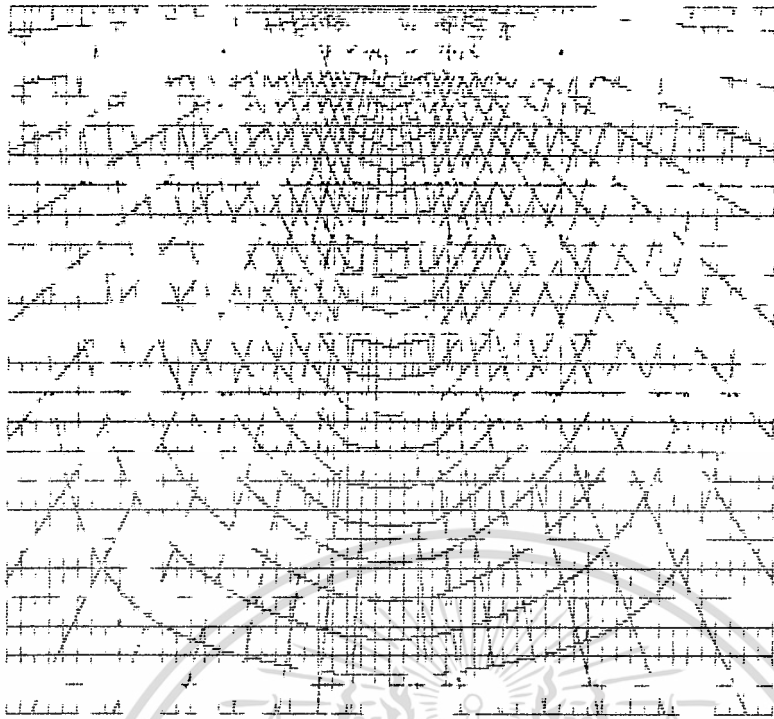
จำนวนช่อง/เมตร 2 ช่อง/เมตร

จำนวนเส้น FLOW-LINE (N_f) 18 เส้น

จำนวนเส้น EQUIPOTENTIAL-LINE (N_d) 20 เส้น

อัตราส่วน $N_f/N_d = 0.9$

เอกสารนี้เป็นเอกสารที่สงวนไว้สำหรับการใช้งานเพื่อการศึกษาเท่านั้น ไม่อนุญาตให้นำไปใช้ประโยชน์ด้านการค้า
ไม่ว่ากรณีใดๆทั้งสิ้น อีกทั้งห้ามมิให้ตัดแปลงเนื้อหา และต้องอ้างอิงถึงเจ้าของเอกสารทุกครั้งที่มีการนำไปใช้



รูปที่ ๒๒.๑๒

รูปกึ่งเขอนกว้าง 2 เมตร

ความลึกของดิน 8 เมตร

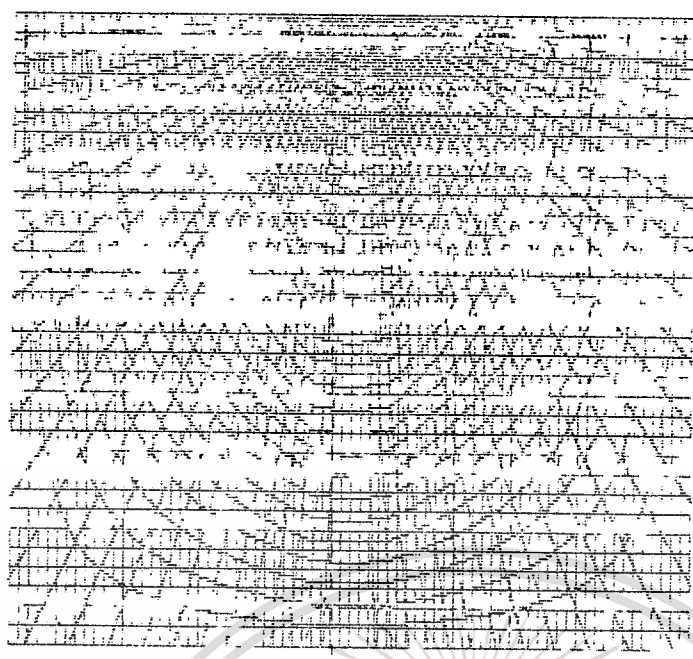
จำนวนช่อง/เมตร 3 ช่อง/เมตร

จำนวนเส้น FLOW-LINE(N_f) 26 เส้น

จำนวนเส้น EQUIPOTENTIAL-LINE(N_e) 30 เส้น

อัตราส่วน $N_f/N_e = 0.86$

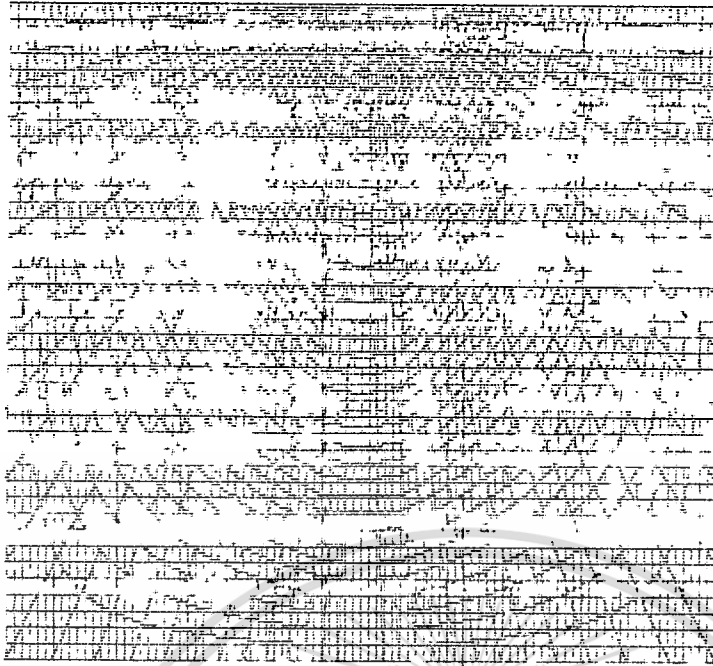
เอกสารนี้เป็นเอกสารที่สงวนไว้สำหรับการใช้งานเพื่อการศึกษาเท่านั้น ไม่อนุญาตให้นำไปใช้ประโยชน์ด้านการค้า
ไม่ว่ากรณีใดๆทั้งสิ้น อีกทั้งห้ามมิให้ดัดแปลงเนื้อหา และต้องอ้างอิงถึงเจ้าของเอกสารทุกครั้งที่มีการนำไปใช้



รูปที่ ๓

- ฐานเขื่อนกว้าง 2 เมตร
- ความลึกของคัน 8 เมตร
- จำนวนช่อง/เมตร 4 ช่อง/เมตร
- จำนวนเส้น FLOW-LINE(N_f) 34 เส้น
- จำนวนเส้น EQUIPOTENTIAL-LINE(N_e) 50 เส้น
- อัตราส่วน $N_f/N_e = 0.68$

เอกสารนี้เป็นเอกสารที่สงวนไว้สำหรับการใช้งานเพื่อการศึกษาเท่านั้น ไม่อนุญาตให้นำไปใช้ประโยชน์ด้านการค้า
 ไม่ว่ากรณีใดๆทั้งสิ้น อีกทั้งห้ามมิให้ตัดแปลงเนื้อหา และต้องอ้างอิงถึงเจ้าของเอกสารทุกครั้งที่มีการนำไปใช้



หน้า ๕๒

ฐานเขื่อนกว้าง 2 เมตร

ความลึกของดิน 8 เมตร

จำนวนช่อง/เมตร 5 ช่อง/เมตร

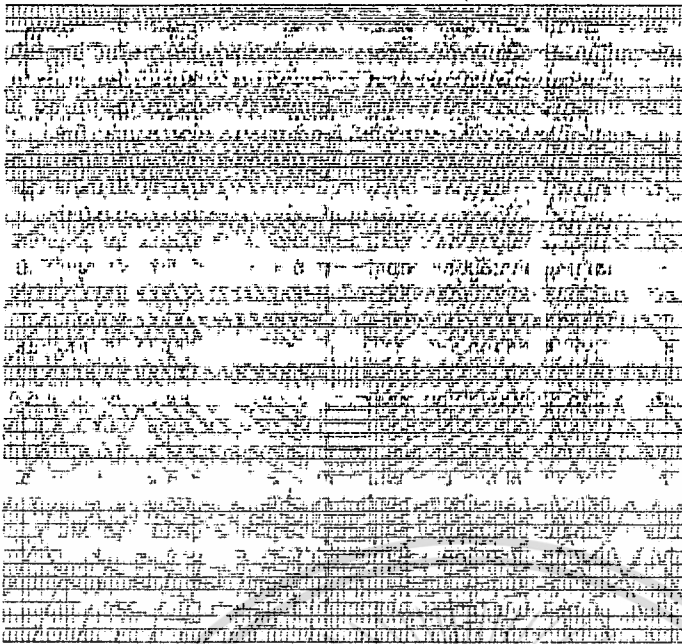
จำนวนเส้น FLOW-LINE(N_f) 42 เส้น

จำนวนเส้น EQUIPOTENTIAL-LINE(N_e) 50 เส้น

$$\text{อัตราส่วน } N_f/N_e = 0.84$$

๕๒

เอกสารนี้เป็นเอกสารที่สงวนไว้สำหรับการใช้งานเพื่อการศึกษาเท่านั้น ไม่อนุญาตให้นำไปใช้ประโยชน์ด้านการค้า
ไม่ว่ากรณีใดๆทั้งสิ้น อีกทั้งห้ามมิให้ตัดแปลงเนื้อหา และต้องอ้างอิงถึงเจ้าของเอกสารทุกครั้งที่มีการนำไปใช้



ฐานเขื่อนกว้าง 2 เมตร

ความลึกของคัน 8 เมตร

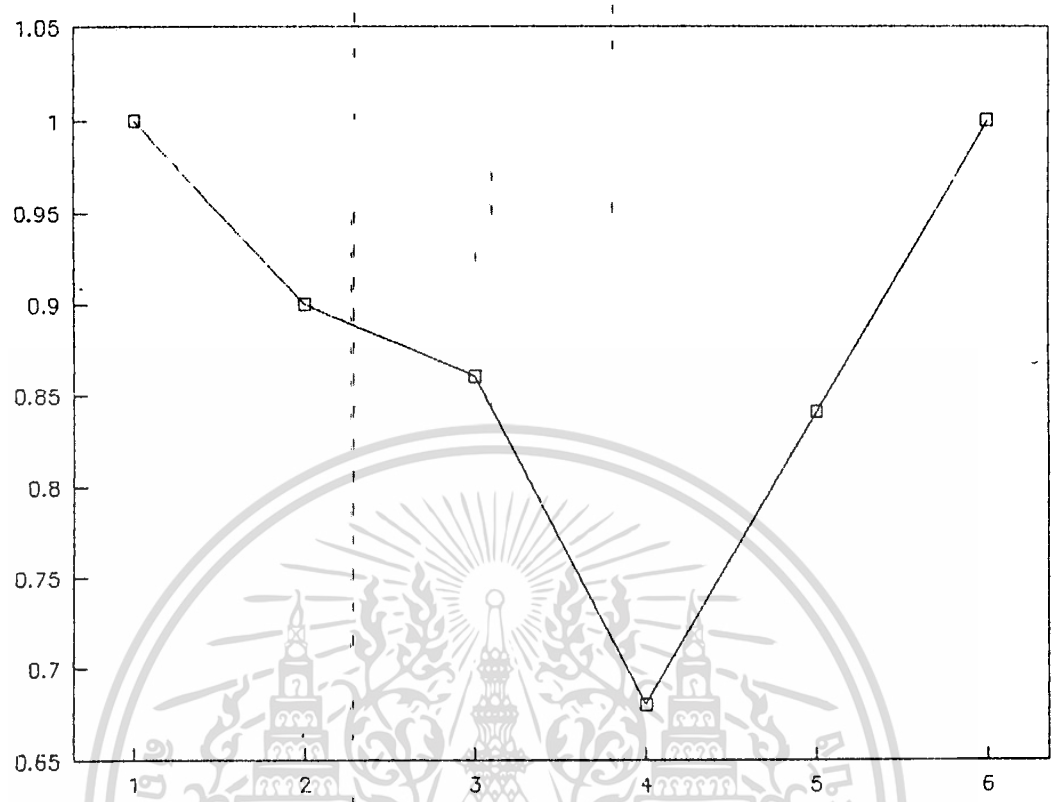
จำนวนช่อง/เมตร 6 ช่อง/เมตร

จำนวนเส้น FLOW-LINE(N_e) 50 เส้น

จำนวนเส้น EQUIPOTENTIAL-LINE(N_d) 50 เส้น

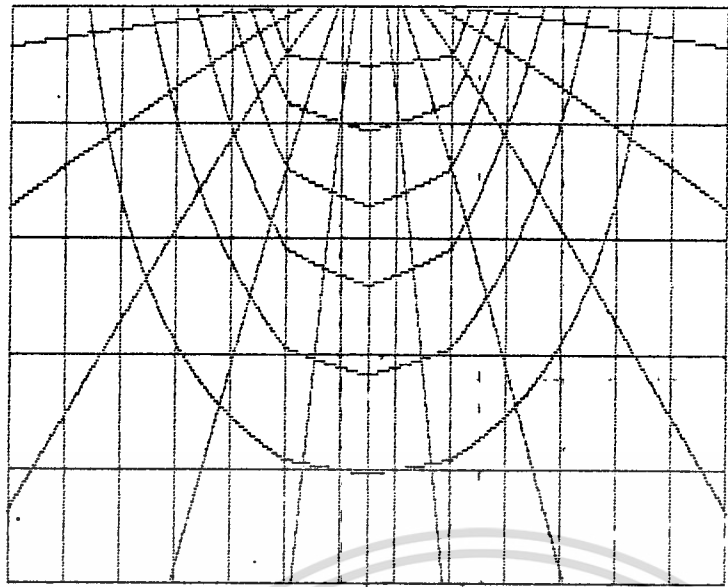
$$\text{อัตราส่วน } N_e/N_d = 1$$

เอกสารนี้เป็นเอกสารที่สงวนไว้สำหรับการใช้งานเพื่อการศึกษาเท่านั้น ไม่อนุญาตให้นำไปใช้ประโยชน์ด้านการค้า
ไม่ว่ากรณีใดๆทั้งสิ้น อีกทั้งห้ามมิให้ตัดแปลงเนื้อหา และต้องอ้างอิงถึงเจ้าของเอกสารทุกครั้งที่มีการนำไปใช้



กราฟรูปความสัมพันธ์ของจำนวนช่อง/เมตร กับ อัตราส่วนของ FLOW-LINE (N_f) กับ EQUIPOTENTIAL LINE (N_e) กรณีฐานเขื่อนกว้าง 2 เมตร ความลึกของดิน 8 เมตร

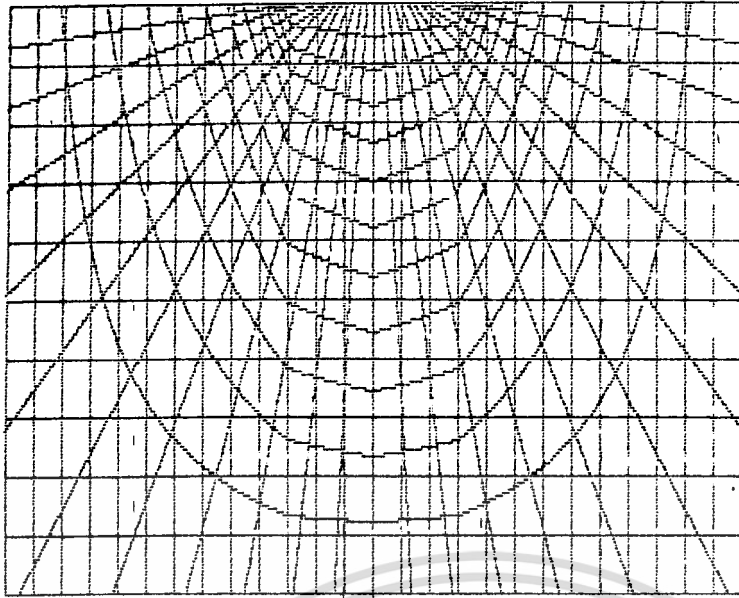
เอกสารนี้เป็นเอกสารที่สงวนไว้สำหรับการใช้งานเพื่อการศึกษาเท่านั้น ไม่อนุญาตให้นำไปใช้ประโยชน์ด้านการค้า
ไม่ว่ากรณีใดๆทั้งสิ้น อีกทั้งห้ามมิให้ตัดแปลงเนื้อหา และต้องอ้างอิงถึงเจ้าของเอกสารทุกครั้งที่มีการนำไปใช้



FLOWNET OF DAM

Press Shift-F1 to Print Graph

- ฐานเขื่อนกว้าง 3 เมตร
- ความลึกของดิน 5 เมตร
- จำนวนช่อง/เมตร 1 ช่อง/เมตร
- จำนวนเส้น FLOW-LINE(N_f) 7 เส้น
- จำนวนเส้น EQUIPOTENTIAL-LINE(N_d) 12 เส้น
- อัตราส่วน $N_f/N_d = 0.58$



FLOWNET OF DAM

Press Shift-F1 to Print Graph

ฐานเขื่อนกว้าง 3 เมตร

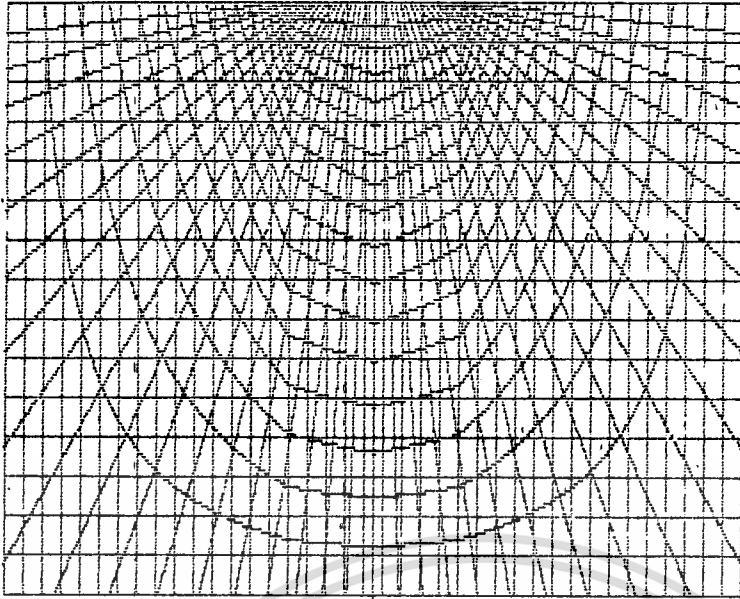
ความลึกของดิน 5 เมตร

จำนวนช่อง/เมตร 2 ช่อง/เมตร

จำนวนเส้น FLOW-LINE (N_f) 12 เส้น

จำนวนเส้น EQUIPOTENTIAL-LINE (N_d) 24 เส้น

อัตราส่วน $N_f/N_d = 0.5$

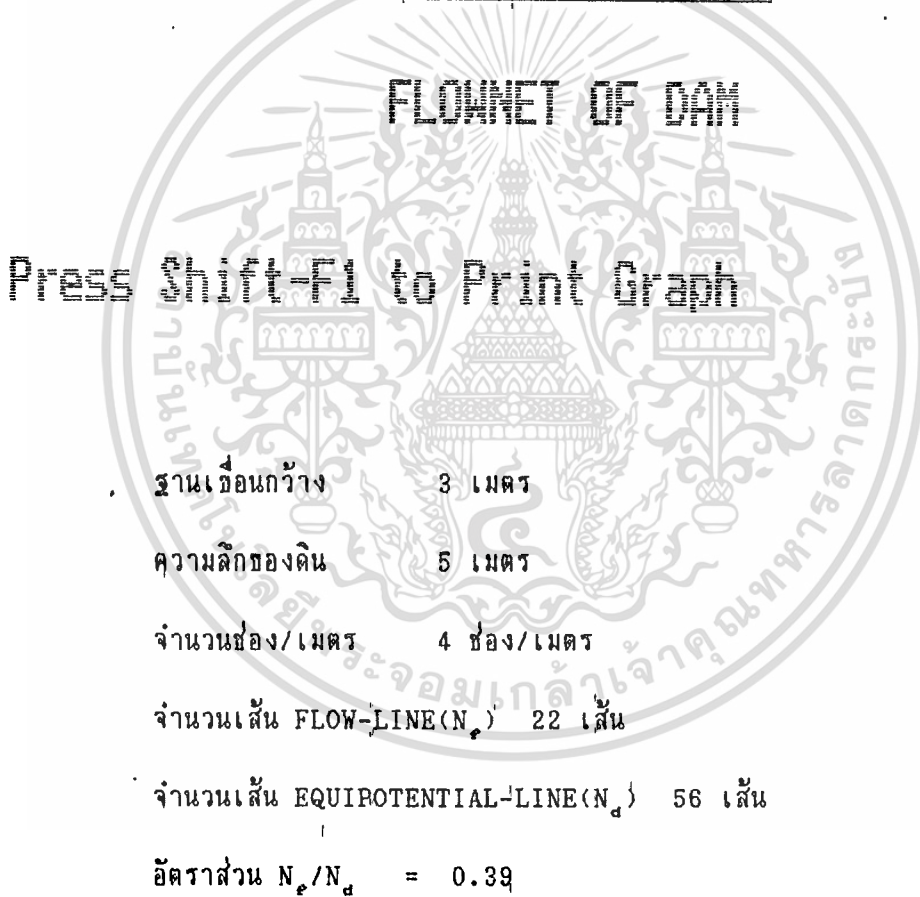
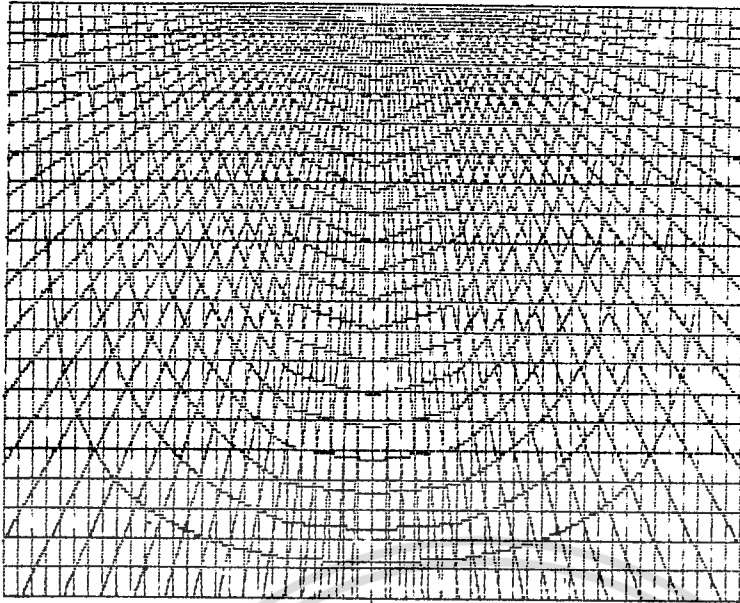


FLOW NET OF DAM

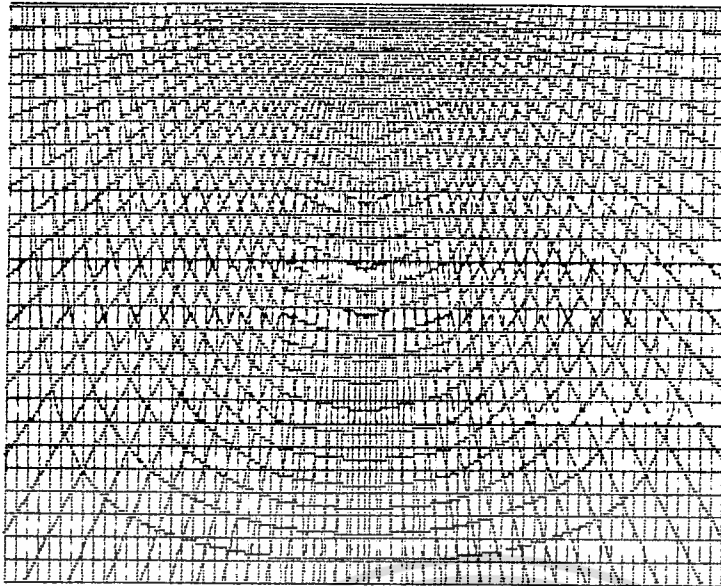
Problem Sheet No. 10 Print 01/2016

ฐานเขื่อนกว้าง	3 เมตร
ความลึกของดิน	5 เมตร
จำนวนช่อง/เมตร	3 ช่อง/เมตร
จำนวนเส้น FLOW-LINE(N_f)	17 เส้น
จำนวนเส้น EQUIPOTENTIAL-LINE(N_d)	38 เส้น
อัตราส่วน N_f/N_d	= 0.45

เอกสารนี้เป็นเอกสารที่สงวนไว้สำหรับการใช้งานเพื่อการศึกษาเท่านั้น ไม่อนุญาตให้นำไปใช้ประโยชน์ด้านการค้า
ไม่ว่ากรณีใดๆทั้งสิ้น อีกทั้งห้ามมิให้ตัดแปลงเนื้อหา และต้องอ้างอิงถึงเจ้าของเอกสารทุกครั้งที่มีการนำไปใช้



เอกสารนี้เป็นเอกสารที่สงวนไว้สำหรับการใช้งานเพื่อการศึกษาเท่านั้น ไม่อนุญาตให้นำไปใช้ประโยชน์ด้านการค้า
ไม่ว่ากรณีใดๆทั้งสิ้น อีกทั้งห้ามมิให้ตัดแปลงเนื้อหา และต้องอ้างอิงถึงเจ้าของเอกสารทุกครั้งที่มีการนำไปใช้



หน้า ๕

ฐานเขื่อนกว้าง 3 เมตร

ความลึกของดิน 5 เมตร

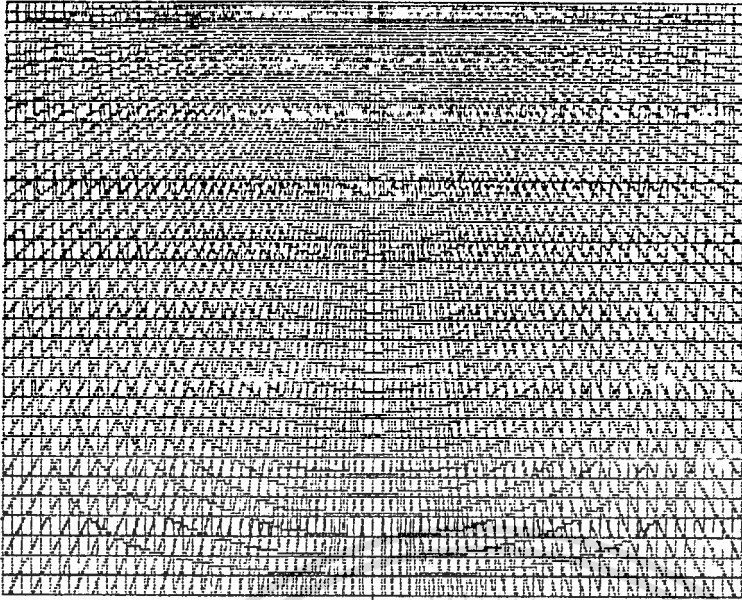
จำนวนช่อง/เมตร 5 ช่อง/เมตร

จำนวนเส้น FLOW-LINE(N_f) 27 เส้น

จำนวนเส้น EQUIPOTENTIAL-LINE(N_d) 56 เส้น

อัตราส่วน $N_f/N_d = 0,48$

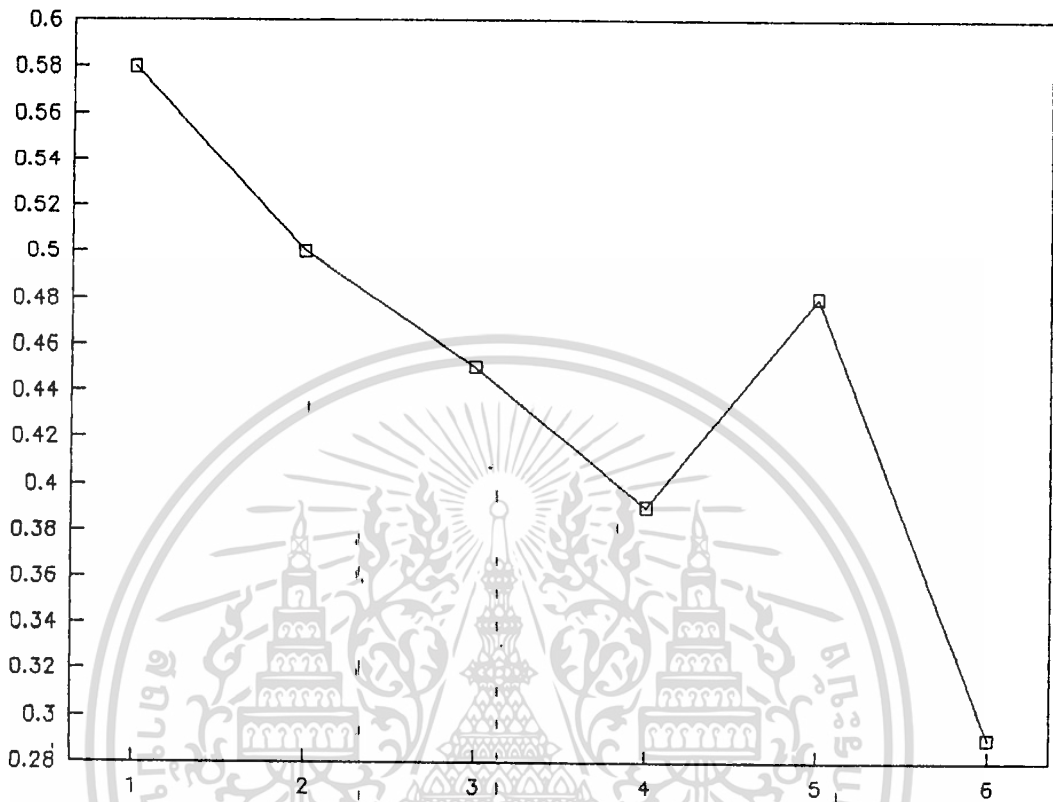
เอกสารนี้เป็นเอกสารที่สงวนไว้สำหรับการใช้งานเพื่อการศึกษาเท่านั้น ไม่อนุญาตให้นำไปใช้ประโยชน์ด้านการค้า
ไม่ว่ากรณีใดๆทั้งสิ้น อีกทั้งห้ามมิให้ตัดแปลงเนื้อหา และต้องอ้างอิงถึงเจ้าของเอกสารทุกครั้งที่มีการนำไปใช้



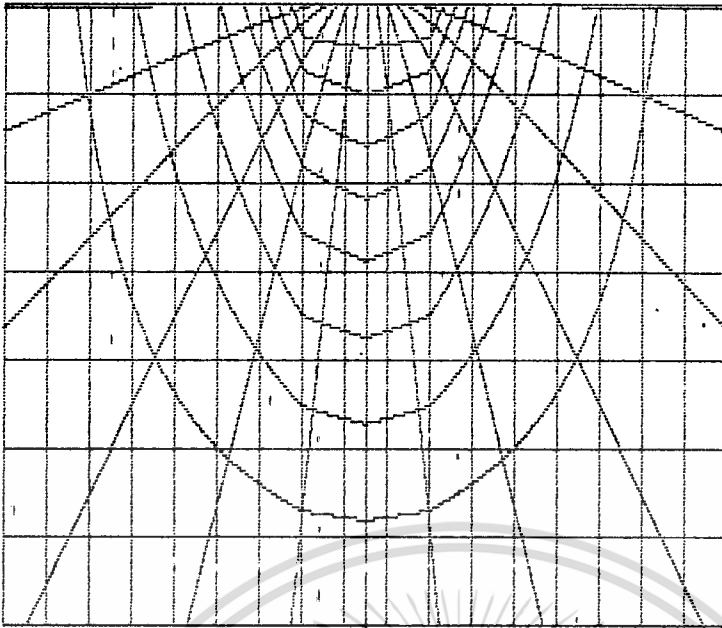
FLOWNET OF
พื้นที่ดินที่ขุดลอก

ฐานเขื่อนกว้าง	3 เมตร
ความลึกของดิน	5 เมตร
จำนวนช่อง/เมตร	6 ช่อง/เมตร
จำนวนเส้น FLOW-LINE(N_f)	32 เส้น
จำนวนเส้น EQUIPOTENTIAL-LINE(N_d)	110 เส้น
อัตราส่วน N_f/N_d	= 0.29

เอกสารนี้เป็นเอกสารที่สงวนไว้สำหรับการใช้งานเพื่อการศึกษาเท่านั้น ไม่อนุญาตให้นำไปใช้ประโยชน์ด้านการค้า
 ไม่ว่ากรณีใดๆทั้งสิ้น อีกทั้งห้ามมิให้ตัดแปลงเนื้อหา และต้องอ้างอิงถึงเจ้าของเอกสารทุกครั้งที่มีการนำไปใช้



กราฟรูปความสัมพันธ์ของจำนวนช่อง/เมตร กับ อัตราส่วนของ FLOW-LINE(N_f) กับ EQUIPOTENTIAL LINE(N_e) กรณีฐานเขื่อนกว้าง 3 เมตร ความลึกของดิน 5 เมตร



FLOWNET OF DAM
Press Split-Flow Print Graph

ฐานเขื่อนกว้าง 3 เมตร

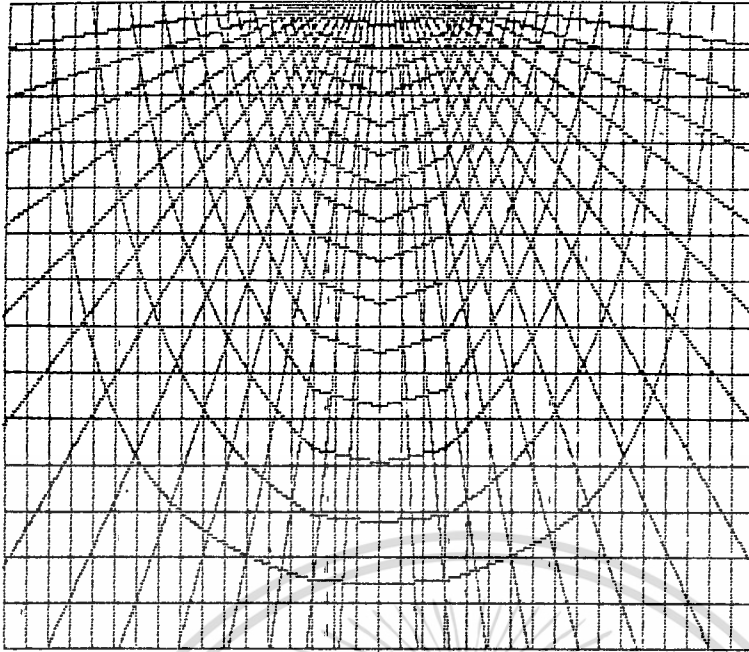
ความลึกของดิน 7 เมตร

จำนวนช่อง/เมตร 1 ช่อง/เมตร

จำนวนเส้น FLOW-LINE(N_e) 9 เส้น

จำนวนเส้น EQUIPOTENTIAL-LINE(N_d) 14 เส้น

อัตราส่วน $N_e/N_d = 0.64$



FLOWNET OF DAM

Press Shift+F to Print Graph

ฐานเขื่อนกว้าง 3 เมตร

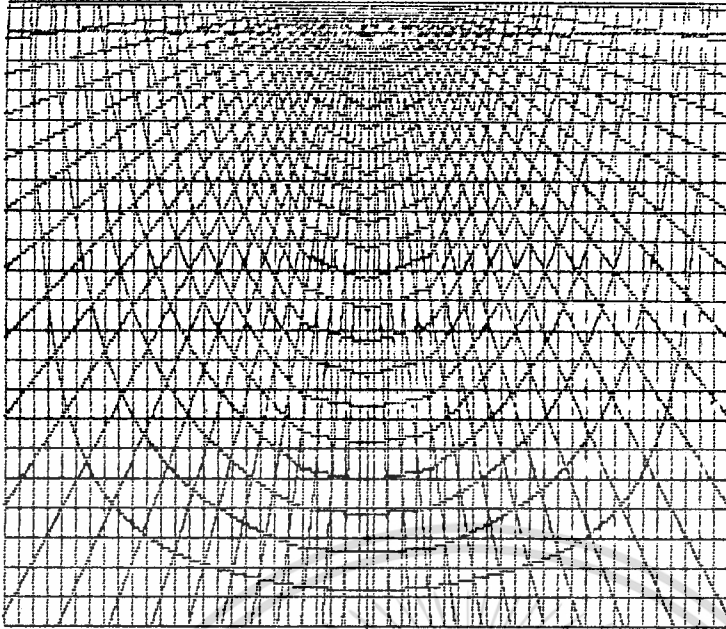
ความลึกของดิน 7 เมตร

จำนวนช่อง/เมตร 2 ช่อง/เมตร

จำนวนเส้น FLOW-LINE(N_f) 16 เส้น

จำนวนเส้น EQUIPOTENTIAL-LINE(N_e) 30 เส้น

อัตราส่วน $N_f/N_e = 0.53$



FLOWNET OF DAM

Press Shift-F1 to Print Graph

ฐานเขื่อนกว้าง 3 เมตร

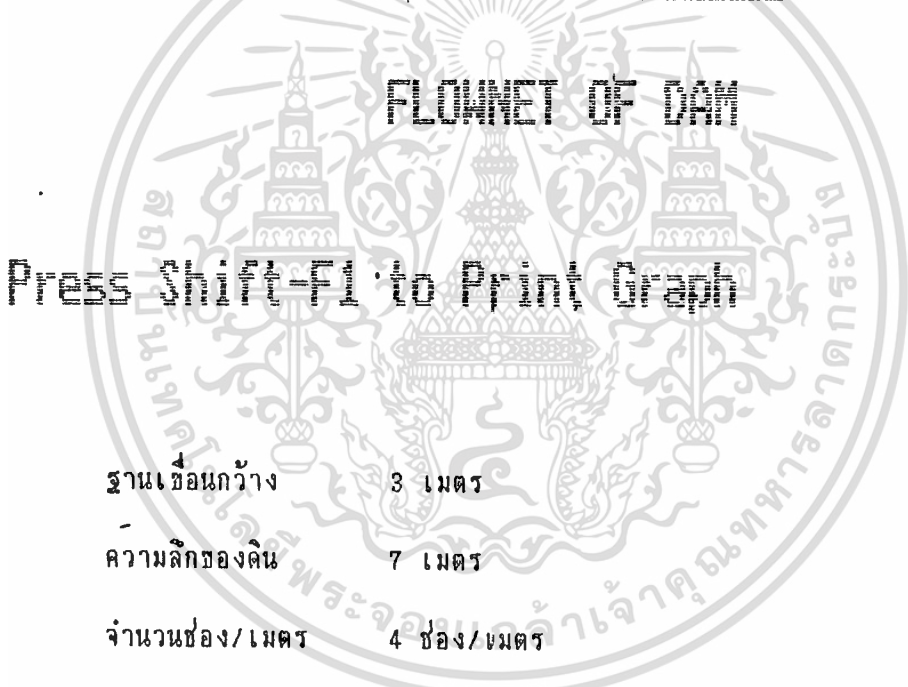
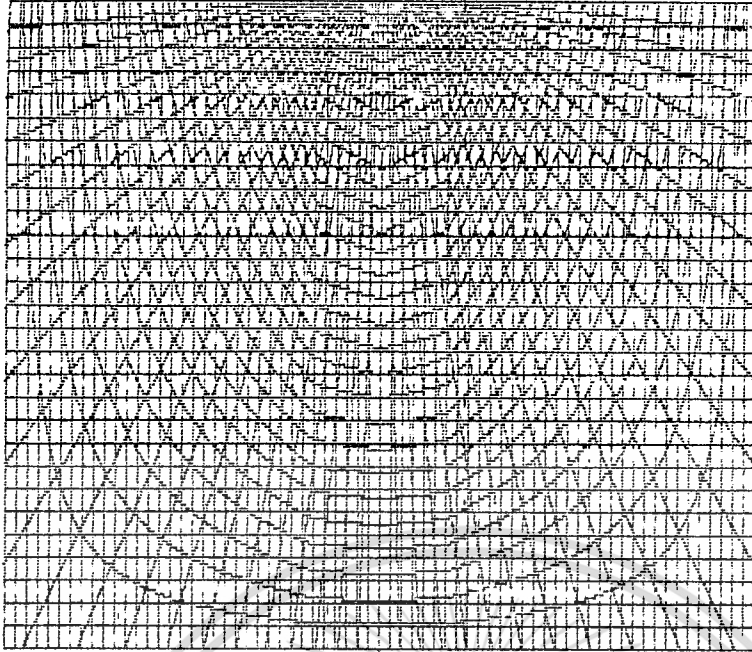
ความลึกของดิน 7 เมตร

จำนวนช่อง/เมตร 3 ช่อง/เมตร

จำนวนเส้น FLOW-LINE(N_f) 23 เส้น

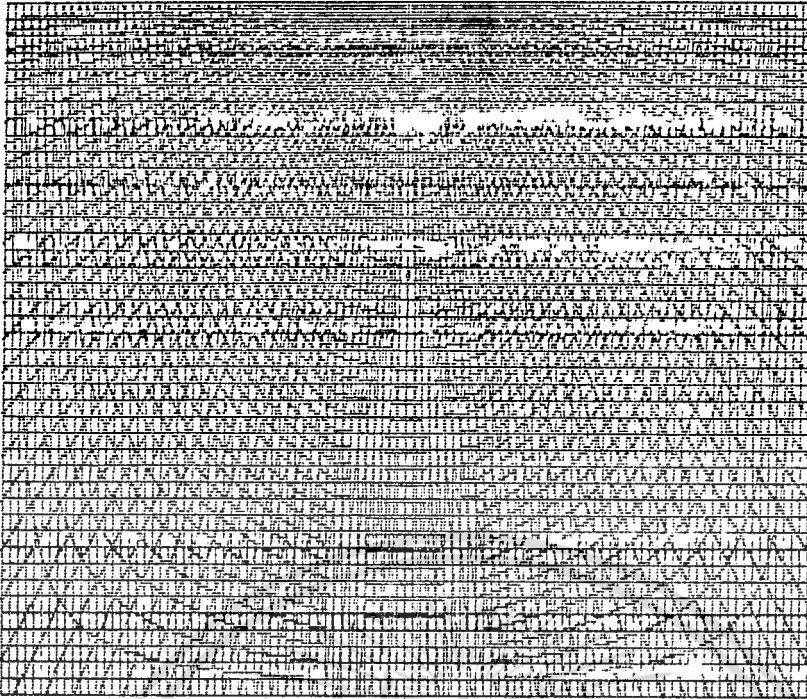
จำนวนเส้น EQUIPOTENTIAL-LINE(N_d) 44 เส้น

อัตราส่วน $N_f/N_d = 0.52$



ฐานเขื่อนกว้าง 3 เมตร
 ความลึกของดิน 7 เมตร
 จำนวนช่อง/เมตร 4 ช่อง/เมตร
 จำนวนเส้น FLOW-LINE(N_f) 30 เส้น
 จำนวนเส้น EQUIPOTENTIAL-LINE(N_e) 44 เส้น
 อัตราส่วน $N_f/N_e = 0.68$

เอกสารนี้เป็นเอกสารที่สงวนไว้สำหรับการใช้งานเพื่อการศึกษาเท่านั้น ไม่อนุญาตให้นำไปใช้ประโยชน์ด้านการค้า
 ไม่ว่ากรณีใดๆทั้งสิ้น อีกทั้งห้ามมิให้ดัดแปลงเนื้อหา และต้องอ้างอิงถึงเจ้าของเอกสารทุกครั้งที่มีการนำไปใช้



Press Shift-F10 to Print Grid

ฐานเขื่อนกว้าง 3 เมตร

ความลึกของดิน 7 เมตร

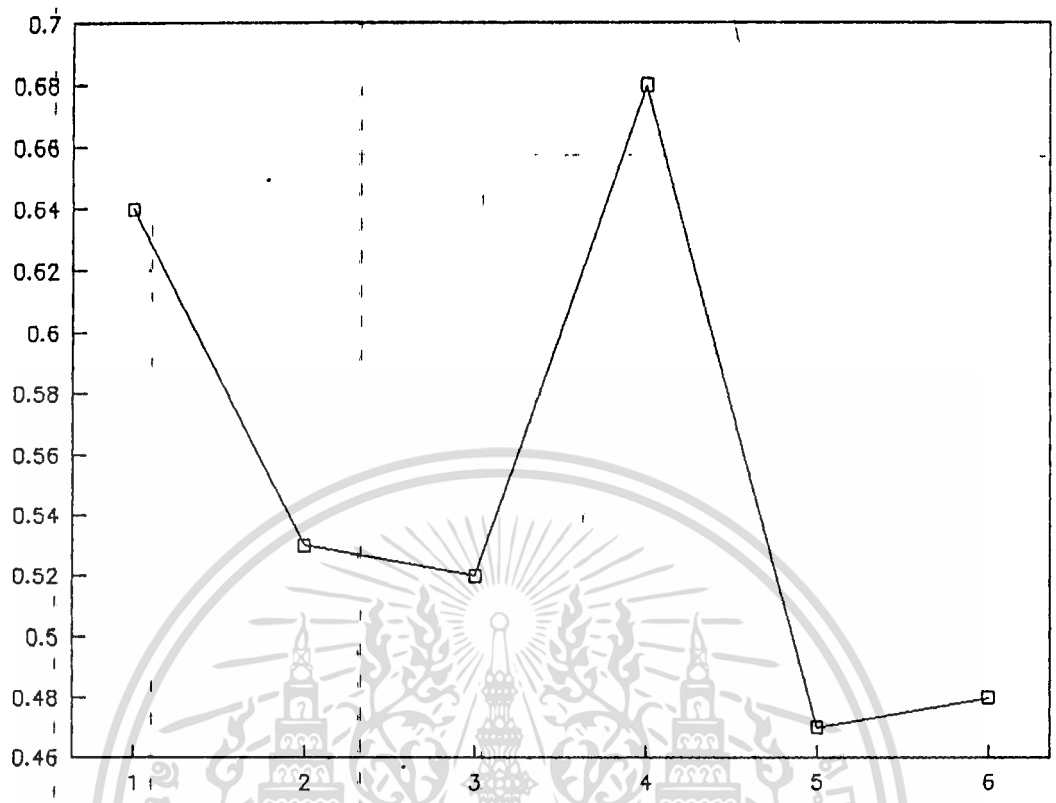
จำนวนช่อง/เมตร 6 ช่อง/เมตร

จำนวนเส้น FLOW-LINE(N_f) 44 เส้น

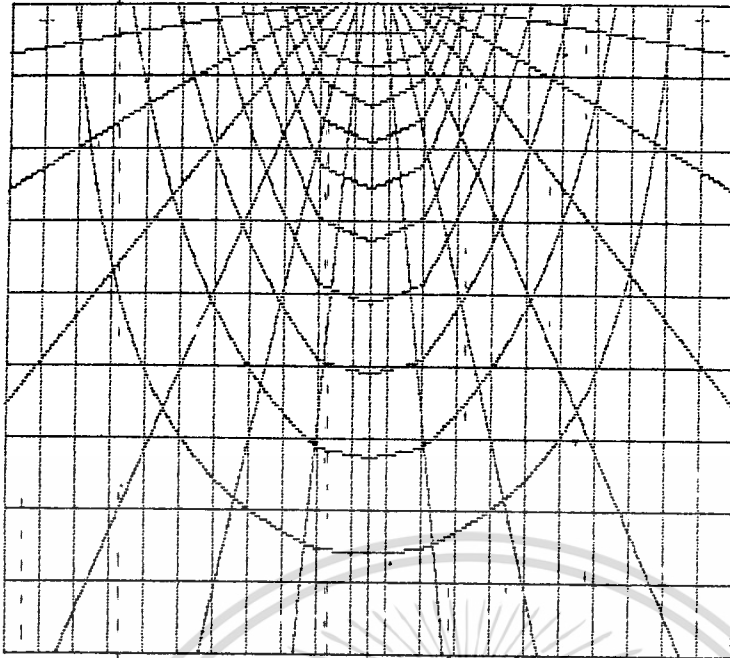
จำนวนเส้น EQUIPOTENTIAL-LINE(N_d) 92 เส้น

อัตราส่วน $N_f/N_d = 0.48$

เอกสารนี้เป็นเอกสารที่สงวนไว้สำหรับการใช้งานเพื่อการศึกษาเท่านั้น ไม่อนุญาตให้นำไปใช้ประโยชน์ด้านการค้า
ไม่ว่ากรณีใดๆทั้งสิ้น อีกทั้งห้ามมิให้ตัดแปลงเนื้อหา และต้องอ้างอิงถึงเจ้าของเอกสารทุกครั้งที่มีการนำไปใช้



กราฟรูปความสัมพันธ์ของจำนวนช่อง/เมตร กับ อัตราส่วนของ FLOW-LINE(N_e) กับ EQUIPOTENTIAL LINE(N_p) กรณีฐานเขื่อนกว้าง 3 เมตร ความลึกของดิน 7 เมตร



FLOWNET OF DAM

รูปที่ ๑๒.๑๒

ฐานเขื่อนกว้าง 3 เมตร

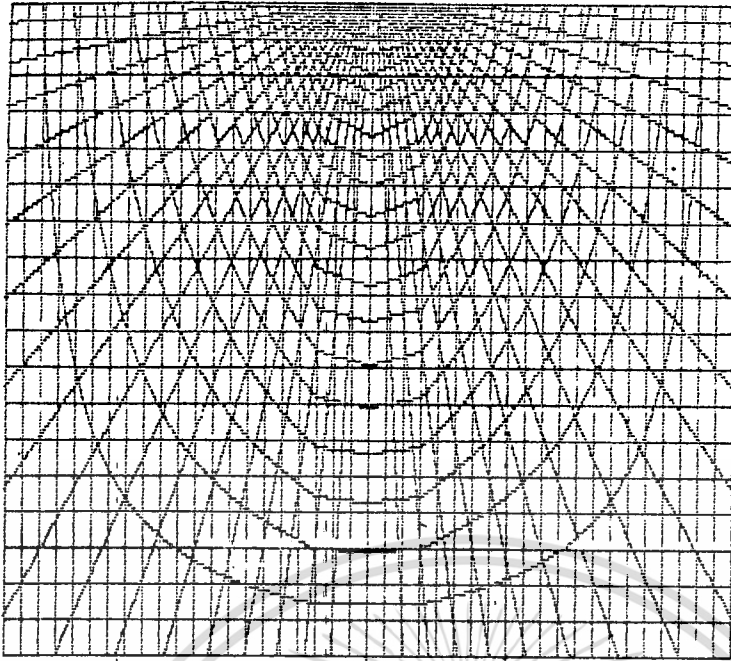
ความลึกของดิน 9 เมตร

จำนวนช่อง/เมตร 1 ช่อง/เมตร

จำนวนเส้น FLOW-LINE (N_f) 11 เส้น

จำนวนเส้น EQUIPOTENTIAL-LINE (N_e) 14 เส้น

อัตราส่วน $N_f/N_e = 0.79$



FLOWNET OF DAM

หน้าดิน

ฐานเขื่อนกว้าง 3 เมตร

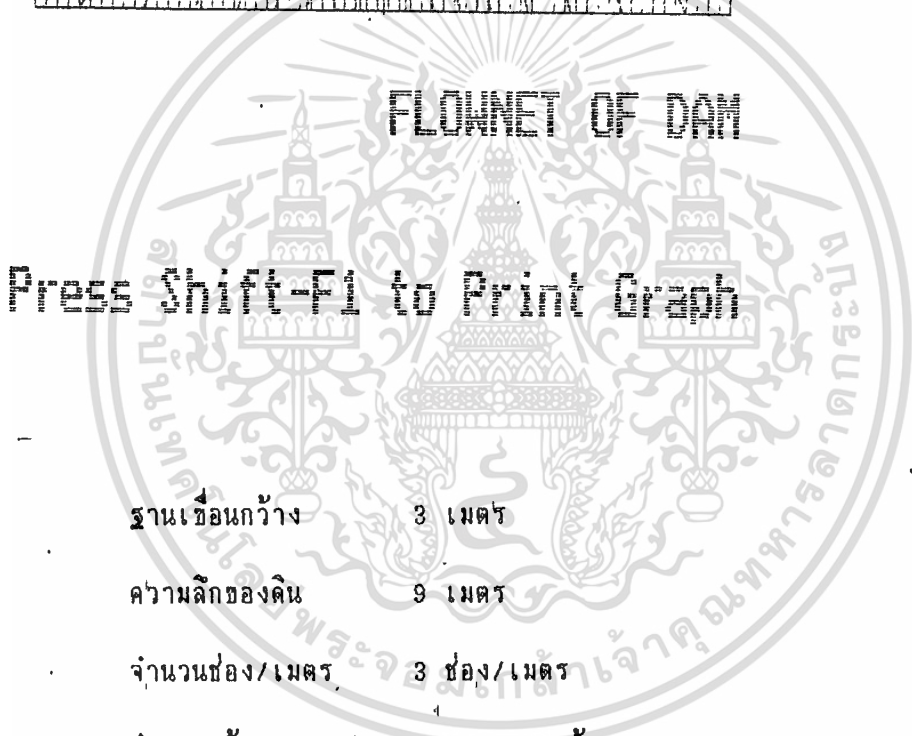
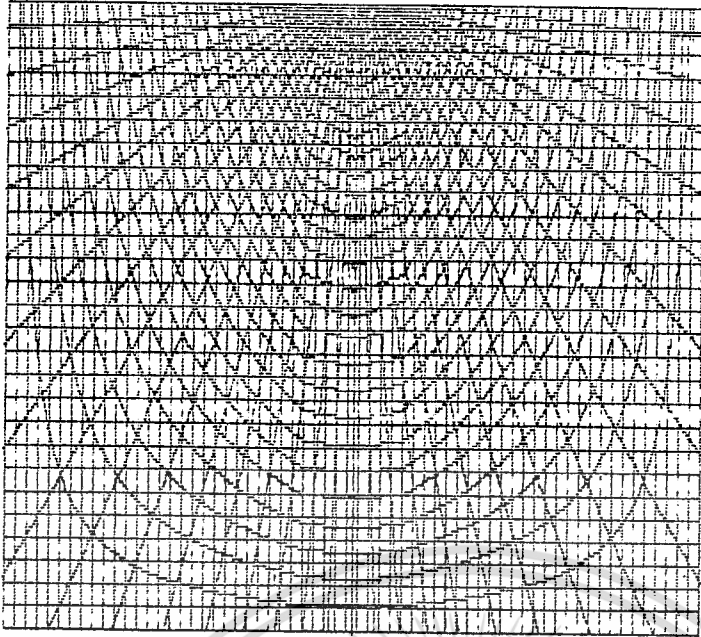
ความลึกของดิน 9 เมตร

จำนวนช่อง/เมตร 2 ช่อง/เมตร

จำนวนเส้น FLOW-LINE(N_f) 20 เส้น

จำนวนเส้น EQUIPOTENTIAL-LINE(N_d) 36 เส้น

อัตราส่วน $N_f/N_d = 0.56$



ฐานเขื่อนกว้าง 3 เมตร

ความลึกของดิน 9 เมตร

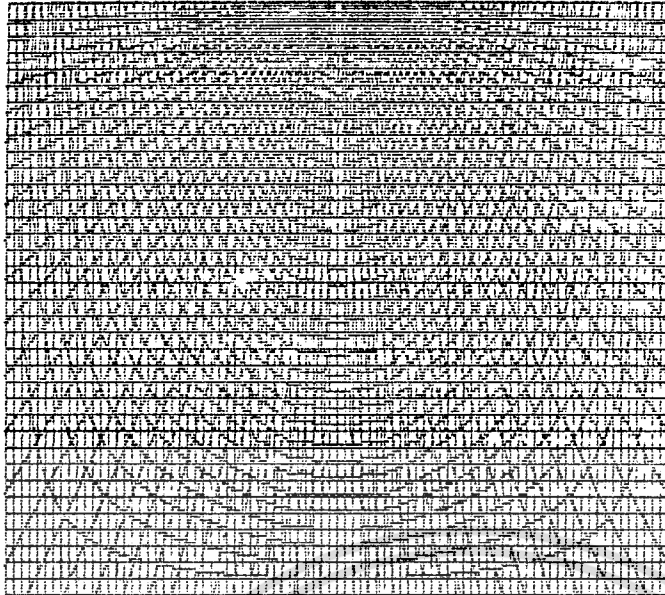
จำนวนช่อง/เมตร 3 ช่อง/เมตร

จำนวนเส้น FLOW-LINE(N_f) 29 เส้น

จำนวนเส้น EQUIPOTENTIAL-LINE(N_d) 34 เส้น

อัตราส่วน $N_f/N_d = 0.85$

เอกสารนี้เป็นเอกสารที่สงวนไว้สำหรับการใช้งานเพื่อการศึกษาเท่านั้น ไม่อนุญาตให้นำไปใช้ประโยชน์ด้านการค้า
ไม่ว่ากรณีใดๆทั้งสิ้น อีกทั้งห้ามมิให้ดัดแปลงเนื้อหา และต้องอ้างอิงถึงเจ้าของเอกสารทุกครั้งที่มีการนำไปใช้



Flow Line
Press Sheet

ฐานเขื่อนกว้าง 3 เมตร

ความลึกของดิน 9 เมตร

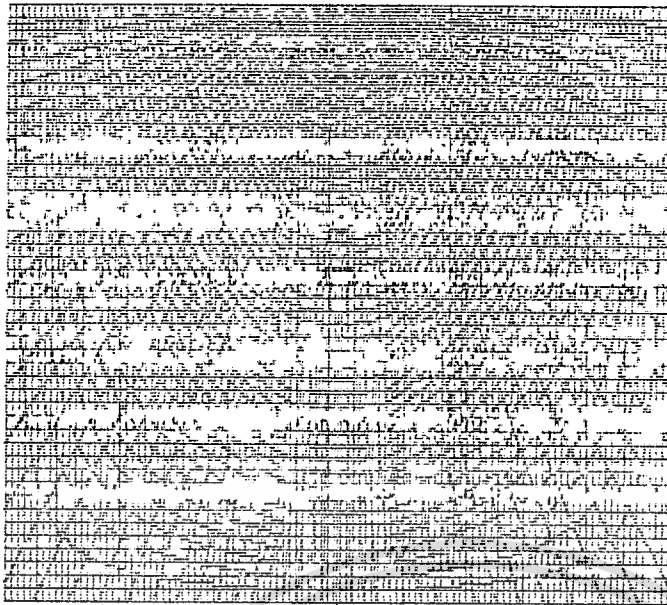
จำนวนช่อง/เมตร 4 ช่อง/เมตร

จำนวนเส้น FLOW-LINE(N_f) 38 เส้น

จำนวนเส้น EQUIPOTENTIAL-LINE(N_e) 62 เส้น

อัตราส่วน $N_e/N_f = 0.61$

เอกสารนี้เป็นเอกสารที่สงวนไว้สำหรับการใช้งานเพื่อการศึกษาเท่านั้น ไม่อนุญาตให้นำไปใช้ประโยชน์ด้านการค้า
ไม่ว่ากรณีใดๆทั้งสิ้น อีกทั้งห้ามมิให้ตัดแปลงเนื้อหา และต้องอ้างอิงถึงเจ้าของเอกสารทุกครั้งที่มีการนำไปใช้



ฐานเขื่อนกว้าง 3 เมตร

ความลึกของดิน 9 เมตร

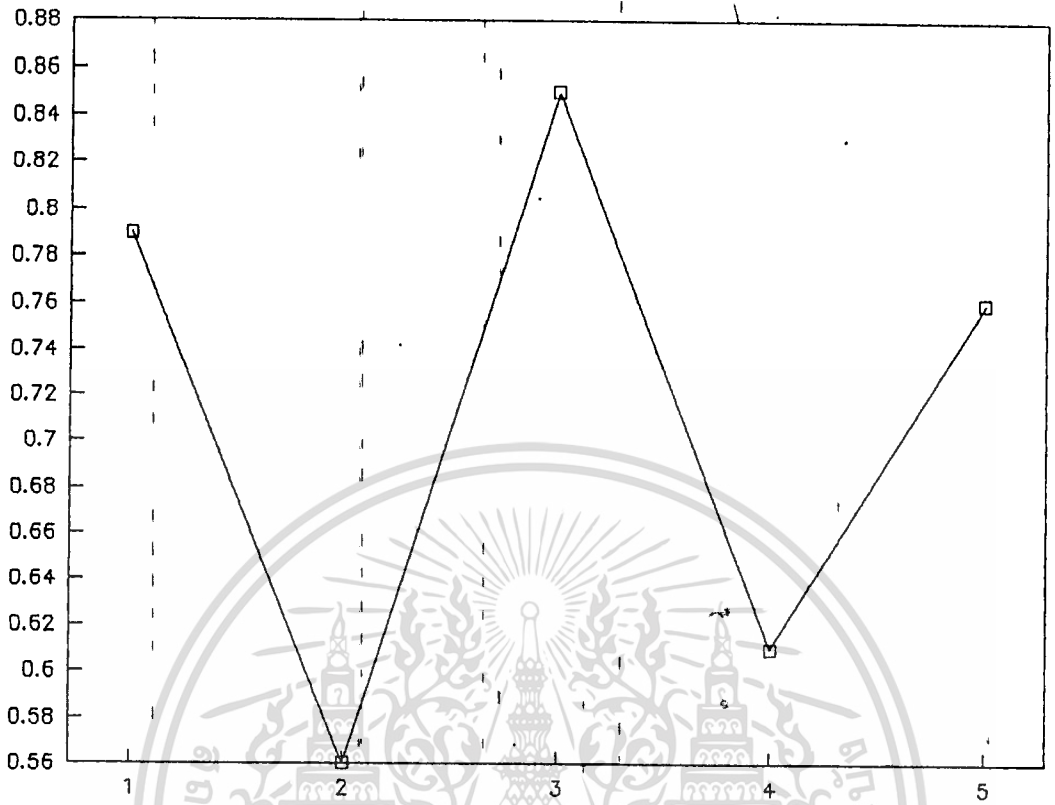
จำนวนช่อง/เมตร 5 ช่อง/เมตร

จำนวนเส้น FLOW-LINE (N_e) 47 เส้น

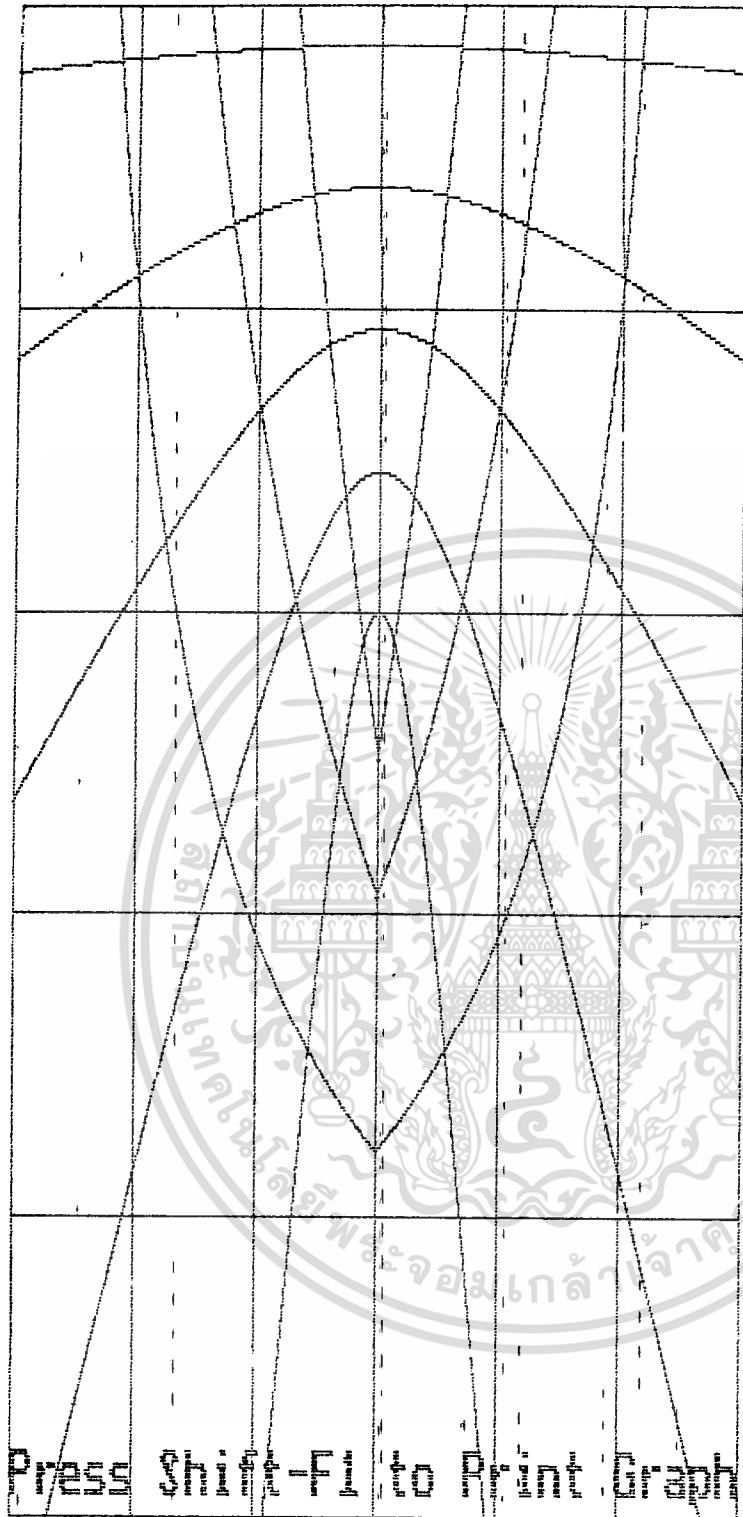
จำนวนเส้น EQUIPOTENTIAL-LINE (N_d) 62 เส้น

$$\text{อัตราส่วน } N_e/N_d = 0.76$$

เอกสารนี้เป็นเอกสารที่สงวนไว้สำหรับการใช้งานเพื่อการศึกษาเท่านั้น ไม่อนุญาตให้นำไปใช้ประโยชน์ด้านการค้า
ไม่ว่ากรณีใดๆทั้งสิ้น อีกทั้งห้ามมิให้ดัดแปลงเนื้อหา และต้องอ้างอิงถึงเจ้าของเอกสารทุกครั้งที่มีการนำไปใช้



กราฟรูปความสัมพันธ์ของจำนวนช่อง/เมตร กับ อัตราส่วนของ FLOW-LINE (N_f) กับ EQUIPOTENTIAL LINE (N_e) การฐานเขื่อนกว้าง 3 เมตร ความลึกของดิน 9 เมตร

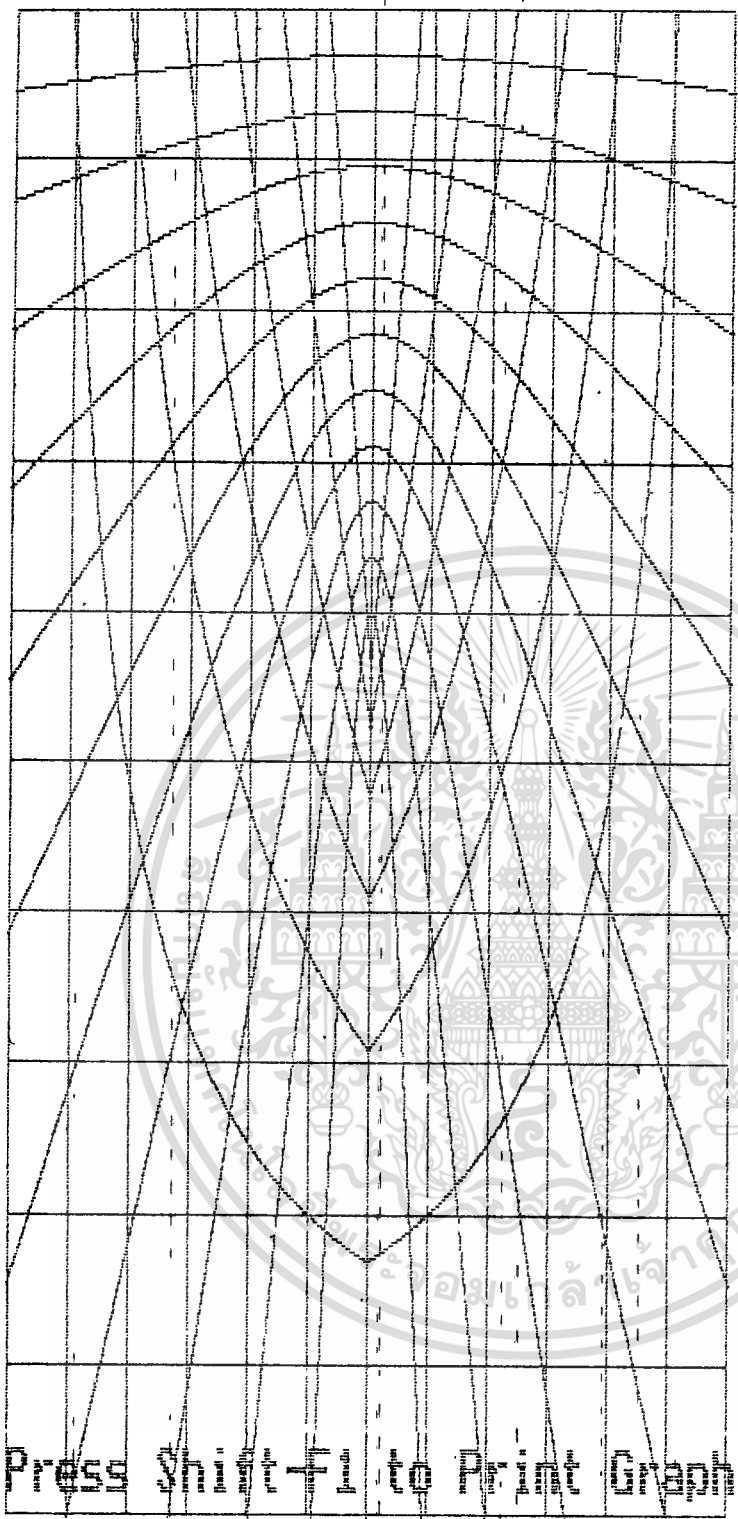


FLOW NET OF FLOW

- เข้มจมลงในดิน 2 เมตร
- ควมลิกขงดิน 5 เมตร
- จนวนชอง/เมตร 1 ชอง/เมตร
- จนวนเสน FLOW-LINE 4 เสน

จนวนเสน EQUIPOTENTIAL-LINE 12 เสน

อัตราสวน (FLOW-LINE/EQUIPOTENTIAL-LINE) = 0.33



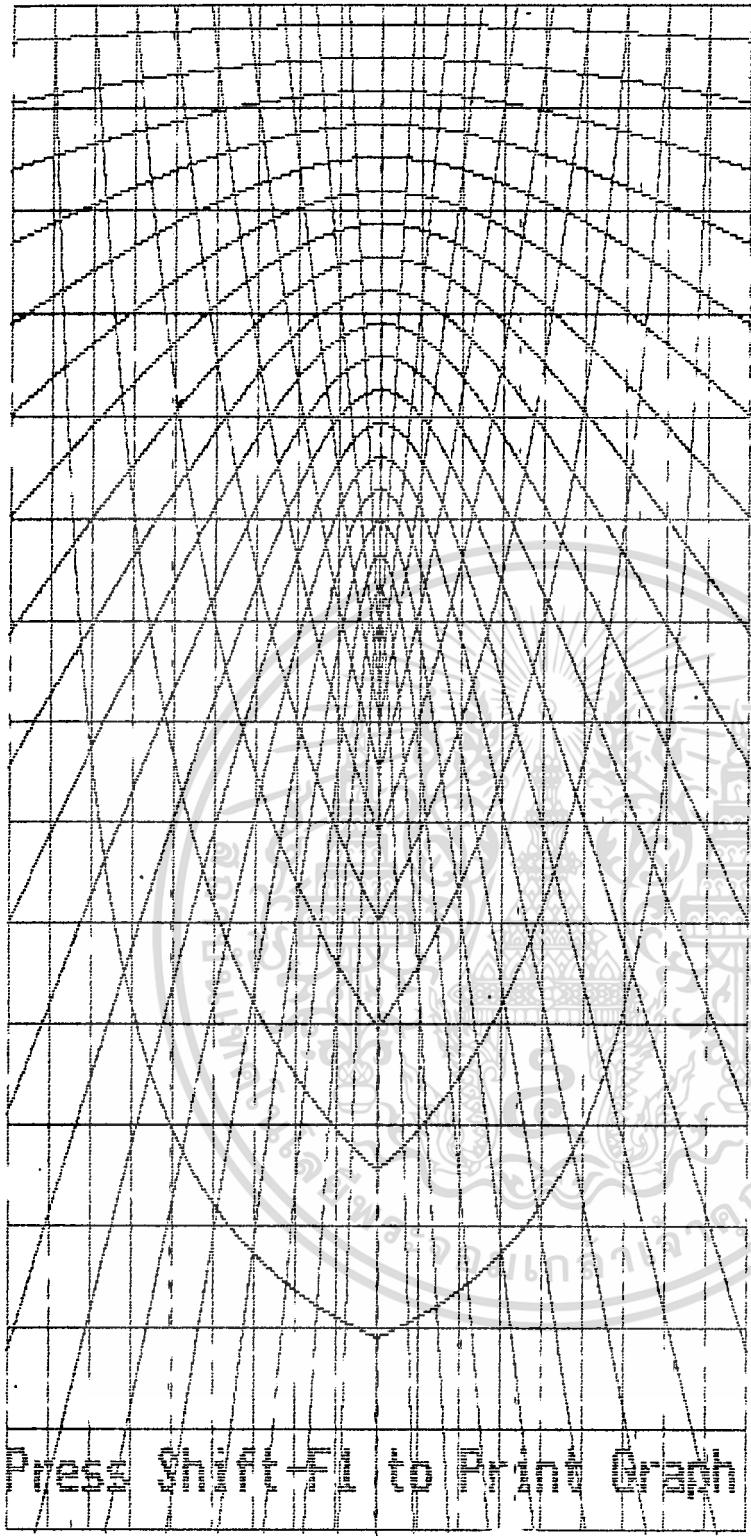
FLOW NET OF PIPE

Flow Line Equipotential Line

- เข็มจมลงในดิน 2 เมตร
- ความลึกของดิน 5 เมตร
- จำนวนช่อง/เมตร 2 ช่อง/เมตร
- จำนวนเส้น FLOW-LINE 7 เส้น

จำนวนเส้น EQUIPOTENTIAL-LINE 24 เส้น

เอกสารนี้เป็นเอกสารที่จัดทำขึ้นเพื่อการศึกษาเท่านั้น ไม่อนุญาตให้นำไปใช้ประโยชน์ด้านการค้า
 ไม่ว่ากรณีใดๆทั้งสิ้น อีกทั้งห้ามมิให้ดัดแปลงเนื้อหา และต้องอ้างอิงถึงเจ้าของเอกสารทุกครั้งที่มีการนำไปใช้
 อัตราส่วน (FLOW-LINE/EQUIPOTENTIAL-LINE) = 0.29



FLOW-LINE OF PIPE

เข็มจมนลงในดิน 2 เมตร

ความลึกของดิน 5 เมตร

จำนวนช่อง/เมตร 3 ช่อง/เมตร

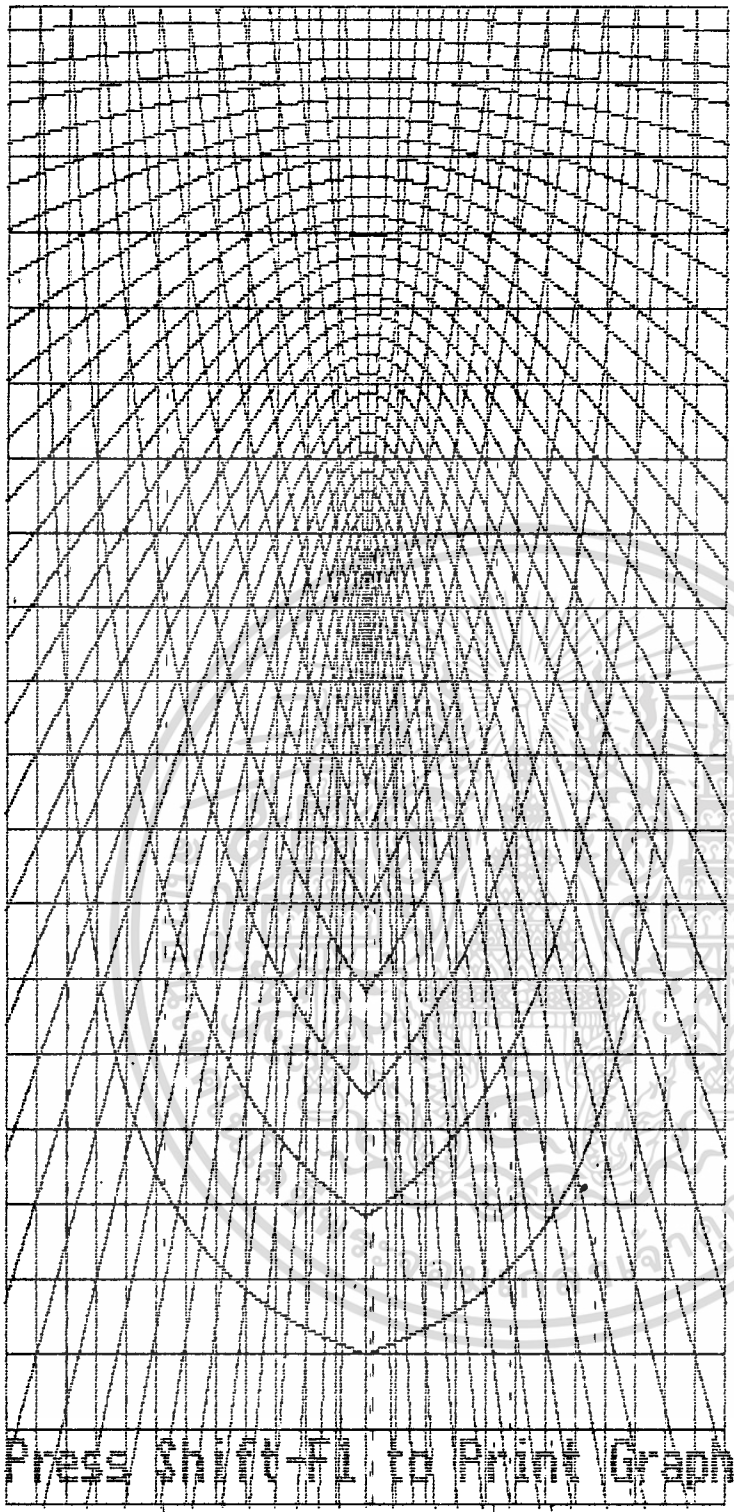
จำนวนเส้น FLOW-LINE 10 เส้น

จำนวนเส้น EQUIPOTENTIAL-LINE 40 เส้น

อัตราส่วน (FLOW-LINE/EQUIPOTENTIAL-LINE) = 0.25

เอกสารนี้เป็นเอกสารที่สงวนไว้สำหรับใช้เพื่อการเรียนการสอนเท่านั้น ไม่อนุญาตให้นำไปใช้ประโยชน์ด้านการค้า

ไม่ว่ากรณีใดๆทั้งสิ้น ขอสงวนสิทธิ์ในสิ่งที่ปรากฏ และต้องอ้างอิงถึงเจ้าของเอกสารทุกครั้งที่มีการนำไปใช้

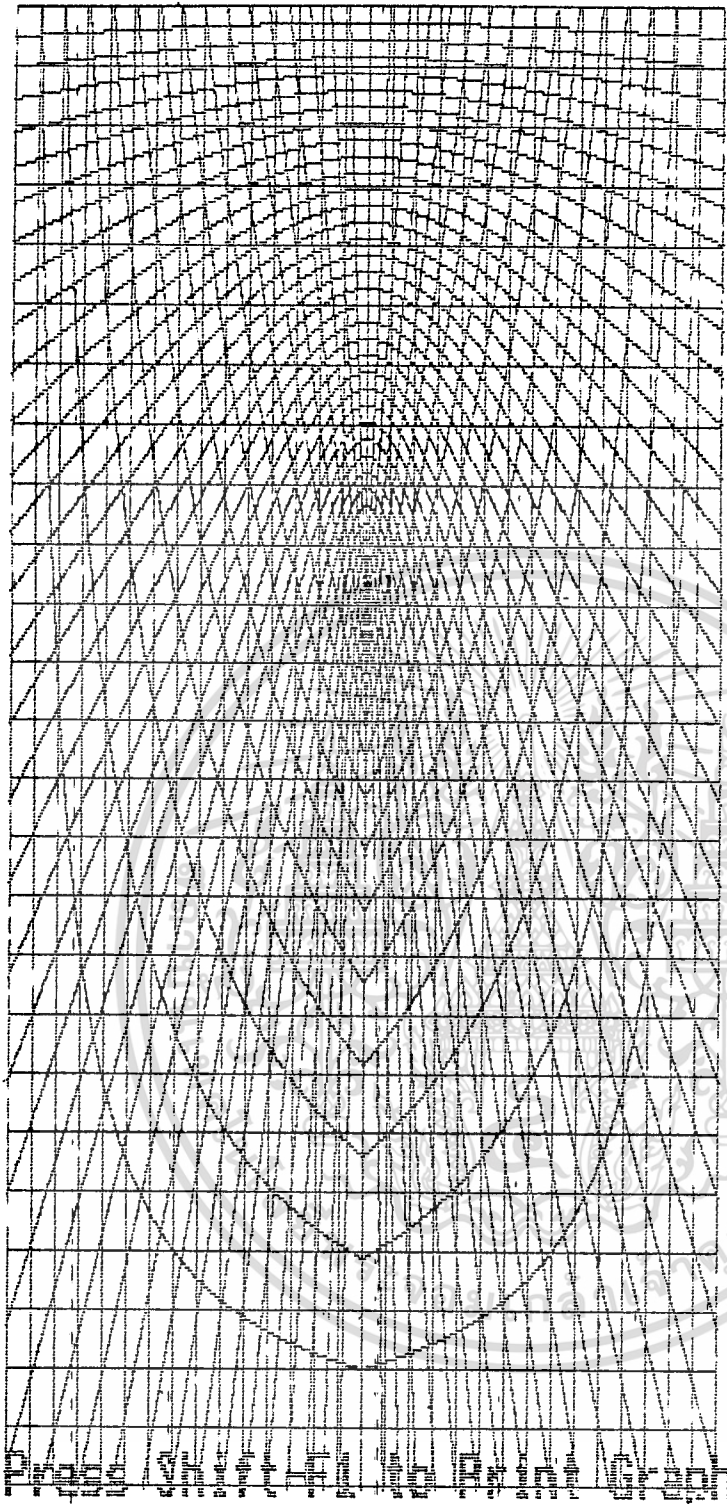


FLOW NET OF PILE

Press Shift-F1 to Print Graph

- เข็มจมนลงในดิน 2 เมตร
- ความลึกของดิน 5 เมตร
- จำนวนช่อง/เมตร 4 ช่อง/เมตร
- จำนวนเส้น FLOW-LINE 13 เส้น
- จำนวนเส้น EQUIPOTENTIAL-LINE 64 เส้น

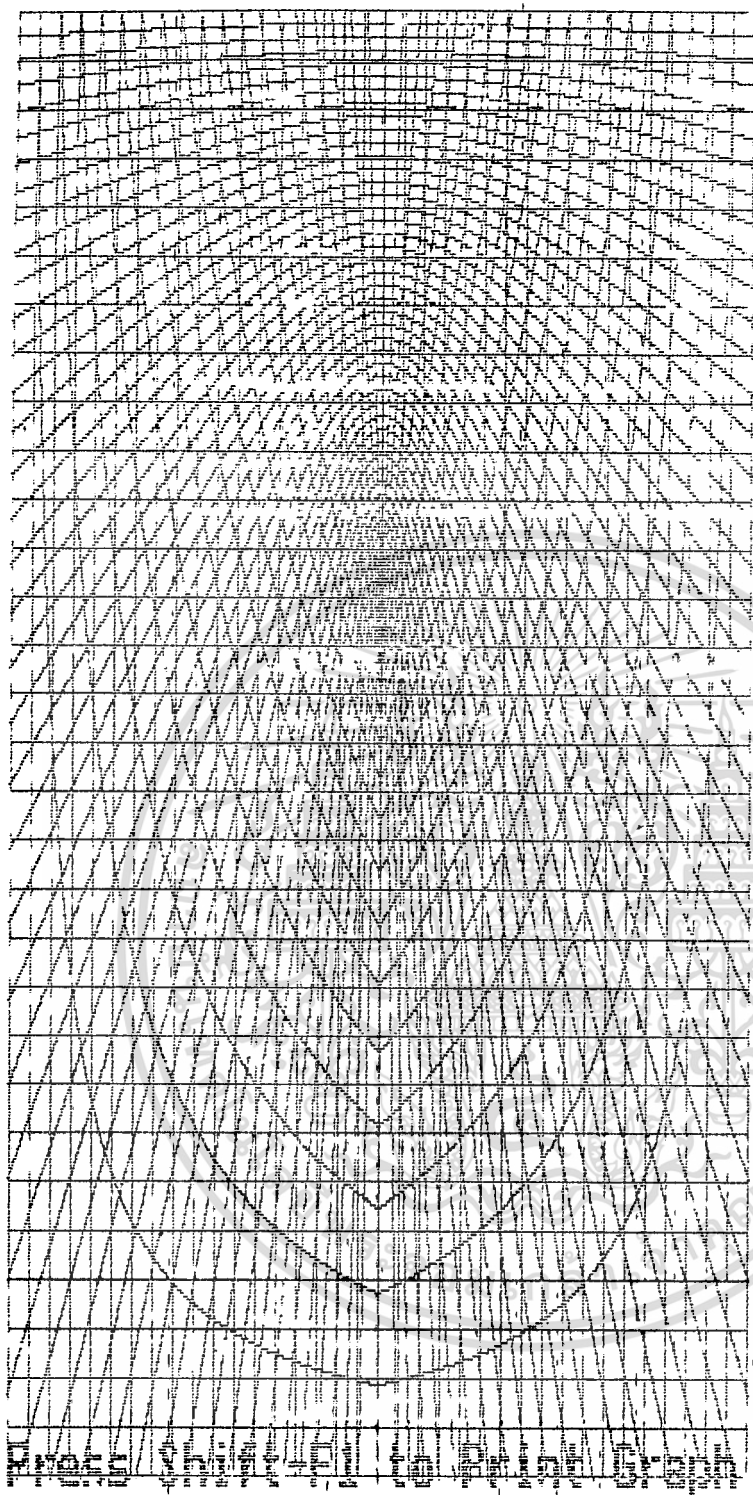
เอกสารนี้เป็นเอกสารที่สงวนไว้สำหรับการใช้เฉพาะที่อาคารศึกษาเท่านั้น ไม่อนุญาตให้นำไปใช้ประโยชน์ด้านการค้า
 ไม่ว่ากรณีใดๆทั้งสิ้น อีกทั้งห้ามมิให้คัดลอกเนื้อหา และต้องอ้างอิงถึงเจ้าของเอกสารทุกครั้งที่มีการนำไปใช้
 อัตราส่วน (FLOW-LINE/EQUIPOTENTIAL-LINE) = 0.2



FLOW NET OF PIPE

- เก็บจมลงในดิน 2 เมตร
- ความลึกของดิน 5 เมตร
- จำนวนช่อง/เมตร 5 ช่อง/เมตร
- จำนวนเส้น FLOW-LINE 16 เส้น
- จำนวนเส้น EQUIPOTENTIAL-LINE 74 เส้น

เอกสารนี้เป็นเอกสารที่สงวนลิขสิทธิ์ของมหาวิทยาลัยเทคโนโลยีพระจอมเกล้าธนบุรี อนุญาตให้นำไปใช้ประโยชน์ด้านการค้า
 ไม่ว่ากรณีใดๆทั้งสิ้น อัตราส่วน (FLOW-LINE/EQUIPOTENTIAL-LINE) = 0.22 ทุกครั้งที่มีการนำไปใช้



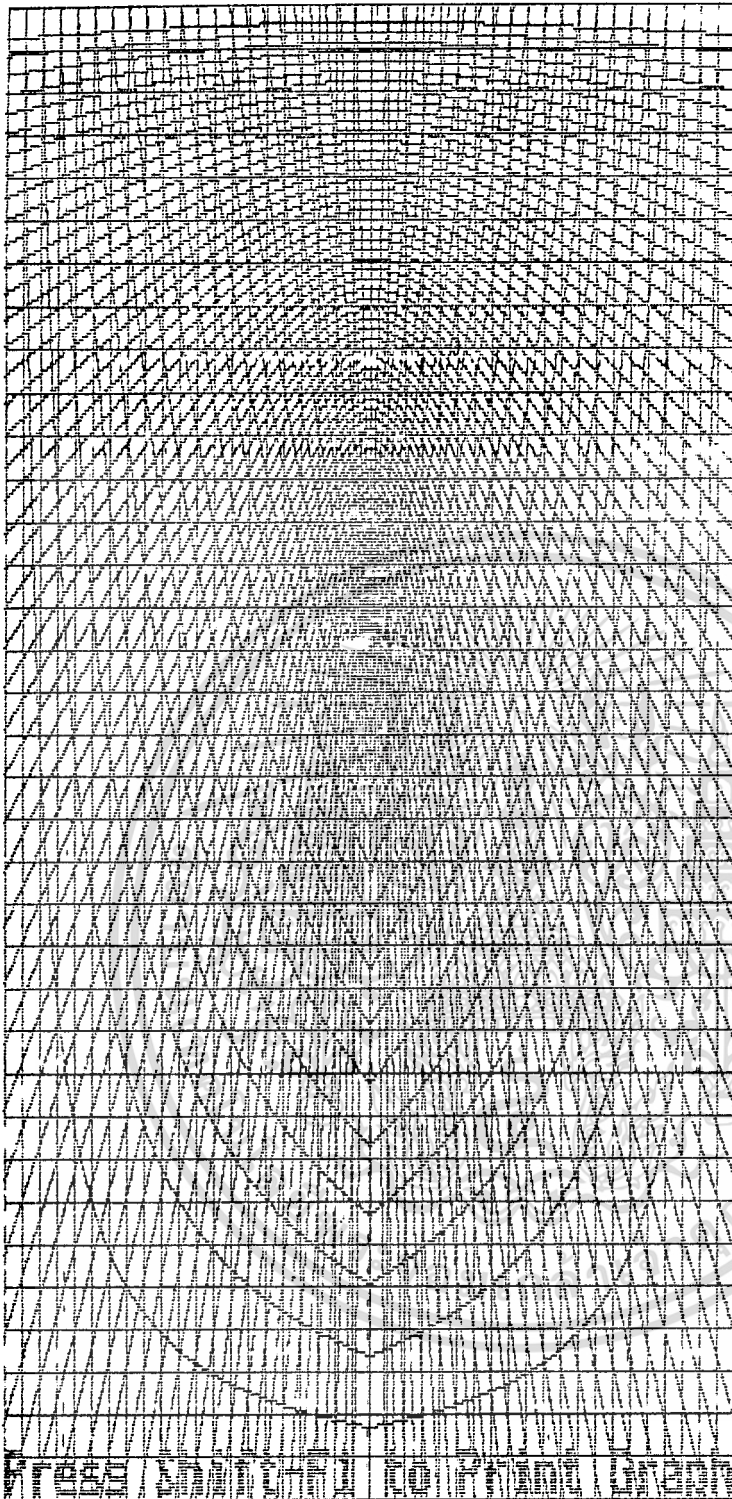
P-L-D-I-N-E-T OF F-I-L-E

- เข็มจมนลงในดิน 2 เมตร
- ความลึกของดิน 5 เมตร
- จำนวนช่อง/เมตร 6 ช่อง/เมตร
- จำนวนเส้น FLOW-LINE 19 เส้น

จำนวนเส้น EQUIPOTENTIAL-LINE 32 เส้น

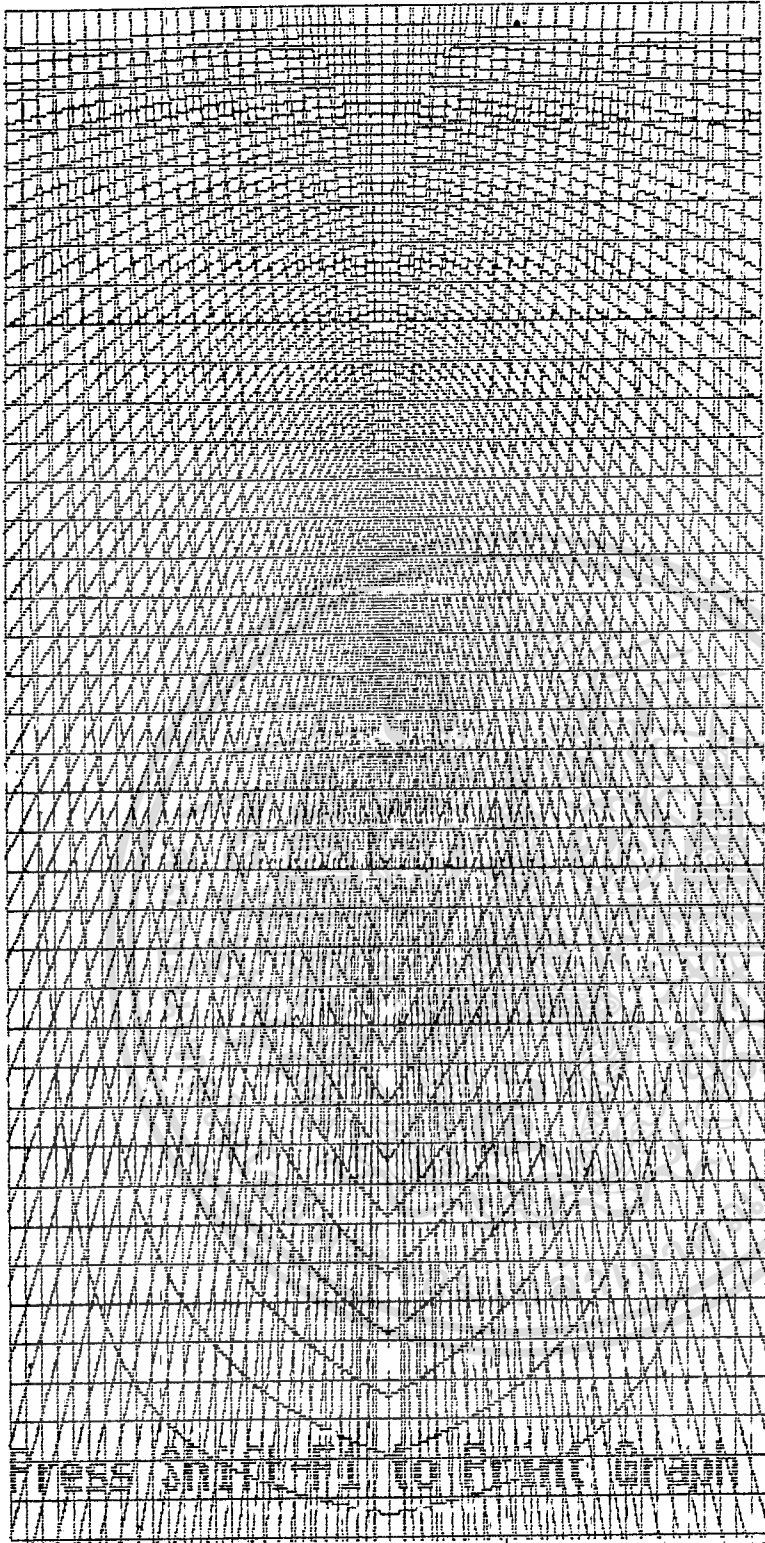
อัตราส่วน (FLOW-LINE/EQUIPOTENTIAL-LINE) = 0.59

เอกสารนี้เป็นเอกสารที่จัดทำขึ้นเพื่อใช้ในการเรียนการสอนเท่านั้น อนุญาตให้นำไปใช้ประโยชน์ด้านการค้า
ไม่ว่ากรณีใดๆทั้งสิ้น ถือว่าห้ามมิให้อัดแปลงเนื้อหา และต้องอ้างอิงถึงเจ้าของเอกสารทุกครั้งที่มีการนำไปใช้



- เข็มจมนลงในดิน 2 เมตร
- ความลึกของดิน 5 เมตร
- จำนวนช่อง/เมตร 7 ช่อง/เมตร
- จำนวนเส้น FLOW-LINE 22 เส้น
- จำนวนเส้น EQUIPOTENTIAL-LINE 122 เส้น

เอกสารนี้เป็นเอกสารที่สงวนลิขสิทธิ์ไว้สำหรับอาจารย์ผู้สอนเพื่อตรวจสอบความเข้าใจเท่านั้น ไม่ควรนำเอาไปใช้ประโยชน์ด้านการค้า
 ไม่ว่ากรณีใดๆทั้งสิ้น ถ้าท่านมีข้อผิดพลาดหรือข้อสงสัย กรุณาแจ้งให้ทราบโดยด่วน และต้องอ้างอิงถึงเจ้าของเอกสารทุกครั้งที่มีการนำไปใช้
 อัตราส่วน (FLOW-LINE/EQUIPOTENTIAL-LINE) = 0.18



ภาควิชาวิศวกรรมเครื่องกล
 คณะวิศวกรรมศาสตร์
 มหาวิทยาลัยเทคโนโลยีพระจอมเกล้าธนบุรี

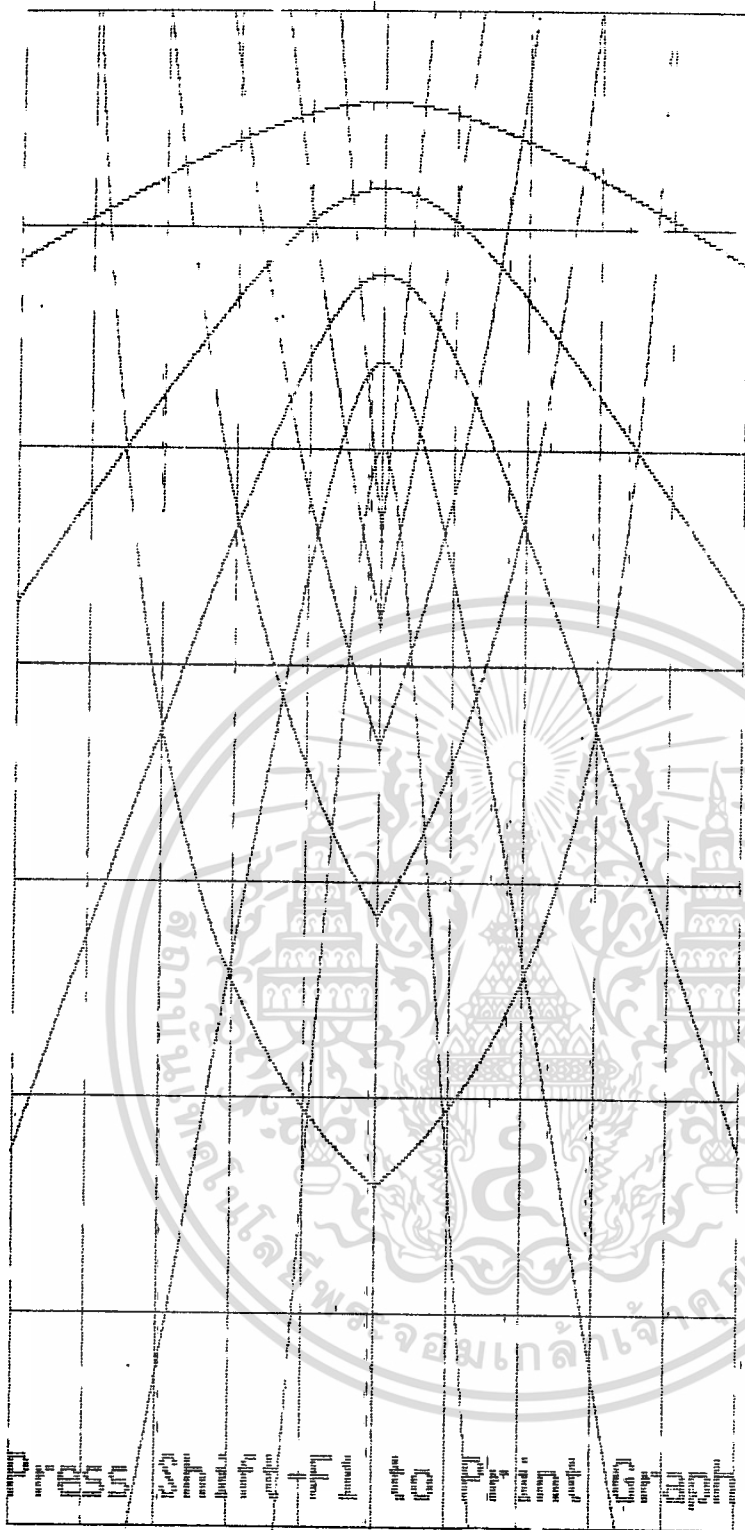
- เข้้มจมลงในดิน 2 เมตร
- ความลึกของดิน 5 เมตร
- จำนวนช่อง/เมตร 8 ช่อง/เมตร

จำนวนเส้น FLOW-LINE 25 เส้น

จำนวนเส้น EQUIPOTENTIAL-LINE 128 เส้น

อัตราส่วน (FLOW-LINE/EQUIPOTENTIAL-LINE) = 0.195

เอกสารนี้เป็นเอกสารที่สงวนไว้สำหรับการใช้งานเพื่อการศึกษาเท่านั้น ไม่อนุญาตให้นำไปใช้ประโยชน์ด้านการค้า
 ไม่ว่ากรณีใดๆทั้งสิ้น อีกทั้งห้ามเผยแพร่ต่อผู้อื่นโดยไม่ได้รับอนุญาต และต้องอ้างอิงถึงเจ้าของเอกสารทุกครั้งที่มีการนำไปใช้

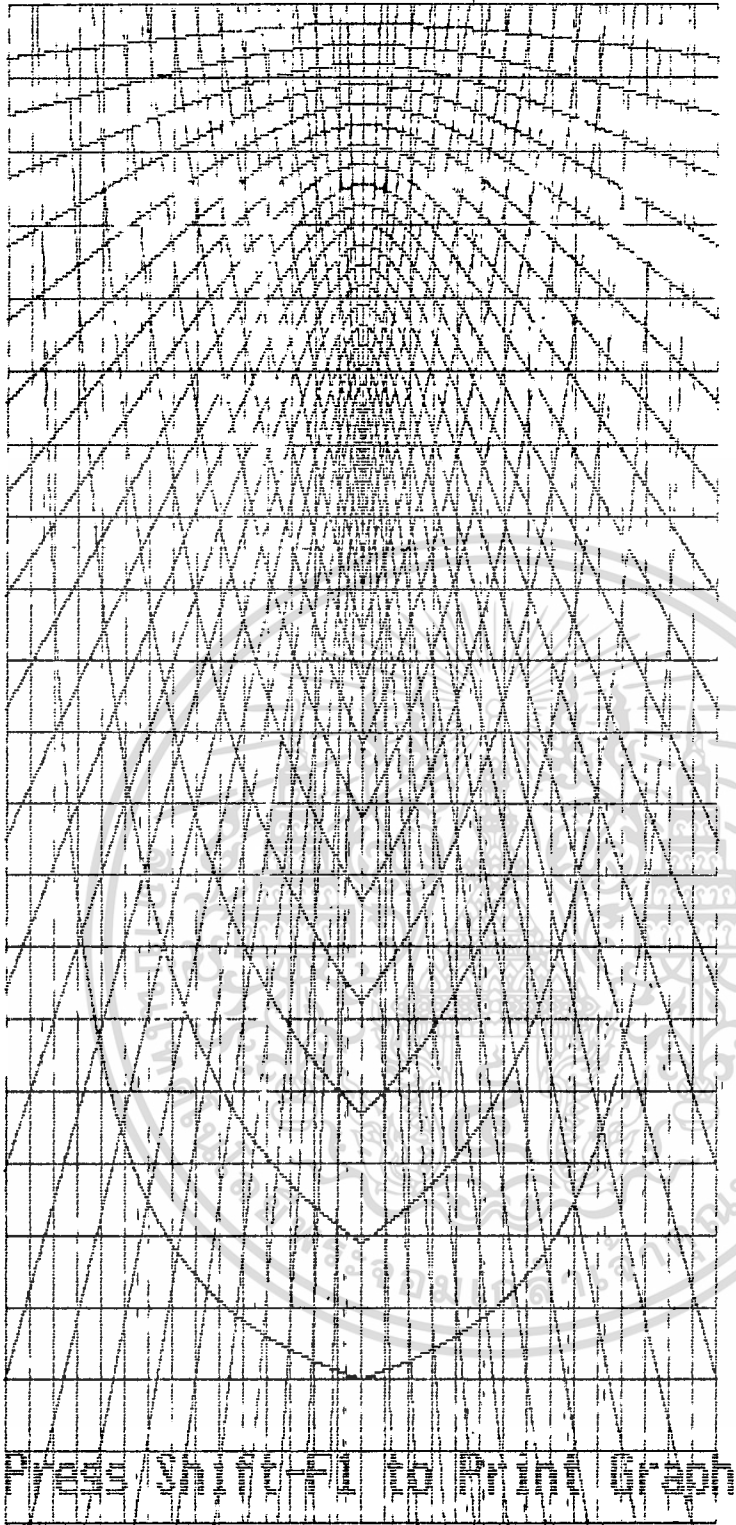


FLOWNET OF DAM

- เข้มจมลงในดิน 2 เมตร
- คว่ามลึกของดิน 7 เมตร
- จ่านวนช่อง/เมตร 1 ช่อง/เมตร
- จ่านวนเส้น FLOW-LINE(N_f) 6 เส้น

จ่านวนเส้น EQUIPOTENTIAL-LINE(N_d) 12 เส้น

เอกสารนี้เป็นเอกสารที่สงวนลิขสิทธิ์และสงวนสิทธิในรูปถ่ายนั้นไปอนุญาตให้นำไปใช้ประโยชน์ด้านการค้า
ไม่ว่ากรณีใดๆทั้งสิ้น อีกทั้งห้ามมิให้ดัดแปลงเนื้อหา และต้องอ้างอิงถึงเจ้าของเอกสารทุกครั้งที่มีการนำไปใช้
อัตราส่วน $N_f/N_d = 0.5$



ภาควิชาวิศวกรรมชลประทาน
 คณะวิศวกรรมศาสตร์
 มหาวิทยาลัยเทคโนโลยีพระจอมเกล้าธนบุรี

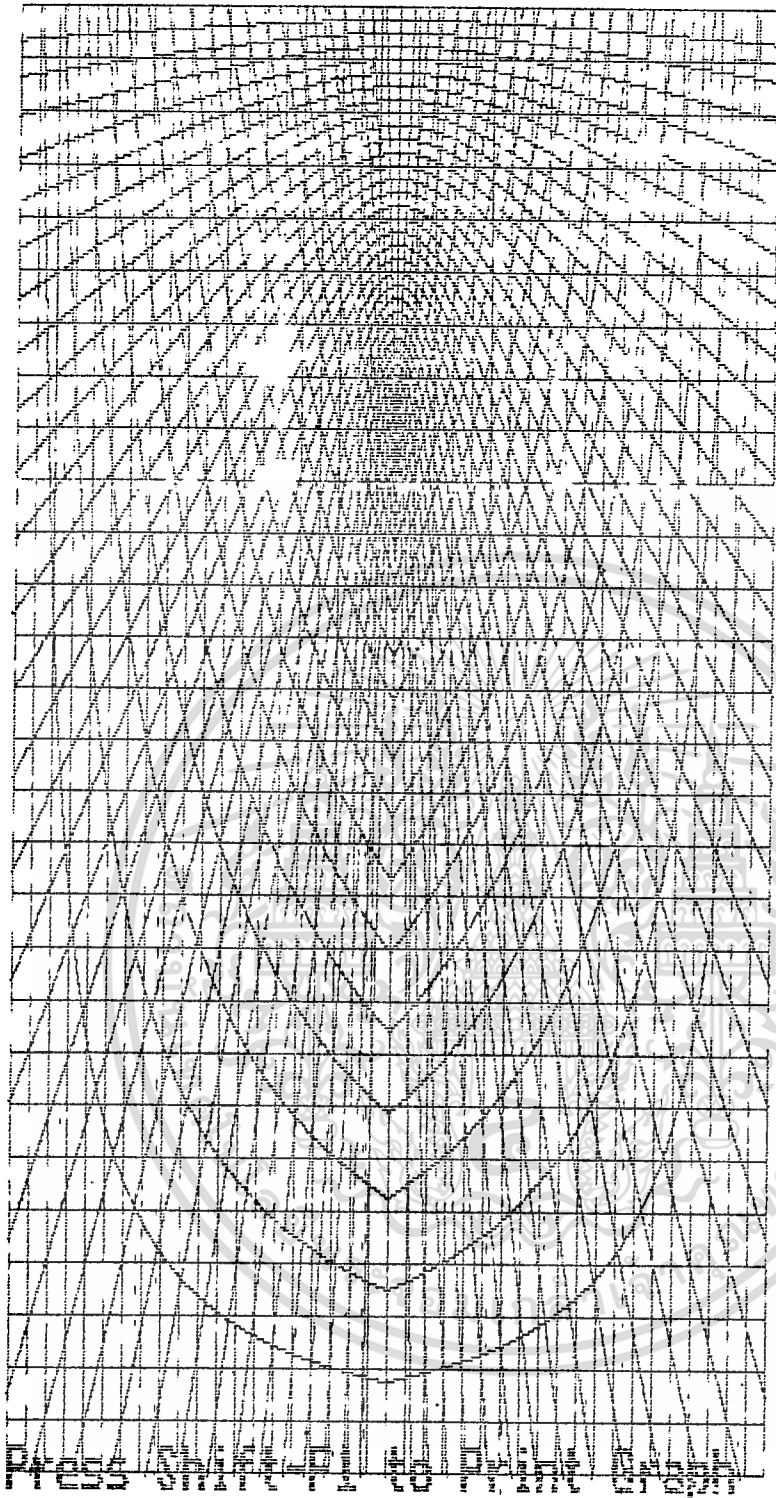
เข็มจมลงในดิน 2 เมตร
 ความลึกของดิน 7 เมตร
 จำนวนช่อง/เมตร 3 ช่อง/เมตร

จำนวนเส้น FLOW-LINE (N_f) 16 เส้น
 จำนวนเส้น EQUIPOTENTIAL-LINE (N_e) 46 เส้น

เอกสารนี้เป็นเอกสารที่สงวนลิขสิทธิ์ไว้สำหรับนักเรียนเพื่อการศึกษาเท่านั้น ไม่อนุญาตให้นำไปใช้ประโยชน์ด้านการค้า

ไม่ว่ากรณีใดๆ จำนวนเส้น FLOW-LINE (N_f) และ EQUIPOTENTIAL-LINE (N_e) ต้องใช้จำนวนช่องเอกสารทุกครั้งที่มีการนำไปใช้

อัตราส่วน $N_f / N_e = 0.35$



เข็มจมนลงในดิน , 2 เมตร

ความลึกของดิน 7 เมตร

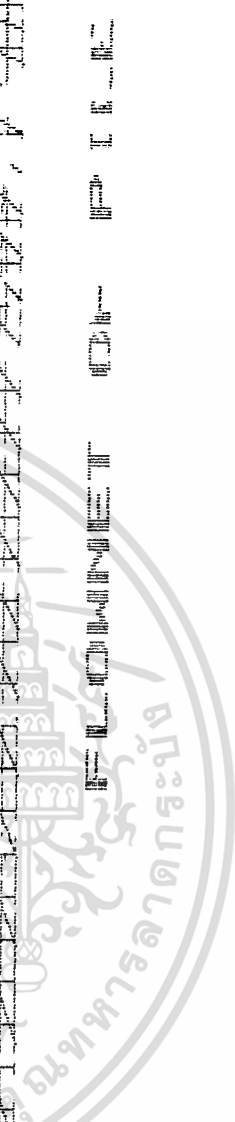
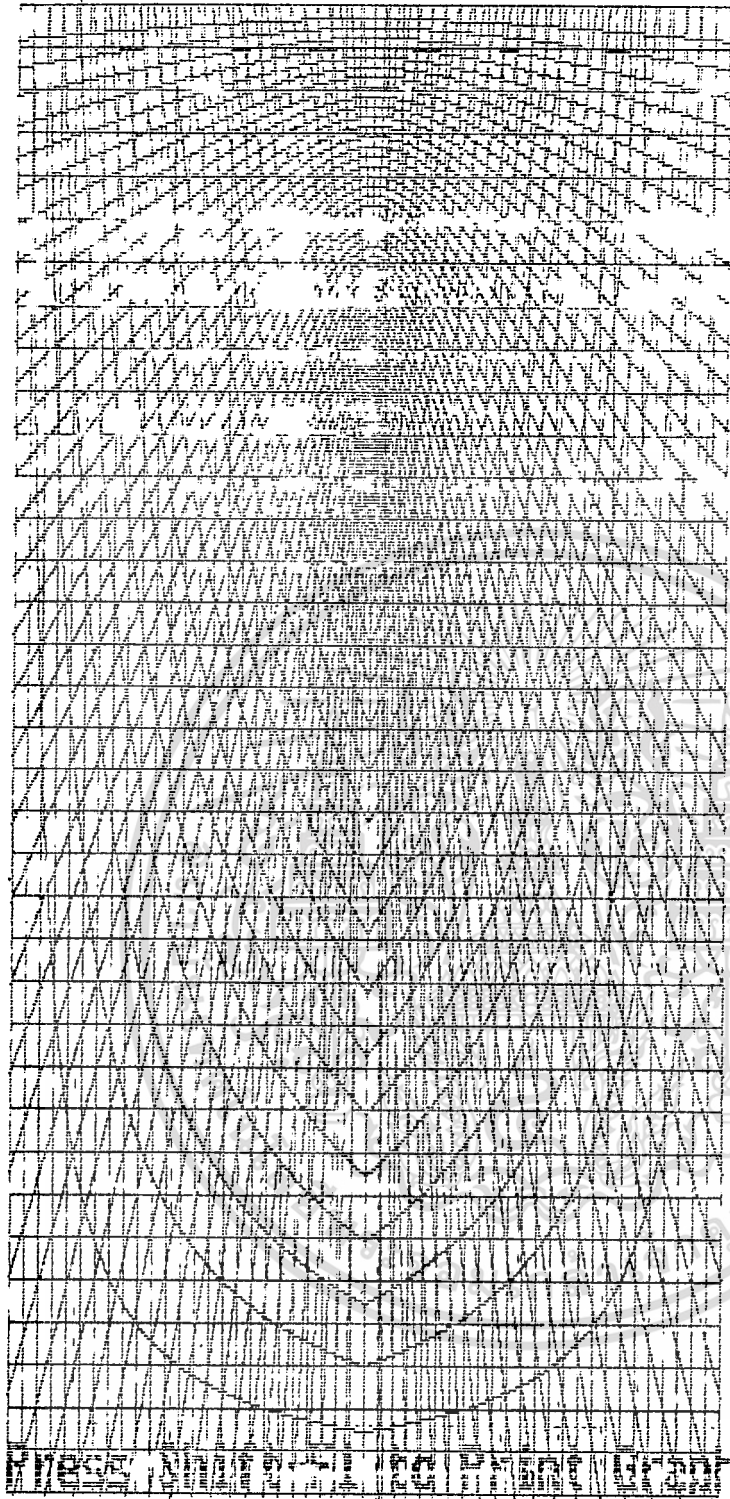
จำนวนช่อง/เมตร 4 ช่อง/เมตร

จำนวนเส้น FLOW-LINE (N_f) 21 เส้น

เอกสารนี้เป็นเอกสารที่สงวนไว้สำหรับการใช้งานเพื่อการศึกษาเท่านั้น ไม่อนุญาตให้นำไปใช้ประโยชน์ด้านการค้า

ไม่ว่ากรณีใดๆทั้งจำนวนเส้น EQUIPOTENTIAL-LINE (N_p) 66 ถึงเส้น ของเอกสารทุกครั้งที่มีการนำไปใช้

อัตราส่วน $N_f / N_p = 0.32$



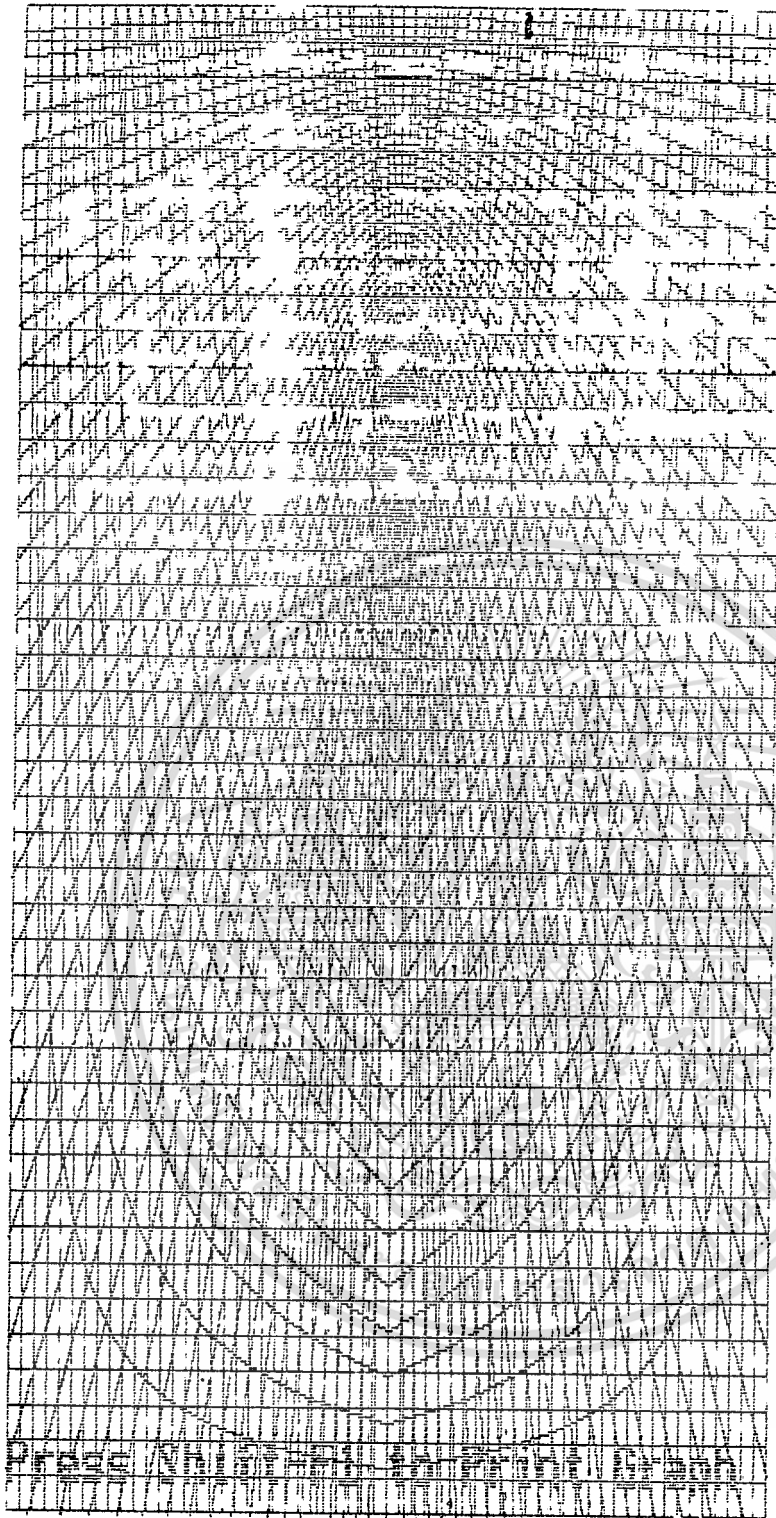
เข็มจมลงในดิน 2 เมตร
 ความลึกของดิน 7 เมตร
 จำนวนช่อง/เมตร 5 ช่อง/เมตร

จำนวนเส้น FLOW-LINE (N_f) 26 เส้น

เอกสารนี้เป็นเอกสารที่สงวนไว้สำหรับการใช้งานเพื่อการศึกษาเท่านั้น ไม่อนุญาตให้นำไปใช้ประโยชน์ด้านการค้า

ไม่ว่ากรณีใด จำนวนเส้น EQUIPOTENTIAL-LINE (N_e) คือ 88 เส้น เจ้าของเอกสารทุกครั้งที่มีการนำไปใช้

อัตราส่วน $N_f / N_e = 0.29$



วิศวกรรมศาสตรบัณฑิต
 DEPARTMENT OF CIVIL ENGINEERING

เข้มจมลงในดิน 2 เมตร

คววมลลภขงดลน 7 เมตร

จ้ำนวนช่อง/เมตร 6 ช่อง/เมตร

จ้ำนวนเส้น FLOW-LINE (N_f) 31 เส้น

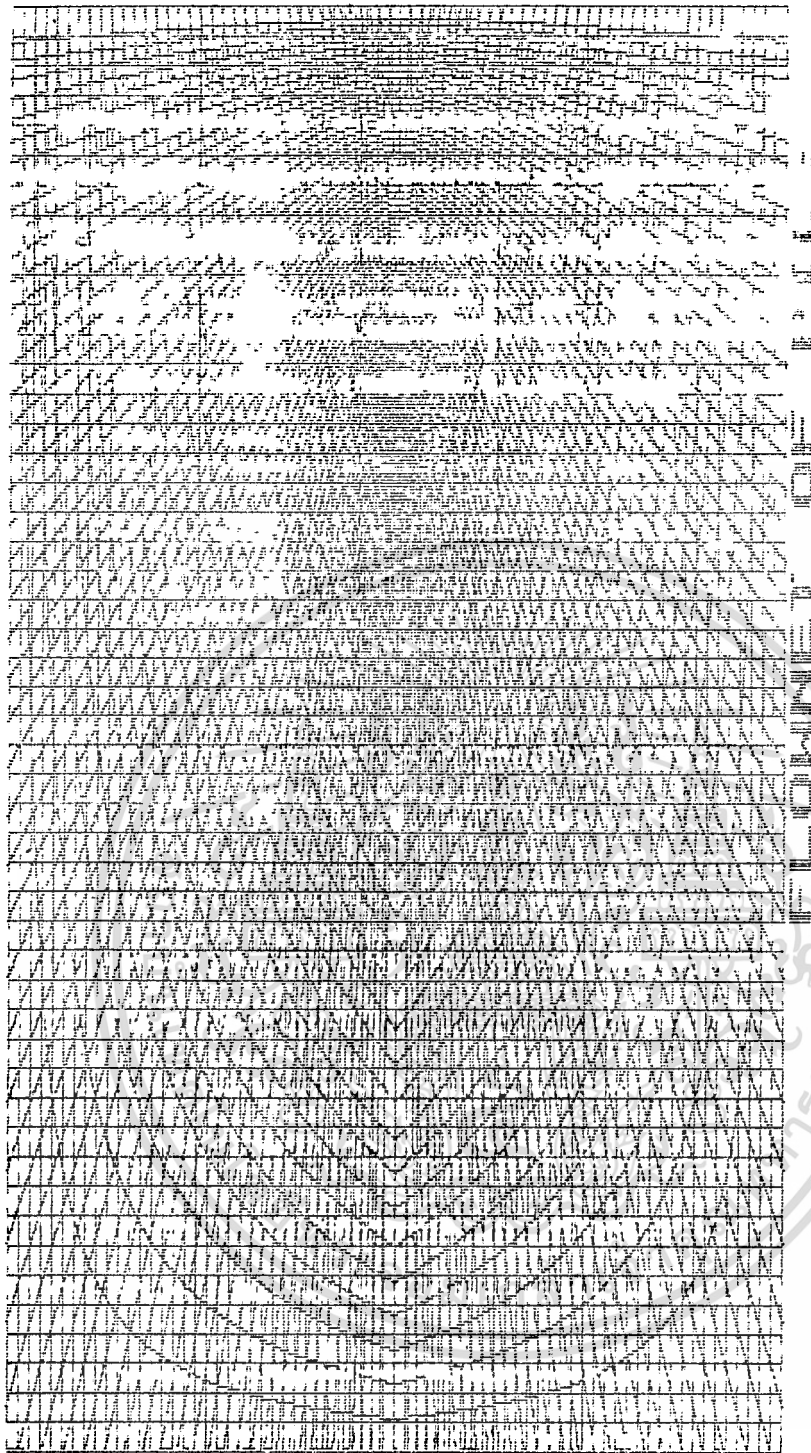
ไม่ว่ำนกรณลโดท้ำนจ้ำนวนเส้น EQUIPOTENTIAL-LINE (N_d) 90 เส้น

อัตราส่วน $N_f/N_d = 0.34$

เอกสรน้เป็นเอกสรทลสงวนว้สทหรบการใชงำนเพื่อการศลขท้ำนน ม่อนุญาดให้นำไปใช้ประโยชนด้ำนการค้ำน

ไม่ว่ำนกรณลโดท้ำนจ้ำนวนเส้น EQUIPOTENTIAL-LINE (N_d) 90 เส้น

อัตราส่วน $N_f/N_d = 0.34$



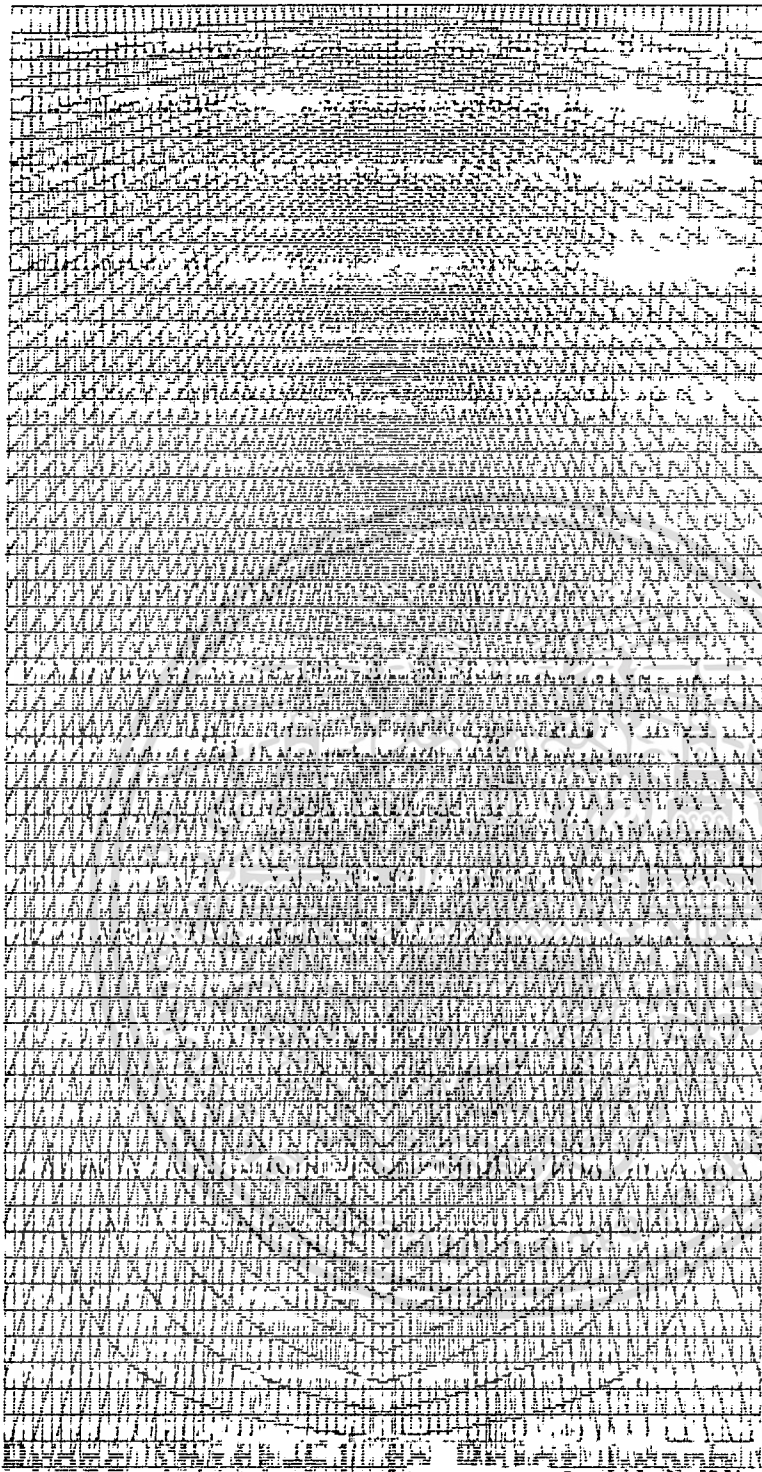
Press Shift-F1 to Print Graph

- เข็มจมลงในดิน 2 เมตร
- ความลึกของดิน 7 เมตร
- จำนวนช่อง/เมตร 7 ช่อง/เมตร

จำนวนเส้น FLOW-LINE(N_f) 36 เส้น

เอกสารนี้เป็นเอกสารที่สงวนไว้สำหรับการใช้งานเพื่อการศึกษาเท่านั้น ไม่อนุญาตให้นำไปใช้ประโยชน์ด้านการค้า
ไม่ว่ากรณีใดๆ ทั้งจำนวนเส้น EQUIPOTENTIAL-LINE(N_e) 126 เส้น ของเอกสารทุกครั้งที่มีการนำไปใช้

อัตราส่วน $N_f/N_e = 0.29$



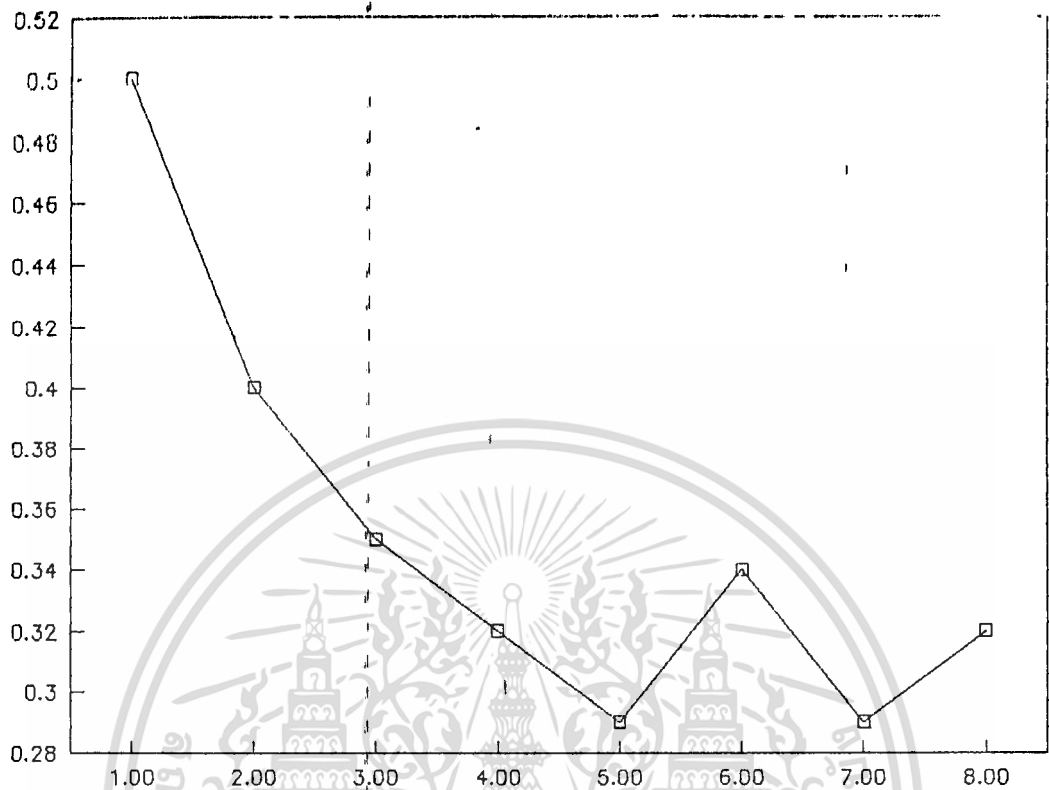
ภาควิชาวิศวกรรมโยธา
 คณะวิศวกรรมศาสตร์
 มหาวิทยาลัยเทคโนโลยีพระจอมเกล้าธนบุรี

เข็มจมลงในดิน 2 เมตร
 ความลึกของดิน 7 เมตร
 จำนวนช่อง/เมตร 8 ช่อง/เมตร

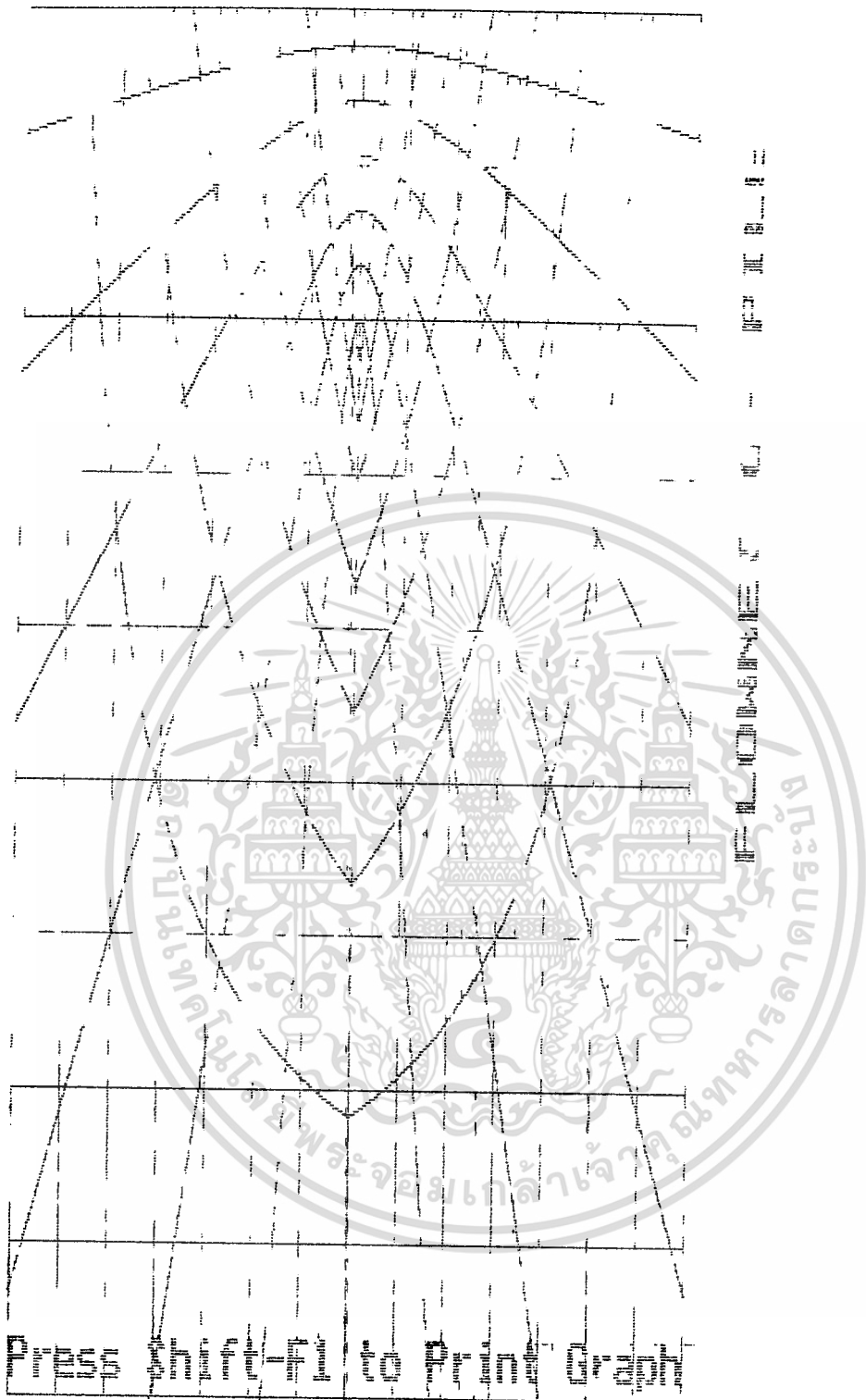
จำนวนเส้น FLOW-LINE(N_f) 41 เส้น
 จำนวนเส้น EQUIPOTENTIAL-LINE(N_d) 128 เส้น

เอกสารนี้เป็นเอกสารที่สงวนไว้สำหรับการใช้งานเพื่อการศึกษาเท่านั้น ไม่อนุญาตให้นำไปใช้ประโยชน์ด้านการค้า
 ไม่ว่ากรณีใดๆทั้งสิ้น ยกเว้นที่มอบให้แต่เพียงอย่างเดียว และต้องอ้างอิงถึงชื่อของเอกสารทุกครั้งที่มีการนำไปใช้

อัตราส่วน $N_f/N_d = 0.32$



กราฟรูปความสัมพันธ์ของจำนวนช่อง/เมตร กับ อัตราส่วนของ FLOW-LINE(N_f) กับ EQUIPOTENTIAL LINE(N_e) กรณีเพิ่มจมน้ำดิน 2 เมตร ความลึกของดิน 7 เมตร



เข็มจมนลงในดิน 2 เมตร

ความลึกของดิน 9 เมตร

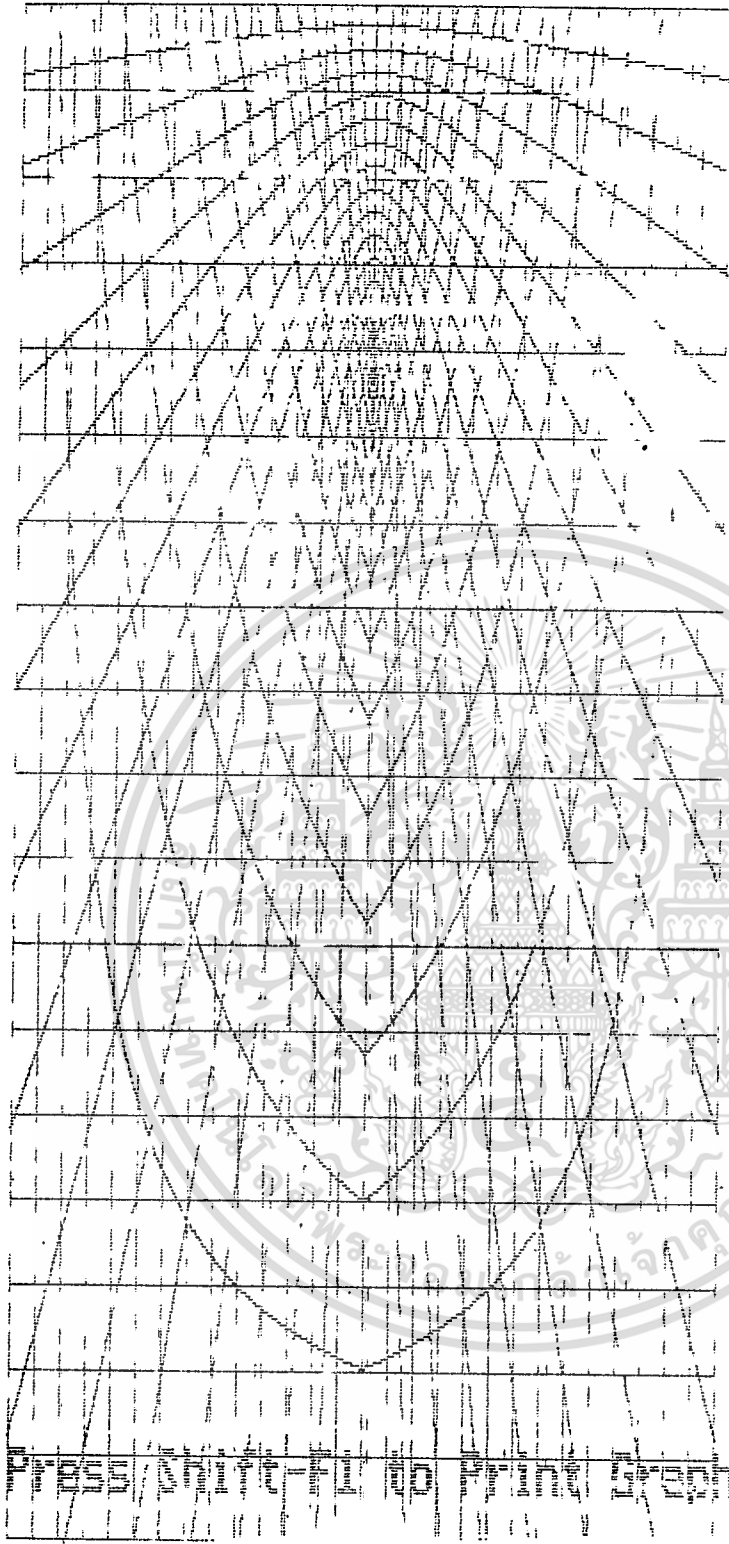
จำนวนช่อง/เมตร 1 ช่อง/เมตร

จำนวนเส้น FLOW-LINE (N_f) 8 เส้น

เอกสารนี้เป็นเอกสารที่สงวนไว้สำหรับการใช้งานเพื่อการศึกษาเท่านั้น ไม่อนุญาตให้นำไปใช้ประโยชน์ด้านการค้า

ไม่ว่ากรณีใดๆ ห้ามเผยแพร่หรือทำซ้ำโดยไม่ได้รับอนุญาตจากเจ้าของเอกสารทุกครั้งที่มีการนำไปใช้

อัตราส่วน $N_f/N_e = 0.57$

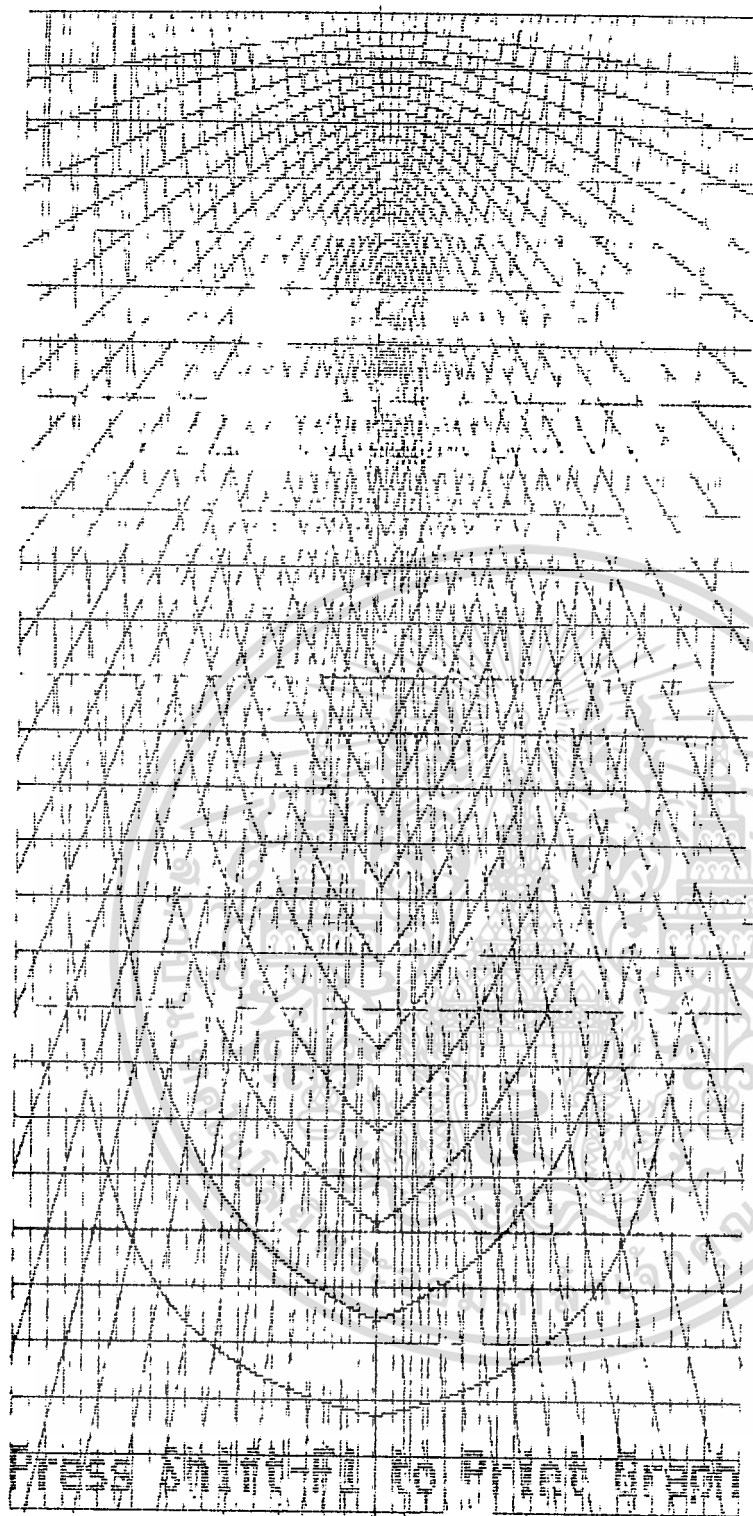


เข็มจมลงในดิน 2 เมตร
 ความลึกของดิน 9 เมตร
 จำนวนท่อ/เมตร 2 ท่อ/เมตร

จำนวนเส้น FLOW-LINE (N_f) 15 เส้น
 จำนวนเส้น EQUIPOTENTIAL-LINE (N_e) 32 เส้น

เอกสารนี้เป็นเอกสารลิขสิทธิ์ของมหาวิทยาลัยเทคโนโลยีพระจอมเกล้าธนบุรี ไม่อนุญาตให้นำไปใช้ประโยชน์ด้านการค้า

ไม่ว่ากรณีใดๆ ทั้งนี้เอกสารนี้เป็นเอกสารที่ต้องอ้างอิงถึงเจ้าของเอกสารทุกครั้งที่มีการนำไปใช้



• เข็มจมลงในดิน 2 เมตร

ความลึกของดิน 9 เมตร

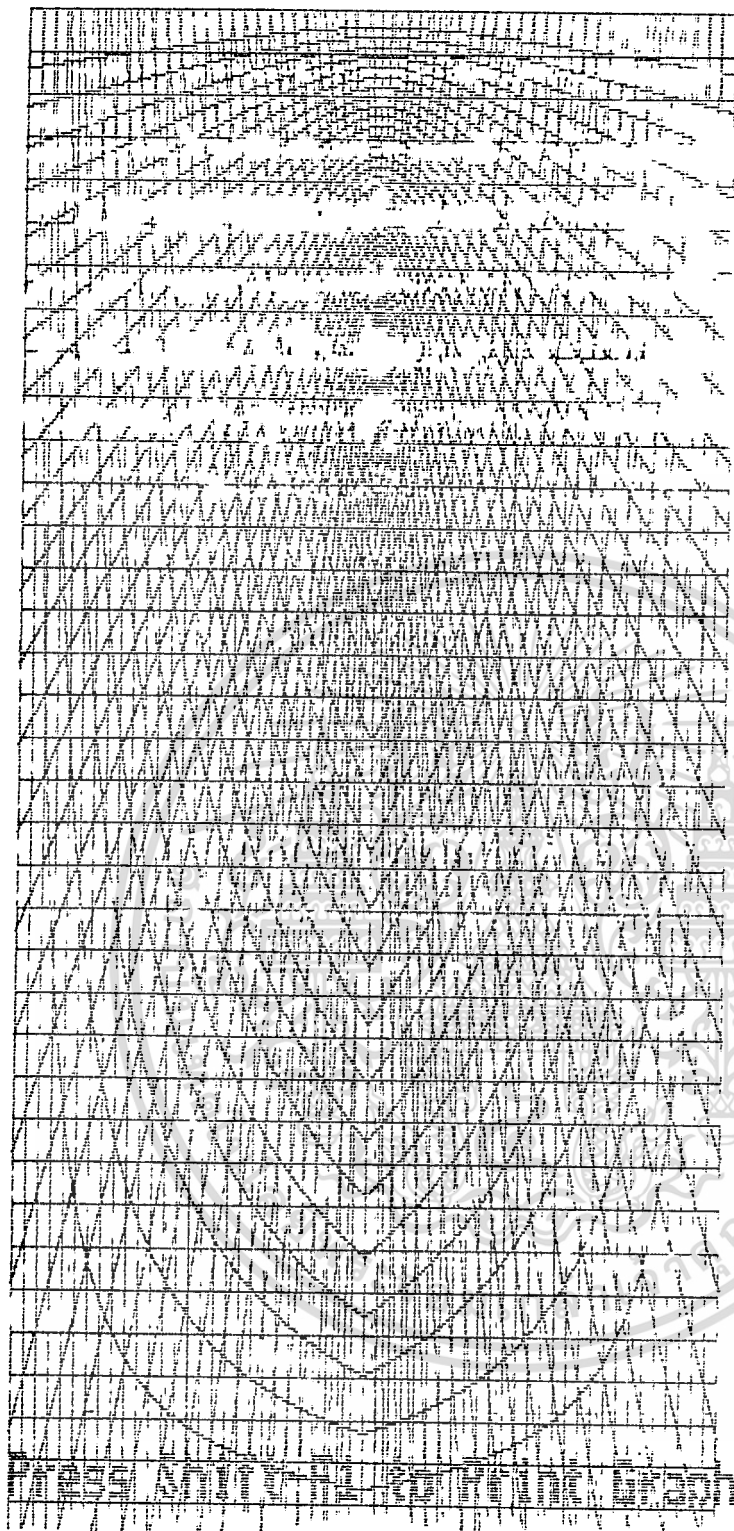
จำนวนช่อง/เมตร 3 ช่อง/เมตร

จำนวนเส้น FLOW-LINE(N_f) 22 เส้น

จำนวนเส้น EQUIPOTENTIAL-LINE(N_e) 52 เส้น

อัตราส่วน $N_f / N_e = 0.42$

เอกสารนี้เป็นเอกสารที่สงวนไว้สำหรับการใช้งานเพื่อการศึกษาเท่านั้น ไม่อนุญาตให้นำไปใช้ประโยชน์ด้านการค้า
ไม่ว่ากรณีใดๆทั้งสิ้น ยกเว้นตามมติเห็นชอบของอธิบดีฯ และต้องแจ้งเจ้าของเอกสารทุกครั้งที่มีการนำไปใช้



เข็มจมนลงในดิน 2 เมตร

ความลึกของดิน 9 เมตร

จำนวนช่อง/เมตร 4 ช่อง/เมตร

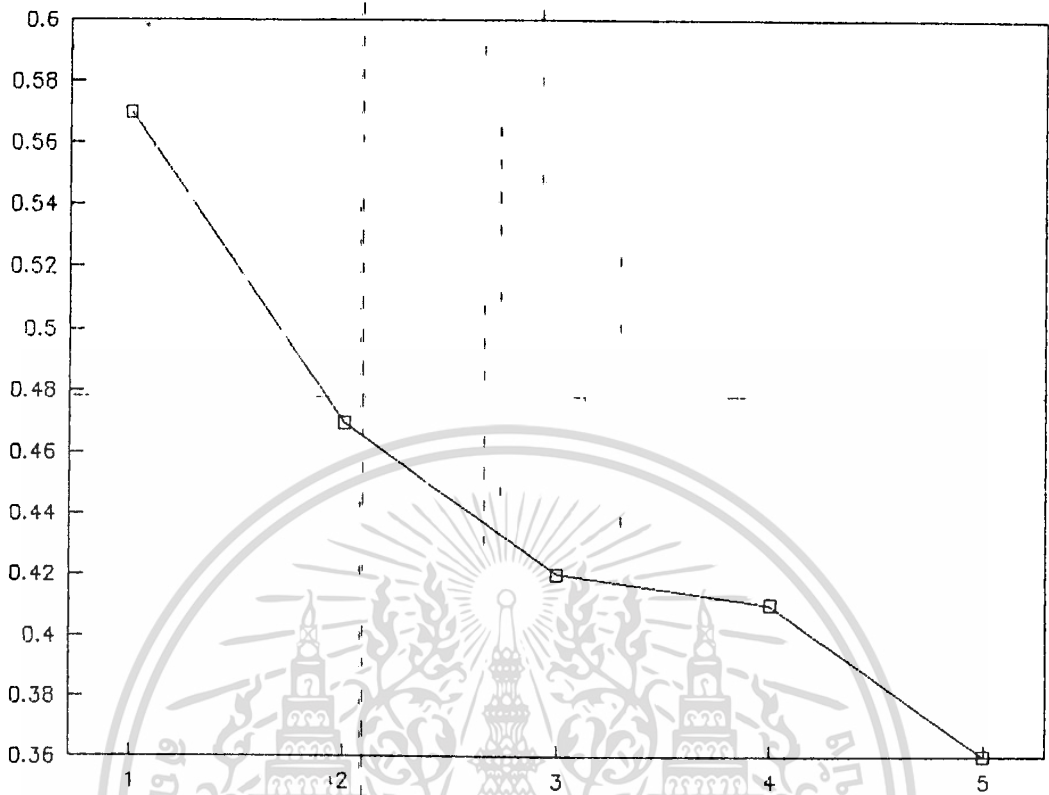
จำนวนเส้น FLOW-LINE(N_f) 29 เส้น

จำนวนเส้น EQUIPOTENTIAL-LINE(N_d) 70 เส้น

อัตราส่วน $N_f/N_d = 0.41$

เอกสารนี้เป็นเอกสารที่สงวนไว้สำหรับการใช้งานเพื่อการศึกษาเท่านั้น ไม่อนุญาตให้นำไปใช้ประโยชน์ด้านการค้า

ไม่ว่ากรณีใดๆทั้งสิ้น อีกทั้งห้ามมิให้คัดลอกหรือเผยแพร่ข้อมูลอันเป็นลิขสิทธิ์ของเอกสารทุกครั้งที่มีการนำไปใช้



กราฟรูปความสัมพันธ์ของจำนวนช่อง/เมตร กับ อัตราส่วนของ FLOW-LINE(N_f) กับ EQUIPOTENTIAL LINE(N_e) กรณีเพิ่มจมน้ำดิน 2 เมตร ความลึกของดิน 9 เมตร

วิเคราะห์

จากกราฟแสดงผลระหว่างค่าของ จำนวนช่อง/เมตร กับค่าอัตราส่วน N_e (FLOW-LINE) ต่อ N_u (EQUIPOTENTIAL-LINE) ในเงื่อนไขต่างๆเมื่อเราวิเคราะห์ผลการทำงานของโปรแกรมจะพบว่า ค่าเริ่มแรกจะลดลงไปถึงจุดหนึ่ง แล้วจะเริ่มมีค่าเพิ่มขึ้น โดยอ้างจากทฤษฎีที่เรานำมาวิเคราะห์นั้น เราได้กล่าวถึงการสร้างตะแกรงโดยมีหลักเกณฑ์ของสี่เหลี่ยมจัตุรัส เราจะพบว่า ในขอบเขตหนึ่งที่เป็นลักษณะสี่เหลี่ยมผืนผ้า หากเราแบ่งขอบเขตนั้นเป็นช่องเล็กๆ การที่จะได้จำนวนช่องที่มากที่สุดได้ คือ เราจะต้องแบ่งให้เป็นช่องสี่เหลี่ยมจัตุรัส นั่นก็แสดงให้เห็นว่า จำนวนช่องในทางยาวจะมีค่ามากกว่าจำนวนช่องทางแนวกว้าง ซึ่งจำนวนช่องทางแนวยาวก็คือค่าของจำนวนเส้น EQUIPOTENTIAL-LINE ส่วนจำนวนช่องทางแนวกว้างก็คือค่าของจำนวนเส้น FLOW-LINE เราจะพบว่า ถ้าการแบ่งช่องเข้าใกล้การเป็นสี่เหลี่ยมจัตุรัสแล้ว ค่าของจำนวนเส้น EQUIPOTENTIAL-LINE จะเพิ่มมากขึ้นและจะทำให้อัตราส่วน N_e/N_u จากค่าที่เริ่มต้นจะลดลงถึงจุดที่จะเกิดช่องเป็นสี่เหลี่ยมจัตุรัส ซึ่งจากกราฟในตัวอย่างของเพื่อนและเพิ่ม เราจะพบว่า ในจุดที่วกกลับจะทำให้เกิดการแบ่งช่องเป็นลักษณะสี่เหลี่ยมจัตุรัสมากที่สุด และด้วยผลจากกราฟ ทำให้เราสามารถที่จะนำเอาโปรแกรมดังกล่าวมาใช้ในงานที่ช่วงของ MESH ค่าหนึ่งได้

สรุป

จากผลการวิเคราะห์ ทำให้เราทราบว่าค่าที่จะนำมาใช้งานควรจะเป็นค่าอยู่ใน
ขอบเขตของจำนวนช่อง/เมตรที่ 3-5 ช่อง/เมตร และกรณีพื้นฐานเขื่อนกว้าง 2 ถึง
10 เมตร

ลักษณะข้อดีและข้อเสียของโปรแกรมนี้คือ

ข้อดี:

1. สามารถที่จะนำมาวิเคราะห์ FLOWNET ได้ และทำให้เราทราบค่าอัตราการไหลของน้ำผ่านชั้นดินได้
2. สำหรับชั้นดินที่มีความลึกมากๆ การใช้ลากด้วยมือข้อม เป็นเรื่องที่ยาก การใช้โปรแกรมนี้จะช่วยให้สะดวกเพิ่มขึ้น
3. ใช้เป็นพื้นฐานในการวิเคราะห์เขื่อนในกรณีอื่นอีก
4. สามารถสร้างความละเอียดโดยอยู่บนพื้นฐานของคณิตศาสตร์

ข้อเสีย:

1. ยังไม่สามารถนำมาเป็นมาตรฐานในการวิเคราะห์ได้อย่างแท้จริง จนกว่าจะมีการพัฒนาโปรแกรมนี้โดยใช้ทฤษฎีที่แตกต่างออกไป แล้วนำมาเปรียบเทียบกัน เพื่อหาข้อสรุปต่อไป
2. โปรแกรมดังกล่าวยังมีข้อจำกัดในการใช้งานอยู่มาก เช่น ใช้ได้กับเขื่อนขนาดเล็กเท่านั้น
3. ใช้เวลาในการประมวลผลค่อนข้างช้า
4. เนื่องจากผลของภาษาที่ใช้ทำให้ไม่สามารถวิเคราะห์ความละเอียดที่จำนวนมากๆ ได้

บรรณานุกรม

Abdel-Aziz Ismail Kashef ; GROUND WATER ENGINEERING, McGRAW-HILL
(1987)

พ.อ. ไพโรจน์ เกียรติศิริ ; วิชาศาสตร์กับไมโครคอมพิวเตอร์; นิสิตส์เซ็นเตอร์ (2532)

มณฑิร กิ่งศรีเกษม ; กลศาสตร์ของดินด้านวิศวกรรม สมาคมศิษย์เก่า
วิศวกรรมชลประทาน (2533)



ภาคผนวก

- ตัวอย่างการคำนวณด้วยมือเปรียบเทียบกับคอมพิวเตอร์
- คู่มือการใช้โปรแกรม
- ข้อมูลการเขียนโปรแกรม



เอกสารนี้เป็นเอกสารที่สงวนไว้สำหรับการใช้งานเพื่อการศึกษาเท่านั้น ไม่อนุญาตให้นำไปใช้ประโยชน์ด้านการค้า
ไม่ว่ากรณีใดๆทั้งสิ้น อีกทั้งห้ามมิให้ดัดแปลงเนื้อหา และต้องอ้างอิงถึงเจ้าของเอกสารทุกครั้งที่มีการนำไปใช้

วิธีการวิเคราะห์

วิธีการวิเคราะห์ค่าถ่ายเทของน้ำในโครงการนี้ เราเลือกใช้วิธีการที่เรียกว่า MESH RELAXATION METHOD วิธีดังกล่าวได้พัฒนามาจากวิธีทางคณิตศาสตร์ LAPLACE โดยขั้นตอนการทำวิธีดังกล่าวอยู่ในหลักเกณฑ์ที่ว่า เราจะต้องสร้างตะแกรงขึ้นเพื่อเป็นการกำหนดตำแหน่งของเส้น FLOW-LINE ที่จะวาด โดยตะแกรงดังกล่าวจะเกิดจากตัวแปรที่ผู้ใช้ป้อนเข้าไป ตัวแปรดังกล่าวได้แก่ ความยาวของฐานเขื่อน และความลึกของชั้นดิน จากความลึกของชั้นดินจะเป็นตัวกำหนดจำนวนเส้น FLOW-LINE ของเราในการวาดในแต่ละครั้ง เช่น เราหากกำหนดความลึกมากๆ หรือ กำหนดความละเอียดจำนวนช่องต่อเมตรมากๆ ซึ่งเป็นตัวแปรอีกตัวหนึ่งที่ผู้ใช้จะต้องกำหนดเข้าไปในโปรแกรมโดยโปรแกรมจะเรียกถามก่อนการวาดภาพ เราจะได้จำนวนเส้น FLOW-LINE มากขึ้นด้วย เมื่อเราทราบตำแหน่งเริ่มต้นและสุดท้ายของเส้น FLOW-LINE ในแต่ละเส้นแล้ว จากความสัมพันธ์ทางคณิตศาสตร์ระหว่างเส้น FLOW-LINE และ เส้น EQUIPOTENTIAL-LINE เราจะได้สมการทางคณิตศาสตร์ดังนี้

เส้น FLOW-LINE เกิดความสัมพันธ์ทางคณิตศาสตร์เป็นรูปไฮเพอโบลา ซึ่งมีสมการดังนี้

$$X * Y = \text{CONST}$$

เส้น EQUIPOTENTIAL-LINE เกิดความสัมพันธ์ทางคณิตศาสตร์เป็นรูปไฮเพอโบลา ซึ่งมีสมการดังนี้

$$X^2 - Y^2 = \text{CONST}$$

เราจะนำความสัมพันธ์นี้มาลากเส้นทั้ง FLOW-LINE และ เส้น EQUIPOTENTIAL-LINE เพื่อให้เข้าใจในวิธีดังกล่าวเราจะแสดงตัวอย่างในการวิเคราะห์โดย MESH RELAXATION METHOD โดยจะสมมติให้ผู้ใช้ป้อนข้อมูลดังนี้

ความยาวฐานเขื่อน 2 เมตร

ความลึกของชั้นดิน 3 เมตร

จำนวนช่อง/เมตร 1 ช่อง/เมตร

เราจะได้ตะแกรงดังนี้

1									
2									
3									
4									
5									
	1	2	3	4	5	6	7	8	9

โดยเราจะมีสมมติฐานให้พื้นฐานเขื่อนมีค่าเป็นประมาณ 100 ค่าถัดจากนั้นจะลดลง โดยมีค่าที่ลดลงเท่ากับ 100 หารด้วย ความลึกของเขื่อน จากตัวอย่างจะได้ที่ละให้ลดลงมีค่าเท่ากับ $100/3$ ได้ค่าประมาณ 33 นั่นคือตำแหน่งที่เป็น 100 อยู่ที่ (4, 2), (5, 2), (6, 2) ส่วนที่อยู่เหนือฐานเขื่อนได้แก่ (4, 1), (5, 1), (6, 1) เราให้มีค่าเท่ากับ 0 ส่วนที่ตำแหน่ง (3, 1), (3, 2), (3, 3), (4, 3), (5, 3), (6, 3), (7, 3), (7, 2), (7, 1) ลักษณะเป็นรูปตัว U จะมีค่าเท่ากับ $100 - 33 = 66$ ส่วนในตำแหน่ง (2, 1), (2, 2), (2, 3), (2, 4), (2, 4), (3, 4), (4, 4), (5, 4), (6, 4), (7, 4), (8, 4), (8, 3), (8, 2), (8, 1) ลักษณะเป็นรูปตัว U ใหญ่ขึ้นจะมีค่าเท่ากับ $66 - 33 = 33$ ส่วนที่ตำแหน่ง (1, 1), (1, 2), (1, 3), (1, 4), (1, 5), (2, 5), (3, 5), (4, 5), (5, 5), (6, 5), (7, 5), (8, 5), (9, 5), (9, 4), (9, 3), (9, 2), (9, 1) มีค่าเท่ากับ $33 - 33 = 0$ เมื่อเราใส่ค่าลงไปในแต่ละจุดขั้นตอนต่อไปเราจะใช้วิธีทางคณิตศาสตร์ LAPLACE เปลี่ยนค่าในจุดที่เรากำหนดขยกเว้นจุดที่มีค่าเป็น 100 และ 0 ที่เราจะไม่นำมาทำ LAPLACE ยังมีค่าเป็นค่าเดิมอยู่ เมื่อผ่านขั้นตอนนี้แล้วเราจะหาตำแหน่งของเส้น FLOW-LINE ที่จะวาดว่าควรอยู่ที่ไหนของบนตะแกรงแล้ววาดเส้นนี้โดยสมการที่ได้กล่าวถึงแล้วอีกทีหนึ่ง เมื่อเราวาดเส้น FLOW-LINE เรียบร้อยแล้ว เราก็จะดำเนินการในการวาดเส้น EQUIPOTENTIAL-LINE ต่อไป

ตัวอย่าง

จากรูปแสดงรูปตัดของเขื่อนคอนกรีตซึ่งตั้งอยู่บนดินที่น้ำสามารถซึมผ่านได้เล็กน้อย
ใต้ชั้นดินลงไปเป็นชั้นดินที่น้ำไม่สามารถซึมผ่านได้ จงเขียน Flow net จงหาอัตรา
การรั่วซึมของน้ำได้เดือน

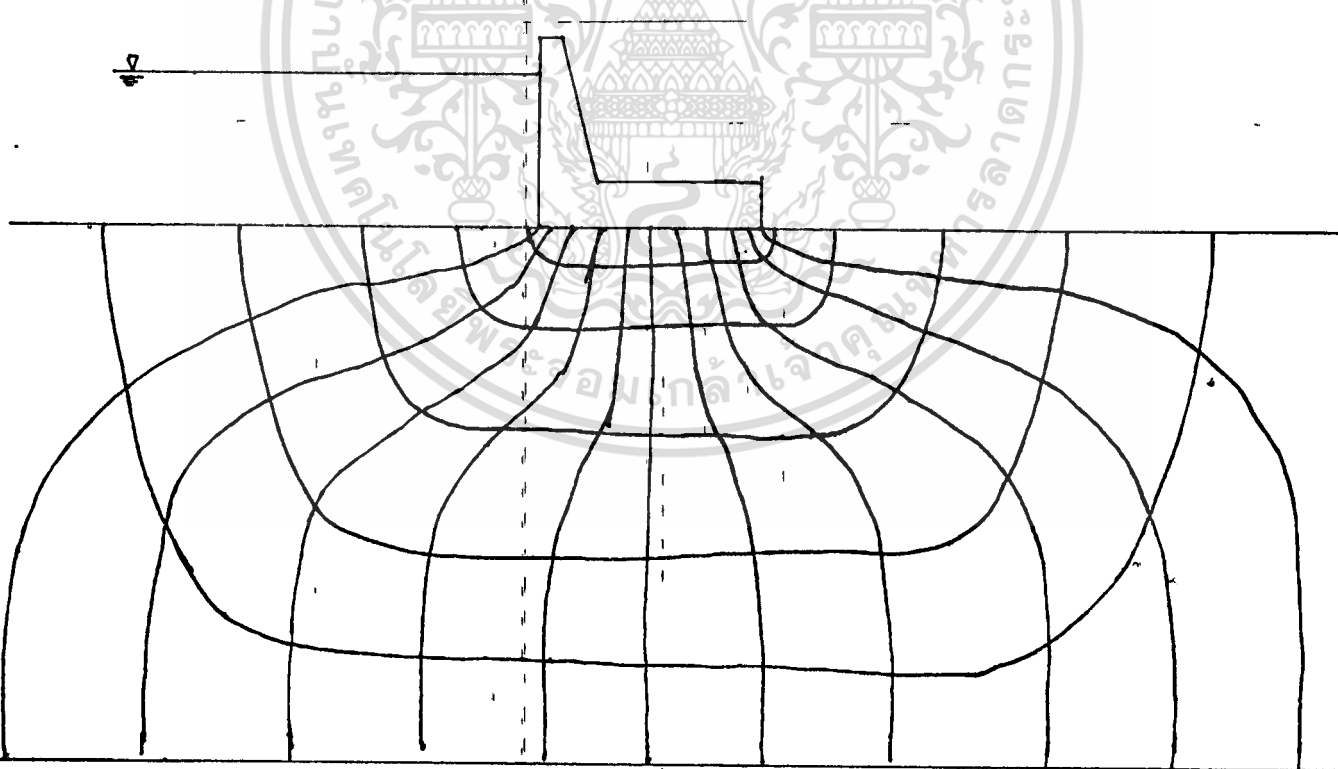
กำหนด ความกว้างขังฐานเขื่อน 3 ม.

ความลึกของชั้นดิน 7 ม.

ความสูงของระดับน้ำ 2 ม.

$K_H = 2 \times 10^{-3}$ ซม./วินาที

$K_V = 2 \times 10^{-3}$ ซม./วินาที



จากรูป flow net

$$N_e = 6$$

$$N_d = 12$$

$$\begin{aligned}K_{av} &= \sqrt{(K_{max} * K_{min})} \\ &= \sqrt{(2 * 10^{-3} * 2 * 10^{-3})} \\ &= 2 * 10^{-3}\end{aligned}$$

$$\begin{aligned}q &= KH N_e / N_d \\ &= 2 * 10^{-3} * 200 * 6 / 12 \\ &= 0.2 \text{ cm}^3/\text{s}\end{aligned}$$



เอกสารนี้เป็นเอกสารที่สงวนไว้สำหรับการใช้งานเพื่อการศึกษาเท่านั้น ไม่อนุญาตให้นำไปใช้ประโยชน์ด้านการค้า
ไม่ว่ากรณีใดๆทั้งสิ้น อีกทั้งห้ามมิให้ตัดแปลงเนื้อหา และต้องอ้างอิงถึงเจ้าของเอกสารทุกครั้งที่มีการนำไปใช้

ขั้นตอนของโปรแกรม

เมื่อเริ่มใช้โปรแกรมวาดภาพ Flow Line เราจะต้องมีไฟล์ที่ใช้งานดังนี้

1. A1.TPV
2. A2.TPV
3. A3.TPV
4. A4.TPV
5. CUR.TPV
6. FXNET1.TPV
7. FXNET2.TPV
8. CRT.TPV
9. GRAPH.TPV
10. PTEST.EXE
11. PTEST.OVR

เมื่อเราจะใช้โปรแกรมวาดภาพ Flow-Net เราจะต้องเรียกไฟล์ชื่อ PTEST

การใช้งานของโปรแกรม

1. เรียกไฟล์ PTEST.EXE
2. เมื่อเข้าโปรแกรมจะเกิดหน้าจอ อภิปรายรายละเอียดบางส่วนของเราโปรแกรม
3. เมื่อเรากด ENTER มันจะเข้าไปสู่อีกหน้าจอหนึ่ง เพื่อให้ USER เลือกว่าจะทำงานกับ DAM หรือ FILE
4. เมื่อเราเลือก OPTION ใด มันจะเข้าไปสู่อีกหน้าจอหนึ่ง แล้วให้เราป้อนตัวแปรที่จะใช้ ดังนี้
 - 4.1 Potential Head คือ ค่าความลึกของน้ำ มีหน่วยเป็น cm.
 - 4.2 Layer of Earth คือ จำนวนชั้นของดิน

เอกสารนี้เป็นเอกสารที่สงวนไว้สำหรับการใช้งานเพื่อการศึกษาเท่านั้น ไม่อนุญาตให้นำไปใช้ประโยชน์ด้านการค้า
ไม่ว่ากรณีใดๆทั้งสิ้น อีกทั้งห้ามมิให้ตัดแปลงเนื้อหา และต้องอ้างอิงถึงเจ้าของเอกสารทุกครั้งที่มีการนำไปใช้

- 4.3 เมื่อเราป้อนจำนวนชั้นดินที่จะใช้ จะให้ป้อนความลึกของแต่ละชั้นคือ Thickness และ ค่า Coefficient of Horizontal Permeability (KH) กับค่า Coefficient of Vertical Permeability (KV) ของแต่ละชั้น
- 4.4 เมื่อเราป้อนในข้อ 3 เสร็จจะเข้าสู่อีกหน้าจอหนึ่ง เพื่อป้อนค่าความยาวของฐานเขื่อน หรือความยาวของเข็ม (ถ้าหากเราเลือกเข็ม)
- 4.5 เมื่อป้อนความยาวชั้นตอนนี้เสร็จ จะเกิดอีกหน้าจอหนึ่ง เพื่อถามจำนวนช่องต่อเมตร นั่นคือ การหาอัตราส่วนการวาง
- 4.6 หน้าจอต่อไปจะแสดงค่าตัวเลขที่เรา Assume เข้าไปในแต่ละจุดตัดของตาราง
- 4.7 เมื่อเรากด ENTER จะแสดงค่าที่เปลี่ยนไป ในแต่ละจุดตัดของตารางซึ่งเกิดจากการทำ Laplace นั้น
- 4.8 เมื่อเรากด ENTER อีกครั้ง จะวาดภาพ Flow Line ให้กับเรา หากเราต้องการให้พิมพ์ออกมายัง Printer อีก โดยกด Shift F1
- 4.9 หากเรากด SPACE BAR มันจะกลับมาสู่หน้าจอ เพื่อถาม Option อีกครั้งหนึ่ง หากเราจะออกจากโปรแกรม PTEST ให้เลือก EXIT เพื่อออกสู่ DOS ต่อไป

1. CONCRETE DAM
2. SHEET PILE
3. EXIT

Select menu by use Up,Down Arrow and press Enter. Esc to Exit.



เอกสารนี้เป็นเอกสารที่สงวนไว้สำหรับการใช้งานเพื่อการศึกษาเท่านั้น ไม่อนุญาตให้นำไปใช้ประโยชน์ด้านการค้า
ไม่ว่ากรณีใดๆทั้งสิ้น อีกทั้งห้ามมิให้ตัดแปลงเนื้อหา และต้องอ้างอิงถึงเจ้าของเอกสารทุกครั้งที่มีการนำไปใช้

er Potential Head (cm)	=	2.0000000000E+02	
er Number Of Soil Layer =	1		
r No. Thickness of Layer(m)		Horizon Coef(cm/s)	Vertic Coef(cm/s)
1 4.0000000000E+00		2.0000000000E-03	2.0000000000E-03

Select menu by use Up,Down Arrow and press Enter. Esc to Exit.



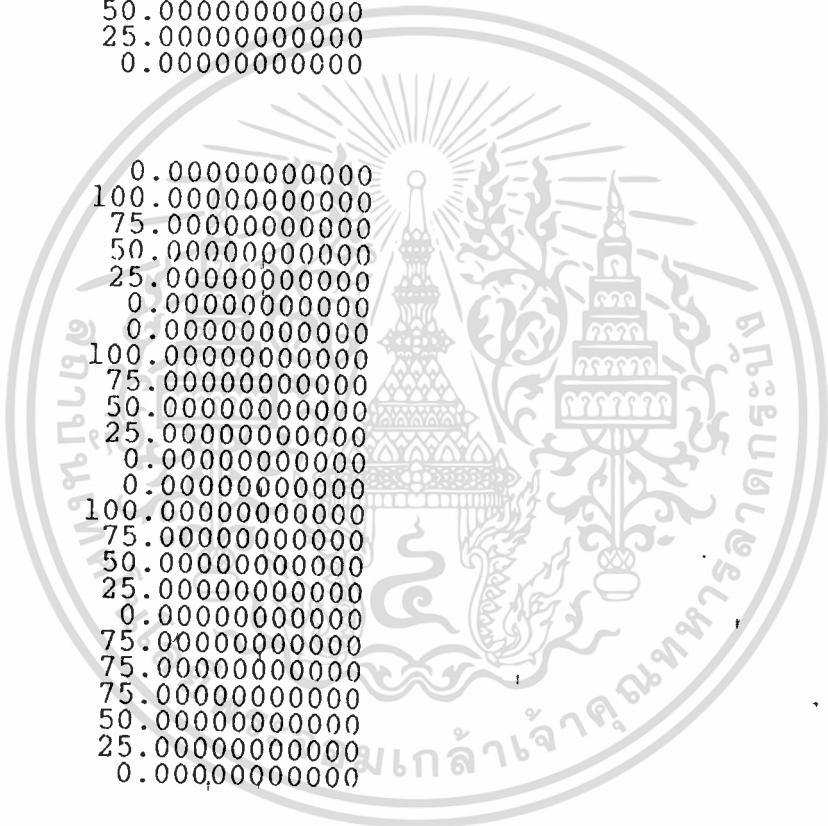
HOW LONG YOUR BASE(m) ? 2

HOW NUMBER MESHES TO METER ? 1

เอกสารนี้เป็นเอกสารที่สงวนไว้สำหรับการใช้งานเพื่อการศึกษาเท่านั้น ไม่อนุญาตให้นำไปใช้ประโยชน์ด้านการค้า
ไม่ว่ากรณีใดๆทั้งสิ้น อีกทั้งห้ามมิให้ตัดแปลงเนื้อหา และต้องอ้างอิงถึงเจ้าของเอกสารทุกครั้งที่มีการนำไปใช้

1	0.000000000000
2	0.000000000000
3	0.000000000000
4	0.000000000000
5	0.000000000000
6	0.000000000000
1	25.000000000000
2	25.000000000000
3	25.000000000000
4	25.000000000000
5	25.000000000000
6	0.000000000000
1	50.000000000000
2	50.000000000000
3	50.000000000000
4	50.000000000000
5	25.000000000000
6	0.000000000000
1	75.000000000000
2	75.000000000000
3	75.000000000000
4	50.000000000000
5	25.000000000000
6	0.000000000000

1	0.000000000000
2	100.000000000000
3	75.000000000000
4	50.000000000000
5	25.000000000000
6	0.000000000000
1	0.000000000000
2	100.000000000000
3	75.000000000000
4	50.000000000000
5	25.000000000000
6	0.000000000000
1	0.000000000000
2	100.000000000000
3	75.000000000000
4	50.000000000000
5	25.000000000000
6	0.000000000000
1	75.000000000000
2	75.000000000000
3	75.000000000000
4	50.000000000000
5	25.000000000000
6	0.000000000000



เอกสารนี้เป็นเอกสารที่สงวนไว้สำหรับการใช้งานเพื่อการศึกษาเท่านั้น ไม่อนุญาตให้นำไปใช้ประโยชน์ด้านการค้า
ไม่ว่ากรณีใดๆทั้งสิ้น อีกทั้งห้ามมิให้ตัดแปลงเนื้อหา และต้องอ้างอิงถึงเจ้าของเอกสารทุกครั้งที่มีการนำไปใช้

1
2
3
4
5
6
1
2
3
4
5
6
1
2
3
4
5
6

50.000000000000
50.000000000000
50.000000000000
50.000000000000
25.000000000000
0.000000000000
25.000000000000
25.000000000000
25.000000000000
25.000000000000
25.000000000000
0.000000000000
0.000000000000
0.000000000000
0.000000000000
0.000000000000
0.000000000000
0.000000000000



เอกสารนี้เป็นเอกสารที่สงวนไว้สำหรับการใช้งานเพื่อการศึกษาเท่านั้น ไม่อนุญาตให้นำไปใช้ประโยชน์ด้านการค้า
ไม่ว่ากรณีใดๆทั้งสิ้น อีกทั้งห้ามมิให้ตัดแปลงเนื้อหา และต้องอ้างอิงถึงเจ้าของเอกสารทุกครั้งที่มีการนำไปใช้

1
2
3
4
5
6
1
2
3
4
5
6
1
2
3
4
5
6
1
2
3
4
5
6

0.00000000000
0.00000000000
0.00000000000
0.00000000000
0.00000000000
0.00000000000
11.34310274900
12.81985296000
11.34310274900
8.09697218940
4.11571996730
0.00000000000
24.15558584700
28.59320634200
24.45558584700
16.89903604100
8.48602767970
0.00000000000
40.98699825500
52.64180071300
40.98699825500
26.55755844900
12.89932471000
0.00000000000

1
2
3
4
5
6
1
2
3
4
5
6
1
2
3
4
5
6
1
2
3
4
5
6

0.00000000000
100.00000000000
60.29304801200
35.44487478900
16.55371271300
0.00000000000
0.00000000000
100.00000000000
64.74031900200
38.37517998300
17.87065135200
0.00000000000
60.29304801200
100.00000000000
60.29304801200
35.44487478900
16.55371271300
0.00000000000
40.98699825500
52.64180071300
40.98699825500
26.55755844900
12.89932471000
0.00000000000



เอกสารนี้เป็นเอกสารที่สงวนไว้สำหรับการใช้งานเพื่อการศึกษาเท่านั้น ไม่อนุญาตให้นำไปใช้ประโยชน์ด้านการค้า
ไม่ว่ากรณีใดๆทั้งสิ้น อีกทั้งห้ามมิให้ดัดแปลงเนื้อหา และต้องอ้างอิงถึงเจ้าของเอกสารทุกครั้งที่มีการนำไปใช้

1	24.45558584700
2	28.59320634200
3	24.45558584700
4	16.89903604100
5	8.48602767970
6	0.00000000000
1	11.34310274900
2	12.81985296000
3	11.34310274900
4	8.09697218940
5	4.14574996730
6	0.00000000000
1	0.00000000000
2	0.00000000000
3	0.00000000000
4	0.00000000000
5	0.00000000000
6	0.00000000000



เอกสารนี้เป็นเอกสารที่สงวนไว้สำหรับการใช้งานเพื่อการศึกษาเท่านั้น ไม่อนุญาตให้นำไปใช้ประโยชน์ด้านการค้า
ไม่ว่ากรณีใดๆทั้งสิ้น อีกทั้งห้ามมิให้ตัดแปลงเนื้อหา และต้องอ้างอิงถึงเจ้าของเอกสารทุกครั้งที่มีการนำไปใช้

KV (cm/s) = 2.0000000000E-03

KH (cm/s) = 2.0000000000E-03

Kavr (cm/s) = 2.0000000000E-03

Nf = 6

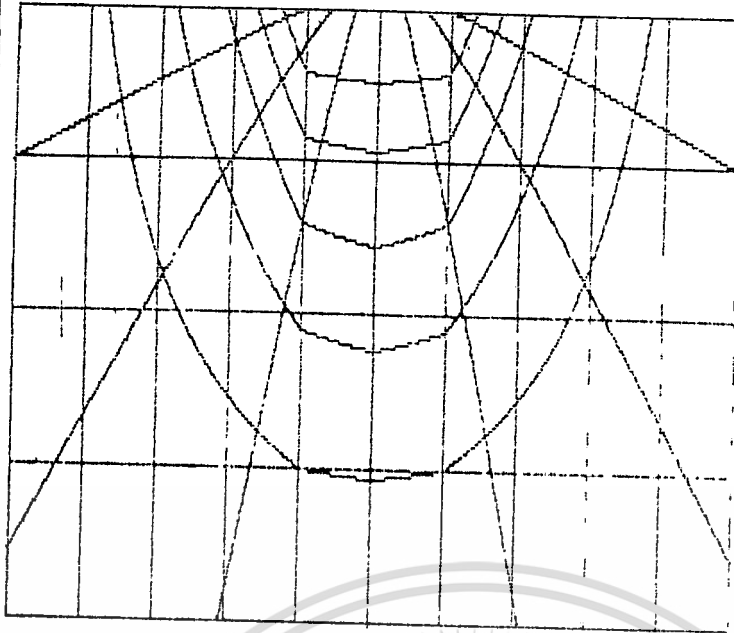
Nd = 8

Q (cm³/s) = 3.0000000000E-01

Press Any Key to continue



เอกสารนี้เป็นเอกสารที่สงวนไว้สำหรับการใช้งานเพื่อการศึกษาเท่านั้น ไม่อนุญาตให้นำไปใช้ประโยชน์ด้านการค้า
ไม่ว่ากรณีใดๆทั้งสิ้น อีกทั้งห้ามมิให้ดัดแปลงเนื้อหา และต้องอ้างอิงถึงเจ้าของเอกสารทุกครั้งที่มีการนำไปใช้



FLOWNET OF DAM

Press Shift-F1 to Print Graph

ฐานเขื่อนกว้าง 2 เมตร

ความลึกของคัน 4 เมตร

จำนวนช่อง/เมตร 1 ช่อง/เมตร

จำนวนเส้น FLOW-LINE(N_f) 6 เส้น

จำนวนเส้น EQUIPOTENTIAL-LINE(N_d) 8 เส้น

อัตราส่วน $N_f/N_d = 0.75$

```
Unit cur;
```

```
{$ot,f+}
```

```
Interface
```

```
uses Dos;
```

```
procedure CursorOn;
```

```
procedure CursorOff;
```

```
Implementation
```

```
procedure CursorOn;
```

```
var
```

```
CursorMode : integer Absolute $0040:$0060;
```

```
Vport : integer Absolute $0040:$0063;
```

```
Regs : registers;
```

```
begin
```

```
Port[Vport] := 10;
```

```
Port[Vport+1] := Hi(CursorMode) and $DF;
```

```
Port[Vport] := 11;
```

```
Port[Vport+1] := Lo(CursorMode)
```

```
end;
```

```
{-----}
```

```
procedure CursorOff;
```

```
Var
```

```
CursorMode : integer Absolute $0040:$0060;
```

```
Vport : integer Absolute $0040:$0063;
```

```
Regs : registers;
```

```
begin
```

```
Port[Vport] := 10;
```

Port[Vport+1] : Hi(CursorMode) or \$20;

Port[Vport] : L1;

Port[Vport+1] : Lo(CursorMode)

end;

End.



เอกสารนี้เป็นเอกสารที่สงวนไว้สำหรับการใช้งานเพื่อการศึกษาเท่านั้น ไม่อนุญาตให้นำไปใช้ประโยชน์ด้านการค้า
ไม่ว่ากรณีใดๆทั้งสิ้น อีกทั้งห้ามมิให้ดัดแปลงเนื้อหา และต้องอ้างอิงถึงเจ้าของเอกสารทุกครั้งที่มีการนำไปใช้

```
Unit A4;
{$O+,F+}
interface
uses graph,Printer,crt,Dos;
```

```
ProCedure prngrp;
```

```
Implementation
```

```
ProCedure prngrp;
```

```
Var Ch:Char;
```

```
InVerse:word;
```

```
CodeForExit:Byte;
```

```
Procedure CopyGraphics(PrtCode:byte);
```

```
Const
```

```
Leftmargin:array[1..3] of Byte = (10,0,33);
```

```
SMode : array[1..3] of Byte =(1,1,4);
```

```
Var
```

```
ScanLine:integer;
```

```
n1,n2,LeftMargin,Mode:Byte;
```

```
ScanMax,Endscan:word;
```

```
{-----}
```

```
Procedure CopyOneByte(OneByte:Byte);
```

```
Var
```

```
Regs:Register;
```

```
Begin
```

```
Regs.Ah:=0;
```

เอกสารนี้เป็นเอกสารที่สงวนไว้สำหรับบุคคลที่ใช้งานเพื่อการศึกษาเท่านั้น ไม่อนุญาตให้นำไปใช้ประโยชน์ด้านการค้า
ไม่ว่ากรณีใดๆทั้งสิ้น อีกทั้งห้ามมิให้ตัดแปลงเนื้อหา และต้องอ้างอิงถึงเจ้าของเอกสารทุกครั้งที่มีการนำไปใช้

```

    Regs.A1:=OneByte;

    Regs.Dx:=-Pred(1);

    InTr($17,Regs);

End;

(-----)

Procedure Copy8Line;

Const

    Bits:Array[0..7] of Byte =(128,64,32,16,8,4,2,1);

Var

    Bit,PrintByte:Byte;

    XYpixel,xy:integer;

Begin

    CopyOneByte(27);

    CopyOneByte(ord('*'));

    CopyOneByte(Mode);

    CopyOneByte(n1);

    CopyOneByte(n2);

    for XYPixel:=0 to ScanMax do

        Begin

            XY:=ScanLine*8;

            PrintByte:=0;

            for bit:=0 to 7 do

                Begin

                    if (PrtCode=1) and (Getpixel(XYPixel,XY+bit)<>0) Then

                        PrintByte:=PrintByte+Bits[Bit];

                    if (PrtCode<>1) and (Getpixel(XY+Bit,ScanMax-XYPixel)<

                        PrintByte:=PrintByte+Bits[Bit];

                    if Inverse=1 Then PrintByte:=255-PrintByte;

                end;

            end;

        end;

    end;

```

เอกสารนี้เป็นเอกสารที่สงวนไว้สำหรับการใช้งานเพื่อการศึกษาเท่านั้น ไม่อนุญาตให้นำไปใช้ประโยชน์ด้านการค้า
ไม่ว่ากรณีใดๆทั้งสิ้น อีกทั้งห้ามมิให้ดัดแปลงเนื้อหา และต้องอ้างอิงถึงเจ้าของเอกสารทุกครั้งที่มีการนำไปใช้

```
CopyOneByte(PrintByte);
```

```
end; {For}
```

```
CopyOneByte(10);
```

```
End; {Copy8Line}
```

```
{-----}
```

```
Begin { Procedure CopyGraphics }
```

```
Mode:=Smode[PrtCode];
```

```
LeftMargin:=LeftMarginS[PrtCode];
```

```
ScanMax:=640;
```

```
EndScan:=480;
```

```
if PrtCode>1 Then
```

```
Begin
```

```
ScanMax:=349;
```

```
EndScan:=719;
```

```
end;
```

```
CopyOneByte(27);
```

```
CopyOneByte(ord('3'));
```

```
CopyOneByte(24);
```

```
n1:=lo(Succ(ScanMax));
```

```
n2:=Hi(Succ(ScanMax));
```

```
CopyOneByte(27);
```

```
CopyOneByte(ord('1'));
```

```
CopyOneByte(LeftMargin);
```

```
for ScanLine:=0 to (EndScan Div 8) do
```

```
Copy8Line;
```

```
CopyOneByte(27);
```

```
CopyOneByte(2);
```

```
CopyOneByte(27);
```

เอกสารนี้เป็นเอกสารที่สงวนไว้สำหรับการใช้งานเพื่อการศึกษาเท่านั้น ไม่อนุญาตให้แก้ไขไปใช้ประโยชน์ด้านการค้า
ไม่ว่ากรณีใดๆทั้งสิ้น อีกทั้งห้ามมิให้ดัดแปลงเนื้อหา และต้องอ้างอิงถึงเจ้าของเอกสารทุกครั้งที่มีการนำไปใช้

```

CopyOneByte(ord('1'));
CopyOneByte(0);
CopyOneByte(27);
CopyOneByte(ord('<'));
End; ( Procedure CopyGraphics )
(-----)
Begin (PrnGrp)
CodeForExit: 0;
Inverse: 0;
repeat
Ch:=Readkey;
{
if Ch=#27 Then
Begin
CloseGraph;
End;
if Ucase(Ch)='1' Then
Begin
Inverse:=1; Ch:=#7;
End;
)
if Ch=#0 Then
Begin
Ch:=readkey;
if Ch=#84 Then CopyGraphics(1);

```



```
if Ch=#85 Then CopyGraphics(2);
```

```
if Ch=#86 Then CopyGraphics(3);
```

```
)
```

```
End;
```

```
if (Ch)#31) and (Ch)#127) Then CodeForexit:=27;
```

```
Until CodeforExit 27;
```

```
end; (PrnGrp)
```

```
{-----}
```

```
End.
```



เอกสารนี้เป็นเอกสารที่สงวนไว้สำหรับการใช้งานเพื่อการศึกษาเท่านั้น ไม่อนุญาตให้นำไปใช้ประโยชน์ด้านการค้า
ไม่ว่ากรณีใดๆทั้งสิ้น อีกทั้งห้ามมิให้ตัดแปลงเนื้อหา และต้องอ้างอิงถึงเจ้าของเอกสารทุกครั้งที่มีการนำไปใช้

Unit A3;

{\$0+,f+}

interface

Uses Crt;

procedure ReadInt(var _Int:integer; Count:integer; Var Code:integer);

Implementation

procedure ReadInt(var _Int:integer; Count:integer; Var Code:integer);

var Minusflag :boolean;

Ch :char;

Strg :String;

Ptr :integer;

Quit :boolean;

procedure Delete;

begin

if Ptr < 1 then

begin

Ptr:=Ptr-1;

Write(Ch); Write(' '); Write(Ch);

if Strg = '-' then Minusflag:=true;

Strg := copy (Strg,1,length(Strg)-1);

end

else

Write('^G');

end;

procedure Minus;

เอกสารนี้เป็นเอกสารที่สงวนไว้สำหรับครูใช้งานเพื่อการศึกษาเท่านั้น ไม่อนุญาตให้นำไปใช้ประโยชน์ด้านการค้า

ไม่ว่ากรณีใดๆทั้งสิ้น อีกทั้งห้ามมิให้ตัดแปลงเนื้อหา และต้องอ้างอิงถึงเจ้าของเอกสารทุกครั้งที่มีการนำไปใช้

```

begin
  if (Minusflag) and (Ptr=1) then
    begin
      Write(Ch);
      Ptr:= Ptr+1;
      Strg:=Strg+Ch;
      Minusflag:=false;
    end
  else
    Write('^G');
  end;

procedure Number;
begin
  if Ptr>Count then
    Write('^G');
  else
    begin
      Write(Ch);
      Ptr:=Ptr+1;
      Strg:=Strg+Ch;
    end;
end;

```

```

begin
  Ptr := 1;
  Strg := '';
  Minusflag := true;

```

เอกสารนี้เป็นเอกสารที่สงวนไว้สำหรับครูใช้งานเพื่อการศึกษาเท่านั้น ไม่อนุญาตให้นำไปใช้ประโยชน์ด้านการค้า
 Quit := false;
 ไม่ว่าจะกรณีใดๆทั้งสิ้น อีกทั้งห้ามมิให้ตัดแปลงเนื้อหา และต้องอ้างอิงถึงเจ้าของเอกสารทุกครั้งที่มีการนำไปใช้

```
repeat
  Ch := ReadKey;
  case Ch of
    ^L : begin Strg := #27; Quit := true; end;
    ^M : Quit := true;
    ^H : Delete;
    '-' : Minus;
    '0'..'9': Number;
  else
    Write(^G);
  end;
until Quit;
Val(Strg, _Int, Code);
if Code <> 0 then Code := 255;
if (Strg = #27) or (Strg = '-') then Code := 1;
end;
End.
```

เอกสารนี้เป็นเอกสารที่สงวนไว้สำหรับการใช้งานเพื่อการศึกษาเท่านั้น ไม่อนุญาตให้นำไปใช้ประโยชน์ด้านการค้า
ไม่ว่ากรณีใดๆทั้งสิ้น อีกทั้งห้ามมิให้ตัดแปลงเนื้อหา และต้องอ้างอิงถึงเจ้าของเอกสารทุกครั้งที่มีการนำไปใช้

```
Unit A2;
```

```
{$0+,f+}
```

```
Interface
```

```
uses Crt;
```

```
procedure ReadReal(var Value:Real; Count:integer; var Code:integer);
```

```
Implementation
```

```
procedure ReadReal(var Value:Real; Count:integer; var Code:integer);
```

```
var MinusFlag :Boolean;
```

```
DecimalFlag :boolean;
```

```
Ch :char;
```

```
Strg :String;
```

```
Ptr :integer;
```

```
Quit :boolean;
```

```
procedure Delete;
```

```
begin
```

```
if Ptr<> 1 then
```

```
begin
```

```
Ptr:=Ptr-1;
```

```
Write(Ch); Write(' '); Write(Ch);
```

```
if Strg = '-' then Minusflag:=true;
```

```
if Strg[Ptr] = '.' then DecimalFlag := true;
```

```
Strg := copy (Strg,1,length(Strg)-1);
```

```
end
```

```
else
```

```
Write('^G');
```

```
end;
```

เอกสารนี้เป็นเอกสารที่สงวนไว้สำหรับการใช้งานเพื่อการศึกษาเท่านั้น ไม่อนุญาตให้นำไปใช้ประโยชน์ด้านการค้า
ไม่ว่ากรณีใดๆทั้งสิ้น อีกทั้งห้ามมิให้ตัดแปลงเนื้อหา และต้องอ้างอิงถึงเจ้าของเอกสารทุกครั้งที่มีการนำไปใช้

```

procedure Point;
begin
  if DecimalFlag then
    begin
      Write(Ch);
      Ptr := Ptr+1;
      Strg :=Strg +Ch;
      DecimalFlag := false;
    end;
end;

```

```

procedure Minus;
begin
  if (Minusflag) and (Ptr<1) then
    begin
      Write(Ch);
      Ptr:=Ptr+1;
      Strg:=-Strg+Ch;
      Minusflag:=false;
    end
  else
    Write(^G);
end;

```

```

procedure Number;
begin
  if Ptr>Count then

```

เอกสารนี้เป็นเอกสารที่สงวนลิขสิทธิ์ของสำนักงานเพื่อการศึกษาเท่านั้น ไม่อนุญาตให้นำไปใช้ประโยชน์ด้านการค้า
ไม่ว่ากรณีใดๆทั้งสิ้น อีกทั้งห้ามมิให้ดัดแปลงเนื้อหา และต้องอ้างอิงถึงเจ้าของเอกสารทุกครั้งที่มีการนำไปใช้

```

else
    begin
        Write(Ch);
        Ptr:=Ptr+1;
        Strg:=Strg+Ch;
    end;
end;

```

```

begin { Read Real }

```

```

Ptr := 1 ;
Strg := '';
Value := 0.0;
MinusFlag := true;
DecimalFlag := true;
Quit := false;
repeat
    Ch := ReadKey;
    case Ch of
        ^C : begin Strg := #27; Quit := true; end;
        ^M : Quit := true;
        ^H : Delete;
        '-' : Minus;
        '.' : Point;
        '0'..'9' : Number;
    else
        Write(^G);
    end;
end;

```

เอกสารนี้เป็นเอกสารที่สงวนไว้สำหรับการใช้งานเพื่อการศึกษาเท่านั้น ไม่อนุญาตให้นำไปใช้ประโยชน์ด้านการค้า
ไม่ว่ากรณีใดๆทั้งสิ้น อีกทั้งห้ามมิให้ตัดต่อเปลี่ยนแปลงเนื้อหา และต้องอ้างอิงถึงเจ้าของเอกสารทุกครั้งที่มีการนำไปใช้

```
until Quit;  
if Strg[1] = '.' then Strg := '0'+Strg;  
if Strg[length(Strg)] = '.' then Strg := Strg+'0';  
Val(Strg,Value,Code);  
if Code <> 0 then Code := 255;  
if (Strg = #27) or (Strg = '') then Code : 1;  
end;
```

End.



เอกสารนี้เป็นเอกสารที่สงวนไว้สำหรับการใช้งานเพื่อการศึกษาเท่านั้น ไม่อนุญาตให้นำไปใช้ประโยชน์ด้านการค้า
ไม่ว่ากรณีใดๆทั้งสิ้น อีกทั้งห้ามมิให้ตัดแปลงเนื้อหา และต้องอ้างอิงถึงเจ้าของเอกสารทุกครั้งที่มีการนำไปใช้

Unit A1;

{\$0+,F+}

Interface

Uses Graph,Crt;

Procedure Sh_1;

Implementation

Procedure open_graph;

Var

grdriver,grmode : Integer;

begin

detectgraph(grdriver,grmode);

initgraph(grdriver,grmode,'');

end;

Procedure text_show(font,size : word; mode : char);

begin

case mode of

'V','v' : settextstyle(font,vertdir,size);

'H','h' : settextstyle(font,horizdir,size);

end; { case }

end; { text_show }

Procedure _Flow(ii,jj,kk:integer);

begin

text_show(0,8,'h');

if kk=1 then

begin

setcolor(ii);

```

    outtextxy(370,35,'Flow');
    outtextxy(370,125,'-Net');
end;
setcolor(jj);
outtextxy(360,30,'Flow');
outtextxy(360,120,'-Net');
delay(10);
end;

```

```

Procedure _cls;

```

```

    VAR i:integer;

```

```

begin

```

```

    setfillstyle(1,0);

```

```

    i:= 1 ;

```

```

    while i<=234 do

```

```

        begin

```

```

            bar(10,234-i,630,234+i);

```

```

        sound(5000-i*4);

```

```

            delay(8);

```

```

        nosound;

```

```

            i:=i+4;

```

```

        end;

```

```

    end;

```

```

Procedure Screen1;

```

```

Begin

```

```

    DirectVideo:=True;

```

```

    Open_graph;

```

```

    setbkcolor(0);

```

```

    setfillstyle(9,11);

```

```

bar(0,0,640,480);
setfillstyle(6,1);
bar(8,8,630,470);
setfillstyle(1,0);
bar(360,10,630,260);
setfillstyle(3,4);
bar(350,10,630,250);
_Flow(0,14,1);
text_shown(1,1,'h');
setcolor(0);
outtextxy(451,211,'Version 1.0');
outtextxy(452,212,'Version 1.0');
outtextxy(453,213,'Version 1.0');
setcolor(15);
outtextxy(450,210,'Version 1.0');
setcolor(0);
outtextxy(119,164,'PROGRAM BY');
outtextxy(34,214,'Mr.Chutchai Virah-varin 31,1049');
outtextxy(50,189,'Mr.Supit Muansuwan 31,1358');
outtextxy(117,162,'PROGRAM BY');
outtextxy(32,212,'Mr.Chutchai Virah-varin 31,1049');
outtextxy(47,187,'Mr.Supit Muansuwan 31,1358');
setcolor(10);
outtextxy(115,160,'PROGRAM BY');
outtextxy(30,210,'Mr.Chutchai Virah-varin 31,1049');
outtextxy(45,185,'Mr.Supit Muansuwan 31,1358');

text_shown(4,4,'h');
setcolor(0);

```

เอกสารนี้เป็นเอกสารที่สงวนไว้สำหรับการใช้งานเพื่อการศึกษาเท่านั้น ไม่อนุญาตให้นำไปใช้ประโยชน์ด้านการค้า
 ไม่ว่ากรณีใดๆทั้งสิ้น อีกทั้งห้ามมิให้ดัดแปลงเนื้อหา และต้องอ้างอิงถึงเจ้าของเอกสารทุกครั้งที่มีการนำไปใช้

```

outtextxy(22,102,'Flow-Net Version 1.0');
setcolor(14);
outtextxy(20,100,'Flow-Net Version 1.0');
text_shown(1,1,'h');
setcolor(0);
outtextxy(49,364,'Program for determine quantity of ground water seepage.';
outtextxy(47,362,'Program for determine quantity of ground water seepage.';
setcolor(15);
outtextxy(45,360,'Program for determine quantity of ground water seepage.';
setcolor(0);
text_shown(1,1,'h');
outtextxy(194,404,' SPECIAL PROJECT 19498 ');
outtextxy(192,402,' SPECIAL PROJECT 19498 ');
setcolor(14);
outtextxy(190,400,' SPECIAL PROJECT 19498 ');
text_shown(5,2,'h');
repeat
_flow(0,random(16),0);
until keypressed;
_cls;
Clsgraph ;
End;

Procedure Sh_1;
Begin
Screen1;
end;
End.

```

เอกสารนี้เป็นเอกสารที่สงวนไว้สำหรับภาาใช้งานเพื่อการศึกษาเท่านั้น ไม่อนุญาตให้นำไปใช้ประโยชน์ด้านการค้า
ไม่ว่ากรณีใดๆทั้งสิ้น อีกทั้งห้ามมิให้ดัดแปลงเนื้อหา และต้องอ้างอิงถึงเจ้าของเอกสารทุกครั้งที่มีการนำไปใช้

```
Unit Fnet2;
```

```
{$0+,F+}
```

```
Interface
```

```
uses crt,graph;
```

```
procedure flownet2(Var a2,nf,nd:integer);
```

```
Implementation
```

```
procedure flownet2(Var a2,nf,nd:integer);
```

```
    type dia1=array[1..80] of real;
    dia2=array[1..80,1..20] of real;
    var a1,a3,ac,ar,i,j,q,l,k1,m,aa,bb,k2,cc,count1,k:integer;ch:char;
n,nn:integer;
    neq,graphdriver,graphmode,tnodex,tnodey,xi,yi:integer;
    ckk,kk,f1:real;
    x,xx:dia1;t:dia2;
    procedure setwindow1;
        const upleft=#201;
        upright=#187;
        loleft=#200;
        loright=#188;
        horbar=#205;
        verbar=#186;
        var i,x1,x2,y1,y2,a:integer;
    begin
        clrscr;
        x1:=10;y1:=10;x2:=60;y2:=13;
        window(x1-1,y1-1,x2+1,y2+1);
        clrscr;
```

```

window(1,1,80,25);
gotoxy(x1-1,y1-1);
write(upleft);
for i:=x1 to x2 do
begin
write(horbar);
end;
write(uright);

```

```

for i:=y1 to y2 do

```

```

begin
gotoxy(x1-1,i); write(verbar);
gotoxy(x2+1,i); write(verbar);
end;
gotoxy(x1-1,y2+1);write(loleft);
for i:=x1 to x2 do
begin
write(horbar);
end;
write(loright);
window(x1,y1,x2,y2);
gotoxy(x1+2,y1);
end;

```

```

{-----}

```

```

procedure check2(var neq:integer);

```

```

type dia3=array [1..50] of integer;

```

```

var l,k,q,qqq,x1,y1,x2,y2,dx,dy,i,j,kk,posx,posx1,posy:integer;

```

```

x10,y10,x11,y11:dia3;

```

```

pointmax,pointx1,pointx2,pointy1,pointy2,const1,const2,dconst1:real;

```

เอกสารนี้เป็นเอกสารลิขสิทธิ์ของมหาวิทยาลัยเทคโนโลยีพระจอมเกล้าเจ้าคุณทหารลาดกระบัง
 ไม่ว่าจะกรณีใดๆทั้งสิ้น อีกทั้งห้ามมิให้ดัดแปลงเนื้อหา และต้องอ้างอิงถึงเจ้าของเอกสารทุกครั้งที่มีการนำไปใช้

```
bb,yp,dxstr,constk,xstr,ystr,numberc,const3,const4,const5:real;
```

```
begin
```

```
l:=1;
```

```
for k:=n-1 downto 2 do
```

```
begin
```

```
for i:=2 to nn do
```

```
begin
```

```
if (xx[k]>=t[i-1,2]) and (xx[k]< t[i,2])then
```

```
begin
```

```
if t[i,2]>xx[k] then
```

```
begin
```

```
q:= round((ac*(xx[k]-t[i-1,2]))/(t[i,2]-t[i
```

```
x10[l]:=q+(ac*(i-2))+xi;
```

```
y10[l]:=yi;l:=l+1;
```

```
end
```

```
else
```

```
begin
```

```
x10[l]:= (ac*(i-1))+xi;
```

```
y10[l]:=yi;
```

```
l:=l+1;
```

```
end;
```

```
end;
```

```
end;
```

```
end;
```

```
l:=1;kk:=round(tnodex/2); y2:=yi+((tnodey-2)*ar);
```

```
for k:=n-1 downto 2 do
```

```
begin
```

```
for j:=(tnodey) downto ((a1*a3)+2) do
```

เอกสารนี้เป็นเอกสารที่สงวนไว้สำหรับการศึกษาเท่านั้น ไม่อนุญาตให้นำไปใช้ประโยชน์ด้านการค้า
ไม่ว่ากรณีใดๆทั้งสิ้น อีกทั้งห้ามมิให้ตัดแปลงเนื้อหา และต้องอ้างอิงถึงเจ้าของเอกสารทุกครั้งที่มีการนำไปใช้

```
if (xx[k]>t[kk,j]) and (xx[k]<=t[kk,j-1]) then
```

```
begin
```

```
  if t[kk,j-1]>xx[k] then
```

```
    begin
```

```
      qq:=round((ar*(xx[k]-t[kk,j]))/(t[kk,j-1]-t[kk,j]));
```

```
      y1[l]:=y2-qq*(ar*(tnodey-j));
```

```
      x1[l]:=xi+round(ac*(kk-1));
```

```
      l:=l+1;
```

```
    end
```

```
  else
```

```
    begin
```

```
      y1[l]:=y2-(ar*(tnodey-(j-1)));
```

```
      x1[l]:=round(xi+(ac*(kk-1)));
```

```
      l:=l+1;
```

```
    end;
```

```
  end;
```

```
end;
```

```
end;
```

```
{----- OPENGRAPH-----}
```

```
graphdriver:=detect;
```

```
initgraph(graphdriver,graphmode,'');
```

```
x1:=70;
```

```
y1:=10;
```

```
x2:=x1+((tnodex-1)*ac);
```

```
y2:=y1+((tnodey-2)*ar);
```

```
dx:=0;dy:=0;
```

```
for i:=1 to tnodey-1 do
```

```
  begin
```

```
    y1:=y1+dy;
```

เอกสารนี้เป็นเอกสารที่สงวนไว้สำหรับครูใช้งานเพื่อการศึกษาเท่านั้น ไม่อนุญาตให้นำไปใช้ประโยชน์ด้านการค้า
ไม่ว่ากรณีใดๆทั้งสิ้น อีกทั้งห้ามมิให้ตัดแปลงเนื้อหา และต้องอ้างอิงถึงเจ้าของเอกสารทุกครั้งที่มีการนำไปใช้

```

        line(x1,y1,x2,y1);dy:=ar;
    end;

y1:=10;

for j: 1 to tnodex do
    begin
        x1:=x1+dx;line(x1,y1,x1,y2);
        dx:=ac;
    end;

    pointmax:=round((xi+x2)/2);
    for i:=1 to n-2 do
        begin
            pointx1:=(x10[i]-xi)/ac;
            pointy1:=(y2-y10[i])/ar;
            const1:=pointx1*pointy1;
            pointx2:=(x11[i]-xi)/ac;
            pointy2:=(y2-y11[i])/ar;
            const2:=pointx2*pointy2;
            dconst1:=(const1-const2)/((pointx2-pointx1)*1000);

            repeat
                begin
                    pointx1:=pointx1+0.001;

                    const1:=const1-dconst1;
                    pointy1:=const1/pointx1;
                    posx:=xi+round(pointx1*ac);
                    posx1:=round(x2-(pointx1*ac));
                    posy:=round(y2-(pointy1*ar));
                    putpixel(posx,posy,14);
                    putpixel(posx1,posy,14);
                end;
            until dconst1<0;
        end;
    end;
end;

```

เอกสารนี้เป็นเอกสารที่สงวนไว้สำหรับการใช้งานเพื่อการศึกษาเท่านั้น ไม่อนุญาตให้นำไปใช้ประโยชน์ด้านการค้า
ไม่ว่ากรณีใดๆทั้งสิ้น อีกทั้งห้ามมิให้ดัดแปลงเนื้อหา และต้องอ้างอิงถึงเจ้าของเอกสารทุกครั้งที่มีการนำไปใช้

```

        until posx>pointmax;

        end;

        dxstr:=(y11[n-2]-(yi+(a1*a3*ar)))/ar;

        bb:=0.4;constk:=a1*a3;neq:=0;

        repeat

        begin

            xstr:=0;numberc:=(x2-x1)/(2*ac);neq:=-neq+1;

            repeat

            begin

                xstr:=xstr+0.001;

                const3:=sqrt(bb)+sqrt(xstr);

                const4:=sqrt(const3);

                const5:=abs(const4);

                ystr:=(constk*const5)/bb;

                posx:=xi+round((numberc-xstr)*ac);posx1:=xi+round((numberc+

                posy:=-yi+round((ystr)*ar);

                putpixel(posx, posy, 14);putpixel(posx1, posy, 14);

            end;

            until (posx<xi) or (posy>y2);

            constk:=constk-(dxstr);bb:=bb+(dxstr);yp:=(yi+((constk)*ar));

        end;

    until yp<=yi+3;

    posx:=round((x2+xi)/2);ystr:=a1*a3;

    repeat

    begin

        ystr:=ystr+0.01;

        posy:=round(yi+(ystr*ar));

        putpixel(posx, posy, 14);

    end;

```

เอกสารนี้เป็นเอกสารที่สงวนไว้สำหรับการใช้งานเพื่อการศึกษาเท่านั้น ไม่อนุญาตให้นำไปใช้ประโยชน์ด้านการค้า
ไม่ว่ากรณีใดๆทั้งสิ้น อีกทั้งห้ามมิให้ดัดแปลงเนื้อหา และต้องอ้างอิงถึงเจ้าของเอกสารทุกครั้งที่มีการนำไปใช้

```

until (posy>y2);
neq:=(2*neq)+1;
settextstyle(defaultfont,vertdir,2);
outtextxy(580,50,'FLOWNET OF PILE');
settextstyle(defaultfont,horizdir,2);
outtextxy(70,450,'Press Shift-F1 to Print Graph');
(ch:=readkey;closegraph;)
end;

```

```

{-----}

begin{main}
clrscr;
setwindow1;
write(' HOW LONG OF PILE(m) ? ');read(a1);
clrscr;
setwindow1;
(write(' HOW DEEP OF EARTH ? ');read(a2);
clrscr;
setwindow1;
write(' HOW NUMBER MESH TO METER ? ');read(a3);
ar:=round(460/(a2*a3));ac:=round(460/(2*(a2-a1)*a3));
window(1,1,80,25);clrscr;
tnodex:=trunc(((a2-a1)*a3*2)+1);
tnodey:=trunc((a2*a3)+2);
xi:=70;yi:=10;
f1:=0;count1:=trunc(tnodex/2);kk:=100/count1;
for i:=1 to count1+1 do

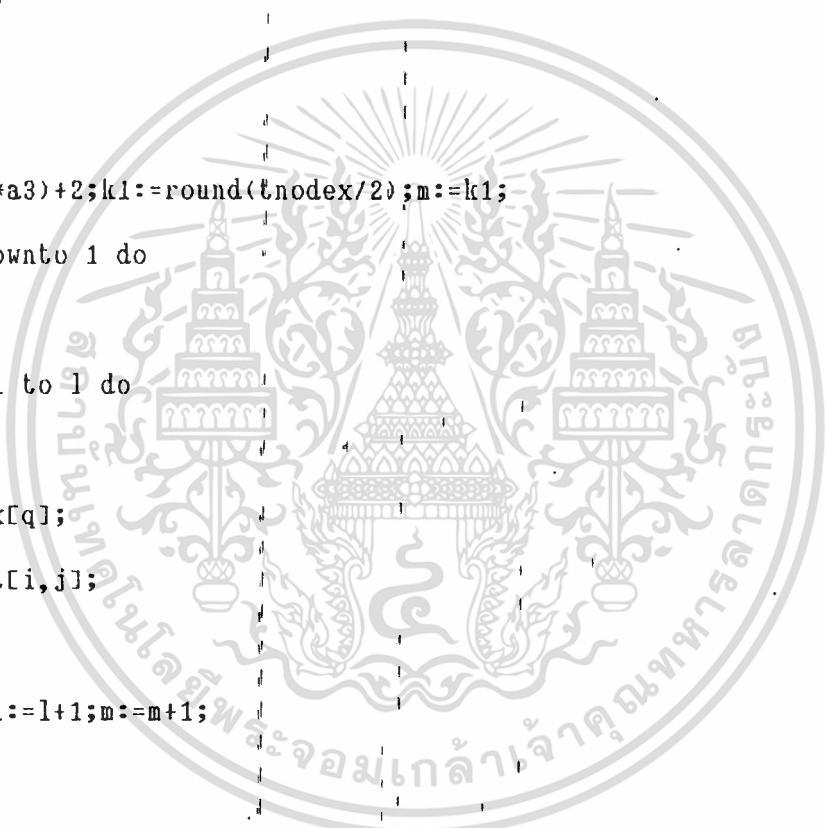
```

```

x[i]:=100-f1;
f1:=i*kk;
end;

clrscr;window(1,1,80,25);
for i:= 1 to tnodex do
begin
for j:=1 to tnodey do
begin
t[i,j]:=0;
end;
end;
q:=1;l:=(a1*a3)+2;k1:=round(tnodex/2);m:=k1;
for i:=k1 downto 1 do
begin
for j:=1 to l do
begin
t[i,j]:=x[q];
t[m,j]:=t[i,j];
end;
q:=q+1;l:=l+1;m:=m+1;
end;
k2:=(a1*a3)+3;aa:=k1;bb:=k1;cc:=2;
for j:= k2 to tnodey do
begin
for i:=aa to bb do
begin
t[i,j]:=x[cc];
end;
aa:=aa-1;bb:=bb+1;cc:=cc+1;
end;

```



```

n:=0;
for i:=1 to tnodex do
begin
for j:=1 to tnodey do
begin
if n=24 then
begin
ch:=readkey;clrscr;n:=0;
end;

write(i:5);write(j:5);writeln(L[i,j]:30:15);
n:=n+1;
end;
end;
ch:=readkey;n:=0;
repeat
begin
for j:=2 to tnodey do
begin
for i:=1 to tnodex do
begin
if ((t[i,j]>0)and(t[i,j]<>0)) and (t[i,j]<>100) then
begin
t[i,j]:=((t[i+1,j]+t[i-1,j]+t[i,j+1]+L[i,j-1])/4);
end;
end;
end;
for i:=1 to tnodex do
begin
L[i,1]:=t[i,3];

```

เอกสารนี้เป็นเอกสารที่สงวนไว้สำหรับการใช้งานเพื่อการศึกษาเท่านั้น ไม่อนุญาตให้นำไปใช้ประโยชน์ด้านการค้า
ไม่ว่ากรณีใดๆทั้งสิ้น อีกทั้งห้ามมิให้ตัดแปลงเนื้อหา และต้องอ้างอิงถึงเจ้าของเอกสารทุกครั้งที่มีการนำไปใช้

```

n:=n+1;
end;
until n=200;
clrscr;window(1,1,80,25);
n:=0;
for i:=1 to tnodex do
    begin
        for j:=1 to tnodey do
            begin
                if n=24 then
                    begin
                        ch:=readkey;clrscr;n:=0;
                    end;
                write(i:5);write(j:5);writeln(tf[i,j]:30:15);
                n:=n+1;
            end;
        end;
    end;
end;

n:=round(tnodex/2)+1;clk:=100/round(tnodex/2);
f1:=0;nn:=trunc((tnodex/2)+1);
for i:=1 to n do
    begin

```



เอกสารนี้เป็นเอกสารที่สงวนไว้สำหรับการใช้งานเพื่อการศึกษาเท่านั้น ไม่อนุญาตให้นำไปใช้ประโยชน์ด้านการค้า
 xx[i]:=100-f1;
 ไม่ว่าจะกรณีใดๆทั้งสิ้น อีกทั้งห้ามมิให้ตัดทอนปลงเนื้อหา และต้องอ้างอิงถึงเจ้าของเอกสารทุกครั้งที่มีการนำไปใช้

```
f1:=i*ckk;  
end;  
clrscr;window(1,1,80,25);  
check2(neq);  
n:=n-1;  
neq:=neq+1;  
nf:=n;  
nd:=neq;  
end;  
End.,
```



เอกสารนี้เป็นเอกสารที่สงวนไว้สำหรับการใช้งานเพื่อการศึกษาเท่านั้น ไม่อนุญาตให้นำไปใช้ประโยชน์ด้านการค้า
ไม่ว่ากรณีใดๆทั้งสิ้น อีกทั้งห้ามมิให้ตัดแปลงเนื้อหา และต้องอ้างอิงถึงเจ้าของเอกสารทุกครั้งที่มีการนำไปใช้

```
Unit Fnet1;
```

```
($0+,F+)
```

```
interface
```

```
uses crt,graph;
```

```
Procedure flownet1(Var a2,nf,nd:integer);
```

```
Implementation
```

```
Procedure flownet1(Var a2,nf,nd:integer);
```

```
type areal=array[1..80] of real;
```

```
areal1=array[1..150,1..50] of real;
```

```
var a1,a3,a4,a5,l,tnodex,tnodey,neq,r:byte;
```

```
i,j,graphdriver,graphmode,xi,yi:integer;
```

```
count1,count2,node,node1,q,m,h,b1,c1,node2:byte;
```

```
ch:char;f1,k,ckk:real;
```

```
x,xx:areal;T:areal1;
```

```
procedure setwindow;
```

```
const upleft=#201;
```

```
upright=#187;
```

```
loleft=#200;
```

```
loright=#188;
```

```
horbar=#205;
```

```
verbar=#186;
```

```
var i,x1,x2,y1,y2,a:integer;
```

```
begin
```

```
clrscr;
```

```
x1:=10;y1:=10;x2:=60;y2:=13;
```

เอกสารนี้เป็นเอกสารลิขสิทธิ์ของโรงเรียนคอมพิวเตอร์ศึกษาเท่านั้น ไม่อนุญาตให้นำไปใช้ประโยชน์ด้านการค้า

ไม่ว่ากรณีใดๆทั้งสิ้น อีกทั้งห้ามมิให้ดัดแปลงเนื้อห และต้องอ้างอิงถึงเจ้าของเอกสารทุกครั้งที่มีการนำไปใช้

```

window(x1-1,y1-1,x2+1,y2+1); clrscr;

window(1,1,80,25);

gotoxy(x1-1,y1-1); write(upleft);

for i:=x1 to x2 do
    begin
        write(horbar);
    end;

write(upright);

for i:=y1 to y2 do
    begin
        gotoxy(x1-1,i); write(verbar);
        gotoxy(x2+1,i); write(verbar);
    end;

gotoxy(x1-1,y2+1); write(loleft);

for i:=x1 to x2 do
    begin
        write(horbar);
    end;

write(loright);

window(x1,y1,x2,y2);

gotoxy(x1+2,y1);

end;

```

```

{-----}

```

```

procedure check1(var neq:byte);

```

```

type point=array[1..50] of integer;

```

```

var j,i,l,k,kk,kkk,pxmax,lll:byte;ch:char;q,qq,qqq,x1,y1,x2,y2,dx,dy:integer;

```

```

x10,y10,x11,y11,x12,y12:point;

```

ไม่ว่ากรณีใดๆทั้งสิ้น อีกทั้งห้ามมิให้ตัดแปลงเนื้อหา และต้องอ้างอิงถึงเจ้าของเอกสารทุกครั้งที่มีการนำไปใช้

```

pointmax, posx, posx1, posy: integer;
pointx2, pointx3, pointy2, pointy3, pointx4, pointy4, xstr, dxstr, xstr1, ystr: real;
const1, const2, dconst1, const3, dconst2, constk, numberc, ystr1, xstr2: real;
constk1, constk2, aaa: real;

begin
l:=1;
for k:=n+1 downto 2 do
begin
for i:=2 to n do
begin
if (xx[k]>=T[i-1,2]) and (xx[k]<=T[i,2]) then
begin
if T[i,2]>xx[k] then
begin
q:=round((a4*(xx[k]-T[i-1,2]))/(T[i,2]-T[i-1,2]));
x10[l]:=q+(a4*(i-2))+xi;
y10[l]:=yi;
l:=l+1;
end
else
begin
x10[l]:=a4*(i-1)+xi;
y10[l]:=yi;
l:=l+1;
end;
end;
end;
end;
l:=1;

```



```

for k:=n+1 downto 2 do
  begin
    for j:= tnodey downto 2 do
begin
if (xx[k]>=T[kk,j]) and (xx[k]<=T[kk,j-1]) then
  begin
    if T[kk,j-1]>xx[k] then
begin
qq:=round((a4*(xx[k]-T[kk,j]))/(T[kk,j-1]-T[kk,j]));
y11[l]:=y2-qq-(a4*(tnodey-j));
x11[l]:=xi+round(a4*(a2*a3));
l:=l+1;
end
else
begin
y11[l]:=y2-(a4*(tnodey-(j-1)));
x11[l]:=round(xi+(a4*(a2*a3)));
l:=l+1;
end;
end;
end;
end;
l:=1; kkk:=round((a2*a3)+(((a1*a3)+1)/2));
for k:=n+1 downto 2 do
  begin
    for j:= tnodey downto 2 do
begin
if (xx[k]>=T[kkk,j]) and (xx[k]<=T[kkk,j-1]) then
  begin

```

เอกสารนี้เป็นเอกสารที่สงวนไว้สำหรับการใช้งานเพื่อการศึกษาเท่านั้น ไม่อนุญาตให้นำไปใช้ประโยชน์ด้านการค้า
 ไม่ว่ากรณีใดๆทั้งสิ้น อีกทั้งห้ามมิให้คัดลอกเนื้อหา และต้องอ้างอิงถึงเจ้าของเอกสารทุกครั้งที่มีการนำไปใช้

```

begin
    qq:=round((a4*(xx[k]-T[kkk,j]))/(T[kkk,j-1]-T[kkk,j]));
    y12[l]:=y2-qq-(a4*(tnodey-j));
    x12[l]:=xi+round(a4*(kkk-1));
    l:=l+1;
end
else
begin
    y12[l]:=y2-(a4*(tnodey-(j-1)));
    x12[l]:=round(xi+(a4*(kkk-1)));
    l:=l+1;
end;
end;
end;
end;
clrscr;
graphdriver:=detect;
initgraph(graphdriver,graphmode,'');
x1:=90;
y1:=10;
x2:=x1+((tnodex-1)*a4);
y2:=y1+((tnodey-2)*a4);
dx:=0;dy:=0;
for i:=1 to tnodey-1 do
begin
    y1:=y1+dy;
    line(x1,y1,x2,y1);dy:=a4;
end;
y1:=10;

```

```

begin
x1:=x1+dx;line(x1,y1,x1,y2);
dx:=a4;
end;

pointmax:=round((x2+xi)/2);
for i:=1 to n do
begin
pointx2:=(x10[i]-xi)/a4;
pointy2:=(y2-y10[i])/a4;
const1:=(pointx2*pointy2);
pointx3:=(x11[i]-xi)/a4;
pointy3:=(y2-y11[i])/a4;
const2:=pointx3*pointy3;
dconst1:=(const1-const2)/((pointx3-pointx2)*1000);
pointx4:=(x12[i]-xi)/a4;
pointy4:=(y2-y12[i])/a4;
const3:=pointx4*pointy4;
dconst2:=(const3-const2)/((pointx4-pointx3)*1000);
repeat
if pointx2>=pointx3 then
begin
pointx2:=pointx2+0.001;
const2:=const2+dconst2;
pointy2:=const2/pointx2;
posx:=xi+round(pointx2*a4);posx1:=round(x2-(pointx2*a4));
posy:=round(y2-(pointy2*a4));
putpixel(posx,posy,14);putpixel(posx1,posy,14);
end

```

เอกสารนี้เป็นเอกสารที่สงวนไว้สำหรับการใช้งานเพื่อการศึกษาเท่านั้น ไม่อนุญาตให้นำไปใช้ประโยชน์ด้านการค้า
 ไม่ว่ากรณีใดๆทั้งสิ้น อีกทั้งห้ามมิให้ตัดแปลงเนื้อหา และต้องอ้างอิงถึงเจ้าของเอกสารทุกครั้งที่มีการนำไปใช้

```

const1:=const1-dconst1;

pointx2:=pointx2+0.001;

pointy2:=const1/pointx2;

posx:=xi+round(pointx2*a4); posx1:=round(x2-(pointx2*a4));

posy:=round(y2-(pointy2*a4));

putpixel(posx, posy, 14); putpixel(posx1, posy, 14);

end;

until posx > pointmax
end;

xstr:=trunc((tnodex/2)-(a2*a3));

ystr:=1; lll:=((a1*a3)+1) mod 2;

if lll=0 then
begin
xstr:=xstr-0.5;
end;

dxstr:=((xi+((a2*a3)*a4)-x10[n1])/a4;

neq:=0;

repeat
begin
constk:=((sqr(xstr)*sqr(xstr))+4*sqr(xstr)*sqr(ystr));
constk1:=sqrt(constk); constk2:=abs(constk1);
aaa:=(constk1-sqr(xstr))/(2*xstr);

ystr1:=1; neq:=neq+1;

repeat
begin
ystr1:=ystr1+0.01;

numberc:=((aaa*xstr*sqr(ystr1))-(sqr(aaa)*aaa*xstr))/sqr(aaa);

xstr1:=sqrt(numberc); xstr2:=abs(xstr1);

posx:=round(((x2+xi)/2)-(xstr1*a4));
posx1:=round(((x2+xi)/2)+(xstr1*a4));

```

```

    posy:=round(yi+(a4*(ystr1-1)));
    putpixel(posx, posy, 14); putpixel(posx1, posy, 14);
    end;
until(posy>y2) or (posx<xi) ;
xstr:=xstr-dxstr;
end;
until xstr<=0.1;
posx:=round((x2+xi)/2); ystr1:=1;
repeat
begin
ystr1:=ystr1+0.01;
posy:=round(yi+(a4*(ystr1-1)));
putpixel(posx, posy, 14);
end;
until (posy>y2);
neq:=(2*neq)+1;
settextstyle(defaultfont, horizdir, 2);
outtextxy(300, y2+25, ' FLOWNET OF DAM ');
outtextxy(60, y2+80, ' Press Shift-F1 to Print Graph ');
(ch:=readkey;
closegraph;
end;
{-----}

begin {main}
clrscr;
setwindow;
write(' HOW LONG YOUR BASE(m) ? '); read(a1);
clrscr; setwindow;
write(' HOW DEEP UNDER BASE(m) ? '); read(a2);

```



```
clrscr;setwindow;)
```

```
write(' HOW NUMBER MESHS TO METER ? '); read(a3);
```

```
n4:=round(460/(((2*a2)+a1)*a3));
```

```
Window(1,1,80,25);clrscr;
```

```
graphdriver:=detect;
```

```
initgraph(graphdriver,graphmode,"");
```

```
tnodex:=trunc(((a1*a3)+1)+(2*(a2*a3)));
```

```
tnodey:=round((a2*a3)+2);
```

```
xi:=90;yi:=10;
```

```
closegraph;
```

```
clrscr; window(1,1,80,25);
```

```
f1:=0; count1:=a2*a3;
```

```
k:=100/count1;count2:=count1+1;
```

```
for i:=1 to count2 do
```

```
begin
```

```
x[i]:=100-f1;
```

```
f1:=i*k;
```

```
end;
```

```
clrscr;window(1,1,80,25);
```

```
for i:=1 to tnodex do
```

```
begin
```

```
for j:=1 to tnodey do
```

```
begin
```

```
T[i,j]:=0;
```

```
end;
```

```
end;
```

```
l:=3;q:=2;m:=count1+(a1*a3)+2;
```

```
for i:=count1 downto 1 do
```

```
begin
```

```
T[i,1]:=0;
```

```
end;
```

```
for i:=count1+1 to count1+(a1*a3)+1 do
```

```
begin
```

```
T[i,2]:=100;
```

```
end;
```

```
n:=0;
```

```
for i:=1 to tnodex do
```

```
begin
```

```
for j:=1 to tnodey do
```

```
begin
```

```
if n=24 then
```

```
begin
```

เอกสารนี้เป็นเอกสารที่สงวนไว้สำหรับการใช้งานเพื่อการศึกษาเท่านั้น ไม่อนุญาตให้นำไปใช้ประโยชน์ด้านการค้า
ไม่ว่ากรณีใดๆทั้งสิ้น อีกทั้งห้ามมิให้ตัดแปลงเนื้อหา และต้องอ้างอิงถึงเจ้าของเอกสารทุกครั้งที่มีการนำไปใช้

```

ch:=readkey;clrscr;n:=0;
end;
write(i:5);write(j:5);writeln(T[i,j]:30:15);n:=n+1;
end;
end;
ch:=readkey;
n:=0;
repeat
begin
for j:=2 to lnodey do
begin
for i:=1 to lnodex do
begin
if ((T[i,j]>0)and(T[i,j]<>0)) and (T[i,j]<>100) then
begin
T[i,j]:=(T[i+1,j]+T[i-1,j]+T[i,j+1]+T[i,j-1])/4;
end;
end;
end;
for i:=1 to lnodex do
begin
T[i,1]:=T[i,3];
end;
for i:= trunc(a2*a3)+1 to trunc(a2*a3)+(a1*a3) do
begin
T[i,1]:=0;
end;
for i:= trunc(a2*a3)+1 to trunc(a2*a3)+(a1*a3) do
begin

```

```

    end;

    n:=n+1;

end;

until n=200;

clrscr;window(1,1,80,25);

n:=0;

for i:=1 to tnodex do
    begin
        for j:=1 to tnodey do
            begin
                if n=24 then
                    begin
                        ch:=readkey;clrscr;n:=0;
                    end;
                    write(i:5);write(j:5);writeln(T[i,j]:30:15);n:=n+1;
                end;
            end;
        end;
        ch:=readkey; n:=0;
        n:=(a2*a3)+1;clk:=100/tnodey;f1:=0;
        for i:=1 to n+1 do
            begin
                xx[i]: 100-f1;
                f1:=i*clk;
            end;
        clrscr;window(1,1,80,25);
        check1(neq);
        n:=n+1;
        neq:=neq+1;
        nf:=n;
        nd:=neq;

```

เอกสารนี้เป็นเอกสารที่สงวนไว้สำหรับการใช้งานเพื่อการศึกษาเท่านั้น ไม่อนุญาตให้นำไปใช้ประโยชน์ด้านการค้า
ไม่ว่ากรณีใดๆทั้งสิ้น อีกทั้งห้ามมิให้ดัดแปลงเนื้อหา และต้องอ้างอิงถึงเจ้าของเอกสารทุกครั้งที่มีการนำไปใช้

End;

End.



เอกสารนี้เป็นเอกสารที่สงวนไว้สำหรับการใช้งานเพื่อการศึกษาเท่านั้น ไม่อนุญาตให้นำไปใช้ประโยชน์ด้านการค้า
ไม่ว่ากรณีใดๆทั้งสิ้น อีกทั้งห้ามมิให้ตัดแปลงเนื้อหา และต้องอ้างอิงถึงเจ้าของเอกสารทุกครั้งที่มีการนำไปใช้


```

ary      : array[1..10,1..3] of real;
para1,para2,para3:integer;
scrp1,scrp2:integer;
Flg1,Flg2,Funckey:boolean;
zz       :string;
Hpot     :real;
Code,Chc :integer;
value    :real;
_int     :integer;
Count    :integer;
_real    :real;
_integer :integer;
AryMax,AryMin :real;
sumkd,sumd,sumd_k,KH,KV,Kbar,_Q_Form:real;
NF,ND,_Sumd:integer;
{-----}

```

```

Procedure _XYREAL(_x,_y:integer);

```

```

  Var

```

```

    Value:Real;

```

```

    Code:integer;

```

```

Begin

```

```

  gotoxy(_x,_y);

```

```

  Readreal(Value,40,Code);

```

```

  if Code<>0 Then

```

```

    _Real:=0.00

```

```

  else

```

```

    _real:=Value;

```

เอกสารนี้เป็นเอกสารที่สงวนไว้สำหรับการใช้งานเพื่อการศึกษาเท่านั้น ไม่อนุญาตให้นำไปใช้ประโยชน์ด้านการค้า
ไม่ว่ากรณีใด ๆ หากมีให้ตัดแปลงเนื้อหา และต้องอ้างอิงถึงเจ้าของเอกสารทุกครั้งที่มีการนำไปใช้

```
    gotoxy(_x,_y);  
    write('          ');  
    gotoxy(_x,_y);  
    write(_Real);  
End;  
{-----}
```

```
Procedure _XYint(_x,_y:integer);  
  Var  
    _int:integer;  
    Code:integer;  
  Begin  
    gotoxy(_x,_y);  
    Readint(_int,40,Code);  
    if Code<>0 Then  
      _integer:=0  
    else  
      _integer:=_int;  
    gotoxy(_x,_y);  
    write('          ');  
    gotoxy(_x,_y);  
    write(_integer);  
  End;  
{-----}
```

```
Procedure _ClrAry;  
  ' Begin  
    scrp1:=0;  
    scrp2:=0;  
    for scrp1:= 1 to 3 do
```

เอกสารนี้เป็นเอกสารที่สงวนไว้สำหรับการใช้งานเพื่อการศึกษาเท่านั้น ไม่อนุญาตให้นำไปใช้ประโยชน์ด้านการค้า
ไม่ว่ากรณีใดๆทั้งสิ้น อีกทั้งห้ามมิให้ตัดแปลงเนื้อหา และต้องอ้างอิงถึงเจ้าของเอกสารทุกครั้งที่มีการนำไปใช้

```

begin
    for scrp2:=1 to 10 do
        begin
            ary[scrp2,scrp1]:=0.00
        end;
    end;
End;

```

{-----}

Procedure _BOX;

Begin

textbackground(1);

textcolor(14);

write(scrx[1]);

write(scrx[2]);

write(scrx[2]);

write(scrx[3]);

for i:= 1 to 17 do

begin

write(scrx[2]);

end;

write(scrx[3]);

write(scrx[2]);

write(scrx[4]);

textbackground(1);

textcolor(11);

gotoxy(3,3);

write(msg1);

gotoxy(55,3);

```
write(msg2);  
end;  
{-----}
```

```
Procedure _Foot(str:string);
```

```
Begin  
textbackground(1);  
textcolor(10);  
gotoxy(3,23);  
write(str);  
End;
```

```
{-----}
```

```
Procedure _Main(Str:string);
```

```
Begin  
textbackground(0);  
textcolor(14);  
gotoxy(30,2);  
write(str);  
end;
```

```
{-----}
```

```
Procedure _cls;
```

```
begin  
setfillstyle(1,0);  
i:= 1 ;  
while i<=234 do  
begin  
bar(10,234-i,630,234+i);
```

```
sound(5000-i*4);
```

```
delay(8);
```

```

        nosound;
        i:=i+4;
    end;
end;
{-----}
Procedure _wrtxy(_x,_y,_Bk,_Colr:integer;_Str:string);

```

```

    Begin

```

```

        textbackground(_Bk);

```

```

        textcolor(_Colr);

```

```

        gotoxy(_x,_y);

```

```

        write(_Str);

```

```

    End;

```

```

{-----}

```

```

Procedure wrtxy(a,b:integer;s:string);

```

```

    begin

```

```

        gotoxy(a,b);

```

```

        write(s);

```

```

        gotoxy(a,b);

```

```

    end;

```

```

{-----}

```

```

Procedure getAry;

```

```

    Begin

```

```

        window(2,5,79,21);

```

```

        clrscr;

```

```

        window(1,1,80,24);

```

```

        _ClrAry;

```

```

        cursoron;

```

เอกสารนี้เป็นเอกสารที่สงวนไว้สำหรับการใช้งานเพื่อการศึกษาเท่านั้น ไม่อนุญาตให้นำไปใช้ประโยชน์ด้านการค้า
ไม่ว่ากรณีใดๆทั้งสิ้น อีกทั้งห้ามมิให้ตัดแปลงเนื้อหา และต้องอ้างอิงถึงเจ้าของเอกสารทุกครั้งที่มีการนำไปใช้

```

_wrtxy(3,6,1,14,' Enter Potential Head (cm) = ');
_wrtxy(3,7,1,14,' Enter Number Of Soil Layer = ');
Flg1:=true;
while Flg1 do
  Begin
    Hpot:=0;
    para1:=0;
_wrtxy(3,6,0,14,' Enter Potential Head (cm) = ');
    textbackground(1);
    textcolor(14);
    _XYreal(37,6);
    hpot:=-_real;
_wrtxy(3,6,1,14,' Enter Potential Head (cm) = ');
    textbackground(1);
    textcolor(14);
    _wrtxy(3,7,0,14,' Enter Number Of Soil Layer = ');
    textbackground(1);
    textcolor(14);
    _Xyint(37,7);
    Para1:=-_integer;
    _wrtxy(3,7,1,14,' Enter Number Of Soil Layer = ');
    If (Para1>0) AND (Para1<=10) And(Hpot<>0)Then
      Begin
        Flg1:=False;
      End;
  End;
end;

```

เอกสารนี้เป็นเอกสารที่สงวนไว้สำหรับการใช้งานเพื่อการศึกษาเท่านั้น ไม่อนุญาตให้นำไปใช้ประโยชน์ด้านการค้า
 2024
 ไม่ว่ากรณีใดๆทั้งสิ้น อีกทั้งห้ามมิให้ตัดแปลงเนื้อหา และต้องอ้างอิงถึงเจ้าของเอกสารทุกครั้งที่มีการนำไปใช้

```
Wrtxy(3,8,'Layer No.Thickness of Layer(m) Horizon Coef(cm/s) Vertic  
Coef(cm/s) ');
```

```
Flg1:=true;
```

```
for i:=1 to para1 do
```

```
begin
```

```
gotoxy(7,Arrow+i);
```

```
write(i);
```

```
end;
```

```
Scrp2:=1;
```

```
para3:=18;
```

```
para2:=1;
```

```
gotoxy(para3,scrp2+arow);
```

```
Repeat
```

```
repeat until keypressed;
```

```
Ch:=readkey;
```

```
case ch of
```

```
#13:Begin
```

```
if para2=1 Then
```

```
_wrtxy(14,8,0,14,' Thickness of Layer(m) ');
```

```
if para2=2 Then
```

```
_wrtxy(39,8,0,14,' Horizon Coef(cm/s) ');
```

```
if para2=3 Then
```

```
_wrtxy(59,8,0,14,' Vertic Coef(cm/s) ');
```

```
textbackground(1);
```

```
textcolor(14);
```

```
_XYreal(para3,Scrp2+Arqw);
```

```
Ary[Scrp2,para2]:=_real;
```

เอกสารนี้เป็นเอกสารที่สงวนไว้สำหรับการใช้งานเพื่อการศึกษาเท่านั้น ไม่อนุญาตให้นำไปใช้ประโยชน์ด้านการค้า
ไม่ว่ากรณีใดๆทั้งสิ้น อีกทั้งห้ามมิให้ดัดแปลงเนื้อหา และต้องอ้างอิงถึงเจ้าของเอกสารทุกครั้งที่มีการนำไปใช้

_wrtxy(3,8,1,14,'Layer No. Thickness of Layer(m) Horizon Coef(cm/s)

Vertic Coef(cm/s) ');

gotoxy(para3,scrp2+Arow);

End;

#75:Begin

if para2=1 then

BEGIN

para2:=1;

para3:=18;

gotoxy(para3,scrp2+Arow);

END

else

Begin

para2:=para2-1;

if para2<=1 Then

begin

para2:=1;

para3:=18;

end;

if para2=2 then

para3:= 40;

if para2=3 then

para3:= 59;

gotoxy(para3,scrp2+Arow);

End;

เอกสารนี้เป็นเอกสารที่สงวนไว้สำหรับการใช้งานเพื่อการศึกษาเท่านั้น ไม่อนุญาตให้นำไปใช้ประโยชน์ด้านการค้า
ไม่ว่ากรณีใดๆทั้งสิ้น อีกทั้งห้ามมิให้ตัดแปลงเนื้อหา และต้องอ้างอิงถึงเจ้าของเอกสารทุกครั้งที่มีการนำไปใช้

End;

#77:Begin

if para2=3 then

BEGIN

para2:=3;

para3:=59;

gotoxy(para3,scrp2+Arow);

END

else

Begin

if para2<=2 Then

para2:=para2+1;

if para2=2 then

para3:= 40;

if para2=3 then

para3:= 59;

gotoxy(para3,scrp2+Arow);

End;

End;

#72:Begin

if Scrp2=1 then

BEGIN

Scrp2:=1;

STR(SCRP2,ZZ);

wrtxy(7,Scrp2+Arow,ZZ);

STR(SCRP2,ZZ);

เอกสารนี้เป็นเอกสารที่สงวนไว้สำหรับการใช้งานเฉพาะเท่านั้น ไม่อนุญาตให้นำไปใช้ประโยชน์ด้านการค้า
ไม่ว่ากรณีใดๆทั้งสิ้น อีกทั้งห้ามมิให้ดัดแปลงเนื้อหา และต้องอ้างอิงถึงเจ้าของเอกสารทุกครั้งที่มีการนำไปใช้

```

wrtxy(7,Scrp2+Arow,' ');
wrtxy(7,Scrp2+Arow,ZZ);
gotoxy(para3,scrp2+Arow);
END
else
Begin
STR(SCR2,ZZ);
wrtxy(7,Scrp2+Arow,ZZ);
scrp2:=scrp2-1;
if scrp2<=1 then
begin
scrp2:=1;
end;
STR(SCR2,ZZ);
wrtxy(7,Scrp2+Arow,' ');
wrtxy(7,Scrp2+Arow,ZZ);
gotoxy(para3,scrp2+Arow);
End;
End;
#80:Begin
if Scrp2=Para1 then
BEGIN
Scrp2:=Para1;
STR(SCR2,ZZ);
wrtxy(7,Scrp2+Arow,ZZ);
STR(SCR2,ZZ);
wrtxy(7,Scrp2+Arow,' ');
wrtxy(7,Scrp2+Arow,ZZ);
gotoxy(para3,scrp2+Arow);

```

เอกสารนี้เป็นเอกสารที่สงวนไว้สำหรับงานเพื่อการศึกษาเท่านั้น ไม่อนุญาตให้นำไปใช้ประโยชน์ด้านการค้า
 END
 ไม่ว่าจะกรณีใดๆทั้งสิ้น อีกทั้งห้ามมิให้ดัดแปลงเนื้อหา และต้องอ้างอิงถึงเจ้าของเอกสารทุกครั้งที่มีการนำไปใช้

```

else
    Begin
        STR(SCR2,ZZ);
        wrtxy(7,Scrp2+Arow,ZZ);
        Scrp2:=Scrp2+1;
        if scrp2>Para1 then
            scrp2:=para1;
        STR(SCR2,ZZ);
        wrtxy(7,Scrp2+Arow,' ');
        wrtxy(7,Scrp2+Arow,ZZ);
        gotoxy(para3,scrp2+Arow);
    End;
End;
#27:Begin
    Sumd := 0;
    sumkd:= 0;
    sumd_k:= 0;
    for i:=1 to para1 do
        begin
            Sumd := sumd+Ary[i,1];
            sumkd:= sumkd+Ary[i,1]*Ary[i,2];
            sumd_k:=sumd_k+Ary[i,1]/Ary[i,3];
        end;
    _sumd:=trunc(sumd);
    KH:=sumkd/_sumd;
    KV:=Sumd/Sumd_k;
    if KH<>KV then
        KBAR:=sqrt(KH*KV)

```

เอกสารนี้เป็นเอกสารที่สงวนไว้สำหรับการใช้งานเพื่อการศึกษาเท่านั้น ไม่อนุญาตให้นำไปใช้ประโยชน์ด้านการค้า
 else
 ไม่ว่าจะกรณีใดๆทั้งสิ้น อีกทั้งห้ามมิให้ดัดแปลงเนื้อหา และต้องอ้างอิงถึงเจ้าของเอกสารทุกครั้งที่มีการนำไปใช้

KBAR;=KH;

if Chc=1 then

Begin

Flownet1(_sumd,nf,nd);

Prngrp;

closegraph;

end;

if Chc=2 then

begin

Flownet2(_sumd,nf,nd);

Prngrp;

closegraph;

end;

_Q_Form:=KBAR*hpot*(Nf/Nd);

clrscr;

_Box;

if Chc=1 then

_main(' CONCRETE DAM ')

else

_main(' SHEET PILE ');

_foot(' Press Any Key to continue ');

gotoxy(20,8);

write(' KV (cm/s) = ',KV);

gotoxy(20,10);

write(' KH (cm/s) = ',KH);

gotoxy(20,12);

write(' Kavr (cm/s) = ',KBAR);

```

gotoxy(20,14);

        write('  Nf = ',nf:10);

gotoxy(20,16);

        write('  Nd = ',nd:10);

gotoxy(20,18);

write('  Q ( cm3/s) = ',_Q_Form);

cursoroff;

ch:=#3;

```

```

        repeat until keypressed;
        Ch:=#3;
        Flg1:=false;
        End;
    end;
Until (Flg1=False);
end;

```

```

{-----}
Procedure _Selct;

```

```

    Var sctflg:Boolean;
        Rtchc:integer;
    Begin
        Sctflg:=true;
        Chc:=1;
        Rtchc:=1;

        _wrtxy(30,10,0,14,mess1);

        _wrtxy(30,12,1,14,mess2);

        _wrtxy(30,14,1,14,mess3);
    End;

```

```
_Foot('Select menu by use Up,Down Arrow and press Enter.  
Esc to Exit.');
```

```
repeat
```

```
  cursoroff;
```

```
  ch:=#3;
```

```
  ch:=readkey;
```

```
  case ch of
```

```
    #13:begin
```

```
      if (Chc=1) OR (Chc=2) Then
```

```
        begin
```

```
          if Chc=1 then
```

```
            _main(' CONCRETE DAM');
```

```
          else
```

```
            _main(' SHEET PILE');
```

```
          textbackground(1);
```

```
          textcolor(14);
```

```
          getary;
```

```
          textbackground(1);
```

```
          textcolor(14);
```

```
          window(1,1,80,25);
```

```
          _box;
```

```
          ch:=#3;
```

```
          Chc:=1;
```

```
          Rtchc:=1;
```

```
          _main(' MAIN MENU');
```

เอกสารนี้เป็นเอกสารที่สงวนไว้สำหรับกรณศึกษาและเพื่อใช้ในการเรียนการสอนเท่านั้น ไม่สามารถนำออกจำหน่ายหรือใช้ในการค้า
ไม่ว่ากรณีใดๆทั้งสิ้น อีกทั้งห้ามมิให้ดัดแปลงเนื้อหา และต้องอ้างอิงถึงเจ้าของเอกสารทุกครั้งที่มีการนำไปใช้

End;

End;

#80:Begin

if Chc=3 then

_wrtxy(30,14,0,14,mess3)

else

Begin

if Chc=1 then

_wrtxy(30,10,1,14,mess1);

if Chc=2 then

_wrtxy(30,12,1,14,mess2);

Chc:=Chc+1;

if Chc>=3 then

Chc:=3;

if Chc=2 then

_wrtxy(30,12,0,14,mess2);

if Chc=3 then

_wrtxy(30,14,0,14,mess3);

End;

End;

#27:Begin

Sctflg:=false;

End;

end; {case}

until (Sctflg=false);

end;

เอกสารนี้เป็นเอกสารที่สงวนไว้สำหรับการใช้งานเพื่อการศึกษาเท่านั้น ไม่อนุญาตให้นำไปใช้ประโยชน์ด้านการค้า
ไม่ว่ากรณีใดๆทั้งสิ้น อีกทั้งห้ามมิให้ตัดแปลงเนื้อหา และต้องอ้างอิงถึงเจ้าของเอกสารทุกครั้งที่มีการนำไปใช้

End;

End;

#80:Begin

if Chc=3, then

_wrtxy(30,14,0,14,mess3)

else

Begin

if Chc=1 then

_wrtxy(30,10,1,14,mess1);

if Chc=2 then

_wrtxy(30,12,1,14,mess2);

Chc:=Chc+1;

if Chc>=3 then

Chc:=3;

if Chc=2 then

_wrtxy(30,12,0,14,mess2);

if Chc=3 then

_wrtxy(30,14,0,14,mess3);

End;

End;

#27:Begin

Sctflg:=false;

End;

end; {case}

until (Sctflg=false);

end;

เอกสารนี้: เอกสารที่สงวนไว้สำหรับการใช้งานเพื่อการศึกษาเท่านั้น ไม่อนุญาตให้นำไปใช้ประโยชน์ด้านการค้า
ไม่ว่ากรณีใดๆทั้งสิ้น อีกทั้งห้ามมิให้ตัดแปลงเนื้อหา และต้องอ้างอิงถึงเจ้าของเอกสารทุกครั้งที่มีการนำไปใช้

```
{-----}  
BEGIN
```

```
Ovrinit('Ptest.Ovr');
```

```
DirectVideo:=True;
```

```
Sh_1;
```

```
ch:=readkey;
```

```
textbackground(1);
```

```
textcolor(14);
```

```
clrscr;
```

```
_box;
```

```
_main(' M A I N M E N U ');
```

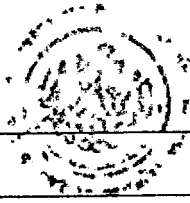
```
_selct;
```

```
END.
```



START PROGRAM

START PROGRAM



START PROGRAM

END

START

START

START

START

START

START

START

START

START

START

START

START

START

START

START

START

START

START

START

START

END

END

เอกสารนี้เป็นเอกสารที่สงวนไว้สำหรับการใช้งานเพื่อการศึกษาเท่านั้น ไม่อนุญาตให้นำไปใช้ประโยชน์ด้านการค้า
ไม่ว่ากรณีใดๆทั้งสิ้น อีกทั้งห้ามมิให้ตัด,แปลงเนื้อหา และต้องอ้างอิงถึงเจ้าของเอกสารทุกครั้งที่มีการนำไปใช้